

# Vergleich von Verfahren des maschinellen Lernens zur Erkennung von Lahmheit bei Milchkühen

Comparison of machine learning methods for detecting lameness in dairy cows

Veit Zoche-Golob

Master-Abschlussarbeit

Betreuer:

Prof. Dr. Hans-Peter Beise (Hochschule Trier) und  
Prof. Dr. Vitaly Belik (Freie Universität Berlin)

Wallersheim, 17.10.2022

---

## Danksagung

Für mich stand schon recht früh in meinem Informatikstudium fest, dass ich mich für die Masterarbeit mit maschinellem Lernen beschäftigen möchte — ohne, dass ich bereits ein konkretes Thema gehabt hätte. Bis ich dann tatsächlich ein Thema gefunden hatte, dass ich bearbeiten konnte, dauerte es eine ganze Weile und es benötigte auch einen zweiten Anlauf. Daher bin ich meinem Betreuer Prof. Dr. Hans-Peter Beise sehr dankbar, dass er mein Vorhaben von Anfang an unterstützte und die Geduld aufbrachte, es solange zu begleiten. Seine einführenden Hinweise und Literaturempfehlungen halfen mir sehr, einen Einstieg in die verschiedenen Methoden des maschinellen Lernens zu finden.

Mein zweiter Betreuer, Prof. Dr. Vitaly Belik, verhalf mir dann zu einem konkreten Anwendungsfall für meine vagen Vorstellungen von meiner Masterarbeit. Bei ihm bedanke ich mich besonders für seine Mühen, mir Zugang zu den Daten aus dem Projekt *Klaufenfitnet* zu ermöglichen, die Unterstützung bei der Datenaufbereitung und die Vorschläge für interessante Klassifikationsansätze.

Mein Dank gilt auch den Projektbeteiligten von *Klaufenfitnet* und *Klaufenfitnet 2.0* für die Erlaubnis, Daten aus dem Projekt für meine Masterarbeit zu verwenden und das Schema zur Bewegungsbeurteilung in meiner Masterarbeit zur Illustration wiederzugeben.

Beim HPC-Dienst der ZEDAT, Freie Universität Berlin, möchte ich mich für die zur Verfügung gestellte Rechenzeit bedanken und für die hilfreichen Tipps, wenn mit den Jobs etwas nicht so ganz optimal lief.

Für Korrekturen und Anmerkungen zum Manuskript bedanke ich mich sehr bei Dr. Rosemarie Quiring-Zoche und Dr. Anna-Linda Golob.

Ganz besonders danke ich Anna-Linda, Freyja und Arvid für die Unterstützung während der ganzen langen Zeit und die große Rücksichtnahme auf meine zusätzliche Arbeit.

Wallersheim, 17. Oktober 2022

Veit Zoche-Golob

---

## Kurzfassung

Lahmheit ist eine der bedeutendsten Gesundheitsbeeinträchtigungen bei Milchkühen. Es ist sehr zeitaufwändig, lahme Kühe rechtzeitig und zuverlässig zu erkennen. Daher werden Systeme zur automatischen Lahmheitserkennung entwickelt. Solche Systeme können über unterschiedliche Sensoren wie Waagen oder Kameras das Gangbild der Kühe erfassen. Alternativ werden bereits existierende Daten über das Verhalten der Kühe verwendet, die aus Systemen zur automatischen Brunsterkennung stammen. Diese Daten sind meistens bereits aggregiert und werden als *indirekte Variablen* bezeichnet. Ein zentraler Bestandteil der Systeme zur automatischen Erkennung von Lahmheiten bei Milchkühen ist der Algorithmus, der die gemessenen Daten in „lahm“ oder „nicht lahm“ klassifiziert.

Das Ziel meiner vorliegenden Arbeit war es, verschiedene Klassifikationsalgorithmen zu vergleichen zur Erkennung von Lahmheit an Hand von indirekten Variablen zur Aktivität, zur Leistung und zu Eigenschaften der Kühe. Für meine Arbeit standen mir Daten aus dem Projekt *Klauenfitnet* zur Verfügung mit den indirekten Variablen Laktationsnummer, Laktationstag, Tagesgemelk, durchschnittliche Schrittfrequenz und durchschnittliche Liegedauer pro Liegevorgang sowie den Labels „lahm“ oder „nicht lahm“ aus der Gangbeurteilung der Kühe. Die Werte der Variablen waren im Beobachtungszeitraum täglich erhoben worden. Als Merkmale zur Klassifikation wurden sowohl zeitabhängige Variablen wie die tägliche Aktivität und Milchmenge als auch (im Beobachtungszeitraum) konstante Variablen wie die Laktationsnummer verwendet. Da das Gangbild der Kühe nur etwa in 14-tägigen Abständen beurteilt worden war, waren die Labels der Beobachtungen unvollständig und standen für überwachte Lernverfahren nur eingeschränkt zur Verfügung.

In den Vergleich habe ich sowohl diskriminative als auch generative Ansätze zur Klassifikation von multivariaten Zeitreihen einbezogen. Neben Verfahren des klassischen maschinellen Lernens, wie Random Forests und Support Vector Machines (SVMs), wurden auch Methoden des Deep Learning, wie Multilayer Perceptrons (MLPs), Convolutional Neural Networks (CNNs) und Recurrent Neural Networks (RNNs), eingesetzt. In den diskriminativen Ansätzen wurden mittels Feature Engineering zusätzliche Merkmale erzeugt. Bei den Ende-zu-Ende-Ansätzen wurden die endgültigen Merkmale zur Klassifizierung in Deep-Learning-Modellen während des Trainings eines diskriminativen Klassifizierers erlernt. Damit die un-

gelabelten Daten ebenfalls für das Training der Klassifizierer verwendet werden konnten, wurden in generativen Ansätzen Deep-Learning-Modelle mit Autoencodern unüberwacht vortrainiert. Insgesamt umfasste der Vergleich neun Ansätze: drei Ansätze mit Feature Engineering (FE-SVM, FE-RF, FE-MLP), drei Ende-zu-Ende-Ansätze (E2E-MLP, E2E-CNN und E2E-GRU) sowie drei generative Ansätze mit unüberwachtem Vortraining (AE-MLP, AE-CNN, AE-GRU). Zur Bewertung der Klassifikationsleistungen der verschiedenen Ansätze wurden die Metriken Genauigkeit, Relevanz, Sensitivität und Spezifität berechnet. Zusätzlich erfasste ich die Laufzeiten für das Training und die Klassifikation sowie den benötigten Arbeitsspeicher. Die neun Ansätze wurden in zehnfacher Kreuzvalidierung mit jeweils denselben Teildatensätzen getestet. Für die Analyse der Unterschiede zwischen den erwarteten Klassifikationsleistungen der neun untersuchten Ansätze entwickelte ich ein grafisches Modell als Bayes'sches multivariates lineares Modell. So konnten die Unterschiede zwischen den Klassifikationsansätzen in den vier Vergleichsmetriken gleichzeitig analysiert werden.

Der verwendete Datensatz enthielt 727.008 Beobachtungen. Zu 17.114 Beobachtungen davon lagen Labels aus den Gangbeurteilungen vor. Die Labels verteilten sich zu 48,0 % und 52,0 % auf die Klassen „lahm“ bzw. „nicht lahm“. Die erwarteten Leistungen aller neun untersuchten Klassifikationsansätze waren sehr ähnlich. Lediglich die Ansätze E2E-MLP und AE-MLP hatten deutlich schlechtere Klassifikationsergebnisse. Insgesamt war die erwartete mittlere Klassifikationsleistung nur mäßig gut mit einer Genauigkeit und einer Relevanz von 0,71 sowie einer Sensitivität und einer Spezifität von 0,65 bzw. 0,75. Am besten klassifizierten FE-SVM, E2E-GRU, E2E-CNN und AE-CNN. Allerdings erreichte keiner dieser Ansätze eine erwartete Genauigkeit oder Relevanz von wenigstens 0,75. Der Arbeitsspeicherbedarf für das Training der Modelle lag bei allen untersuchten Ansätzen unter 3 GB, wobei nur die generativen Ansätze mehr als 1,5 GB benötigten. Bei allen diskriminativen Klassifikationsansätzen lag die Trainingsdauer unter fünf Minuten; alle generativen Ansätze mit unüberwachtem Vortraining benötigten deutlich mehr Zeit zum Erlernen der Modellparameter.

Für den praktischen Einsatz in Systemen zu automatischen Lahmheitserkennung an Hand von indirekten Variablen zur Aktivität, zur Leistung und zu den Eigenschaften der Kühe waren die erwarteten Klassifikationsleistungen aller neun Ansätze nicht ausreichend. Es besteht deshalb der Bedarf, weitere Modelle für diesen Anwendungsfall zu evaluieren und zu optimieren. Das größte Potential scheinen Ansätze mit CNN und RNN zu haben, da diese tiefen neuronalen Netze sehr flexibel an die spezifischen Anwendungsfälle angepasst werden können. Der Aufwand und der Ressourcenbedarf für die Entwicklung und das Training generativer Klassifikationsansätze standen in meinen Untersuchungen in keinem günstigen Verhältnis zum Zugewinn an Klassifikationsgenauigkeit gegenüber Ende-zu-Ende-Ansätzen mit vergleichbaren Modellen. Daher erscheint es nicht sinnvoll, für die automatische Lahmheitserkennung bei Milchkühen Ansätze mit unüberwachtem Vortraining zu entwickeln, solange ausreichend große Datensätze zum Training zur Verfügung stehen.

---

## Abstract

Lameness is one of the most important health disorders of dairy cows. It is very time-consuming to detect lame cows reliably and early enough. For this reason, automatic lameness detection systems are being developed. Such systems are able to capture the cows' gait by different sensors like scales or cameras. Alternatively, existing data originating from automatic heat detection systems are used that describe the cows' behavior. These data are usually already aggregated and are called *indirect variables*. An essential part of automatic lameness detection systems is the algorithm which classifies the data that were measured in „lame“ and „not lame“.

The objective of my present thesis was to compare different classification algorithms to detect lameness from indirect variables describing the activity, the performance and characteristics of the cows. For my thesis, data of the project *Klauenfitnet* were available including the indirect variables lactation number, days in milk, daily milk yield, average steps per hour and average lying duration per lying bout, and the labels „lame“ or „not lame“ according to the results of assessments of the cows' gait. The values of the variables were collected on a daily basis throughout the project period. The classification was based on time-dependent features like daily activity and milk yield as well as constant (for the observation period) variables like lactation number. The cows' gait had only been assessed approximately every two weeks. Therefore, not all observations were labelled and available for supervised learning methods.

I included discriminative and generative approaches for multivariate timeseries classification into the comparison. Additional to classical machine learning methods like random forests and Support Vector Machines (SVMs), deep learning methods like Multilayer Perceptrons (MLPs), Convolutional Neural Networks (CNNs) and Recurrent Neural Networks (RNNs) were applied. For the discriminative approaches, extra features were created by feature engineering. In the end-to-end approaches, the final features used for classification were learnt in deep learning models while the discriminative classifier was trained. In order to make the unlabeled data available for training the classifiers, unsupervised pretraining with autoencoders was applied to deep learning models in generative approaches. The comparison consisted in total of nine approaches: three approaches with feature engineering (FE-SVM, FE-RF, FE-MLP), three end-to-end approaches (E2E-MLP,

E2E-CNN, E2E-GRU), and three generative approaches with unsupervised pretraining (AE-MLP, AE-CNN, AE-GRU). The metrics accuracy, precision, sensitivity and specificity were calculated to assess the classification performance of the different approaches. In addition, I recorded the training and classification run times, and the amount of main memory that was required. The nine approaches were tested in ten-fold cross-validation based on the same splits of the data. For the analysis of the differences between the expected classification performances of the nine approaches under examination, I developed a graphical model as a Bayesian multivariate linear model. This solution made it possible to analyse the differences of the classification approaches in the four metrics simultaneously.

The used data set contained 727,008 observations. Of these, 17,114 observations had labels from the gait assessments. The labels were distributed to 48.0% and to 52.0% into the classes „lame“ and „not lame“, respectively. Expected performances were similar among all nine classification approaches under consideration. Just the approaches E2E-MLP and AE-MLP had significantly worse classification results. Overall, the mean expected classification performance was only moderate with accuracy and precision of 0.71, 0.65 sensitivity, and 0.75 specificity. FE-SVM, E2E-GRU, E2E-CNN and AE-CNN classified the best. However, none of these approaches achieved an expected accuracy or precision of at least 0.75. Less than 3 GB of main memory were required for the training of all examined models, but solely the generative approaches needed more than 1.5 GB. Training duration of all discriminative classification approaches was below five minutes whereas all generative approaches with unsupervised pretraining needed considerably more time to learn the model parameters.

The expected classification performance of all nine approaches were not sufficient for practical application in automatic lameness detection systems using indirect variables of activity, performance and characteristics of the cows. Consequently, evaluation and optimisation of further models for this use case are required. Approaches with CNN and RNN seem to have the biggest potential because these deep neural networks can be adapted very flexibly to the specific use cases. The ratio of the effort and the resources needed to develop and train generative classification approaches to the surplus in classification accuracy, compared to end-to-end approaches with similar models, was not beneficial in my studies. Therefore, developing approaches with unsupervised pretraining for the automatic detection of lameness in dairy cows does not seem to be sensible as long as enough data is available for training.

---

# Inhaltsverzeichnis

<b>1</b>	<b>Einleitung</b> .....	1
1.1	Ansätze zur Automatisierung der Lahmheitserkennung bei Milchkühen .....	2
1.1.1	Erfassungsschicht .....	3
1.1.2	Verarbeitungsschicht .....	5
1.1.3	Ausgabeschicht .....	7
1.2	Aufgabenbeschreibung und Ziele .....	8
1.2.1	Verwandte Arbeiten .....	9
1.2.2	Besonderheiten dieser Arbeit .....	12
1.3	Übersicht über die folgenden Kapitel .....	12
<b>2</b>	<b>Material und Methoden</b> .....	14
2.1	Verwendete Daten .....	14
2.1.1	Klauenfitnet-Daten .....	14
2.1.2	Zeitfenster .....	17
2.1.3	Aufteilung in Trainings- und Testdaten .....	19
2.2	Untersuchte Ansätze zur Klassifikation von multivariaten Zeitreihen	19
2.2.1	Diskriminative Klassifikationsansätze .....	20
2.2.2	Generative Ansätze .....	26
2.3	Vergleich der Klassifikationsansätze .....	30
2.3.1	Vergleichskriterien .....	30
2.3.2	Experimenteller Aufbau .....	31
2.3.3	Hyperparameteroptimierung, Training und Validierung der Modelle .....	41
2.3.4	Schließende Statistik .....	42
<b>3</b>	<b>Ergebnisse</b> .....	48
3.1	Beschreibung der verwendeten Daten .....	48
3.2	Hyperparameter der Klassifikationsmodelle .....	50
3.3	Beschreibung der Evaluierungsergebnisse .....	50
3.3.1	Klassifikationsleistungen .....	51
3.3.2	Ressourcenbedarf .....	53
3.4	Multivariates Bayes'sches lineares Modell .....	57

---

3.4.1 Allgemeiner Vergleich der Klassifikationsansätze .....	64
3.4.2 Paarweiser Vergleich der Klassifikationsansätze .....	69
<b>4 Diskussion</b> .....	<b>71</b>
4.1 Klassifikationsleistung .....	73
4.2 Ressourcenbedarf .....	76
4.3 Gegenüberstellung der Klassifikationsleistung und des Ressourcenbedarfs .....	77
4.4 Schlussfolgerungen .....	79
<b>Literaturverzeichnis</b> .....	<b>81</b>
<b>Quellcode</b> .....	<b>93</b>
A.1 Abstrakte Klassen .....	93
A.2 Ausführbare Skripte — Ansätze mit Feature Engineering .....	112
A.3 Ausführbare Skripte — Ende-zu-Ende-Ansätze .....	127
A.4 Ausführbare Skripte — Generative Ansätze .....	146
<b>Einzelergebnisse</b> .....	<b>173</b>



---

## Abbildungsverzeichnis

2.1	Schema zur Gangbeurteilung bei Kühen .....	16
2.2	Klassifikationsmodell in FE-MLP .....	23
2.3	Klassifikationsmodell in E2E-CNN .....	25
2.4	Klassifikationsmodell in E2E-GRU .....	26
2.5	Autoencoder in den generativen Ansätzen .....	28
2.6	Softwareframework zur Evaluierung der Klassifikationsansätze (UML2-Klassendiagramm) .....	34
2.7	Bayes'sches multivariates lineares Modell zum Vergleich der Klassifikationsansätze .....	43
3.1	Visualisierung der verwendeten Daten .....	49
3.2	Beobachtete Klassifikationsleistungen nach Ansätzen .....	53
3.3	Beobachtete Klassifikationsleistungen nach Testdatensätzen .....	54
3.4	Laufzeiten und Arbeitsspeicherbedarf nach Klassifikationsansätzen .	55
3.5	Laufzeiten und Arbeitsspeicherbedarf nach Testdatensätzen .....	56
3.6	<i>A posteriori</i> erwartete Genauigkeit .....	60
3.7	<i>A posteriori</i> erwartete Relevanz .....	61
3.8	<i>A posteriori</i> erwartete Sensitivität .....	62
3.9	<i>A posteriori</i> erwartete Spezifität .....	63
3.10	Differenzen der <i>a-posteriori</i> -Genauigkeiten zum Gesamtmittel .....	65
3.11	Differenzen der <i>a-posteriori</i> -Relevanzen zum Gesamtmittel .....	66
3.12	Differenzen der <i>a-posteriori</i> -Sensitivitäten zum Gesamtmittel .....	67
3.13	Differenzen der <i>a-posteriori</i> -Spezifitäten zum Gesamtmittel .....	68
4.1	Mediane Klassifikationsleistungen und Trainingszeiten .....	78

---

## Tabellenverzeichnis

1.1	Literaturübersicht: Klassifikationsleistungen verschiedener Ansätze zur Lahmheitserkennung bei Milchkühen . . . . .	8
3.1	Zusammenfassung der Merkmalswerte der verwendeten Daten . . . . .	48
3.2	Teildatensätze für die Kreuzvalidierung . . . . .	50
3.3	Hyperparameter in den Gittersuchen . . . . .	51
3.4	Zusammengefasste Klassifikationsleistungen . . . . .	52
3.5	Zusammenfassung von Laufzeiten und Arbeitsspeicherbedarf . . . . .	57
3.6	<i>A posteriori</i> erwartete Klassifikationsleistung (Gesamtmittel) . . . . .	58
3.7	<i>A posteriori</i> erwartete Leistungen der untersuchten Klassifikationsansätze . . . . .	58
3.8	<i>A posteriori</i> erwartete Klassifikationsleistungen pro Testdatensatz . .	59
3.9	Anteile von den Differenzen der Vergleichsmetriken zum Gesamtmittel in der ROPE . . . . .	64
3.10	Anteile von den paarweisen Differenzen der Vergleichsmetriken in der ROPE . . . . .	70
B.1	Einzelergbnisse der Evaluierung . . . . .	174

---

## Listings

2.1	Generativer Ansatz AE-GRU	40
2.2	Bayes'sches multivariates lineares Modell	46
A.1	Modul <code>TrainTestInterface</code>	94
A.2	Modul <code>AbstractSearcher</code>	96
A.3	Modul <code>AbstractSearcher2</code>	100
A.4	Modul <code>AbstractEvaluator</code>	105
A.5	Modul <code>AbstractEvaluator2</code>	108
A.6	Modul <code>winfunc</code>	111
A.7	Skript <code>rf_search.py</code>	113
A.8	Skript <code>rf_eval.py</code>	115
A.9	Skript <code>svm_search.py</code>	117
A.10	Skript <code>svm_eval.py</code>	119
A.11	Skript <code>fe-mlp_search.py</code>	121
A.12	Skript <code>fe-mlp_eval.py</code>	124
A.13	Skript <code>e2e-mlp_search.py</code>	128
A.14	Skript <code>e2e-mlp_eval.py</code>	131
A.15	Skript <code>e2e-cnn_search.py</code>	134
A.16	Skript <code>e2e-cnn_eval.py</code>	137
A.17	Skript <code>e2e-gru_search.py</code>	140
A.18	Skript <code>e2e-gru_eval.py</code>	143
A.19	Skript <code>ae-mlp_search.py</code>	147
A.20	Skript <code>ae-mlp_eval.py</code>	151
A.21	Skript <code>ae-cnn_search.py</code>	155
A.22	Skript <code>ae-cnn_eval.py</code>	160
A.23	Skript <code>ae-gru_search.py</code>	165
A.24	Skript <code>ae-gru_eval.py</code>	169

---

## Abkürzungsverzeichnis

<b>AUC</b>	Area Under The Curve
<b>CNN</b>	Convolutional Neural Network
<b>CPU</b>	Central Processing Unit
<b>ELU</b>	Exponential Linear Unit
<b>GPU</b>	Graphics Processing Unit
<b>GRU</b>	Gated Recurrent Unit
<b>LSTM</b>	Long Short-Term Memory Neuronal Network
<b>MLP</b>	Multilayer Perceptron
<b>ROC</b>	Receiver Operator Characteristic
<b>ROPE</b>	Region Of Practical Equivalence
<b>RNN</b>	Recurrent Neural Network
<b>SELU</b>	Scaled Exponential Linear Unit
<b>SVM</b>	Support Vector Machine

## Einleitung

Neben Fruchtbarkeitsproblemen und Euterentzündungen gehört Lahmheit zu den bedeutendsten gesundheitlichen Beeinträchtigungen von Milchkühen. Lahmheit ist eine „Störung des koordinierten Bewegungsablaufs an einer oder an mehreren Gliedmaßen [...]. Sie ist zurückzuführen auf schmerzhafte Prozesse (Entzündungen), mechan. Beeinträchtigungen der Gelenkfunktionen oder auf den Ausfall von Impulsen in den peripheren und zentralen motor. Nerven (Lähmungen).“ [WR00, S. 834]. Bei Milchkühen ist Lahmheit meistens von schmerzhaften Läsionen an den hinteren Klauen verursacht, die häufigsten Veränderungen sind Sohlengeschwüre, Weiße-Linie-Defekte und Dermatitis digitalis [ABH10].

Eine systematische Literaturstudie fand 128 Faktoren, die mit Lahmheit zusammenhängen. Darunter waren tierindividuelle Risikofaktoren wie die Anzahl von Laktationen oder der Laktationsstand aber auch Eigenschaften des Betriebs wie die Herdengröße [Oeh+19]. Da die Gesundheit der Klauen von der mechanischen Belastung, dem Stoffwechsel der Kuh und dem Keimdruck in der Umgebung abhängt, gehören die Gestaltung des Kuhstalls (insbesondere der Lauf- und Liegeflächen) und dessen Sauberkeit, die Fütterung und das Wasserangebot sowie die Reinigung und Pflege der Klauen zu den Bereichen mit großem Einfluss auf die Häufigkeit von Lahmheit bei Milchkühen [Cha+13; GGO18].

In Deutschland gehört Lahmheit zu den häufigsten krankheitsbedingten Ursachen, weshalb Milchkühe i. d. R. zur Schlachtung aus ihren Herden entfernt werden [FOS21; Pra20]. Eine Prävalenzstudie in niedersächsischen Milchkuhherden fand nur 48,1 % der Kühe mit unverändertem Gangbild, 17,8 % der Kühe waren klinisch lahm [Sch15]. Die mediane Prävalenz von Lahmheit innerhalb deutscher Milchkuhherden wurde in einer aktuellen Querschnittstudie mit 23,1 %, 39,1 % und 23,2 % für Nord-, Ost- bzw. Süddeutschland ermittelt [Jen+22]. Aus anderen Ländern wurden ähnliche Häufigkeiten berichtet, z. B. 20 % aus Alberta, Kanada [vHuy+20] und 31,6 % aus England und Wales [GGO18].

Lahmheit bei Milchkühen ist mit deutlichen Kosten für den landwirtschaftlichen Betrieb verbunden. Der Großteil der Kosten wird durch eine verringerte Fruchtbarkeit verursacht. Bereits geringgradige Lahmheit reduziert die Konzeptionsrate deutlich [Wie05]. Die schlechtere Fruchtbarkeit von lahmen Kühen wird hauptsächlich durch eine geringe Brunstintensität verursacht, was wiederum zu einer schlechteren Erkennung der Brunst und damit zu weniger erfolgreichen Be-

samungen führt. Die Brunstintensität lahmer Kühe kann einerseits durch niedrigere Hormonkonzentration verursacht werden, aber auch durch die physischen Einschränkungen in Folge der Lahmheit [Roe+10]. Desweiteren hat Lahmheit negative Auswirkungen auf die Milchleistung, was geringen Ertrag verglichen mit nicht-lahmen Kühen bedeutet [Kof+21; Pue+21; Vil+19].

Neben den wirtschaftlichen Auswirkungen hat Lahmheit nicht zuletzt gravierende Auswirkungen auf das Wohlergehen und das Verhalten der Milchkühe. Zusätzlich dazu, dass sie unter Schmerzen leiden, können lahme Kühe ihr natürliches Verhaltenrepertoire nicht mehr in ausreichendem Maße ausüben, was sich in verändertem Fress-, Liege- und Sozialverhalten äußert [Wei+18; WS17; Hut+21]. Lahme Kühe laufen weniger und liegen länger am Stück [Hut+21; Ito+10; YGB12].

Frühe Erkennung und Behandlung von Lahmheit reduziert die negativen Auswirkungen deutlich und verringert die Prävalenz von Lahmheit innerhalb der Herde. Die visuelle Beurteilung des Gangbilds der Kühe durch Betriebspersonal dient aktuell meistens zur Erkennung von lahmen Kühen [Dut+18]. Allerdings ist die Gangbeurteilung sehr arbeitsaufwändig und stark subjektiv, nicht sehr genau und schlecht reproduzierbar [Kan+20]. Kanadische Milchproduzentinnen und -produzenten sahen Lahmheit als das zweitwichtigste Gesundheitsproblem von Milchkühen an, das es zu kontrollieren galt. Die mit der Lahmheit verbundenen Schmerzen der Kühe waren ihnen ebenso bewusst wie die damit verbundenen Kosten [Hig+17]. Allerdings ist die Erkennungsquote durch Betriebspersonal nicht sehr hoch [Hig+17; Dut+20]. Ein falsches Verständnis davon, wie ein unverändertes Gangbild aussieht und was bereits Lahmheit ist, sowie die Verwendung ungeeigneter bzw. ungenauer Anzeichen für Lahmheit könnten Ursachen für die geringe Erkennungsrate sein, da die visuelle Gangbeurteilung Fachwissen und regelmäßiges Training erfordert [Hig+17]. Neben Schulungen könnten daher besonders technische Hilfsmittel die Erkennungsrate von Lahmheit bei Milchkühen deutlich erhöhen und so dazu beitragen, dass lahme Kühe früher behandelt werden und die Prävalenz von Lahmheit reduziert wird [Kan+20]. Sensoren, die an den Kühen befestigt sind, würden von dem meisten Milchproduzentinnen und -produzenten gegenüber Sensoren in Laufgängen und gegenüber Kameras bevorzugt [vdGuc+17]. Hinzu kommt, dass in vielen Milchküherden bereits Sensoren an den Kühen befestigt sind, um über die Überwachung der Aktivität der Kühe den Zeitpunkt der Brunst zu bestimmen [RH18]. Mit diesen Systemen werden bereits Aktivitätsdaten wie die Schrittfrequenz sowie die Liegehäufigkeit und -dauer bestimmt, die sich möglicherweise auch zur Erkennung von Lahmheit eignen.

## 1.1 Ansätze zur Automatisierung der Lahmheitserkennung bei Milchkühen

Ein System zur automatischen Lahmheitserkennung bei Milchkühen besteht aus mehreren Schichten [vgl. AFS19; OLe+20]:

1. der Erfassungsschicht mit Sensoren, die regelmäßig Rohdaten über die einzelnen Kühe liefern;

2. der Verarbeitungsschicht, in der sowohl die Rohdaten vorverarbeitet und ggf. zu Merkmalen zusammengefasst werden, die für die Lahmheitserkennung aussagekräftig sind, als auch die Beobachtungen der Kühe klassifiziert werden; und
3. der Ausgabeschicht zur Bereitstellung der Information über den Zustand der Kühe.

### 1.1.1 Erfassungsschicht

Ein System zur automatischen Lahmheitserkennung wird maßgeblich von der Art der Sensoren in der Erfassungsschicht bestimmt, für die so unterschiedliche Techniken wie Drucksensoren, Kameras oder Beschleunigungssensoren erprobt wurden [OLe+20]. Die Daten, die in der Erfassungsschicht erzeugt werden, wurden wiederholt in drei Kategorien eingeteilt [Sch+14; AFS19; Qia+21].

#### *Kinetische Variablen*

Kinetische Variablen beschreiben die Kräfte, die durch die Klauen der Kühe im Stand oder beim Gehen auf den Boden ausgeübt werden [Sch+14]. Die Kräfte können dabei in einer oder in mehreren Richtungen gemessen werden, sodass nicht nur der Druck nach unten auf den Boden, sondern auch horizontal wirkende Kräfte und Rotations- sowie Scherkräfte bestimmt werden können [AFS19; Qia+21]. Zur Erfassung werden Systeme mit zwei oder vier Sensoren (Waagen) oder druckempfindliche Folien im Boden von Laufgängen oder auch von Boxen von automatischen Melksystemen installiert [Sch+14; AFS19]. Durch die Verwendung von mehreren Sensoren können auch die Unterschiede zwischen den verschiedenen Beinen einer Kuh erfasst werden. Kinetische Variablen können den Stand und den Gang von Kühen sehr genau beschreiben. Daher lassen sich mit ihnen Lahmheiten mit hoher Genauigkeit erkennen [Sch+14]. Beispielsweise verwendeten Pastell und Kujala [PK07] vier Waagen in der Box eines automatischen Melksystems, welche die Druckbelastungen durch die vier Gliedmaßen der Kühe während des Melkens erfassten. Auf Grundlage der so erhobenen Daten gelang es ihnen, ein System zu entwickeln, das lahme Kühe mit einer Genauigkeit von 0,96 erkannte.

Allerdings können kinetische Variablen nicht kontinuierlich für alle Kühe erhoben werden, weil die entsprechenden Sensoren nur an bestimmten Stellen im Stall installiert werden können. Der Aufwand für die Installation der Sensoren in Kuhställen ist recht hoch, und nicht jeder Stall eignet sich für solche Systeme. Darüber hinaus müssen die Klauen richtig auf den Sensoren platziert werden, um verwendbare Daten zu erzeugen [AFS19], was nicht immer erreicht werden kann, wenn die Kühe sich artgerecht frei bewegen können.

#### *Kinematische Variablen*

Kinematische Variablen beschreiben räumlichen und zeitliche Veränderungen der Gliedmaßen oder allgemein bestimmter Körperteile der Kühe [Sch+14]. Dazu gehören u. a. Schrittlänge, Schrittfrequenz, Winkel von Gelenken in der Stützpha-

se und Kopfbewegungen. Zur Messung kinematischer Variablen wurden unterschiedliche Sensoren untersucht wie Kameras, 3D-Kameras, druckempfindliche Folien, Beschleunigungssensoren [AFS19], aber auch Radar [Bus+19] und Mikrofone [Vol+21].

Die enorme Weiterentwicklung der Bildverarbeitung und der computergestützten Mustererkennung ist sicher ein Grund dafür, dass in den letzten Jahren in vielen Studien versucht wurde, Bilddaten zur Lahmheitserkennung zu verwenden. Ein Schwerpunkt lag bisher auf der automatisierten Analyse der Rückenlinie [Pou+10; vHer+16; FSH18; Jia+22], aber auch die Bewegungen der Gliedmaßen wurden aus Bilddaten analysiert [Son+08; KZL20]. Durch die Analyse kinematischer Variablen aus Bilddaten können Lahmheiten mit sehr hoher Genauigkeit erkannt werden. Sowohl Kang, Zhang und Liu [KZL20] als auch Jiang u. a. [Jia+22] geben Klassifikationsgenauigkeiten von über 0,95 an (0,96 bzw. 0,97). Neben den spezifischen Problemen der Bildaufnahme und -analyse wie den Lichtverhältnissen und ähnlichen Farben und Strukturen in Vorder- und Hintergrund, die die Lahmheitserkennung *in praxi* erschweren, findet sich auch nicht in allen Ställen ein geeigneter Platz für die Kameras. Schließlich liefern stationäre Kameras auch nicht kontinuierlich Daten zu allen Kühen.

Beschleunigungssensoren, die an einem oder mehreren Beinen der Kühe oder am Hals angebracht sind, können ebenfalls kinematische Variablen messen. Sie werden bereits in vielen Betrieben zur Brunsterkennung eingesetzt. Diese Art der Sensoren würde von Landwirten und Landwirtinnen gegenüber den anderen Systemen bevorzugt [OLe+20]. Da die Beschleunigungssensoren an den Kühen angebracht sind, können sie kontinuierlich Daten zu allen Kühen liefern. Die zeitliche Auflösung der Messungen kann sich dabei stark unterscheiden, von unter 40 Hz bis zu 400 Hz [AFS19]. Die Autoren Alsaad, Fadul und Steiner [AFS19] waren der Ansicht, dass 3D-Beschleunigungssensoren mit geringer Messfrequenz sich am besten für den Einsatz zur automatischen Lahmheitserkennung in Produktivsystemen eignen. In einer Literaturstudie beschrieben O’Leary u. a. [OLe+20] den Stand der Lahmheitserkennung mit Daten von Beschleunigungssensoren. Sie berichteten von Studien mit Lahmheitserkennungssystemen, die nach ihrer Ansicht praxistauglich waren, und die Lahmheiten mit einer Genauigkeit von bis zu 0,91 erkannten. Prototypen von Systemen, die nahe an der Praxistauglichkeit waren, wurden beispielsweise von Haladjian u. a. [Hal+18] und Taneja u. a. [Tan+20] vorgestellt mit Erkennungsgenauigkeiten von bis zu 0,91 bzw. von 0,87.

Aus den Daten von Beschleunigungssensoren können Variablen abgeleitet werden, die bestimmte Verhaltensweisen der Milchkühe beschreiben wie Stehen, Gehen, Liegen, Wiederkauen und Fressen [Mar+09]. Die so erzeugten Merkmale lassen sich wiederum zur Lahmheitserkennung weiter analysieren. Allerdings ist der Bezug dieser indirekten Variablen zum Vorkommen von Lahmheit geringer als von kinematischen Variablen, die direkte Bewegungen der Kühe beschreiben [OLe+20].

### *Indirekte Variablen*

Indirekte Variablen sind Variablen, die die Kühe selbst oder ihr Verhalten beschreiben (z. B. Alter und Laktationsstand bzw. Liegedauer oder Wiederkaufrequenz)



oder mit denen die Leistung der Kühe gemessen wird, wie die Milchmenge pro Tag, und die als Indikatoren für Lahmheit verwendet werden können [Sch+14]. Diese Merkmale werden nicht von Sensoren in erster Linie für die Lahmheitserkennung erzeugt, sondern wurden zu einem anderen Zweck wie zur Brunsterkennung oder zur Leistungsbeurteilung erhoben und liegen bereits vor. Die Übersichtsstudie von O’Leary u. a. [OLe+20] beschrieb auch die Zusammenhänge von indirekten Merkmalen und dem Vorkommen von Lahmheit. Zwar wurde die Leistungsfähigkeit bei der Lahmheitserkennung von Kombinationen aus indirekten Variablen auch ohne kinetische oder kinematische Merkmale untersucht, aber diese Ansätze waren nicht sehr erfolgversprechend. Beispielsweise konnten Shahinfar u. a. [Sha+21] basierend auf rein indirekten Variablen Klassifikationsgenauigkeiten von bis zu 0,88 erzielen, allerdings mit geringer Sensitivität von höchstens 0,27. Meistens wurden indirekte Merkmale mit kinematischen Variablen kombiniert, um die Erkennung von Lahmheiten robuster und genauer zu machen [Qia+21]. Van Nuffel u. a. [vNuf+16] kamen zu dem Schluss, dass Systeme zur Lahmheitserkennung genauer werden, wenn sie Variablen wie Alter und Laktationsstatus der einzelnen Kühe zusätzlich zu kinematischen Variablen berücksichtigen. In der Studie von van Herterem u. a. [vHer+16] erreichten Modelle die größte Genauigkeit, die kamerabasierte kinematische Variablen und indirekte Variablen bei der Erkennung von Lahmheit berücksichtigten.

### 1.1.2 Verarbeitungsschicht

In der Verarbeitungsschicht findet die Vorverarbeitung der Rohdaten und anschließend die Klassifikation der Beobachtungen statt. Die Rohdaten werden zunächst zu Merkmalen zusammengefasst, die dann einem Klassifizierer zugeführt werden, der die Beobachtungen entsprechend der verwendeten Kategorien in „lahm“ oder „nicht lahm“ einteilt. Die Merkmale können z. B. die Schrittfrequenz oder die Krümmung der Rückenlinie sein. Die Datenvorverarbeitung hängt natürlich einerseits stark von den verwendeten Sensoren bzw. den Rohdaten ab und andererseits von den Erfordernissen der Klassifikationsalgorithmen, die zum Einsatz kommen. Werden ausschließlich indirekte Variablen analysiert, deren Beobachtungen aus anderen Systemen übernommen wurden, beschränkt sich die Vorverarbeitung möglicherweise auf das Zusammenführen der Daten aus unterschiedlichen Quellen.

Da die Sensoren kontinuierlich oder zumindest wiederholt Daten von den Kühen erfassen, liegen diese als Zeitreihen in unterschiedlicher zeitlicher Auflösung vor. Die Messwerte werden nicht nur räumlich (Bildpunkte oder Beschleunigung in unterschiedlichen Dimensionen), sondern auch zeitlich zusammengefasst, um aussagekräftige Merkmale zur Lahmheitserkennung zu generieren. Häufig erfolgt die Aggregation über mehrere Schritte und resultiert in Merkmalen mit einer zeitlichen Auflösung von einem Tag [OLe+20]. Beispielsweise fasste das kamerabasierte System, das von Piette u. a. [Pie+20] beschrieben wurde, die ursprünglichen Bilder zuerst zu einem Wert des Merkmals *Rückenkrümmung* pro Erfassung zusammen. Da die Kühe nach jedem Melken erfasst wurden und zweimal täglich gemolken wurden, lagen somit zuerst zwei Werte pro Tag vor, die dann zu einem Durch-

schnittswert pro Tag zusammengefasst wurden. Bei kontinuierlich erfassten Daten von Beschleunigungssensoren erfolgt eine erste Zusammenfassung für kürzere Intervalle wie z. B. 15 min [BOS21] oder eine Stunde [Gri+19]. Anschließend erfolgt ebenfalls eine Zusammenfassung pro Tag, bevor die Merkmale zur Klassifizierung verwendet werden.

Zur Vorverarbeitung der Daten wurden bisher fast ausschließlich algorithmische Verfahren verwendet, sowohl zur Vorverarbeitung von Bilddaten [vHer+16; FSH18] als auch von anderen Sensordaten [Als+12; vHer+13; Bee+16]. In neueren Studien wurden aber auch trainierbare Methoden verwendet, um die Merkmale zur Klassifizierung zu erzeugen [KZL20; Wu+20; Jia+22]. Bei diesen Studien erfolgte ebenfalls zuerst eine Vorverarbeitung und Zusammenfassung zu interpretierbaren Merkmalen wie Schrittlänge [Wu+20] oder Krümmung der Rückenlinie [Jia+22]. Echte Ende-zu-Ende-Verfahren, bei denen Vorverarbeitung und Klassifizierer zusammen die Rohdaten in einer geschlossenen Abfolge verarbeiten, ohne dass ggf. interpretierbare Merkmale erzeugt werden, wurden bisher nur selten beschrieben. Sowohl Wu u. a. [Wu+20] als auch Jiang u. a. [Jia+22] verglichen Verfahren, die zuerst interpretierbare Merkmale erzeugten, welche anschließend klassifiziert wurden, mit Ende-zu-Ende-Verfahren. In der Studie von Jiang u. a. [Jia+22] erwiesen sich die Vorhersagen des zweistufigen Verfahrens als genauer als die der getesteten Ende-zu-Ende-Verfahren. Im Gegensatz dazu war der reine Deep-Learning-Ansatz bei Wu u. a. [Wu+20] etwas besser als das zweistufige Verfahren. Allerdings weisen die Autoren und Autorinnen darauf hin, dass Ende-zu-Ende-Verfahren schwieriger zu interpretieren bzw. deren Vorhersagen kaum nachvollziehbar sind.

## Klassifizierer

Die Auswahl der Methode, mit der die Beobachtungen nach dem Vorliegen von Lahmheit klassifiziert werden, ist ein zentraler Punkt zur automatischen Erkennung von Lahmheit. Bisher hat sich dafür noch kein Standardverfahren etabliert. Allerdings ist auch nicht bekannt, wie groß der Einfluss der Klassifizierungsmethode auf die Leistungsfähigkeit des Gesamtsystems ist [OLe+20].

Werden Bilddaten als Grundlage zur automatischen Lahmheitserkennung verwendet, wird in Publikationen teilweise weniger Wert auf die Art und Beschreibung des Klassifizierers gelegt als auf die Kameraplatzierung und -technik und die Vorverarbeitung. So wurden von Poursaberi u. a. [Pou+10] und Fiolka, Schächter und Heinskill [FSH18] die Klassifizierer nicht genannt. Die Bandbreite beschriebener Klassifizierer reicht von Grenzwerten, die mittels Gittersuche festgelegt wurden [Pie+20] über logistische Regressionsmodelle [vHer+16] bis zu Long Short-Term Memory Neuronal Networks (LSTMs) und Varianten davon [Wu+20; Jia+22]. Zwar wurde von Wu u. a. [Wu+20] mit LSTM eine Genauigkeit von nahezu 0,99 erreicht, aber in derselben Studie schnitten Klassifikationsalgorithmen wie SVMs und  $k$ -Nearest Neighbours mit Genauigkeiten von 0,96 bzw. 0,95 nicht wesentlich schlechter ab. Der durch Ausprobieren festgelegte Grenzwert von Piette u. a. [Pie+20] (Genauigkeit: 0,79) übertraf die Klassifikationsgenauigkeit der logistischen Regression von van Hertem u. a. [vHer+16] (Genauigkeit: 0,60).

Laut der Literaturübersicht von O’Leary u. a. [OLe+20] sind logistische Regression und SVMs die bedeutendsten Verfahren bei der Verwendung von Daten aus Beschleunigungssensoren. Eine eigene Literaturrecherche zur Bewertung von Klassifikationsalgorithmen in der automatischen Lahmheitserkennung bei Milchkühen am 28. Mai 2021 in Pubmed<sup>1</sup> und GoogleScholar<sup>2</sup> konnte diese Einschätzung teilweise bestätigen. Die Literatursuche beschränkte sich auf Studien, die indirekte Variablen zur Lahmheitserkennung verwendeten, welche die Aktivität bzw. das Verhalten der Kühe beschreiben. Zwar habe ich nur eine Studie gefunden, in der eine SVM verwendet wurde, aber fünf der elf gefundenen Studien verwendeten logistische Regressionsmodelle in verschiedenen Varianten (Tabelle 1.1 auf der nächsten Seite). In den Studien zur Lahmheitserkennung aus Aktivitätsdaten erreichten die Klassifizierer nicht ganz die Leistungen wie in den Studien, in denen Bilddaten verwendet wurden. Es wurden bisher keine Deep-Learning-Verfahren zur Klassifizierung verwendet, um auf der Grundlage von Aktivitätsdaten Lahmheit bei Milchkühen zu erkennen.

### 1.1.3 Ausgabeschicht

Die Ausgabeschicht informiert die Landwirtin bzw. den Landwirt über das Auftreten von Lahmheit bei den einzelnen Kühen. In den wenigsten wissenschaftlichen Publikationen zur automatischen Lahmheitserkennung bei Milchkühen wurde diese Schicht beschrieben oder wurden Entwürfe für diese Schicht vorgestellt. Auch in den Übersichtsarbeiten von Alsaad, Fadul und Steiner [AFS19] und O’Leary u. a. [OLe+20] finden sich keine Angaben zu Entwürfen der Ausgabeschicht. Die meisten Systeme, die in wissenschaftlichen Publikationen vorgestellt wurden, waren noch nicht praxisreif [AFS19], oder es wurden nur einzelne Aspekte der Automatisierung der Lahmheitserkennung untersucht. Die Arbeiten von Haladjian u. a. [Hal+18] und Taneja u. a. [Tan+20] stellen insofern Ausnahmen dar, als sie Prototypen kompletter Systeme von der Erfassungs- bis zur Ausgabeschicht umfassten.

Allerdings gaben Haladjian u. a. [Hal+18] nur Ausblicke und Ideen zur Ausgabeschicht in ihrer Beschreibung an. Sie schlugen vor, dass die Klassifikationsergebnisse über die Melktechnik erfasst werden sollten. Die Bewertungen pro Kuh und Tag könnten dann in einer Erweiterung der Melktechnik- oder der Herdenmanagementsoftware angezeigt werden.

Im Gegensatz dazu erwähnten Taneja u. a. [Tan+20] einen Prototypen für ein Cloud Dashboard und eine mobile Software zur Kommunikation der Klassifikationsergebnisse. Sie sahen bereits Schnittstellen vor, um ihr System für Klassifikationsergebnisse aus anderen Systemen (z. B. zur automatischen Erkennung von Euterentzündungen) oder andere Software zur Benachrichtigung der Landwirtinnen bzw. Landwirte zu öffnen.

<sup>1</sup> <https://pubmed.ncbi.nlm.nih.gov/>

<sup>2</sup> <https://scholar.google.de/>

Tabelle 1.1: Literaturübersicht über die Klassifikationsleistungen verschiedener Ansätze zur Lahmheitserkennung bei Milchkühen mit indirekten Variablen aus Aktivitätsdaten

Klassifikationsalgorithmus	Leistung			Quelle
	Genauigkeit	Sensitivität	Spezifität	
SVM	0,76			[Als+12]
Logistische Regression	0,86	0,89	0,85	[vHer+13]
Additive logistische Regression mit Regressionbäumen		0,41/0,57 <sup>i</sup>		[Kam+13]
Statistische Kontrollkarten		0,88	0,61	[MTK13]
Dynamisches lineares Modell		0,80	0,90	[dMol+13]
Partial Least Squares Discriminant Analysis	0,77/0,81 <sup>ii</sup>	0,79/0,79 <sup>ii</sup>	0,77/0,83 <sup>ii</sup>	[Gar+14]
Logistische Regression		0,93	0,92	[Bee+16]
Elastic Net Logistic Regression		1,0	0,8	[Sch+17]
$k$ -Nearest Neighbours	0,87 <sup>iii</sup>	0,90 <sup>iii</sup>	0,73 <sup>iii</sup>	[Bya+19]
Elastic Net Logistic Regression		0,94	0,81	[Gri+19]
Gradient Boosted Decision Trees	0,78	0,78	0,78	[BOS21]

<sup>i</sup> Bei festgelegter Spezifität von 0,9 bzw. 0,8.

<sup>ii</sup> Für Kühe in der ersten bzw. zweiten Laktation.

<sup>iii</sup> Drei Tage vor dem Auftreten sichtbarer Lahmheit.

## 1.2 Aufgabenbeschreibung und Ziele

Wie von Wolpert [Wol96] gezeigt, ist kein Klassifikationsmodell grundsätzlich besser als ein anderes, wenn der Vergleich ohne Annahmen über die verwendeten Daten durchgeführt wird. Diese Feststellung wurde als *No Free Lunch Theorem* bekannt. Es gibt keine andere Möglichkeit, gut geeignete Klassifikationsansätze für eine bestimmte Aufgabe zu finden, als unterschiedliche Ansätze auszuprobieren. Da nicht alle möglichen Ansätze ausprobiert werden können, ist es wichtig, vielversprechende Kandidaten auszuwählen durch Kenntnis sowohl der jeweiligen Klassifikationsverfahren als auch der Eigenschaften der Daten und der fachlichen Hintergründe [vgl. Gér20, S. 34; DHS01, S. 457–458].

Das Ziel meiner vorliegenden Arbeit war der Vergleich von verschiedenen Klassifikationsalgorithmen zur Erkennung von Lahmheit an Hand von indirekten Variablen zur Aktivität, zur Leistung und zu Eigenschaften der Kühe. In den Vergleich sollten Verfahren des klassischen maschinellen Lernens wie baumbasierte Verfahren und SVMs, aber auch Methoden des Deep Learning einbezogen werden, um wenigstens ein Verfahren zu identifizieren, welches gut zu den zur Verfügung ste-

henden Daten passt [vgl. DHS01, S. 458]. Es sollte mit der Klassifikation (und ggf. zusätzlich notwendigen Datenvorverarbeitungsschritten) ein einzelner Aspekt innerhalb der Verarbeitungsschicht der automatischen Lahmheitserkennung untersucht werden unabhängig von möglichen Gesamtsystemen, aber bezogen auf eine konkrete Auswahl von Merkmalen.

Im Rahmen des Projekts Klauenfitnet<sup>3</sup> waren auf sieben deutschen Milchviehbetrieben jeweils über ein halbes Jahr Daten erhoben worden zu insgesamt etwa 3500 Milchkühen [fLei19]. Aus diesem Projekt standen die Daten zur täglichen Aktivität der Kühe (Schrittfrequenz, Liegehäufigkeit und -dauern), die tägliche Milchleistung sowie die Rasse, Laktationsnummer und die Kalbedaten zur Verfügung. Ergänzt wurden diese Daten durch die Ergebnisse der Gangbeurteilung nach Sprecher, Hostetler und Kaneene [SHK97] in zweitwöchentlichen Abständen.

Die Ergebnisse der Gangbeurteilung sollten als Labels zum Trainieren und Testen verschiedener Klassifikationsmodelle dienen, die die täglichen Beobachtungen der Variablen zur Aktivität und Leistung der Kühe verarbeiten. Die Kombination von kinematischen Variablen wie der Schrittfrequenz mit der Milchleistung sollten Erkennung von Lahmheit bei Milchkühen robuster und genauer machen [Qia+21]. Die Genauigkeit sollte durch die Kombination mit kuhindividuellen Merkmalen wie der Laktationsnummer und dem Laktationsstatus weiter erhöht werden [vNuf+16]. Als Merkmale zur Klassifikation sollten somit sowohl zeitabhängige Variablen wie die tägliche Aktivität und Milchmenge als auch (im Beobachtungszeitraum) konstante Variablen wie die Laktationsnummer verwendet werden. Die Beobachtungen bestanden damit aus einer Kombination aus mehreren Zeitreihen und Einzelwerten. Da nur etwa in 14-tägigen Abständen das Gangbild beurteilt worden war, waren die Labels der Beobachtungen unvollständig und standen für überwachte Lernverfahren nur eingeschränkt zur Verfügung. Neben Verfahren zur Zeitreihenklassifikation aus dem Bereich des überwachten Lernens sollten daher zusätzlich halbüberwachte Lernverfahren einbezogen werden, um die Beobachtungen mit fehlenden Labels zum Training der Klassifikationsmodelle nutzen zu können. Die Klassifikationsleistung und der Ressourcenbedarf der trainierten Klassifikationsmodelle sollten anschließend verglichen werden.

### 1.2.1 Verwandte Arbeiten

Klassifikationsmodelle können entweder allgemein oder bezogen auf einen speziellen Anwendungsfall verglichen werden. Das Ziel eines allgemeinen Vergleichs ist es, die theoretischen Leistungsfähigkeiten verschiedener Modelle zu beurteilen. Dabei erfolgt der Vergleich i. d. R. mit sehr unterschiedlichen Datensätzen, um die Leistungsfähigkeiten für möglichst viele unterschiedliche Anwendungsszenarien einzubeziehen. Als Maße der Leistungsfähigkeit bieten sich in diesem Fall grenzwertunabhängige Metriken an wie die Area Under The Curve (AUC), die Fläche unter der Receiver Operator Characteristic (ROC) [Hum+20]. Im zweiten Fall werden verschiedene Klassifikationsmodelle verglichen, um für eine konkrete Anwendung das geeignetste zu identifizieren. Daher wird in diesem Fall häufig nur

<sup>3</sup> <https://www.klauenfitnet.de/programm/klauenfitnet-10/>, abgerufen am 17. Mai 2022

ein Datensatz für den Vergleich verwendet. Der Vergleich erfolgt sinnvollerweise über grenzwertabhängige Metriken wie Genauigkeit, Sensitivität und Spezifität [Hum+20].

### Allgemeine Vergleiche von Klassifikationsmodellen für Zeitreihen

Vergleiche der theoretischen Leistungsfähigkeit verschiedener Modelle ohne konkreten Anwendungsbezug werden oft durchgeführt, wenn eine neue Modellvariante vorgestellt wird. Die neue Modellvariante wird mit bereits publizierten und angewandten Modellen verglichen, um einordnen zu können, ob sie einen Fortschritt darstellt. Beispielsweise verglichen Dempster, Petitjean und Webb [DPW20], Fawaz u. a. [Faw+20] und Khan u. a. [Kha+20] ihre neuen Modellvarianten jeweils mit den bis dahin leistungsfähigsten Klassifikationsmodellen für Zeitreihen. Allerdings wird in der vorliegenden Arbeit keine neue Modellvariante vorgestellt, daher werden diese Beispiele nicht näher ausgeführt.

Reine Vergleiche von Zeitreihenklassifizierern ohne die Präsentation eines neuen Modells finden sich in den Artikeln von Fawaz u. a. [Faw+19] und [Rui+21]. Die Studie von Fawaz u. a. [Faw+19] beschränkte sich auf den Vergleich von diskriminativen (unterschiedenen) Deep-Learning-Modellen zur Zeitreihenklassifizierung in Ende-zu-Ende-Ansätzen. Jedes Modell wurde jeweils zehnmal mit unterschiedlichen Datensätzen trainiert (85 Datensätze mit univariaten Zeitreihen und 12 Datensätze mit multivariaten Zeitreihen). Die Aufteilung in Trainings- und Testdaten war für alle Durchläufe eines Datensatzes immer dieselbe, allerdings wurden die Modelle jedes Mal mit anderen zufälligen Gewichten initialisiert. Als Vergleichsmetrik wurde die Genauigkeit bestimmt und mittels Critical-Difference-Diagrammen nach Demšar [Dem06] für den Vergleich mehrerer Modelle mit mehreren Datensätzen beurteilt.

Einen anderen Schwerpunkt setzten Ruiz u. a. [Rui+21] in ihrem Vergleich, den sie auf Klassifikationsmodelle für multivariate Zeitreihen beschränkten. In ihren Vergleich bezogen sie neben Deep-Learning-Modellen auch Ansätze ein, die auf Shapelets oder Bags Of Words basierten. Die Modelle wurden mit 26 verschiedenen Datensätzen trainiert und getestet. Jedes der Modelle wurde auf jeden Datensatz 30 Mal angewandt, wobei für jeden Durchlauf eine unterschiedliche Aufteilung in Trainings- und Testdaten erfolgte. Zum Vergleich wurden verschiedene Metriken berechnet einschließlich Genauigkeit und AUC. Mit statistischen Tests wie dem Wilcoxon-Rank-Test und Critical-Difference-Diagrammen wurden mögliche Unterschiede zwischen den Leistungen der verschiedenen Klassifikationsmodelle untersucht. Zusätzlich wurden die Laufzeiten und der Arbeitsspeicherbedarf für das Training der unterschiedlichen Modelle deskriptiv verglichen.

Im Gegensatz zu den soeben vorgestellten Studien sollte in der vorliegenden Arbeit kein allgemeiner Vergleich der theoretischen Leistungsfähigkeit verschiedener Modelle zur Zeitreihenklassifizierung erfolgen, sondern es sollten unterschiedliche Ansätze hinsichtlich ihrer Eignung als Klassifizierer in einem System zur automatischen Lahmheitserkennung von Milchkühen beurteilt werden. Die Anforderungen wurden weiter konkretisiert, indem die ursprünglichen Merkmale, an Hand derer

die Klassifizierung erfolgen sollte, durch die vorhandenen Daten bereits festgelegt waren. Daher sind die Methoden und Ergebnisse von Fawaz u. a. [Faw+19] und Ruiz u. a. [Rui+21] nur eingeschränkt mit denjenigen der vorliegenden Arbeit vergleichbar.

### **Vergleiche von Klassifikationsmodellen zur automatisierten Lahmheitserkennung bei Milchkühen**

Bisher wurden kaum Vergleichsstudien von Klassifikationsmodellen für die Analyse von Aktivitätsdaten zur Lahmheitserkennung bei Milchkühen veröffentlicht. Meistens wurden die zur Verfügung stehenden Daten mit einem Modell klassifiziert und Metriken für dessen Leistungsfähigkeit berechnet. In Tabelle 1.1 auf Seite 8 finden sich Beispiele dafür. Natürlich ist es wahrscheinlich, dass in den Vorbereitungen der dort aufgeführten Arbeiten auch unterschiedliche Modellansätze ausprobiert worden waren, aber diese Versuche sind nicht in den Veröffentlichungen enthalten. In ihrer Publikation erwähnten Taneja u. a. [Tan+20] immerhin, dass sie verschiedene Klassifizierer ausprobiert hatten (SVM, Random Forest,  $k$ -Nearest Neighbours und Gradient Boosted Decision Trees). Diese wurden mittels ihrer Genauigkeit verglichen. Allerdings wurden weder die Vergleichsmethodik noch die Ergebnisse vollständig beschrieben.

Die Studien von Lasser u. a. [Las+21] und Shahinfar u. a. [Sha+21] verglichen zwar Klassifikationsmodelle zur Lahmheitserkennung bei Milchkühen an Hand von indirekten Variablen, allerdings wurden bei beiden keine Aktivitätsdaten einbezogen. Lasser u. a. [Las+21] untersuchten die Klassifikationsleistung von logistischer Regression, Random Forests und Gradient Boosted Decision Trees zur Erkennung von acht Erkrankungen von Milchkühen, darunter auch Lahmheit. Dazu verwendeten sie etliche indirekte Variablen aus verschiedenen Bereichen wie Leistungsdaten und Eigenschaften der Kühe, aber auch Eigenschaften der Betriebe. Die Klassifikationsmodelle wurden mit vier Datensätzen mit unterschiedlichen Merkmalskombinationen und unterschiedlicher Auswahl der beobachteten Kühe trainiert und getestet. Pro Datensatz erfolgte eine zehnfache Kreuzvalidierung auf Beobachtungs-, aber auch auf Einzeltier- und Herdenebene. Mit verschiedenen grenzwertabhängigen Metriken wie der Genauigkeit wurden die Leistungen der Klassifizierer deskriptiv verglichen.

Ebenfalls im Vergleich enthalten waren bei der Studie von Shahinfar u. a. [Sha+21] logistische Regression und Random Forests, zusätzlich wurden MLPs untersucht. Ziel dieser Studie war die Erkennung von Lahmheit bei Milchkühen auf der Grundlage von Leistungsdaten und körperlichen Merkmalen, die für die Zuchtwertschätzung erhoben worden waren. Die Modelle wurden in einer zehnfachen Kreuzvalidierung mit einem Datensatz trainiert und getestet. Dabei wurden jeweils 20 % der Daten jeder Herde als Testdaten verwendet. Zum Vergleich wurden verschiedene grenzwertabhängige Metriken wie die Genauigkeit aber auch AUC berechnet. Der Vergleich erfolgte mittels Tukey's Honestly-Significant-Difference-Test.

Da zwar sowohl Lasser u. a. [Las+21] als auch Shahinfar u. a. [Sha+21] indirekte Variablen zur automatischen Lahmheitserkennung heranzogen, dabei aber Aktivitätsdaten nicht unberücksichtigt ließen, die beispielsweise im Zusammenhang mit der Brunsterkennung erhoben wurden, sind auch diese beiden Arbeiten nicht direkt mit der vorliegenden Studie vergleichbar.

### 1.2.2 Besonderheiten dieser Arbeit

In der vorliegenden Arbeit wurden verschiedene Klassifikationsmodelle verglichen zur Erkennung von Lahmheit an Hand von indirekten Variablen zur Aktivität, zur Leistung und zu Eigenschaften der Kühe. Dabei wurden sowohl diskriminative als auch generative Ansätze zur Klassifikation von multivariaten Zeitreihen einbezogen. Außerdem wurden neben Verfahren des klassischen maschinellen Lernens, wie baumbasierten Verfahren und SVMs, auch Methoden des Deep Learning, wie CNNs und RNNs, berücksichtigt. Um zusätzliches Wissen in die Trainingsdaten einzubeziehen, wurden in diskriminativen Ansätzen mittels Feature Engineering zusätzliche Merkmale erzeugt [vgl. vRMB+20]. Diese zusätzlichen Merkmale dienten dann zusammen mit den ursprünglichen Merkmalen zur Klassifizierung der Datensätze mit Methoden des klassischen maschinellen Lernens sowie mit MLP. Bei Ende-zu-Ende-Ansätzen erfolgte die Entwicklung der endgültigen Merkmale zur Klassifizierung während des und zusammen mit dem Training eines diskriminativen Klassifizierers in Deep-Learning-Modellen [Faw+19]. Bei vielen der zur Verfügung stehenden Daten fehlten die Labels, d. h. die Angabe, ob die betreffende Kuh am beobachteten Tag lahm war oder nicht. Um diese ungelabelten Daten ebenfalls für das Training der Klassifizierer zu verwenden, wurden in generativen Ansätzen Deep-Learning-Modelle mit Autoencodern unüberwacht vortrainiert [vgl. Gér20, S. 352]. Zur Bewertung der Klassifikationsleistung der verschiedenen Ansätze und Modelle wurden grenzwertabhängige Metriken (Genauigkeit, Relevanz, Sensitivität und Spezifität) berechnet, weil die Leistungsbeurteilung für eine konkrete Aufgabe mit festgelegten Merkmalen erfolgte [vgl. Hum+20]. Der Vergleich aller vier Metriken erfolgte mit einem Bayes'schen multivariaten Modell wie von Benavoli u. a. [Ben+17] propagiert. Die Laufzeit zum Training der Modelle und der Arbeitsspeicherbedarf wurden in die Studie einbezogen, weil zur Bewertung der Eignung verschiedener Klassifikationsansätze für die automatische Lahmheitserkennung bei Milchkühen nicht nur die Klassifikationsleistung wichtig ist, sondern auch der Ressourcenbedarf der Verfahren.

## 1.3 Übersicht über die folgenden Kapitel

Der Rest der vorliegenden Arbeit gliedert sich in die Kapitel *Material und Methoden*, *Ergebnisse* und *Diskussion*.

Das nächste Kapitel *Material und Methoden* beginnt mit einer Beschreibung, wie die Daten erhoben und zusammengeführt wurden, die für den Vergleich der Klassifikationsansätze verwendet wurden. Anschließend werden die untersuchten



Klassifikationsansätze erläutert. Im dritten Abschnitt des Kapitels werden die Kriterien dargestellt, an Hand derer die Ansätze verglichen wurden, sowie der experimentelle Aufbau und das Softwareframework für den Vergleich detailliert beschrieben. Zum Abschluss des Kapitels wird das statistische Modell vorgestellt, mit dem die Leistungen der Klassifikationsansätze analysiert wurden.

Zu Beginn des Kapitels *Ergebnisse* werden die verwendeten Daten und die Hyperparameter der Klassifikationsmodelle beschrieben. Darauf folgen die Beschreibungen der Klassifikationsleistungen, die von den untersuchten Ansätzen erzielt wurden, ihres Ressourcenbedarfs und schließlich die Schätzungen des statistischen Modells für die zu erwartenden Klassifikationsleistungen.

Im Kapitel *Diskussion* werden die Innovationen und Einschränkungen der vorliegenden Arbeit in den Kontext bisher publizierter Studien eingeordnet. Die Ergebnisse der Arbeit werden in Beziehung zueinander gesetzt und mögliche Erklärungen werden erörtert. Zusätzlich werden Anregungen für weitere Studien gegeben. Mit einer Zusammenfassung der wesentlichen Schlussfolgerungen aus den Untersuchungen endet das Kapitel.

## Material und Methoden

Im diesem Kapitel werden zuerst die Erhebung und Vorbereitung der verwendeten Daten beschrieben. Anschließend werden die untersuchten Ansätze zur Klassifikation im Detail dargestellt. Schließlich werden die Kriterien und der experimentelle Aufbau zur Bestimmung der Leistungen der Klassifikationsansätze erläutert. Den Abschluss bildet die genaue Beschreibung des statistischen Modells zum Vergleich der Klassifikationsansätze.

### 2.1 Verwendete Daten

Für den Vergleich verschiedener Ansätze zur multivariaten Zeitreihenklassifikation für die automatische Lahmheitserkennung im Rahmen dieser Arbeit standen Daten zur Verfügung, die während des Projekts „Entwicklung einer Dienstleistung zur Verbesserung der Klauengesundheit von Milchkühen durch Vernetzung und Verdichtung von Daten für das Tiergesundheitsmanagement“ (*Klauenfitnet*)<sup>1</sup> erhoben worden waren. Das Projekt *Klauenfitnet* hatte eine Laufzeit von 1. März 2015 bis 31. August 2018 und war vom Bundesministerium für Ernährung und Landwirtschaft über den Projektträger Bundesanstalt für Ernährung im Rahmen des Förderprogramms Innovationsförderung unterstützt worden. Die Projektkoordination erfolgte durch den Deutschen Verband für Leistungs- und Qualitätsprüfungen e.V. (DLQ) [fLei19].

#### 2.1.1 *Klauenfitnet*-Daten

Während des Projekts *Klauenfitnet* waren Daten auf sieben Milchviehbetrieben in Ost- und Süddeutschland mit sehr unterschiedlichen Herdengrößen und -zusammensetzungen erhoben worden. Alle Betriebe hatten die ermolzene Milchmenge pro Kuh und Tag (das Tagesgemelk) erfasst. Pro Kuh war ein Bein mit einem Differential-Präzisionspedometer der Firma Lemmer Fullwood GmbH, Lohmar versehen gewesen, das Beschleunigungssensoren enthält. Die Differential-Präzisionspedometer hatten die Datengrundlage für die Berechnung der täglichen Aktivitätsdaten (durchschnittliche Schrittfrequenz und Liegedauer) geliefert. Die

---

<sup>1</sup> <https://www.klauenfitnet.de/>, besucht am 24. Mai 2022

Tagesgemelke und Aktivitätsdaten waren über das FULLEXPERT® Herdenmanagementsystem<sup>2</sup> von Lemmer Fullwood bereitgestellt worden. Zusätzlich waren für alle Kühe Daten aus den Milchleistungsprüfungen abgerufen worden (u. a. Rasse, Kalbedaten und Laktationsnummern) [fLei19].

In allen Herden war der Gang der Kühe nach Sprecher, Hostetler und Kaneene [SHK97] visuell beurteilt worden durch eine Tierärztin und einen Tierarzt, die ihre Bewertung wiederholt abgestimmt hatten. Für die Gangbeurteilung hatten sie ein einheitliches Schema mit Beispielbildern für jede Bewegungsnote verwendet (Abbildung 2.1 auf der nächsten Seite). Die Gangbeurteilung war in jeder Herde für sechs Monate ab Oktober 2015 in 14-tägigem Abstand durchgeführt und die Ergebnisse waren für jede Kuh elektronisch gespeichert worden. Insgesamt konnten nach Abschluss der Datenerhebung Beobachtungen von ca. 3.500 Milchkühen genutzt werden [fLei19].

Für die vorliegende Arbeit standen die *Klauenfitnet*-Daten in verschiedenen Textdateien zur Verfügung. Die Daten zu den Merkmalen *Betrieb*, *Kuh*, *Laktationsnummer*, *Laktationstag*, *Tagesgemelk*, *durchschnittliche Schrittfrequenz pro Tag* und *Liegedauer pro Liegevorgang* sowie die Ergebnisse der Gangbeurteilung wurden in einem Datensatz zusammengefasst. Dabei wurden die Beobachtungen von einem Betrieb ausgeschlossen, weil nur sehr wenige Werte der Liegedauer vorhanden waren. Die Ergebnisse der Gangbeurteilung, die auf einer fünfstufigen Skala vorlagen, wurden als Klassenlabels dichotomisiert. Beobachtungen mit einer Note von drei bis fünf wurden als „lahm“ eingestuft, Beobachtungen mit den Noten eins und zwei als „nicht lahm“ (siehe Abbildung 2.1 auf der nächsten Seite).

## Herausforderungen der Daten

Eine Beobachtung wurde durch einen Laktationstag in einer Laktation(snummer) einer Kuh definiert. Die einzelnen Beobachtungen konnten nicht als unabhängig voneinander behandelt werden, sondern sie lagen in einer hierarchischen Struktur mit zeitlicher und räumlicher Gruppierung vor. Die Laktationstage bildeten Zeitreihen innerhalb einer Laktation einer Kuh. Pro Kuh konnten wiederum mehrere Laktationen beobachtet worden sein. Schließlich waren die Kühe innerhalb der Betriebe räumlich gruppiert. Es lagen keine Beobachtungen von ein und derselben Kuh aus unterschiedlichen Betrieben vor. Um die Struktur der Daten und die möglichen unbeobachteten Einflüsse des Laktationsstadiums und der Laktationsnummer zu berücksichtigen, wurden die Merkmale *Laktationstag* und *-nummer* in die Modelle aufgenommen. Für die Merkmale *Kuh* und *Betrieb* erschien dieses Vorgehen nicht sinnvoll, weil ein System zur automatischen Lahmheitserkennung Kühe eines einzelnen Betriebs beurteilen muss, ohne Vorkenntnisse über die Kühe oder den Betrieb zu haben. Es wurde daher angestrebt, die Modelle unabhängig vom Merkmal *Kuh* zu trainieren. Dazu wurden die Daten auf der Ebene der Kühe in Trainings- und Testdaten eingeteilt, d. h. sämtliche Beobachtungen einer Kuh wurden entweder dem Trainings- oder dem Testdatensatz zugewiesen. Um die

<sup>2</sup> <https://www.lemmer-fullwood.info/loesungen/herdenmanagement/fullexpert/>, abgerufen am 2022-05-30



## Notenvergabe für die Bewegungsbeurteilung

### Note 1: lahmheitsfrei

Gerader Rücken im Stehen  
Gerader Rücken in der Bewegung  
Sichere und raumgreifende Schritte  
Flüssiger Bewegungsablauf, alle Gliedmaßen werden gleichmäßig belastet, kein Hinken  
Trittsiegel der Hinterklauen in Höhe oder vor denen der Vorderklauen (raumgreifend)  
Erhobener Kopf



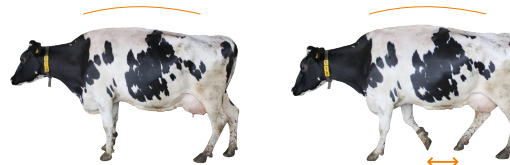
### Note 2: leicht abnormaler Bewegungsablauf

Gerader Rücken im Stehen  
Leicht gekrümmter Rücken in der Bewegung  
Leicht gestörter Bewegungsablauf  
Schrittlänge ist noch erhalten  
Eine für die Störung im Bewegungsablauf verantwortliche Gliedmaße kann nicht identifiziert werden



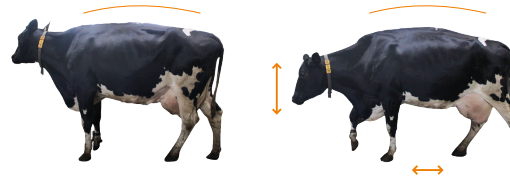
### Note 3: geringgradig lahm

Gekrümmter Rücken im Stehen  
Gekrümmter Rücken in der Bewegung  
Verkürzte Schritte mit einem oder mehreren Beinen  
Der Bewegungsablauf ist gestört



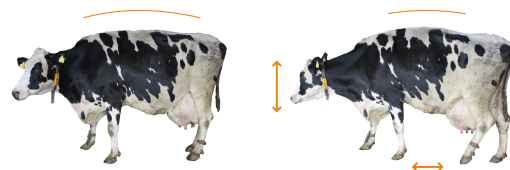
### Note 4: mittelgradig lahm

Gekrümmter Rücken im Stehen  
Deutlich gekrümmter Rücken in der Bewegung  
Schrittlänge deutlich verkürzt  
Ein oder mehrere Beine werden geschont  
Zögerliche Bewegung  
Kopfnicken in der Bewegung



### Note 5: hochgradig lahm

Stark gekrümmter Rücken im Stehen  
Stark gekrümmter Rücken in der Bewegung  
Gliedmaßen werden nur noch kurz oder gar nicht mehr belastet (Kuh läuft auf drei Beinen)  
Setzt sich nur noch widerwillig in Bewegung  
Schrittlänge deutlich verkürzt  
Deutliches Kopfnicken in der Bewegung



Gefördert durch:  
Bundesministerium für Ernährung und Landwirtschaft  
aufgrund eines Beschlusses des Deutschen Bundestages



Abbildung 2.1: Schema zur Gangbeurteilung bei Kühen nach Sprecher, Hostetler und Kaneene [SHK97] im Rahmen des Projekts Klauenfitnet [Kla, S. 2, Abdruck genehmigt am 2022-07-04]

(unbeobachteten) Einflüsse der Betriebe möglichst gering zu halten, wurden nur die Daten von Betrieben mit Herden aus mindestens 75 % schwarzbunten Kühen verwendet. Daten von zwei Betrieben mit überwiegend Fleckviehkühen wurden ausgeschlossen. Die verbliebenen Beobachtungen wiesen nur geringe Unterschiede zwischen den Betrieben auf.

Die *Klauenfitnet*-Daten waren aus unterschiedlichen Quellen zusammengeführt worden (Milchmengenerfassung, Aktivitätsmessung, Milchleistungsprüfung und Gangbeurteilung). Nicht in allen Quellen waren die Daten zuvor Plausibilitätsprüfungen unterzogen worden. Zusätzlich konnten sich durch die Zusammenführung und Berechnung des Laktationstags aus Beobachtungsdatum und Kalbedatum falsche Werte ergeben. Daher lagen auch Beobachtungen mit fachlich unplausiblen Werten vor. Alle Beobachtungen mit einem Laktationstag über dem Minimum von 500 und dem Laktationstag der letzten Beobachtung mit dokumentiertem Tagesgemelk innerhalb der Laktation einer Kuh wurden entfernt. Anschließend wurden alle Laktationen einer Kuh mit weniger als 27 Beobachtungen vollständig ausgeschlossen. Extreme Werte der Schrittfrequenz und der Liegedauer unter bzw. über dem 0,005- bzw. 0,995-Quantil wurden durch die entsprechenden Quantile ersetzt.

Damit die Zeitreihen der Merkmalswerte klassifiziert werden konnten, mussten sie vollständig vorliegen, d. h. es durfte keine Lücken durch fehlende Werte innerhalb einer Reihe von Beobachtungen geben. Um diese Voraussetzung zu erfüllen, wurden zuerst alle Beobachtungen von Laktationen ausgeschlossen, bei denen nicht jeweils für wenigstens 67 % der Beobachtungen Werte für das Tagesgemelk, die Schrittfrequenz und die Liegedauer vorlagen. Anschließend wurden fehlende Werte dieser Merkmale mittels linearer Interpolation imputiert. Es wurden maximal zehn fehlende Werte in Folge interpoliert. Zuletzt wurde pro Laktation einer Kuh nur die längste zusammenhängende Folge von Beobachtungen mit vollständigen Werten behalten, die mindestens 27 Tage umfasste.

Für die Klassifikation standen Beobachtungen der fünf Variablen *Laktationsnummer* (*Lactation*), *Laktationstag* (*DaysInMilk*), *Tagesgemelk* (*MilkYield*), *durchschnittliche Schrittfrequenz* (*StepsPerHour*) und *durchschnittliche Liegedauer pro Liegevorgang* (*LyingDuration*) zur Verfügung. Weil die Gangbeurteilung nur etwa alle zwei Wochen erfolgt war, waren nicht alle Beobachtungen mit einem der Labels „lahm“ oder „nicht lahm“ markiert.

Die Vorbereitung der Daten erfolgte mit Python Version 3.8<sup>3</sup> [vRD09]. Neben den Standardbibliotheken wurden die Bibliotheken *pandas* Version 1.2<sup>4</sup> [Reb+21] und *numpy* Version 1.20<sup>5</sup> [Har+20] verwendet.

### 2.1.2 Zeitfenster

Zur Klassifikation wurden nicht die gesamten Zeitreihen pro Kuh und Laktation auf einmal verwendet, stattdessen wurden aus den Zeitreihen überlappende Zeitfenster derselben Länge gebildet. Dabei wurde pro Tag (pro Kuh und Laktation)

<sup>3</sup> <https://www.python.org/>, abgerufen am 2022-05-30

<sup>4</sup> [https://pandas.pydata.org](https://pandas.pydata.org/), abgerufen am 2022-07-16

<sup>5</sup> <https://numpy.org/>, abgerufen am 2022-07-16

ein Zeitfenster gebildet. Die Klassifikationsmodelle verwendeten jedes Zeitfenster als eine Beobachtung und wurden entsprechend trainiert und evaluiert [vgl. Hir21, S. 186].

Die Zeitfenster bestanden aus 27 aufeinanderfolgenden Tagen, wobei das Ergebnis der Gangbeurteilung am letzten Tag als Label für das gesamte Zeitfenster diente. Ergebnisse früherer Gangbeurteilungen in einem Zeitfenster wurden ignoriert. Die Klassifikationsaufgabe bestand folglich darin, aus den Merkmalswerten von 27 aufeinanderfolgenden Tagen das Vorliegen von Lahmheit am letzten (27.) Tag zu erkennen.

Für die Zeitfenster wurde eine Länge von 27 Tagen gewählt, damit mindestens ein kompletter Brunstzyklus der Kühe in jedem Zeitfenster enthalten war und sich keine Unterschiede zwischen den Zeitfenstern durch zyklusbedingte Schwankungen der Leistung und des Verhaltens ergaben. Die Zykluslänge von schwarzbunten Milchkühen wurde mit  $22 \pm 5$  [OS51] bzw.  $21 \pm 3$  [Gru99, S. 4] angegeben (jeweils Mittelwert  $\pm$  Standardabweichung). Mit der Wahl einer Fensterlänge von 27 Tagen sollte also bei über 95 % der Kühe in jedem Zeitfenster mindestens ein Brunstzyklus enthalten sein.

In einem Zeitfenster lagen neben den Wertereihen der drei zeitabhängigen Merkmale `MilkYield`, `StepsPerHour` und `LyingDuration` auch 27 Werte des Merkmals `DaysInMilk` vor. Allerdings enthielten die 27 Werte dieses Merkmals nicht mehr Information als ein einziger Wert pro Zeitfenster, weil sich die übrigen Werte daraus direkt linear ergaben. Daher wurde nur der Laktationstag des letzten Tags pro Zeitfenster verwendet. Vom Merkmal `Lactation` wurde ebenfalls nur ein Wert pro Zeitfenster verwendet, weil es innerhalb eines Zeitfensters konstant war. Eine Beobachtung, die zum Training der Modelle verwendet wurde, bestand somit aus einem Zeitfenster der Länge 27 mit Wertereihen der drei Merkmale `MilkYield`, `StepsPerHour` und `LyingDuration` und zwei einzelnen Werten (`DaysInMilk`, `Lactation`).

## Visualisierung nach Dimensionsreduktion mit t-distributed Stochastic Neighbor Embedding

Zu einer ersten visuellen Analyse wurden die Daten mit Gangbeurteilung in einem zweidimensionalen Streudiagramm dargestellt. Dazu wurden pro Beobachtung die jeweiligen Werte der konstanten Merkmale `Lactation` und `DaysInMilk` und die drei Zeitfenster der Merkmale `MilkYield`, `StepsPerHour` und `LyingDuration` zu einem Vektor zusammengefasst. Im so erstellten Datensatz mit einer Zeile pro Beobachtung und  $2 + 3 \cdot 27 = 83$  Spalten, wurden die Werte in den Spalten zuerst jeweils standardisiert. Anschließend wurden die 83-dimensionalen Beobachtungen mittels t-distributed Stochastic Neighbor Embedding [vdMH08] auf eine zweidimensionale Fläche abgebildet. Die Transformation erfolgte mit der entsprechenden Funktion der Python-Bibliothek `scikit-learn` Version 0.24<sup>6</sup> [Ped+11]. Zur Visualisierung wurde die Python-Bibliothek `plotnine`<sup>7</sup> [Kib+21] verwendet. Dabei wurden

<sup>6</sup> <https://scikit-learn.org/0.24/>, abgerufen am 2022-05-30

<sup>7</sup> <https://plotnine.readthedocs.io/en/stable/>, abgerufen am 2022-05-30

die Beobachtungen entsprechend ihrer Labelklasse („lahm“ oder „nicht lahm“) markiert.

### 2.1.3 Aufteilung in Trainings- und Testdaten

Bei der Beurteilung der Eignung von Klassifizierungsansätzen und deren Vergleich ist man nicht daran interessiert, wie gut sich ein Verfahren an einen Datensatz anpassen lässt, sondern wie gut das trainierte Modell unbekannte Beobachtungen klassifizieren kann. Das Ziel jeder Evaluation eines Klassifikationsverfahrens ist es also, den erwarteten, auf unbekannte Beobachtungen aus einer Zielpopulation verallgemeinerten Klassifikationsfehler zu bestimmen [vgl. DHS01, S. 483]. Es hat sich bewährt, etwa 10 % der Daten als Testdaten zu verwenden und vom Training auszuschließen [DHS01, S. 484]. Zur Bestimmung des Klassifikationsfehlers von unbekanntem Beobachtungen werden dann die Klassifikationsergebnisse des trainierten Modells für die Testdaten mit den entsprechenden Labels verglichen. Der gesamte Datensatz (incl. der Daten ohne Gangbeurteilung) wurde für die vorliegende Arbeit auf der Ebene der Kühe zufällig in zehn etwa gleich große Teile geteilt und in separaten Dateien gespeichert. Die Zugehörigkeit zu einem der drei Betriebe wurde dabei ignoriert. So stand für eine zehnfache Kreuzvalidierung der verschiedenen Klassifikationsansätze immer dieselbe Aufteilung in Trainings- und Testdaten zur Verfügung.

## 2.2 Untersuchte Ansätze zur Klassifikation von multivariaten Zeitreihen

Für die Merkmale `MilkYield`, `StepsPerHour` und `LyingDuration` lagen jeweils ein Meßwert pro Tag im Beobachtungszeitraum vor. Diese Daten befanden sich in diskreten Zeitreihen.

Bei Zeitreihendaten handelt es sich um zeitlich geordnete Daten. Es wird angenommen, dass die Reihenfolge der Werte selbst Information enthält. Diese Information soll es in gewissem Umfang ermöglichen, aus der Abfolge beobachteter Werte auf zukünftige Werte zu schließen [Hir21, S. 2–3]. Liegen zu jedem Beobachtungszeitpunkt Werte von mehreren Merkmalen vor, welche zusammen betrachtet werden sollen (wie im vorliegenden Fall), so spricht man von multivariaten Zeitreihen [Rui+21]. Bei der Analyse multivariater Zeitreihendaten sollten sowohl die zeitlichen Beziehungen innerhalb der einzelnen Merkmalsdatenreihen als auch die Beziehungen zwischen den Werten der verschiedenen Merkmale zum gleichen Zeitpunkt berücksichtigt werden.

Als Zeitreihenklassifikation bezeichnet man die Einteilung einzelner oder mehrerer Zeitreihen zusammen in Klassen. Sie wurde als eine der anspruchsvollsten Herausforderungen bei der Gewinnung von Wissen aus Daten bezeichnet [Faw+19]. Zur Klassifikation von multivariaten Zeitreihen können sowohl allgemeine Methoden als auch spezielle Zeitreihenklassifikationsmethoden eingesetzt werden [WYO17; Faw+19; Rui+21].

Die multivariaten Zeitreihen bestehend aus `MilkYield`, `StepsPerHour` und `LyingDuration` aus den *Klaufenfitnet*-Daten sollten unter Verwendung der zusätzlichen Information aus den konstanten Merkmalen `DaysInMilk` und `Lactation` in die Labelklassen „lahm“ und „nicht lahm“ aus der Gangbeurteilung eingeteilt werden. In meiner vorliegenden Arbeit habe ich diskriminative Modelle sowohl in Ansätzen mit Feature Engineering als auch in Ende-zu-Ende-Ansätzen untersucht. Darüber hinaus wurden generative Modelle zum Vortraining von Klassifikationsmodellen mit selbsterlernten Merkmalen einbezogen. Die untersuchten Klassifikationsansätze gliedern sich wie folgt:

- Diskriminative Klassifikationsansätze
  - Ansätze mit Feature Engineering
    - Support Vector Machine (SVM)
    - Random Forest
    - Multilayer Perceptron (MLP)
  - Ende-zu-Ende-Ansätze
    - MLP
    - Convolutional Neural Network (CNN)
    - Gated Recurrent Unit (GRU)
- Generative Klassifikationsansätze
  - MLP
  - CNN
  - GRU

Mit SVM und Random Forests wurden dabei zwei Methoden des klassischen maschinellen Lernens verwendet, während die Modelle der übrigen Ansätze alle auf künstlichen neuronalen Netzen basierten.

### 2.2.1 Diskriminative Klassifikationsansätze

Ein Klassifizierer, der direkt mit Zeitreihen- bzw. Merkmalsdaten und entsprechenden Labels trainiert wird und eine Labelklasse zurückgibt, wird als *diskriminatives Modell* bezeichnet [Faw+19]. In diskriminativen Ansätzen wird das Klassifikationsproblem direkt abgebildet, bzw. es wird direkt die Zuordnung von Eingabemerkmalen zu Klassenlabels erlernt. Dafür wird während des Trainings die bedingte Wahrscheinlichkeit  $p(y|\mathbf{x})$  für das Vorliegen der Labelklasse  $y$  bei gegebenem Merkmalsvektor  $\mathbf{x}$  optimiert. Durch Anpassung der Entscheidungsgrenze für die Klassenzuordnung basierend auf  $p(y|\mathbf{x})$  wird der Klassifikationsfehler minimiert [NJ01].

### Feature engineering

Um die Klassifikationsleistung von Modellen des klassischen maschinellen Lernens und eines Multilayer Perceptron zu verbessern, wurde zusätzliches Fachwissen einbezogen. Nach von Rüden, Mayer, Beckh u. a. [vRMB+20] ist die Datenvorverarbeitung ein gängiger Ansatzpunkt, um Wissen in das maschinelle Lernen einzube-



ziehen, welches nicht in Form von Daten aus Beobachtungen vorliegt. Expertenwissen und aus den Ergebnissen anderer Studien abgeleitete Erkenntnisse können beim sogenannten *Feature Engineering* herangezogen werden, um aus vorliegenden Daten zusätzliche Merkmale zu erzeugen.

Lahme Kühe haben ein verändertes Niveau der Geh- und Liegeaktivität als gesunde Kühe [Bya+19, Abb. 5]. Insbesondere liegen sie länger pro Liegevorgang [Ito+10; YGB12]. Allerdings zeigen sie auch eine größere Variabilität der Länge pro Liegevorgang [Ito+10]. Überhaupt unterscheiden sich die Tagesschwankungen der Aktivität von lahmen und gesunden Kühen [Bya+19, Abb. 5]. Um die größere Variabilität und das veränderte Muster der Aktivitätsschwankungen von lahmen Kühen abzubilden, wurden die Standardabweichungen und Spektren der zeitabhängigen Variablen (*MilkYield*, *StepsPerHour* und *LyingDuration*) pro Zeitfenster als zusätzliche Merkmale erzeugt. Durch die Transformation in den Spektralraum können zyklische Schwankungen der Merkmalswerte besser analysiert werden. Unterschiede zwischen den Tagesschwankungen der Leistung und Aktivität von lahmen und nicht lahmen Kühen können dadurch besser als Merkmale für die Klassifikation verwendet werden. Die Standardabweichungen wurden als Merkmale der Variabilität der Werte des jeweiligen ursprünglichen Merkmals hinzugefügt. Jede Beobachtung zum Training der Modelle bestand folglich aus einem Vektor mit 167 Elementen, die sich aus den Merkmalen ergaben: *DaysInMilk*, *Lactation*, den Zeitfenstern und Spektren der drei zeitabhängigen Variablen (jeweils zweimal 27 Merkmale) sowie den Standardabweichungen der Werte in den drei Zeitfenstern. Folgende Modelle wurden in den Klassifikationsansätzen mit Feature Engineering verwendet: ein Random Forest (FE-RF), eine SVM (FE-SVM) und ein MLP (FE-MLP).

### *FE-RF*

*Random Forests* zur Klassifikation bestehen aus einem Ensemble von Entscheidungsbäumen, deren Klassifikation jeweils mit einer Stimme für das gemeinsame Klassifikationsergebnis zählt. Jeder Entscheidungsbaum wird mit einer anderen Zufallsauswahl der verfügbaren Beobachtungen trainiert, wobei die Auswahlen unabhängig und identisch verteilt sein müssen [Bre01].

Als zusätzliches Zufallselement werden für die Entwicklung der Knoten der Bäume nicht jedes Mal das Beste aus allen Merkmalen gesucht, sondern nur aus einer kleineren zufälligen Auswahl aus den Merkmalen [Bre01]. Die so entstehenden Entscheidungsbäume des Ensembles unterscheiden sich stärker voneinander, was die Varianz der Vorhersage reduziert [Gér20, S. 200].

In der vorliegenden Arbeit wurde ein Random Forest zur Klassifikation der Daten mit den zusätzlich erzeugten Merkmalen trainiert. Die Zufallsauswahlen für das Training der Entscheidungsbäume wurden mittels Bagging erzeugt, d. h. es wurden Beobachtungen aus dem Trainingsdatensatz mit Zurücklegen gezogen. Für jeden Baum wurden so viele Beobachtungen aus dem Trainingsdatensatz gezogen, wie insgesamt darin enthalten waren. Zur Entscheidung über die Teilung eines Knotens wurde nicht das beste aus allen 167 Merkmalen verwendet, sondern nur das beste Merkmal aus einer jeweils zufällig gewählten Untermenge der Größe

$\sqrt{167}$ . Die einzelnen Entscheidungsbäume im Ensemble wurden mit dem CART-Algorithmus [DHS01, S. 396–411] entwickelt. Als Metrik zur Auswahl der Knoten wurde die Gini-Unreinheit [DHS01, S. 399] eingesetzt.

Die Anzahl der Entscheidungsbäume und das Minimum von Beobachtungen in einem Blatt (welches die maximale Tiefe der Bäume bestimmte) wurden mittels Gittersuche optimiert. Die Anzahl der Bäume wurde zwischen dem Ressourcenbedarf und der Klassifikationsleistung abgewogen. Das Minimum von Beobachtungen pro Blatt diente zur Regularisierung des Modells [Gér20, S. 183–185].

### *FE-SVM*

Als weiterer Modelltyp des klassischen maschinellen Lernens wurde eine *Support Vector Machine (SVM)* zur Klassifikation der Beobachtungen nach Feature Engineering evaluiert. Eine SVM sucht zur Klassifikation der Beobachtungen die optimale Hyperebene im Merkmalsraum, welche die Beobachtungen entsprechend der Klassen aufteilt. Die Hyperebene wird lediglich durch die Datenpunkte jeder Klasse bestimmt, die ihr jeweils am nächsten liegen. Diese Beobachtungen bezeichnet man als Stützvektoren (support vectors) [DHS01, S. 259–265].

Die verwendeten Daten waren im Merkmalsraum selbst nicht gut linear separierbar, deshalb wurden sie in ähnlichkeitsbasierte Merkmale transformiert, und die Separierung mittels Hyperebene und Stützvektoren erfolgte in diesem neuen Merkmalsraum. Die Transformation in ähnlichkeitsbasierte Merkmale erfolgte über einen Kernel mit gaußscher radialer Basisfunktion [HTF09, S. 172–174 und S. 424–426].

Da SVMs sehr empfindlich auf unterschiedliche Skalen bei den Merkmalen reagieren [Gér20, S. 156], wurden die Merkmale vor dem Training jeweils standardisiert durch Abzug des Mittelwerts und Division durch die Standardabweichung. Der Regularisierungshyperparameter  $C$  der SVM wurde per Gittersuche optimiert.

### *FE-MLP*

*Multilayer Perceptrons (MLPs)* behandeln das Problem der linearen Separierbarkeit der Beobachtungen auf andere Weise. Im Gegensatz zur SVM mit einem Kernel mit gaußscher radialer Basisfunktion werden nicht die Merkmalsdaten auf eine vorher festgelegte Art transformiert, sondern das MLP lernt, die Beobachtungen optimal nichtlinear in einen latenten Merkmalsraum abzubilden, in dem sie dann wiederum linear separiert werden [DHS01, S. 282–284].

Ein MLP besteht aus einer Eingabeschicht, beliebig vielen verborgenen Schichten und einer Ausgabeschicht. Die Schichten bestehen jeweils aus einem oder mehreren künstlichen Neuronen, die jedes mit allen Neuronen der folgenden Schicht verbunden sind. In jedem Neuron werden die Signale, die von der vorherigen Schicht empfangen werden, gewichtet und zusammen durch die Aktivierungsfunktion in eine Ausgabe umgewandelt. Die Ausgabe wird dann an alle nachfolgenden Neuronen weitergegeben. Die Gewichte aller Eingänge an allen Neuronen werden während des Trainings mit Hilfe einer Variante des Gradientenabstiegsverfahrens erlernt [Gér20, S. 290–291].

Nachdem in einem Trainingsschritt die Signale von der Eingabeschicht bis zur Ausgabeschicht durch das Netz gelaufen sind, wird die Klassifikation entsprechend der Ausgabe vorgenommen und mit den Labels der Trainingsdaten verglichen. Daraus wird der Trainingsfehler in diesem Schritt berechnet. Der Backpropagation-Algorithmus dient dazu, den Trainingsfehler von der Ausgabe bis zur Eingabe durchzureichen [DHS01, S. 288–293]. In jeder Schicht werden die Gradienten berechnet und die Gewichte mit dem Optimierer entsprechend der jeweiligen Lernrate angepasst.

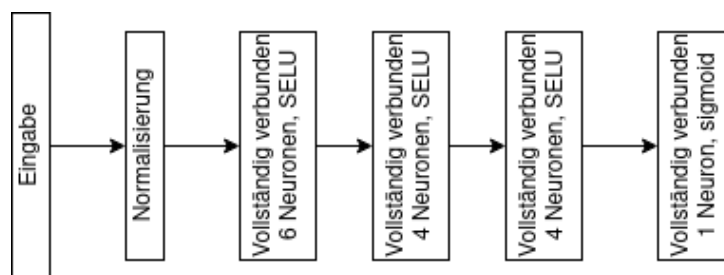


Abbildung 2.2: Multilayer Perceptron (MLP) im Klassifikationsansatz FE-MLP

Als MLP habe ich entsprechend der Empfehlung von Géron [Gér20, S. 375] ein selbstnormalisierendes vollständig verknüpftes neuronales Netz erstellt und trainiert (Abbildung 2.2). Zur Selbstnormalisierung mussten die Eingangsmerkmale standardisiert vorliegen [Gér20, S. 340], d. h. einen Mittelwert von 0 und eine Standardabweichung von 1 aufweisen. Deshalb enthielt das Netz als erste verborgene Schicht eine Normalisierungsschicht. Anschließend folgten drei Schichten mit sechs, vier und vier vollständig verknüpften Neuronen, welche die selbstnormalisierende Scaled Exponential Linear Unit (SELU) Aktivierungsfunktion [Kla+17] verwendeten (Abbildung 2.2). Die Gewichte der Neuronen in den verborgenen Schichten wurden mit Werten aus einer Normalverteilung nach LeCun initialisiert [Gér20, S. 335–336] wie es für ein selbstnormalisierendes Netz erforderlich ist [Kla+17]. Die Ausgabeschicht zur Klassifizierung bestand aus einem vollständig verknüpften Neuron mit Sigmoid-Aktivierungsfunktion [Gér20, S. 296], das mit Werten aus einer Gleichverteilung nach Glorot initialisiert wurde [GB10]. Als Verlustfunktion und Optimierer wurden die binäre Kreuzentropie [Gér20, S. 151–153 und S. 296] und Nadam [Doz16] verwendet. Die Hyperparameter Lernrate und Batchgröße wurden mittels Gittersuche optimiert.

## Ende-zu-Ende-Ansätze

Im Gegensatz zum Feature Engineering erlernen *Ende-zu-Ende-Modelle* selbstständig die Merkmale für die Klassifizierung aus den Rohdaten während der diskriminative Klassifikator trainiert wird. Dieser Ansatz erfordert kein zusätzliches Fachwissen zur Entwicklung von Merkmalen [Nwe+18].

Folgende Ende-zu-Ende-Modelle habe ich für die vorliegende Arbeit untersucht: ein MLP (E2E-MLP), ein CNN (E2E-CNN) und ein neuronales Netz mit GRUs

(E2E-GRU). Außer den in den *Klauenfitnet*-Daten vorhandenen Variablen wurden bei diesen Ansätzen keine zusätzlichen Merkmale manuell erzeugt. Während dem MLP pro Beobachtung ein Merkmalsvektor der Länge 83 übergeben wurde, erforderten das CNN und das Netz mit GRUs getrennte Eingangsschichten für die konstanten Merkmale (*Lactation* und *DaysInMilk*) und die Zeitfenster aus den drei Zeitreihen (*MilkYield*, *StepsPerHour* und *LyingDuration*). Diese Modelle konnten daher nicht als rein sequentielle Netze entwickelt werden [vgl. Hir21, S. 237–241].

Wie auch bei FE-MLP wurden bei allen Ende-zu-Ende-Modellen die binäre Kreuzentropie [Gér20, S. 151–153 und S. 296] als Verlustfunktion und der Nadam-Optimierer [Doz16] verwendet. Die Lernraten und die Batchgrößen wurden ebenfalls mit Gittersuchen optimiert.

### *E2E-MLP*

Es wurde ein Multilayer Perceptron mit derselben Architektur im Ende-zu-Ende-Ansatz verwendet, wie sie für den entsprechenden Ansatz mit Feature Engineering (FE-MLP) auf der vorherigen Seite beschrieben wurde.

### *E2E-CNN*

*Convolutional Neural Networks (CNNs)* sind künstliche neuronale Netze, die mindestens eine Faltungsschicht enthalten. Die Neuronen einer Faltungsschicht erhalten ihre Eingangssignale nicht von allen Merkmalen der Eingabe bzw. von allen Neuronen der vorherigen Schicht, sondern nur aus ihrem Wahrnehmungsfeld, dessen Größe durch die Kernelgröße festgelegt wird. Dadurch werden nur räumlich (bei Bildern) oder zeitlich (bei Zeitreihen) näher zusammenliegende Werte von einem Neuron berücksichtigt. Bei CNN werden die Gewichte der Eingangssignale für ein Wahrnehmungsfeld als *Filter* bezeichnet. Derselbe Filter wird von allen Neuronen verwendet, die notwendig sind, um eine vollständige Abbildung der Eingangssignale (*Feature Map*) zu erzeugen. In einer Faltungsschicht können mehrere unterschiedliche Filter angewandt werden. Die Zahl der Neuronen vervielfacht sich entsprechend um die Zahl der Filter. Werden mehr als ein Filter in einer Faltungsschicht eingesetzt, erhöht sich die Dimensionalität der Ausgabe um eins. Die zusätzliche Dimension der Ausgabe wird durch den Stapel der Feature Maps gebildet. Jeder zusätzliche Filter fügt der Ausgabe einer Faltungsschicht eine weitere Feature Map hinzu [Gér20, S. 451–456].

Das untersuchte CNN im Ende-zu-Ende-Ansatz war ein neuronales Netz mit zwei Eingangsschichten und einer Ausgabeschicht (Abbildung 2.3 auf der nächsten Seite). Der Pfad für die konstanten Merkmale bestand aus einer Normalisierungsschicht und einer vollständig verknüpften Schicht mit zwei Neuronen. Für die zeitabhängigen Merkmale folgte auf eine Normalisierungsschicht ein Fully Convolutional Neural Network wie von Wang, Yan und Oates [WYO17] veröffentlicht. Das FullyCNN bestand aus drei Blöcken mit jeweils einer eindimensionalen Faltungsschicht [Gér20, S. 524], Batch Normalisierung und Aktivierungsfunktion. Die Faltungsschichten hatten 128, 256 und 128 Filter mit den Kernelgrößen

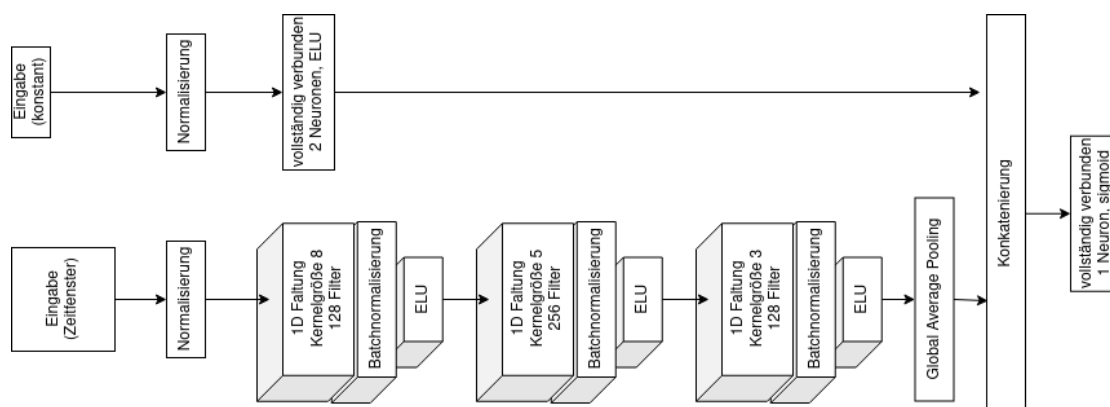


Abbildung 2.3: Zeitreihenanalyse mit Convolutional Neural Network (CNN) im Klassifikationsansatz E2E-CNN

von acht, fünf und drei und Zero Padding [Gér20, S. 452]. Den Abschluss des Fully-CNN bildete eine Global Average Pooling Schicht. Die Ausgaben der beiden Eingangspfade wurden in einer Konkatenationsschicht verbunden. Die Klassifikation erfolgte schließlich durch eine Ausgabeschicht mit einem Neuron und Sigmoid-Aktivierungsfunktion wie bei FE-MLP auf Seite 23 beschrieben. Den Empfehlungen von Géron [Gér20, 340 und 336] folgend, war die Aktivierungsfunktion der verborgenen Schichten immer eine Exponential Linear Unit (ELU) [CUH16], und die Gewichte wurden durch Ziehung aus einer Normalverteilung nach He u. a. [He+15] initialisiert.

### *E2E-GRU*

Neuronale Netze mit Gated Recurrent Units (GRUs) [Cho+14] gehören zu den *Recurrent Neural Networks (RNNs)*. RNNs wurden speziell für die Analyse von Daten in Zeitreihen entwickelt. Im Gegensatz zu den MLPs werden bei RNNs die Signale nicht nur von einer Schicht an die nächste weitergereicht, sondern auch an Neuronen in derselben Schicht (oder in vorherigen Schichten). Die Weiterleitung innerhalb derselben Schicht erfolgt so, dass ein Neuron ein Signal vom Wert eines Merkmals zu einem bestimmten Zeitpunkt aus der vorherigen Schicht erhält und ein Signal von den zeitlich vorangegangenen Werten desselben Merkmals von einem Neuron in derselben Schicht. Auf diese Weise werden die zeitlichen Abhängigkeiten der Merkmalswerte in der Netzstruktur berücksichtigt. Es wurden spezielle Formen von künstlichen Neuronen entwickelt, um die Signale von den zeitlich früheren Merkmalswerten und die Signale vom aktuellen Merkmalswert sinnvoll zu kombinieren. GRUs sind eine Form, die besonders für die Verarbeitung von kurzen und mittleren Zeitfenstern geeignet ist. Für jeden Wert desselben Merkmals innerhalb des Zeitfensters wird dasselbe Gewicht verwendet, so dass die Zahl der zu erlernenden Gewichte begrenzt bleibt [Hir21, S. 185–191].

Eine GRU-Schicht gibt die Ausgaben der letzten Zeitschritte pro Merkmal zurück oder die Ausgaben aller Zeitschritte pro Merkmal. Werden für alle Zeitschritte Werte ausgegeben, kann eine folgende Schicht die bereits verarbeiteten Daten wei-

ter analysieren. Ähnlich wie eine Schicht eines CNN mehrere Filter enthalten kann, können in einer Schicht aus GRUs mehrere Sätze von Gewichten eingesetzt werden [Hir21, S. 200–201]. Dadurch wird der Ausgabe wie bei CNN eine zusätzliche Dimension aus dem Stapel von Feature Maps hinzugefügt.

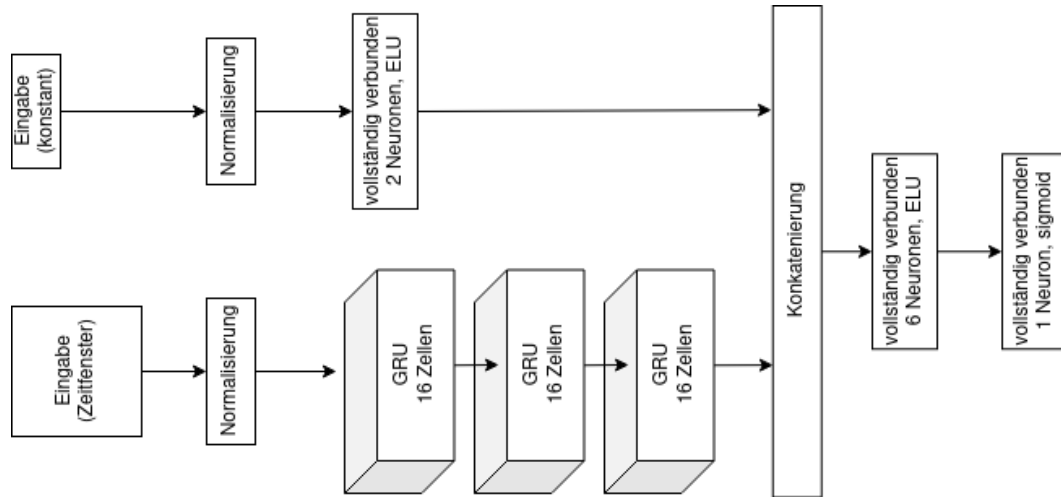


Abbildung 2.4: Zeitreihenanalyse mit Gated Recurrent Units (GRUs) im Klassifikationsansatz E2E-GRU

Das Ende-zu-Ende-Modell mit GRUs hatte wie E2E-CNN zwei Eingabeschichten und eine Ausgabeschicht (Abbildung 2.4). Eine Normalisierungsschicht sowie eine vollständig verknüpfte Schicht mit zwei Neuronen bildeten auch hier den Pfad für die beiden konstanten Merkmale. Ebenfalls mit einer Normalisierungsschicht begann der Pfad für die drei zeitabhängigen Merkmale. Darauf folgten drei GRU-Schichten mit jeweils 16 Zellen, wovon die ersten beiden vollständige Sequenzen zurückgaben. Die Architektur des Pfads für die Zeitfenster folgte dem Beispiel auf Seite 201 im Lehrbuch von Hirschle [Hir21]. Die getrennten Pfade mündeten in einer Konkatenationsschicht, auf die eine gemeinsame, vollständig verknüpfte Schicht mit sechs Neuronen folgte. Eine Klassifizierungsschicht entsprechend der Ausgabeschicht von FE-MLP auf Seite 23 schloss das künstliche neuronale Netz ab. Die beiden verborgenen vollständig verknüpften Schichten hatten eine ELU-Aktivierungsfunktion [CUH16] und wurden nach He u. a. [He+15] initialisiert.

### 2.2.2 Generative Ansätze

In *generativen Klassifikationsansätzen* wird die gemeinsame Wahrscheinlichkeit  $p(y, \mathbf{x})$  der Labelklasse  $y$  und des Merkmalsvektors  $\mathbf{x}$  modelliert. Für die eigentliche Klassifikation wird dann unter Verwendung des Satzes von Bayes die bedingte Wahrscheinlichkeit  $p(y|\mathbf{x})$  berechnet und die Klasse  $y$  mit der größten bedingten Wahrscheinlichkeit vorhergesagt [NJ01].

Für die vorliegende Arbeit bestanden die generativen Ansätze allerdings darin, zunächst Modelle unüberwacht zu trainieren, um Abbildungen der Merkmale

zu erlernen. Anschließend wurden die eigentlichen Klassifikatoren auf Grundlage dieser Abbildungen trainiert. Für das unüberwachte Training konnten alle verfügbaren Beobachtungen einschließlich derer ohne Labels verwendet werden, sodass wesentlich mehr Daten zur Verfügung standen. Das abschließende Training des Klassifikators erfolgte dann nur mit den Beobachtungen, für welche Labels vorhanden waren [vgl. LKL14].

Im Zusammenhang mit Deep-Learning-Modellen bezeichnet man diese Verwendung generativer Modelle als *unüberwachtes Vortrainieren*. Es handelt sich um eine Variante des Transfer Learnings, bei der ein großer Teil der Schichten des endgültigen Klassifikationsmodells als Bestandteil des generativen Modells vortrainiert wird. Lediglich die Gewichte der oberen Schichten, die für die Klassifikation notwendig sind, können nicht vortrainiert werden. Auf diese Weise müssen beim Training des Klassifikators nicht mehr alle Gewichte von Anfang an gelernt werden, sondern sie sind bereits mit Werten vorbelegt, die zum vorliegenden Problem passen [Gér20, S. 348–352].

Zur Erkennung von Lahmheiten bei Milchkühen aus Aktivitäts- und Leistungsdaten erfolgte das unüberwachte Vortraining für die vorliegende Arbeit mit gestapelten Autoencodern, wobei der vollständige Datensatz einschließlich der ungelabelten Beobachtungen verwendet wurde. *Gestapelte Autoencoder* sind neuronale Netze, die im Zentrum eine latente Abstraktion der Eingaben erlernen (Abbildung 2.5 auf der nächsten Seite). Sie werden so trainiert, dass ihre Ausgabe möglichst genau der Eingabe entspricht [Gér20, S. 575–577].

Für das überwachte Klassifikationstraining wurden die Decoder durch die entsprechenden Klassifikatoren ersetzt und nur die gelabelten Daten verwendet (Abbildung 2.5 auf der nächsten Seite). Die Klassifikatoren waren immer MLPs mit zwei verborgenen Schichten sowie einer Ausgabeschicht mit einem Neuron und Sigmoid-Aktivierungsfunktion wie bei FE-MLP auf Seite 23.

Es wurden generative Ansätze mit ähnlichen Modellen wie in den Ende-zu-Ende-Ansätzen untersucht: mit einem MLP (AE-MLP), einem CNN (AE-CNN) und einem GRU-Netz (AE-GRU). Wie bei den Ende-zu-Ende-Modellen konnten auch hier die Modelle der Ansätze mit CNN und GRU nicht als rein sequentielle Netze erstellt werden, weil die beiden konstanten Merkmale und die drei Zeitfenster unterschiedlich dimensioniert übergeben werden mussten (als Vektor bzw. als Matrix pro Beobachtung). Daher hatten die Encoder zwei Eingabeschichten und eine Ausgabeschicht (Abbildung 2.5 auf der nächsten Seite). Die Decoder von AE-CNN und AE-GRU hatten umgekehrt eine Eingangs- und zwei Ausgabeschichten. In den Ausgabeschichten aller drei Decoder wurden keine Aktivierungsfunktionen verwendet, weil die Decoder die ursprünglichen Merkmalswerte in Regressionsaufgaben aus der latenten Repräsentation wieder herstellen sollten. Sie wurden mit Werten aus einer Gleichverteilung nach Glorot und Bengio [GB10] initialisiert.

Beim unüberwachten Vortraining der Autoencoder wurde die von Hastie, Tibshirani und Friedman [HTF09, S. 349–350] adaptierte Verlustfunktion nach Huber [Hub64] eingesetzt, weil es sich um Regressionsaufgaben handelte. Für das anschließende Klassifikationstraining wurde wiederum die binäre Kreuzentropie als Verlustfunktion eingesetzt. Für alle Modelle wurde der Nadam-Optimierer [Doz16]

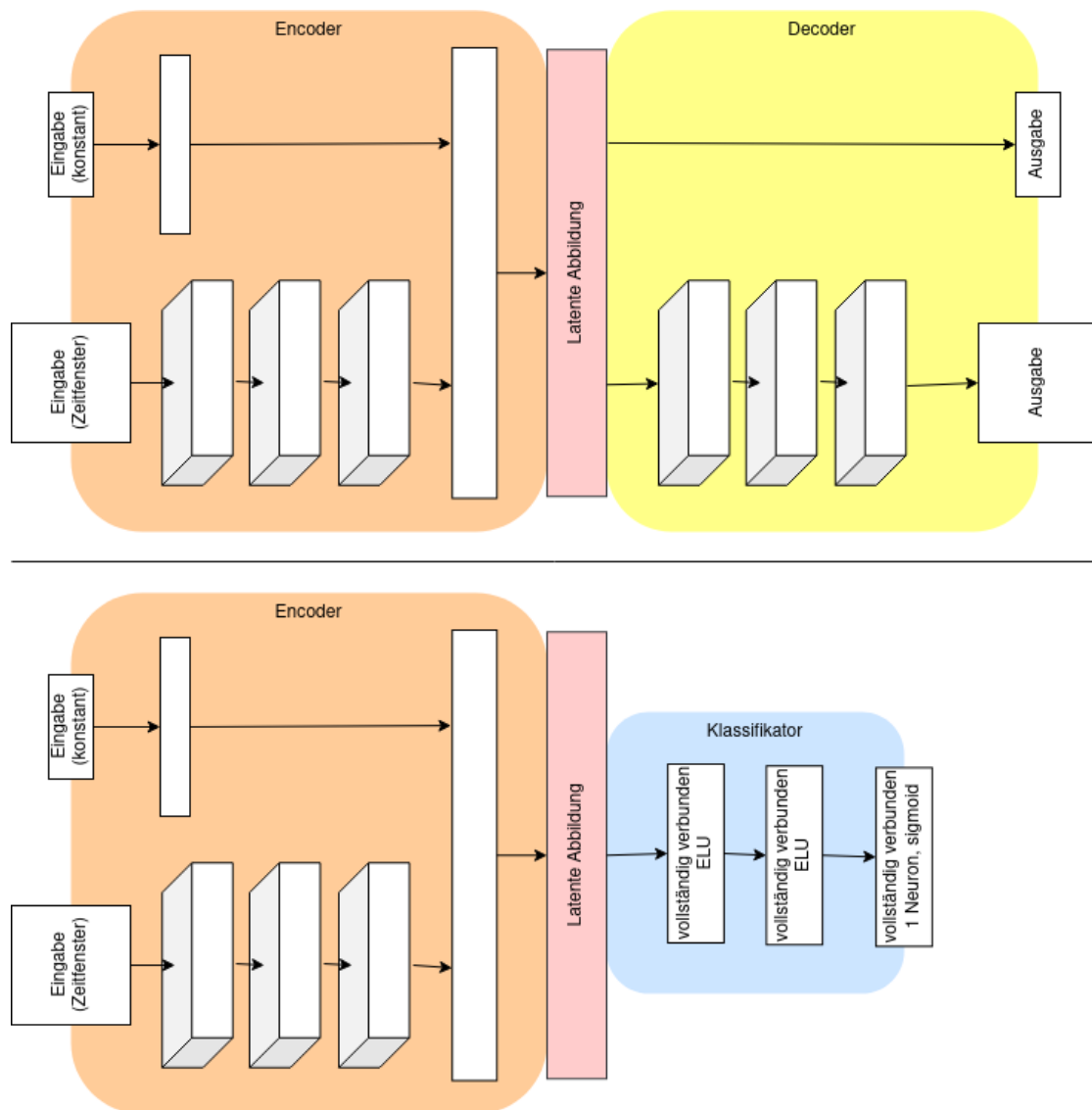


Abbildung 2.5: Verwendung von Autoencodern in den generativen Ansätzen (oben: Autoencoder mit 2 Ein- und 2 Ausgängen für das unüberwachte Vortraining, unten: Ersatz des Decoders durch den Klassifikator für die Klassifikation)

verwendet. Die Lernraten und die Batchgrößen wurden mit Gittersuchen optimiert. Die Normalisierung der Merkmalswerte erfolgte diesmal außerhalb der Modelle.

### *AE-MLP*

Auch beim generativen Ansatz wurden selbstnormalisierende vollständig verknüpfte neuronale Netze mit SELU-Aktivierungsfunktion und Initialisierung nach Le-Cun erstellt [vgl. Kla+17]. Durch das unüberwachte Vortraining standen wesentlich mehr Beobachtungen zum Anlernen der Modellparameter zur Verfügung als bei den diskriminativen Ansätzen. Daher konnte das MLP im generativen Ansatz mehr und deutlich breitere Schichten enthalten als die MLPs mit Feature Engi-



neering und im Ende-zu-Ende-Ansatz. Der Encoder bestand aus vier verborgenen Schichten mit 40, 20, 20 und 20 Neuronen und einer Ausgabeschicht mit fünf Neuronen für die latente Merkmalsrepräsentation. Im Decoder waren die gleichen verborgenen Schichten in umgekehrter Reihenfolge enthalten, gefolgt von einer Ausgabeschicht mit 83 vollständig verknüpften Neuronen. Die beiden verborgenen Schichten des Klassifikators enthielten jeweils drei Neuronen.

### *AE-CNN*

Bei AE-CNN handelte es sich um einen „Convolutional Auto-Encoder“ [Mas+11]. Der Encoder von AE-CNN entsprach dem E2E-CNN-Modell bis zur Konkatenationsschicht (siehe Abbildung 2.3 auf Seite 25). Der Decoder wurde als Umkehrung dieses Modells erstellt. Für die konstanten Merkmale bestand der Ausgabepfad lediglich aus einer vollständig verknüpften Ausgabeschicht mit zwei Neuronen. Der Decoderpfad für die Zeitfenster bestand aus drei Blöcken mit jeweils einer transponierten eindimensionalen Faltungsschicht (von Zeiler u. a. [Zei+10] als „Deconvolutional Network layer“ beschrieben), Batch Normalisierung [IS15] und Aktivierungsfunktion. Die transponierten Faltungsschichten enthielten 128, 256 und 128 Filter mit den Kernelgrößen drei, fünf und acht ohne Zero Padding. Die Ausgabeschicht war ebenfalls eine transponierte Faltungsschicht mit 3 Filtern der Kernelgröße 14 und ohne Padding. Dadurch konnten die ursprünglichen Dimensionen der Zeitfenster wiederhergestellt werden. Im Klassifikator, der im überwachten Training den Decoder ersetzte, wurden jeweils 15 Neuronen in den verborgenen Schichten eingesetzt. Alle verborgenen Schichten von Encoder, Decoder und Klassifikator enthielten die ELU-Aktivierungsfunktion [CUH16] und wurden durch Ziehung aus einer Normalverteilung nach He u. a. [He+15] initialisiert.

### *AE-GRU*

Auch im rekurrenten Autoencoder des generativen Ansatzes AE-GRU entsprach der Encoder dem rekurrenten Ende-zu-Ende-Modell E2E-GRU ohne die Ausgabeschicht (siehe Abbildung 2.4 auf Seite 26). Wie bei AE-CNN bestand der Decoder von AE-GRU aus einer Umkehrung des Encoders. Für die konstanten Merkmale bestand der Decoderpfad ebenfalls lediglich aus einer Ausgabeschicht mit zwei vollständig verknüpften Neuronen. Im Decoderpfad für die Zeitfenster wurde der Eingangsvektor (die latente Repräsentation der Merkmale) zuerst entsprechend der Länge der Zeitfenster 27-mal wiederholt. Darauf folgten drei Schichten mit jeweils 16 GRUs, die alle die gesamten Sequenzen zurückgaben. Eine Schicht mit drei vollständig verknüpften Neuronen bildete die Ausgabeschicht, die zeitverteilt auf jeden Schritt eines Zeitfensters separat angewandt wurde [vgl. Gér20, S. 584]. Die beiden verborgenen Schichten des Klassifikator-MLP bestanden jeweils aus vier Neuronen mit ELU-Aktivierungsfunktion [CUH16]. Initialisiert wurden sie mit normalverteilten Werten nach He u. a. [He+15].

## 2.3 Vergleich der Klassifikationsansätze

Das Hauptziel der vorliegenden Arbeit war die Beantwortung der Frage, welcher der untersuchten Klassifizierungsansätze am besten zum Einsatz in der automatischen Lahmheitserkennung von Milchkühen an Hand von Leistungs- und Aktivitätsdaten geeignet ist. Dazu sollten die Klassifikationsleistungen der Ansätze und ihr Ressourcenbedarf verglichen werden. Die Klassifikationsleistungen der Modelle sollten sich aber nicht nur auf den vorliegenden *Klaufenfitnet*-Datensatz beziehen, sondern auf ähnliche Datensätze verallgemeinert werden. Aus diesem Grund sollten die erwarteten (verallgemeinerten) Klassifikationsleistungen der Ansätze verglichen werden [vgl. DHS01, S. 482]. Die Klassifikationsleistungen wurden mit verschiedenen Metriken bestimmt.

### 2.3.1 Vergleichskriterien

Es wurden grenzwertabhängige Metriken zur Bewertung der Klassifikationsleistungen verwendet, wie von Humm u. a. [Hum+20] für konkrete Aufgabenstellungen mit festgelegten Merkmalen empfohlen und in Abschnitt 1.2.1 auf Seite 9 bereits diskutiert. Um eine Abwägung zwischen den erwarteten Wahrscheinlichkeiten von falsch-positiven und von falsch-negativen Klassifizierungen bei der Auswahl des Klassifikationsansatzes zu ermöglichen [vgl. Gér20, S. 96], wurden die unterschiedlichen Metriken Genauigkeit, Relevanz, Sensitivität und Spezifität zu Bewertung herangezogen. Zur Beurteilung des Ressourcenbedarfs der untersuchten Klassifikationsansätze wurden jeweils

- der maximal benötigte Arbeitsspeicher für Training und Validierung,
- die Dauer des gesamten Trainings und
- der Zeitbedarf für die Klassifikation während der Validierung

bestimmt.

#### *Genauigkeit*

Die Genauigkeit (englisch: accuracy) ist die erwartete Wahrscheinlichkeit korrekter Klassifizierungen und wird geschätzt über den Anteil korrekter Klassifizierungen der Testdaten [vgl. Gér20, S. 93; DHS01, S. 483]. Als sehr weit verbreitete Metrik wurde sie beispielsweise in den Arbeiten von Fawaz u. a. [Faw+19], Ruiz u. a. [Rui+21], Lasser u. a. [Las+21] und Shahinfar u. a. [Sha+21] verwendet. Allerdings ist die Genauigkeit anfällig für unausgeglichene Häufigkeitsverteilungen der Zielklassen in den Daten [Hum+20]: bei selten auftretenden Labels würde ein Klassifikator, der alle Beobachtungen als negativ einstuft, eine hohe Genauigkeit erzielen. Aus diesem Grund empfehlen O’Leary u. a. [OLe+20] für den Vergleich von Klassifikationsansätzen für die automatische Lahmheitserkennung bei Milchkühen die Relevanz zusammen mit der Sensitivität und der Spezifität.

*Relevanz*

Die Relevanz wird auch als Precision oder positiv-prädiktiver Wert bezeichnet, und ist definiert als die bedingte Wahrscheinlichkeit für das tatsächliche Vorliegen eines Merkmals, gegeben dass die Klassifikation entsprechend lautet. Ein einfacher Schätzer für die Relevanz ist der Anteil richtig Positiver an allen positiven Klassifizierungen:

$$\widehat{\text{Relevanz}} = \frac{\text{RP}}{\text{RP} + \text{FP}}$$

(RP: Anzahl richtig positiver Klassifizierungen; FP: Anzahl falsch positiver Klassifizierungen).

Sie ist abhängig von der Häufigkeit des Zielmerkmals in der Zielpopulation [vgl. Wei08, S. 643–644] und sollte zusammen mit der Sensitivität interpretiert werden [Gér20, S. 95].

*Sensitivität*

Die auch Recall genannte Sensitivität ist die bedingte Wahrscheinlichkeit einer positiven Klassifizierung, wenn das Zielmerkmal tatsächlich vorliegt. Sie kann geschätzt werden als Anteil der tatsächlich Positiven, die korrekt klassifiziert wurden [Gér20, S. 95]:

$$\widehat{\text{Sensitivität}} = \frac{\text{RP}}{\text{RP} + \text{FN}}$$

(RP: Anzahl richtig positiver Klassifizierungen; FN: Anzahl falsch negativer Klassifizierungen).

*Spezifität*

Die bedingte Wahrscheinlichkeit einer negativen Klassifizierung, wenn das Zielmerkmal tatsächlich nicht vorliegt, wird als Spezifität bezeichnet. Sie wird aus dem Anteil negativer Klassifizierungen an den tatsächlich Negativen geschätzt [Wei08, S. 644]:

$$\widehat{\text{Spezifität}} = \frac{\text{RN}}{\text{RN} + \text{FP}}$$

(RN: Anzahl richtig negativer Klassifizierungen; FP: Anzahl falsch positiver Klassifizierungen).

**2.3.2 Experimenteller Aufbau**

Vor dem ersten Erlernen von Modellparametern wurden die verfügbaren Daten in Trainings- und Testdaten aufgeteilt, wie in Abschnitt 2.1.3 auf Seite 19 beschrieben. Wird ein Modell ausschließlich mit einem Teil der Daten trainiert, so können anschließend seine Klassifikationen der Testdaten, also der Beobachtungen, die beim Lernen der Modellparameter ausgeschlossen waren, mit den tatsächlichen Labels verglichen werden. Diese Validierung des trainierten Modells mit unbekanntem Daten ermöglicht laut Duda, Hart und Stork [DHS01, S. 483] eine Schätzung

des erwarteten (verallgemeinerten) Klassifikationsfehlers. Der erwartete Klassifikationsfehler ist für die Bewertung der Leistungsfähigkeit eines Modells relevanter als der Klassifikationsfehler bei den Trainingsdaten, weil man in der Praxis ebenfalls in erster Linie an der Klassifizierung neuer Beobachtungen interessiert ist.

Vor dem endgültigen Training der zu vergleichenden Modelle wurden für jeden Ansatz ein oder mehrere Hyperparameter optimiert. Im Abschnitt 2.2 werden für alle Ansätze die jeweils optimierten Hyperparameter erwähnt. Die Optimierung der Hyperparameter erfolgte mittels Gittersuche über zuvor festgelegte Wertemengen. Bei einer Gittersuche wird das Modell mit allen Wertekombinationen der Hyperparametermengen trainiert, und anschließend wird die Kombination mit dem geringsten Klassifikationsfehler ausgewählt [Gér20, S. 78]. Für die vorliegende Arbeit habe ich über eine vierfache Kreuzvalidierung [DHS01, S. 483–484] die endgültigen Hyperparameterwerte ausgewählt. Dabei wurden pro Klassifikationsansatz diejenigen Werte gesucht, mit welchen jeweils die höchste mittlere Test-Genauigkeit erreicht wurde, ohne dass Konvergenzprobleme beim Training auftraten. Um weitgehend zu vermeiden, dass später in der Kreuzvalidierung zur endgültigen Bewertung der Klassifikationsleistung auf Daten getestet würde, die bereits während der Hyperparameteroptimierung verwendet wurden, wurden nur die Daten von ca. 40 % der Laktationen für die Optimierung herangezogen.

Anschließend wurden die Klassifikationsmodelle mit den optimierten Hyperparametern evaluiert. Die Evaluation erfolgte mittels zehnfacher Kreuzvalidierung, die von Cover [Cov69] eingeführt worden war. Dafür wurde jedes Modell jeweils mit neun der zehn Teildatensätze trainiert und dann die Klassifikationsleistung auf unbekanntem Daten mit dem verbliebenen zehnten Teildatensatz getestet. Das wurde pro Klassifikationsansatz zehnmal wiederholt, so dass jeder Teildatensatz einmal als Testdatensatz verwendet wurde. Diese Variante der Kreuzvalidierung wird als Leave-One-Group-Out-Kreuzvalidierung bezeichnet. Laut Hastie, Tibshirani und Friedman [HTF09, S. 257] liefert die Kreuzvalidierung eine brauchbare Schätzung des erwarteten (verallgemeinerten) Klassifikationsfehlers. Allerdings sollte nicht nur der Punktschätzer der erwarteten Klassifikationsleistung berichtet werden, sondern auch der Standardfehler des Schätzers, da die Schätzung mittels der Kreuzvalidierung eine deutliche Variabilität aufweisen kann [HTF09, S. 249].

Für die Gittersuche zur Hyperparameteroptimierung und die Kreuzvalidierung der neun Klassifikationsmodelle war es erforderlich, wiederholt dieselben Abläufe zu programmieren mit jeweils nur geringen Änderungen. Damit der gesamte experimentelle Aufbau nachvollziehbar, anpassbar und konsistent für alle neun Klassifikationsansätze war, habe ich ein Softwareframework entwickelt. So wurde die wiederholte Programmierung derselben Codezeilen vermieden und es war möglich, für jeden Ansatz nur den jeweils spezifischen Code zu programmieren.

## High Performance Computing System

Sämtliche Experimente wurden auf dem High Performance Computing System *Curta* der Freien Universität Berlin durchgeführt. Das System wurde von Bennett, Melchers und Proppe [BMP20] im Detail beschrieben. Kurz gesagt, besteht *Curta* aus

170 Standardrechenknoten und 12 Knoten mit Graphics Processing Units (GPUs). Jeder Knoten besitzt zwei Hauptprozessoren (Central Processing Unit (CPU)) mit jeweils 16 Rechenkernen (Intel<sup>®</sup> Xeon Gold 6130). Die GPU-Knoten haben zusätzlich jeweils zwei Grafikprozessoren (nvidia<sup>®</sup> Geforce 1080Ti). Als Betriebssystem kommt CentOS 7 Linux<sup>8</sup> zum Einsatz. Die Jobsteuerung erfolgt über Bash-Skripte mit dem Ressourcenmanager `slurm`<sup>9</sup>. Über `slurm` wurde für die vorliegende Arbeit auch der Arbeitsspeicherbedarf für das Training der Modelle erfasst. Mittels `conda`<sup>10</sup> wurde die verwendete Software in virtuellen Umgebungen bereitgestellt. Auf Curta wurde über ein virtuelles privates Netzwerk mittels Secure Shell (SSH) zugegriffen.

## Verwendete Software

Der Programmcode für das Training und die Evaluierung der Klassifikationsansätze wurde in Python Version 3.8<sup>11</sup> [vRD09] geschrieben. Die Bibliothek `numpy` Version 1.20<sup>12</sup> [Har+20] wurde für die Berechnung der Spektren in den Ansätzen mit Feature Engineering verwendet. Für die Leave-One-Group-Out-Kreuzvalidierung während der Hyperparameteroptimierung sowie für die Random Forests und die SVMs kam die Bibliothek `scikit-learn` in Version 0.24<sup>13</sup> [Ped+11] zum Einsatz. Alle neuronalen Netze (MLP, CNN, GRU) wurden mit TensorFlow Version 2.4<sup>14</sup> [Aba+15; Aba+16; Ten21] entwickelt.

Wegen einer Inkompatibilität der Implementierung von GRU-Schichten in TensorFlow 2.4 und `numpy` 1.20 [PHJ+21] musste bei den Ansätzen E2E-GRU und AE-GRU auf die `numpy`-Version 1.19 ausgewichen werden.

## Entwurf der Software für den Vergleich

Die Schnittstelle `TrainTestInterface` legte die Methodenköpfe der wesentlichen Methoden der Klassen zur Hyperparameteroptimierung (`Searcher`-Klassen) und zur Evaluierung (`Evaluator`-Klassen) fest (siehe Abbildung 2.6 auf der nächsten Seite). Mittels der Methode `import_data` sollten die erforderlichen Daten aus den vorbereiteten Dateien eingelesen werden. Die Klassenmethode `window_function`, deren Aufgabe es war, die Werte jeder einzelnen Beobachtung ggf. zu transformieren und das Datenformat anzupassen, sollte wiederum in einer Schleife über die Beobachtungen aus `import_data` heraus aufgerufen werden. Die Methode `prepare_fit` diente schließlich zur eigentlichen Modellerstellung und zum Training und Testen der Modelle. Außerdem sollten darin die für Training und Vorhersagen benötigten Zeiten erfasst und zusammen mit den Vergleichsmetriken (Genauigkeit, Relevanz, Sensitivität und Spezifität) ausgegeben werden. Der modular verschachtelte Entwurf der Methoden ermöglichte es, die für mehrere Ansätze benötigte

<sup>8</sup> <https://www.centos.org/>, abgerufen am 2022-07-04

<sup>9</sup> <https://slurm.schedmd.com>, abgerufen am 2022-07-04

<sup>10</sup> <https://anaconda.org/anaconda/conda>, abgerufen am 2022-08-03

<sup>11</sup> <https://www.python.org/>, abgerufen am 2022-05-30

<sup>12</sup> <https://numpy.org/>, abgerufen am 2022-07-16

<sup>13</sup> <https://scikit-learn.org/>, abgerufen am 2022-07-16

<sup>14</sup> <https://www.tensorflow.org/>, abgerufen am 2022-07-16

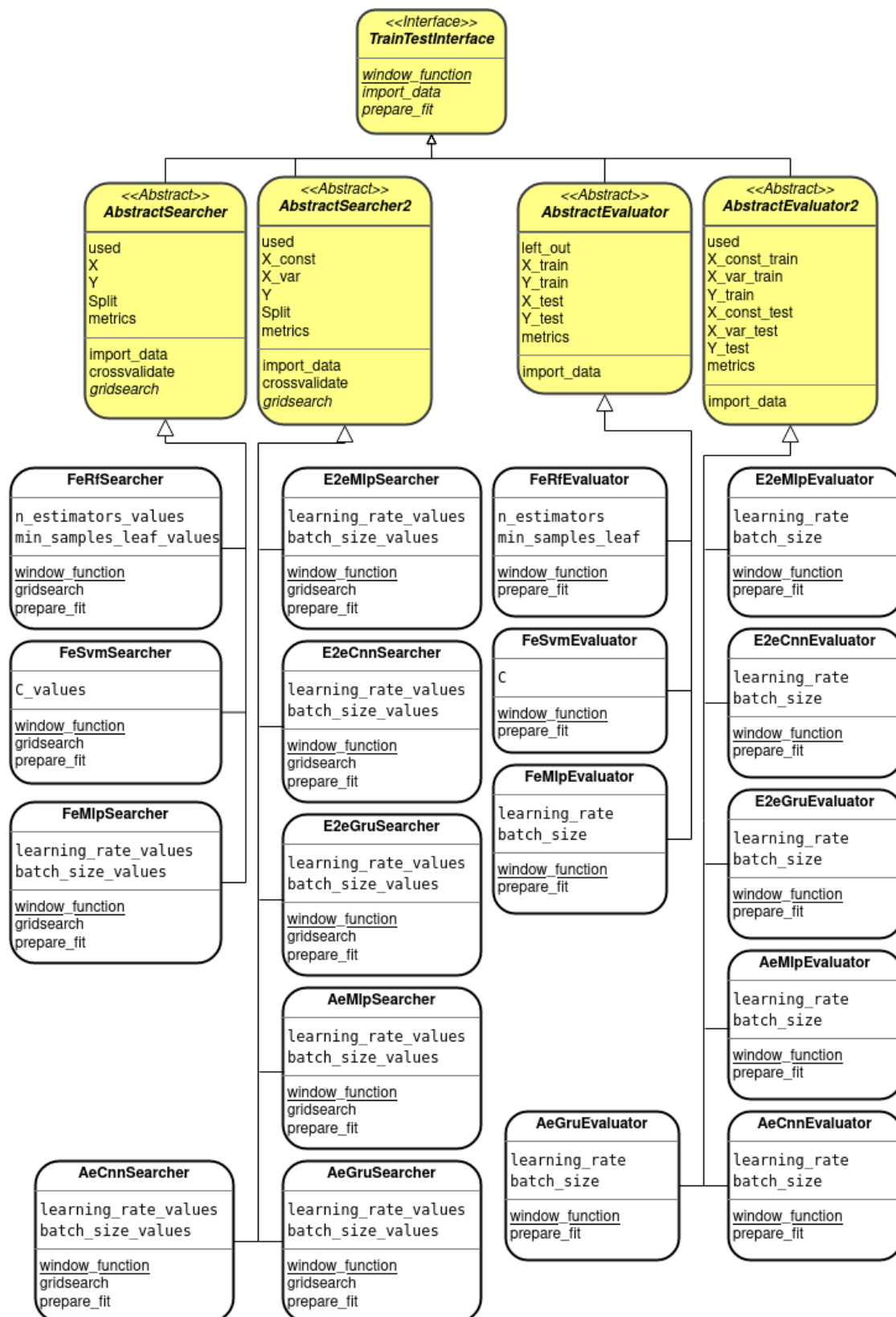


Abbildung 2.6: UML2-Klassendiagramm des Softwareframeworks zur Hyperparameteroptimierung und zur Evaluierung der Leistungen der Klassifikationsansätze

Methode `import_data` in abstrakten Klassen zu implementieren. So mussten nur die spezifischen Aufgaben in `window_function` und `prepare_fit` in den jeweiligen konkreten Spezialklassen pro Klassifikationsansatz programmiert werden.

Die Gittersuche mit Kreuzvalidierung zur Hyperparameteroptimierung wurde ähnlich verschachtelt entworfen (Abbildung 2.6 auf der vorherigen Seite). Die Schleife über die Teildatensätze für die Kreuzvalidierung sollte in den abstrakten Klassen `AbstractSearcher` und `AbstractSearcher2` als Methode `crossvalidate` implementiert werden. In jedem Schleifendurchlauf in `crossvalidate` sollte dann die modellspezifische Methode `prepare_fit` aufgerufen werden. Die Methode `gridsearch` mit den äußeren Schleifen über die möglichen Hyperparameterwerte musste ebenfalls modellspezifisch umgesetzt werden. Für jede mögliche Kombination der Hyperparameterwerte sollte dann `crossvalidate` aufgerufen werden.

Für die Evaluierung der Klassifikationsmodelle nach der Hyperparameteroptimierung sollte die Kreuzvalidierung nicht über Methoden realisiert werden, sondern über ein Job-Array<sup>15</sup>, indem der Index des Teildatensatzes, welcher jeweils nur zum Testen verwendet werden sollte, als Argument über das Bash-Skript an das ausführbare Python-Skript übergeben werden sollte.

Die Vorbereitung der Daten für die Klassifikationsmodelle mit zwei Eingangsschichten der Ende-zu-Ende-Ansätze und der generativen Ansätze (siehe Abschnitte 2.2.1 und 2.2.2) erforderte separate Attribute für die konstanten Merkmale und die Zeitfenster. In den abstrakten Klassen `AbstractSearcher2` und `AbstractEvaluator2` sollten die entsprechenden Anpassungen der Attribute und der Methoden `import_data` vorgenommen werden (Abbildung 2.6 auf der vorherigen Seite).

## Abstrakte Klassen

In den abstrakten Klassen wurden die Köpfe der Methoden definiert und Attribute und Methoden implementiert, die für die Untersuchung mehrerer Klassifikationsansätze benötigt wurden.

### *Modul `TrainTestInterface`*

Python sieht von sich aus kein Schlüsselwort zur Schnittstellendefinition vor. Es ermöglicht aber, sehr leicht informelle Schnittstellen mittels *Duck Typing* zu erstellen. Beim Duck Typing wird darauf verzichtet, den Typ eines Objekts zu testen, stattdessen werden dessen Methoden und Attribute direkt verwendet. Es wird davon ausgegangen, dass ein Objekt, welches die gewünschten Attribute und Methoden hat, auch vom erforderlichen Typ ist. Dadurch wird es einfacher, durch Polymorphie das wiederholte Schreiben derselben Quellcodezeilen zu vermeiden [Pyt22, Glossary zu „duck-typing“]. Eine informelle Schnittstelle definiert die Köpfe der Methoden, die in den Nachkommensklassen zur konkreten Implementierung überschrieben werden können, ohne dass diese Implementierung zwingend erforderlich ist [Mur].

<sup>15</sup> <https://www.fu-berlin.de/sites/high-performance-computing/Dokumentation/Ressourcen-Manager/Job-Skripte/Job-Array/index.html>, abgerufen am 2022-07-05

Im Modul `TrainTestInterface` wurde die Schnittstelle `TrainTestInterface` informell umgesetzt (siehe Listing A.1 auf Seite 94 im Anhang). Die Methode `import_data` wurde als leere Methode erstellt. Damit sie in Methoden von abstrakten Nachkommensklassen verwendet werden konnten, lieferten die Methoden `window_function` und `perpare_fit` Rückgabewerte im erwarteten Format. Dadurch war es möglich, Methoden von abstrakten Klassen zu testen, ohne sämtliche Methoden bereits vollständig zu programmieren.

#### *Module `AbstractSearcher` und `AbstractSearcher2`*

In den abstrakten Nachkommensklassen von `TrainTestInterface`, `AbstractSearcher` und `AbstractSearcher2`, wurden die Gittersuchen mit Kreuzvalidierung für die Optimierung der Hyperparameter für die Klassifikationsansätze mit Feature Engineering bzw. für die Ende-zu-Ende-Ansätze und die generativen Ansätze vorbereitet und das Einlesen der Daten implementiert. Die Methode `import_data` wurde so umgesetzt, dass mehrere Teildatensätze parallel eingelesen und vorbereitet werden konnten (siehe Listings A.2 auf Seite 96 und A.3 auf Seite 100 im Anhang). Dafür wurde auf die Klasse `Pool`<sup>16</sup> aus dem Pythonmodul `multiprocessing.pool` zurückgegriffen. Ein `Pool` besteht aus mehreren Prozessen, die für die synchrone und asynchrone Bearbeitung von Aufgaben zur Verfügung stehen (äquivalent zu `Threads` in Java). Eine Besonderheit der Klasse `Pool` ist es, dass sie die Möglichkeit bietet, die Eingabedaten auf die unterschiedlichen Prozesse zu verteilen. Damit erlaubt sie Datenparallelität bei der Verarbeitung, was gerade beim Einlesen und Vorbereiten großer Datenmengen wie für die vorliegende Arbeit eine deutliche Beschleunigung ermöglicht. Für die datenparallele Verarbeitung wurde das Einlesen eines einzelnen Teildatensatzes in die separate Methode `_get_split` ausgelagert, die wiederum die zusätzliche Methode `_get_reshaped_data` aufrief, um die Merkmalswerte pro Beobachtung in der Form zurückzugeben, die von den Klassifikationsansätzen benötigt wurde. In `_get_reshaped_data` wurden die Zeitfenster aus den Zeitreihen der Variablen `MilkYield`, `StepsPerHour` und `LyingDuration` pro Kuh und Laktation gebildet und mit den entsprechenden Werten der konstanten Merkmale `Lactation` und `DaysInMilk` sowie gegebenenfalls einem Label zu einer Beobachtung verknüpft. Um die Variablenwerte in die ansatzspezifische Form zu bringen und bei Ansätzen mit Feature Engineering zusätzliche Merkmale zu erzeugen, wurde in `_get_reshaped_data` die Methode `window_function` auf die Merkmale jeder Beobachtung angewandt. `window_function` selbst wurde in `AbstractSearcher` und `AbstractSearcher2` nicht überschrieben. Die eingelesenen Daten wurden schließlich in den Attributen für die Merkmalswerte `AbstractSearcher.X` bzw. `AbstractSearcher2.X_const` und `AbstractSearcher2.X_var` sowie für die Labels (`Y` in beiden Klassen) gespeichert.

Für die Gittersuche zur Hyperparameteroptimierung wurde bereits die Methode `gridsearch` angelegt, die allerdings in den konkreten Klassen über-

<sup>16</sup> <https://docs.python.org/3.8/library/multiprocessing.html#multiprocessing.pool.Pool>, abgerufen am 2022-07-12



schrieben werden musste, um Suchen über die spezifischen Hyperparameterräume durchzuführen. Als Ergebnis einer Gittersuche sollte `gridsearch` die Mittelwerte und Standardabweichungen der Vergleichskriterien aus der Kreuzvalidierung pro Tupel von Hyperparameterwerten im Attribut `metrics` ablegen. Jedes Tupel von Hyperparameterwerten wurde zur Kreuzvalidierung an die Methode `crossvalidate` übergeben. Mit einem Objekt der Klasse `sklearn.model_selection.LeaveOneGroupOut`<sup>17</sup> wurden für jeden Kreuzvalidierungsdurchgang die Daten eines Teildatensatzes als Testdaten ausgewählt. Die übrigen Daten wurden als Trainingsdaten verwendet. Trainings- und Testdaten wurden an die Methode `prepare_fit` übergeben, die in einer konkreten Klasse spezifisch für jeden Klassifikationsansatz implementiert werden musste. Von `prepare_fit` erhielt `crossvalidate` die Werte der Vergleichskriterien (Genauigkeit, Relevanz, Sensitivität, Spezifität, Trainings- und Testzeit) dieses Durchgangs zurück. Die Mittelwerte und Standardabweichungen der Vergleichskriterien aller Kreuzvalidierungsdurchgänge wurden dann wiederum von `crossvalidate` zurückgegeben.

Die Klasse `AbstractSearcher` diente zur Hyperparameteroptimierung für die Klassifikationsansätze mit Feature Engineering (vgl. Abbildung 2.6 auf Seite 34). In diesem Fall wurden alle Merkmalswerte pro Beobachtung in einem Vektor zusammengefasst. Beobachtungen ohne Label konnten nicht verarbeitet werden und wurden ausgeschlossen. Bei einigen Ende-zu-Ende- und generativen Ansätzen mussten die Werte der zeitabhängigen Merkmale pro Beobachtung als Matrix getrennt vom Vektor der Werte der konstanten Merkmale an die Modelle übergeben werden. Außerdem sollten in den generativen Ansätzen auch Beobachtungen ohne Labels verwendet werden. Aus diesen Gründen gab es für diese Ansätze die Klasse `AbstractSearcher2`, in der die Daten der konstanten und der zeitabhängigen Merkmale in getrennten Attributen gespeichert wurden und unterschiedlich behandelt werden konnten. Dazu mussten über `import_data` und `_get_split` die Positionen der Spalten der konstanten bzw. zeitabhängigen Merkmalswerte in den Eingabedaten an `_get_reshaped_data` übergeben werden. Auf demselben Weg wurde die Information übermittelt, ob alle oder nur die mit einem Label versehenen Beobachtungen verwendet werden sollten. Natürlich musste auch `crossvalidate` in `AbstractSearcher2` separat implementiert werden, um die getrennten Attribute für konstante und zeitabhängige Merkmalswerte zu verwenden.

#### *Module `AbstractEvaluator` und `AbstractEvaluator2`*

In den abstrakten Klassen `AbstractEvaluator` und `AbstractEvaluator2` als Nachkommen von `TrainTestInterface` für die Evaluierung der Klassifikationsmodelle wurde jeweils die Methode `import_data` überschrieben (siehe Abbildung 2.6 auf Seite 34 sowie Listings A.4 auf Seite 105 bzw. A.5 auf Seite 108 im Anhang). Bei der Evaluierung der Modelle mit den optimierten Hyperparametern erfolgte die Kreuzvalidierung nicht über Methoden sondern mittels Übergabeparametern

<sup>17</sup> [https://scikit-learn.org/0.24/modules/generated/sklearn.model\\_selection.LeaveOneGroupOut.html](https://scikit-learn.org/0.24/modules/generated/sklearn.model_selection.LeaveOneGroupOut.html), abgerufen am 2022-07-12

bei der Ausführung der Python-Skripte in einem `slurm`-Job-Array wie auf Seite 35 beschrieben. Daher musste die Information über die Teildatensätze für die Kreuzvalidierung nicht in Attributen gespeichert werden, wie es bei `AbstractSearcher` und `AbstractSearcher2` der Fall war, sondern es wurden nur die Daten für einen Kreuzvalidierungsdurchgang in Attributen gespeichert (siehe Abbildung 2.6 auf Seite 34). Wie in den Klassen für die Hyperparameteroptimierung wurde das Einlesen eines Teildatensatzes in die Methode `_get_split` ausgelagert zur datenparallelen Ausführung mit einem `multiprocessing.pool.Pool` (siehe S. 36). Ebenfalls wie dort erfolgte die Zusammenstellung der Werte für eine Beobachtung mit der Methode `_get_reshaped_data`. Allerdings wurden von den Methoden der Evaluierungsklassen im Gegensatz zu den Methoden von `AbstractSearcher` und `AbstractSearcher2` keine Informationen über den Teildatensatz einer Beobachtung zurückgegeben. Ein weiterer Unterschied zwischen den Klassen zur Hyperparameteroptimierung und zur Evaluierung war, dass bei letzteren nur das Einlesen der Trainingsdaten parallelisiert wurde. Der einzelne Teildatensatz, der zum Testen verwendet wurde, wurde separat eingelesen.

Die Unterschiede zwischen `AbstractEvaluator` und `AbstractEvaluator2` entsprachen denen zwischen `AbstractSearcher` und `AbstractSearcher2` bezüglich der gemeinsamen oder getrennten Behandlung von Werten konstanter und zeitabhängiger Merkmale und bezüglich der Möglichkeit, Beobachtungen ohne Label einzubeziehen.

#### *Softwaretests der abstrakten Klassen*

Vor der Implementierung der konkreten Klassen für die spezifischen Modelle wurden die Methoden zum Datenimport der vier abstrakten Klassen separat getestet. Für die Softwaretests wurden jeweils kleinere Datensätze erzeugt aus den Zeilen 100 bis 500 der zehn Teildatensätze. Die Methoden `AbstractSearcher.import_data` und `AbstractSearcher2.import_data` wurden auf vier dieser kleineren Datensätze getestet. Bei den Tests der Importmethoden von `AbstractEvaluator` und `AbstractEvaluator2` wurde einer der kleineren Datensätze als Testdatensatz eingelesen, die übrigen zusammen als Trainingsdatensätze. Es wurde der Datenimport für die Evaluierung sowohl aller als auch nur der Beobachtungen mit Labels getestet. Um die Softwaretests zu bestehen, mussten die Größen in allen Dimensionen der Attribute für die Merkmalswerte, Labels und ggf. Teildatensätze von Objekten der vier Klassen nach dem Einlesen der Daten mit den entsprechenden Größen übereinstimmen, die vorher durch Gruppierung und Filtern der Daten in interaktiven Pythonsitzungen bestimmt wurden. Der Programmcode der abstrakten Klassen wurde solange korrigiert, bis die Tests bestanden waren.

#### *Modul `winfunc`*

Das Modul `winfunc` (Listing A.6 auf Seite 111 im Anhang) stellte die Funktion `add_spectra_and_sd` zur Verfügung, die innerhalb der Methode `window_function` der konkreten Klassen für die Klassifikationsansätze mit Feature

Engineering verwendet wurde. Die Funktion `add_spectra_and_sd` erweiterte den übergebenen Merkmalsvektor einer Beobachtung um die Spektren und Standardabweichungen der Werte der zeitabhängigen Merkmale und gab den so vergrößerten Vektor zurück. Zur Berechnung der Spektren wurde die eindimensionale diskrete Fouriertransformation jeweils auf die Werte eines Merkmals in einem Zeitfensters angewandt, und zwar in Form des Fast Fourier Transform Algorithmus [CT65], wie er im Modul `fft` des Pythonpakets `numpy` [Har+20] implementiert ist<sup>18</sup>. Anschließend wurde die Komponente für die Frequenz null ins Zentrum des Spektrums verschoben. Um im reellen Zahlenraum zu bleiben, wurden die absoluten Werte des Spektrums zurückgegeben.

### Konkrete Klassen in ausführbaren Skripten

Der vollständige Quellcode der Skripte befindet sich im Anhang ab Seite 113. In den Skripten wurden zunächst die konkreten Nachkommensklassen der abstrakten Klassen implementiert. Die konkreten Klassen für die Ansätze mit Feature Engineering überschrieben die Klassenmethode `window_function`, die sie von `TrainTestInterface` geerbt hatten, mit einer Version, welche `wfunc.add_spectra_and_sd` verwendete, um zusätzliche Merkmale zu erzeugen. In den konkreten Klassen der Ansätze E2E-MLP und AE-MLP wurde `window_function` ebenfalls überschrieben, um die Merkmalswerte pro Beobachtung in einem Vektor bereitzustellen. Zur Gittersuche der Hyperparameterwerte wurden in den konkreten Klassen die von `AbstractSearcher` bzw. von `AbstractSearcher2` geerbten Methoden `gridsearch` überschrieben, um sie für die modellspezifischen Hyperparameter zu programmieren. Alle konkreten Klassen enthielten eine spezifische Version der Methode `prepare_fit`, mit welcher die von `TrainTestInterface` geerbte Version überschrieben wurde. Innerhalb von `prepare_fit` wurden die Daten standardisiert (außer bei FE-RF) und die Modelle erstellt, trainiert und evaluiert. Die Pseudozufallszahlengeneratoren wurden immer mit demselben Wert initialisiert, um bei verschiedenen Durchläufen der Skripte immer dieselben Werte zu erzeugen. Während des Trainings und der Evaluierung wurden die benötigten Zeiten erfasst. Nachdem die Vorhersagen des trainierten Modells für die jeweiligen Testdaten geprüft waren, wurden die Vergleichsmetriken Genauigkeit, Relevanz, Sensitivität und Spezifität berechnet und mit den erfassten Zeiten zurückgegeben.

Nach der Definition der jeweiligen konkreten Klasse wurden im Skript die erforderlichen Variablenwerte festgelegt und ein Objekt der konkreten Klasse erzeugt. Beim Aufruf der Skripte zur Modellevaluierung wurde ein Parameter übergeben, der den Teildatensatz identifizierte, welcher als Testdatensatz verwendet wurde. Mit der geerbten Methode `import_data` wurden dem Objekt die Daten hinzugefügt. Anschließend wurden die Gittersuche zur Hyperparameteroptimierung durchgeführt oder durch direkten Aufruf von `prepare_fit` das jeweilige Modell einmal

<sup>18</sup> <https://numpy.org/doc/1.20/reference/generated/numpy.fft.fft.html>, abgerufen am 2022-07-13

trainiert und getestet. Die Ergebnisse wurden abschließend in Textdateien gespeichert (während der Hyperparametersuche) bzw. ausgegeben (für die Evaluierung).

### *Besonderheiten bei den neuronalen Netzen*

Beim Training aller neuronalen Netze (FE-MLP, sämtliche E2E- und AE-Modelle) wurde Early Stopping<sup>19</sup> zur Regularisierung eingesetzt, um eine Überanpassung an die Trainingsdaten zu verhindern [vgl. GBC16, S. 241–249]. Dadurch wurde das Training beendet, wenn der Validierungsverlust für eine festgelegte Zahl von Epochen nicht sank.

Die neuronalen Netze der Ende-zu-Ende- und der generativen Ansätze wurden zusätzlich mit einer gesteuerten Lernrate trainiert. Wenn für eine bestimmte Zahl von Epochen der Validierungsverlust nur wenig abnahm, wurde die Lernrate deutlich reduziert<sup>20</sup>. Auf diese Weise sollten die Modelle schneller gute Parameterwerte lernen [Gér20, S. 363].

### *Unüberwachtes Vortraining in den generativen Ansätzen*

Bei den generativen Ansätzen wurde zunächst der Autoencoder mit allen Trainingsdaten trainiert, wie in Listing 2.1 beispielhaft dargestellt. Anschließend wurde der Decoder durch den Klassifikator ersetzt. Bevor das so entstandene Modell mit den gelabelten Beobachtungen trainiert wurde, wurden die bereits gelernten Gewichte des Encoders eingefroren, sodass zunächst nur die Schichten des Klassifikators trainiert wurden und sich die Gewichte des Encoders nicht in Folge des anfänglich hohen Verlusts zu sehr veränderten. Erst nach diesem Trainingsdurchlauf wurden die Gewichte des Encoders wieder aufgetaut und im abschließenden Training des gesamten Modells für die Klassifikationsaufgabe angelernet. Für den abschließenden Trainingsdurchlauf wurde allerdings die Lernrate reduziert [vgl. Gér20, S. 350–353].

Listing 2.1: Python-Code für das unüberwachte Vortraining mit einem Autoencoder und das Training des Klassifikators im generativen Ansatz AE-GRU (vereinfachter Code)

```

1 # -----
2 # Encoder erstellen
3 # -----
4 input_const = Input(shape=x_const_train.shape[1:])
5 layer_const = Dense(2, activation='elu',
6     kernel_initializer='he_normal')(input_const)
7 input_var = Input(shape=x_var_train.shape[1:])
8 rec1_var = GRU(units=16, return_sequences=True)(input_var)
9 rec2_var = GRU(units=16, return_sequences=True)(rec1_var)
10 rec3_var = GRU(units=16)(rec2_var)
11 join = concatenate([layer_const, rec3_var])
12 # Latente Abbildung
13 dense = Dense(6, activation='elu', kernel_initializer='he_normal')(join)
14 # -----

```

<sup>19</sup> [https://www.tensorflow.org/versions/r2.4/api\\_docs/python/tf/keras/callbacks/EarlyStopping](https://www.tensorflow.org/versions/r2.4/api_docs/python/tf/keras/callbacks/EarlyStopping), abgerufen am 2022-07-13

<sup>20</sup> [https://www.tensorflow.org/versions/r2.4/api\\_docs/python/tf/keras/callbacks/ReduceLR0nPlateau](https://www.tensorflow.org/versions/r2.4/api_docs/python/tf/keras/callbacks/ReduceLR0nPlateau), abgerufen am 2022-07-13

```

15 # Decoder erstellen
16 # -----
17 output_decoder_const = Dense(2)(dense)
18 de_rep = RepeatVector(27)(dense)
19 de_rec1_var = GRU(units=16,return_sequences=True)(de_rep)
20 de_rec2_var = GRU(units=16,return_sequences=True)(de_rec1_var)
21 de_rec3_var = GRU(units=16,return_sequences=True)(de_rec2_var)
22 output_decoder_var = TimeDistributed(Dense(3))(de_rec3_var)
23 # -----
24 # Autoencoder trainieren
25 # -----
26 ae = Model([input_const, input_var],
27            [output_decoder_const, output_decoder_var])
28 ae.compile(loss='huber_loss',
29            optimizer=Nadam(learning_rate=learning_rate))
30 ae.fit([x_const_train, x_var_train], [x_const_train, x_var_train],
31        validation_data=([x_const_test, x_var_test], [x_const_test, x_var_test]),
32        batch_size=batch_size, epochs=n_epochs,
33        callbacks=[ReduceLRonPlateau(), EarlyStopping()])
34 # -----
35 # Reduktion der Daten auf Beobachtungen mit Label
36 # -----
37 x_const_train_ = x_const_train[idx_labels_train]
38 x_var_train_ = x_var_train[idx_labels_train]
39 x_const_test_ = x_const_test[idx_labels_test]
40 x_var_test_ = x_var_test[idx_labels_test]
41 y_train_ = (y_train[idx_labels_train]).astype(int)
42 y_test_ = (y_test[idx_labels_test]).astype(int)
43 # -----
44 # Decoder durch Klassifikator ersetzen
45 # -----
46 c1 = Dense(4, kernel_initializer='he_normal', activation='elu')(dense)
47 c2 = Dense(4, kernel_initializer='he_normal', activation='elu')(c1)
48 out_layer = Dense(1, activation='sigmoid')(c2)
49 model = Model([input_const, input_var], out_layer)
50 # -----
51 # Klassifikator trainieren
52 # -----
53 # Trainierte Gewichte des Encoders einfrieren
54 for layer in model.layers[:-1]:
55     layer.trainable = False
56 # Klassifikator zum ersten Mal trainieren
57 model.compile(loss='binary_crossentropy',
58              optimizer=Nadam(learning_rate=learning_rate), metrics=['accuracy'])
59 model.fit([x_const_train_, x_var_train_], y_train_,
60          validation_data=([x_const_test_, x_var_test_], y_test_),
61          batch_size=batch_size, epochs=n_epochs,
62          callbacks=[ReduceLRonPlateau(), EarlyStopping()])
63 # Gewichte des Encoders auftauen
64 for layer in model.layers[:-1]:
65     layer.trainable = True
66 # Klassifikator mit reduzierter Lernrate endgültig trainieren
67 model.compile(loss='binary_crossentropy',
68              optimizer=Nadam(learning_rate=learning_rate/10), metrics=['accuracy'])
69 model.fit([x_const_train_, x_var_train_], y_train_,
70          validation_data=([x_const_test_, x_var_test_], y_test_),
71          batch_size=batch_size, epochs=n_epochs,
72          callbacks=[ReduceLRonPlateau(), EarlyStopping()])

```

### 2.3.3 Hyperparameteroptimierung, Training und Validierung der Modelle

Zur Optimierung der Hyperparameter wurden wie beschrieben mittels Gittersuche aus den Suchmengen diejenigen Werte ausgewählt, mit denen die höchste Genau-

igkeit zu erwarten war. Es wurden die Hyperparameterwerte für die endgültige Modellevaluierung verwendet, mit denen in den Kreuzvalidierungen während der Gittersuchen die größten mittleren Test-Genauigkeiten erzielt wurden. Bei den neuronalen Netzen (MLP, CNN, GRU) wurden zusätzlich mittels TensorBoard<sup>21</sup> Lernkurven während des Trainings der Modelle erstellt und visuell beurteilt [vgl. Smi18]. Dabei sollte insbesondere erkannt werden, ob die Parameterwerte des Modells während des Trainings konvergierten [vgl. Gér20, S. 362–363].

Bei der Evaluierung der Modelle wurde die verwendete Hardware an die Möglichkeiten angepasst, die von den verwendeten Softwarebibliotheken angeboten wurden. So wurden zwar allen Ansätzen für die Evaluierung mindestens vier CPUs zur Verfügung gestellt, um den Datenimport zu beschleunigen. Für die Evaluierung von FE-RF wurden aber fünf CPUs zur Verfügung gestellt, weil `sklearn.ensemble.RandomForestClassifier` es ermöglicht, die Bäume eines Random Forest parallel auf mehreren Prozessoren zu lernen<sup>22</sup>. Im Gegensatz dazu bietet `sklearn.svm.SVC` keine Möglichkeit der Parallelisierung des Trainings einer SVM<sup>23</sup>. Anders als `scikit-learn` bietet TensorFlow die Möglichkeit, das Training neuronaler Netze durch die Nutzung von GPUs zu beschleunigen [Gér20, S. 689–702]. Daher wurden alle neuronalen Netze (FE-MLP, sämtliche E2E- und AE-Ansätze) auf GPU-Knoten evaluiert. Pro Evaluierung wurde eine GPU verwendet.

### 2.3.4 Schließende Statistik

Nur für die Metriken der Klassifikationsleistung (erwartete Genauigkeit, Relevanz, Sensitivität und Spezifität) wurde eine schließende statistische Analyse durchgeführt. Die verwendeten Vergleichsmetriken sind nicht unabhängig voneinander. Wenn die Häufigkeit des Zielmerkmals in der Zielpopulation bekannt ist, können sie ineinander umgerechnet werden [vgl. Wei08, S. 642–646]. Allerdings ist die Häufigkeit von Lahmheit bei schwarzbunten Milchkühen in intensiven Milchproduktionsbetrieben in Deutschland nicht bekannt. Aufgrund der Abhängigkeiten von einander sollten Genauigkeit, Relevanz, Sensitivität und Spezifität als abhängige Variablen in einem gemeinsamen multivariaten Modell analysiert werden. Wie von Benavoli u. a. [Ben+17] empfohlen, wurde ein (grafisches) Bayes'sches multivariates lineares Modell erstellt. Die Annahme, dass die Werte der abhängigen Variablen im relevanten Bereich hinreichend normalverteilt waren, wurde vorher visuell mittels Quantil-Quantil-(Q-Q)-Grafiken überprüft.

Die Werte der Vergleichsmetriken, die für unterschiedliche Klassifikationsansätze in Kreuzvalidierungsdurchgängen mit demselben Teildatensätzen ermittelt wurden, waren ebenfalls nicht unabhängig voneinander. Der jeweils als Testdaten verwendete Teildatensatz wurde daher als Confounder in das statistische Modell aufgenommen. Für das Bayes'sche multivariate lineare Modell zum Vergleich der

<sup>21</sup> <https://www.tensorflow.org/tensorboard>, abgerufen am 2022-07-16

<sup>22</sup> <https://scikit-learn.org/0.24/modules/generated/sklearn.ensemble.RandomForestClassifier.html>, abgerufen am 2022-07-16

<sup>23</sup> <https://scikit-learn.org/0.24/modules/generated/sklearn.svm.SVC.html>, abgerufen am 2022-07-16

Klassifikationsansätze wurde das Modell für eine Bayes'sche multifaktorielle Analysis of Variance von Kruschke [Kru11, S. 519–520] auf ein multivariates Modell erweitert. Allerdings wurde darauf verzichtet, eine Interaktion zwischen Klassifikationsansatz und Teildatensatz zu modellieren, weil angenommen wurde, dass sich die Effekte der beiden bestimmenden Variablen auf die abhängigen Variablen lediglich addierten [vgl. Kru11, S. 516].

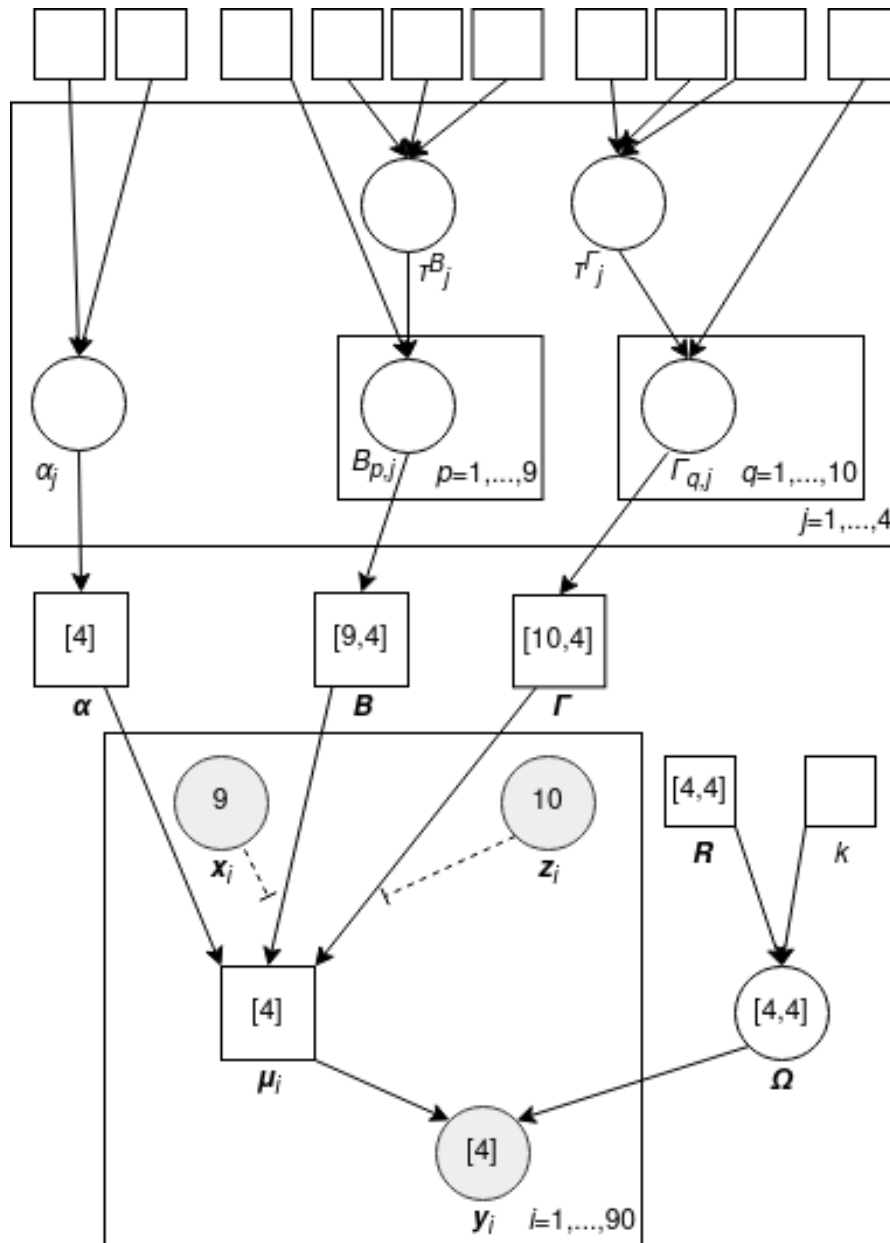


Abbildung 2.7: Bayes'sches multivariates lineares Modell zum Vergleich der Klassifikationsansätze in Plattennotation [erweitert nach Bun94]

Abbildung 2.7 auf der vorherigen Seite gibt einen Überblick über das Bayes'sches multivariate lineare Modell in erweiterter Plattennotation nach Buntine [Bun94]. Der Vektor  $\mathbf{y}_i = (y_{1i}, y_{2i}, y_{3i}, y_{4i}), i = 1, \dots, n$ , fasste die Werte der vier Vergleichsmetriken (Genauigkeit, Relevanz, Sensitivität und Spezifität) als abhängige Variable pro Kreuzvalidierungsdurchgang und Klassifikationsansatz zusammen. Bei jeweils zehn Kreuzvalidierungsdurchgängen von neun Klassifikationsansätzen waren  $n = 10 \cdot 9 = 90$  Beobachtungen für die schließende Statistik verfügbar. Der Klassifikationsansatz einer Beobachtung  $i$  wurde durch den Vektor  $\mathbf{x}_i$  mit neun Elementen in One-Hot-Kodierung [Gér20, S. 68] dargestellt. Jedes Vektorelement entsprach einem Klassifikationsansatz, wobei nur das Element des bei  $i$  beobachteten Ansatzes den Wert 1 hatte, während alle übrigen Elemente den Wert 0 hatten. Entsprechend wurde der zum Testen verwendete Teildatensatz bzw. der Kreuzvalidierungsdurchgang durch den Vektor  $\mathbf{z}_i$  mit zehn Elementen kodiert.

Als Likelihood-Funktion des Bayes'schen Modells wurde die Dichtefunktion einer multivariaten Normalverteilung mit den Parametern  $\boldsymbol{\mu}$  und  $\boldsymbol{\Omega}$  verwendet, d. h. es wurde angenommen, dass  $\mathbf{y}$  multivariat normalverteilt war (Formel 2.1).

$$\mathbf{y} \sim \mathcal{N}(\boldsymbol{\mu}, \boldsymbol{\Omega}) \quad (2.1)$$

$$\boldsymbol{\mu} = \boldsymbol{\alpha} + \mathbf{x} \cdot \mathbf{B} + \mathbf{z} \cdot \boldsymbol{\Gamma} \quad (2.2)$$

Der Mittelwertsvektor  $\boldsymbol{\mu}$  errechnete sich als Summe aus dem Vektor der Regressionskonstanten  $\boldsymbol{\alpha}$  und den Vektor-Matrix-Produkten  $\mathbf{x} \cdot \mathbf{B}$  und  $\mathbf{z} \cdot \boldsymbol{\Gamma}$  der bestimmenden Variablen Klassifikationsansatz ( $\mathbf{x}$ ) und Testdatensatz ( $\mathbf{z}$ ) mit ihren jeweiligen Koeffizienten (Formel 2.2). Die Koeffizientenmatrizen  $\mathbf{B}$  und  $\boldsymbol{\Gamma}$  bestanden aus neun bzw. zehn Zeilen und vier Spalten.

#### *Verteilungen der a-priori-Parameterwerte*

Die Werte der  $4 \times 4$  Präzisionsmatrix  $\boldsymbol{\Omega}$  der multivariaten Normalverteilung folgten *a priori* einer Wishart-Verteilung mit einer Diagonalmatrix der Seitenlänge vier als Skalierungsmatrix  $\mathbf{R}$  und  $k = 5$  Freiheitsgraden. Durch diese Festlegung waren die Korrelationen zwischen den abhängigen Variablen *a priori* gleichverteilt zwischen  $-1$  und  $+1$  [vg. LL12, S. 111].

$$\boldsymbol{\Omega} \sim \text{Wishart}(\mathbf{R}, k) \quad (2.3)$$

Die Beziehungen der *a-priori*-Verteilungen der Modellparameter und ihrer Hyperparameter sind in Abbildung 2.7 auf der vorherigen Seite verdeutlicht. Die vier Elemente von  $\boldsymbol{\alpha}$  waren *a priori* unabhängig normalverteilt mit Mittelwert null und einer Präzision von 0,001 (Formel 2.4). Für jeden der neun Klassifikationsansätze  $p$  waren die vier Elemente  $\beta_{pj}, j = 1, \dots, 4$ , der entsprechenden Zeile  $\mathbf{B}_{p,\bullet}$  jeweils *a priori* normalverteilt mit Mittelwert null und derselben Präzision  $\tau_j^B$  (Formel 2.5 auf der nächsten Seite). Entsprechend waren die vier Elemente  $\gamma_{qj}, j = 1, \dots, 4$ , der Zeile  $\boldsymbol{\Gamma}_{q,\bullet}$  für einen Teildatensatz  $q$  jeweils *a priori* normalverteilt mit Mittelwert null und derselben Präzision  $\tau_j^F$  (Formel 2.6 auf der nächsten Seite).

$$\alpha_j \sim \mathcal{N}(0, 0,001), j = 1, \dots, 4 \quad (2.4)$$



$$B_{p,j} \sim \mathcal{N}(0, \tau_j^B), \quad p = 1, \dots, 9, \quad j = 1, \dots, 4 \quad (2.5)$$

$$\Gamma_{q,j} \sim \mathcal{N}(0, \tau_j^\Gamma), \quad q = 1, \dots, 10, \quad j = 1, \dots, 4 \quad (2.6)$$

Die jeweils vier Elemente der Hyperparametervektoren  $\boldsymbol{\tau}^B$  und  $\boldsymbol{\tau}^\Gamma$  waren *a priori* gefaltet  $t$ -verteilt mit Mittelwert null, Präzision 0,001 und zwei Freiheitsgraden wie von Gelman [Gel06] und Kruschke [Kru11, S. 493–495] empfohlen (Abbildung 2.7 auf Seite 43 und Formel 2.7). Die „Faltung“ der  $t$ -Verteilung wurde durch die Betragsbildung erreicht.

$$\tau_j^B \sim |t(0, 0, 001, 2)|, \quad \tau_j^\Gamma \sim |t(0, 0, 001, 2)|, \quad j = 1, \dots, 4 \quad (2.7)$$

### *Schätzung der a-posteriori-Parametervertellungen*

Nach Standardisierung der Werte der abhängigen Variablen wurden die *a-posteriori*-Verteilungen der Modellparameter mittels Markov Chain Monte Carlo und Gibbs Sampling geschätzt. Dabei wurden vier Sampling-Ketten gebildet mit unterschiedlichen Startwerten und mit mindestens jeweils 100.000 Schritten nach einer Burn-in-Phase von 4.000 Schritten. Die Sampling-Ketten wurden anschließend auf jeden zehnten Schritt ausgedünnt. Mit Gelman-Rubin- [GR92] und Raftery-Lewis-Diagnostiken [RL92] wurde geprüft, ob die Markov-Chain-Monte-Carlo-Ziehungen konvergierten. Falls notwendig, wurden den Sampling-Ketten weitere Schritte hinzugefügt, bis Konvergenz erreicht war. Zusätzlich wurde der Verlauf der gezogenen Werte der Variablen für den Klassifikationsansatz in Grafiken über die Schritte und in Autokorrelationsgrafiken visuell beurteilt. Anschließend wurden die Modellannahmen in einer Residuenanalyse überprüft. Die Residuen jeder abhängigen Variablen wurden in Q-Q-Grafiken auf Normalverteilung getestet. In Abbildungen der Residuen über die vorhergesagten Werte pro abhängiger Variablen (Tukey-Anscombe-Grafiken) wurde auf Trends und Heteroskedastizität untersucht.

Die Werte der abhängigen Variablen aus den *a-posteriori*-Verteilungen wurden auf die ursprüngliche Skala zurücktransformiert. Die *a-posteriori*-Verteilungen der abhängigen Variablen wurden durch den Median und durch die Grenzen des Intervalls mit 95 % der Dichte der Verteilung beschrieben.

### *Tests auf Unterschiede zwischen den Klassifikationsansätzen*

Zuerst wurde analysiert, ob sich die Verteilungen von Genauigkeit, Relevanz, Sensitivität und Spezifität eines Klassifikationsansatzes *a posteriori* jeweils von den übrigen unterscheiden. Dazu wurden für jede Vergleichsmetrik die Differenzen zwischen den *a-posteriori*-Verteilungen der untersuchten Klassifikationsansätze und der des theoretischen Mittelwerts mit einer Region Of Practical Equivalence (ROPE) von  $0 \pm 0,01$  verglichen. Wenn weniger als 2,5 % der Verteilungsdichte der Differenz einer Vergleichsmetrik eines Klassifikationsansatzes innerhalb der ROPE lag, wurde der Schluss gezogen, dass sich dieser Ansatz signifikant von den übrigen unterschied in Bezug auf die jeweilige Vergleichsmetrik.

Zusätzlich wurden die *a-posteriori*-Verteilungen von Genauigkeit, Relevanz, Sensitivität und Spezifität aller Klassifikationsansätze jeweils paarweise verglichen.

Zwei Klassifikationsansätze wurden als signifikant unterschiedlich in Bezug auf eine Vergleichsmetrik angesehen, wenn die Dichte der Differenz der Verteilungen der Klassifikationsansätze für diese Metrik zu mehr als 2,5 % außerhalb einer ROPE von  $-0,01$  bis  $+0,01$  lag. Lag sie zu mehr als 97,5 % innerhalb der ROPE, so wurde geschlossen, dass die beiden Klassifikationsansätze bezüglich dieser Metrik gleichwertig waren. Wie von Makowski u. a. [Mak+19] empfohlen, wurde immer der Anteil von der gesamten Dichte der Differenzverteilungen berücksichtigt.

### Implementierung

Das Bayes'sche multivariate lineare Modell zum Vergleich der Klassifikationsansätze wurde in JAGS Version 4.3.0<sup>24</sup> [Plu03] programmiert (Listing 2.2). Die Beschreibung der Evaluationsergebnisse und die statistische Analyse erfolgte in R Version 4.2.1<sup>25</sup> [R C22]. Mit dem Paket `runjags` Version 2.2.1-7<sup>26</sup> [Den16] wurde JAGS aus R aufgerufen. Die Vergleiche der *a-posteriori*-Verteilungen mit der jeweiligen ROPE erfolgten mit dem Paket `bayestestR` Version 0.12.1<sup>27</sup> [MBL19]. In R wurden die Daten mit Hilfe der Funktionen des Pakets `tidyverse`<sup>28</sup> [Wic+19] vorbereitet. Die Grafiken wurden mit dem Paket `ggplot2`<sup>29</sup> [Wic16] erstellt.

Listing 2.2: JAGS-Code des Bayes'schen multivariaten linearen Modells zum Vergleich der Klassifikationsansätze

```

1  model {
2  # -----
3  # Likelihood
4  # -----
5  # für alle Beobachtungen
6  for (i in 1:n) {
7  # für die 4 Vergleichsmetriken separat
8  for (j in 1:4) {
9  # Mittelwert als Summe aus Regressionskonstante und den
10 # Koeffizienten der bestimmenden Variablen
11 # entsprechend deren Ausprägungen
12 mu[i,j] <- alpha[j] + Beta[x[i],j] + Gamma[z[i],j]
13 }
14 ## Likelihood-Funktion: multivariate Normalverteilung
15 y[i,1:4] ~ dnorm(mu[i,], Omega)
16 }
17 # -----
18 # a-priori-Parameterwerte
19 # -----
20 # für die 4 Vergleichsmetriken separat
21 for (j in 1:4) {
22 ## Regressionskonstante
23 alpha[j] ~ dnorm(0, 0.001)
24 ## Koeffizienten für die 9 Klassifikationsansätze
25 for (p in 1:9) {
26 Beta[p,j] ~ dnorm(0, tauBeta[j])
27 }
28 ## Koeffizienten für die 10 Teildatensätze
29 for (q in 1:10) {

```

<sup>24</sup> <https://mcmc-jags.sourceforge.io/>, abgerufen am 2022-07-02

<sup>25</sup> <https://www.r-project.org/>, abgerufen am 2022-07-16

<sup>26</sup> <https://cran.r-project.org/package=runjags>, abgerufen am 2022-07-16

<sup>27</sup> <https://cran.r-project.org/package=bayestestR>, abgerufen am 2022-07-16

<sup>28</sup> <https://cran.r-project.org/package=tidyverse>, abgerufen am 2022-07-16

<sup>29</sup> <https://cran.r-project.org/package=ggplot2>, abgerufen am 2022-07-16

```
30     Gamma[q,j] ~ dnorm(0, tauGamma[j])
31   }
32   ## Hyperparameter tauBeta aus gefalteter t-Verteilung
33   tauBeta[j] <- 1 / pow(sBeta[j], 2)
34   # Betragsbildung ("Faltung")
35   sBeta[j] <- abs(sBetat[j]) + 0.1
36   # t-Verteilung
37   sBetat[j] ~ dt(0, 0.001, 2)
38   ## Hyperparameter tauGamma aus gefalteter t-Verteilung
39   tauGamma[j] <- 1 / pow(sGamma[j], 2)
40   # Betragsbildung ("Faltung")
41   sGamma[j] <- abs(sGammata[j]) + 0.1
42   # t-Verteilung
43   sGammata[j] ~ dt(0, 0.001, 2)
44 }
45 ## Präzisionsmatrix der multivariaten Normalverteilung
46 Omega ~ dwish(R, k)
47 }
```

## Ergebnisse

Das Kapitel *Ergebnisse* beginnt mit der Beschreibung der verwendeten Daten und der Hyperparameterwerte, welche schließlich beim Vergleich der Klassifikationsansätze verwendet wurden. Anschließend werden die Ergebnisse der Evaluierungen der einzelnen Ansätze vorgestellt. Die Ergebnisse der schließenden Statistik über den Vergleich der Klassifikationsansätze bilden den Abschluss des Kapitels.

### 3.1 Beschreibung der verwendeten Daten

Tabelle 3.1: Zusammenfassung der Merkmalswerte der verwendeten Klauenfitnet-Daten

Merkmal (Einheit)	Minimum	1. Quartil	2. Quartil	3. Quartil	Maximum
Lactation	1	1	2	3	10
DaysInMilk [d]	0	103	185	268	500
MilkYield [kg]	0,0	24,2	30,7	37,4	107,7
StepsPerHour [h <sup>-1</sup> ]	49	96	118	145	465
LyingDuration [min]	15	57	71	88	188

Lactation: Laktationsnummer, DaysInMilk: Laktationstag, MilkYield: Tagesgemelk, StepsPerHour: durchschnittliche Schrittfrequenz, LyingDuration: durchschnittliche Liegedauer pro Liegevorgang

Der verwendete Datensatz enthielt 727.008 Beobachtungen (Kuh-Tage) mit vollständigen Merkmalswerten aus 3.373 Laktationen von 2.528 Kühen aus vier Betrieben. Davon lagen zu 17.114 Beobachtungen aus 2.612 Laktationen Ergebnisse von Gangbeurteilungen als Klassenlabels vor. Bei 48,0 % der gelabelten Beobachtungen wurde eine Lahmheit diagnostiziert. Damit waren die Gangbeurteilungen nahezu balanciert. Tabelle 3.1 gibt einen Überblick über die Werte der Merkmale Laktationsnummer (Lactation), Laktationstag (DaysInMilk), Tagesgemelk (MilkYield), durchschnittliche Schrittfrequenz (StepsPerHour) und durchschnittliche Liegedauer pro Liegevorgang (LyingDuration).

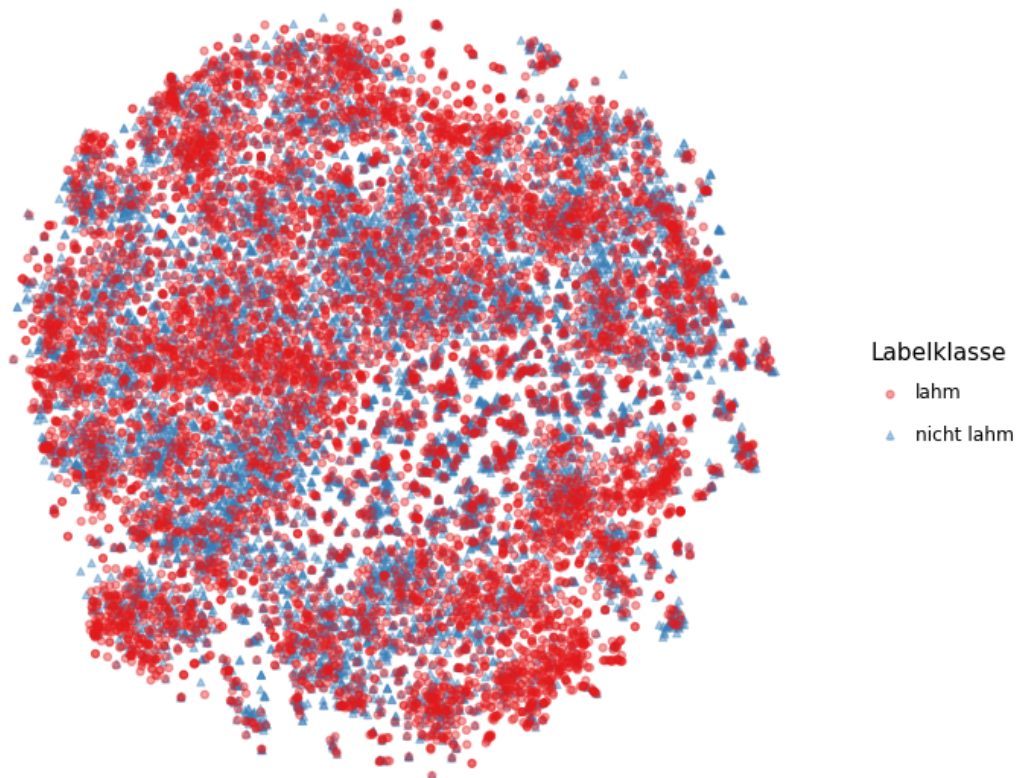


Abbildung 3.1: Visualisierung der verwendeten Daten mit Klassenlabels nach Dimensionsreduktion mittels t-distributed Stochastic Neighbor Embedding

In Abbildung 3.1 sind die verwendeten Daten nach Dimensionsreduktion mit t-distributed Stochastic Neighbor Embedding abgebildet. Eine Beobachtung bestand vor der Dimensionsreduktion aus einem 83-elementigen Vektor aus den Werten der konstanten Merkmale `Lactation` und `DaysInMilk` und den drei Zeitfenstern der Länge 27 für die Merkmale `MilkYield`, `StepsPerHour` und `LyingDuration`. Die Beobachtungen sind entsprechend ihrer Labels farblich markiert. In dieser Abbildung gibt es keine deutlich unterscheidbaren Häufungen der Beobachtungen der beiden Labelklassen „lahm“ und „nicht lahm“.

Die Aufteilung des gesamten Datensatzes in zehn Teildatensätze auf Ebene der Kühe ist in Tabelle 3.2 auf der nächsten Seite dargestellt. Alle Teildatensätze enthielten annähernd dieselbe Anzahl von Beobachtungen. Die Labelklassen waren allerdings nicht in allen Teildatensätzen gleichermaßen ausbalanciert. Die Teildatensätze zwei, drei, vier und sieben enthielten deutlich weniger Beobachtungen, die als „lahm“ markiert waren, als die anderen Teildatensätze.

Tabelle 3.2: Teilung der verwendeten Daten auf der Ebene der Kühe in zehn Teildatensätze für die Kreuzvalidierung der Klassifikationsansätze

Teildatensatz	Kühe	Beobachtungen	Häufigkeit der Labelklasse „lahm“
0	253	72.025	48,9 %
1	253	73.135	49,7 %
2	253	74.101	44,2 %
3	253	72.246	45,5 %
4	253	70.253	45,8 %
5	253	71.586	50,4 %
6	253	72.760	52,4 %
7	253	74.629	44,5 %
8	253	72.629	50,7 %
9	251	73.644	48,0 %

### 3.2 Hyperparameter der Klassifikationsmodelle

Die Hyperparameterwerte, die in den Gittersuchen in den besten erwarteten Genauigkeiten resultierten, sind für alle Klassifikationsansätze in Tabelle 3.3 auf der nächsten Seite angegeben zusammen mit den jeweiligen Wertemengen, aus denen gesucht wurde. Für AE-GRU wurde in der Gittersuche einer Batchgröße von 32 die höchste mittlere Test-Genauigkeit erreicht. Allergings divergierte das Modell während der anschließenden Evaluierung bei diesem Wert. Daher wurde für die endgültige Evaluierung auf eine Batchgröße von 512 ausgewichen, welche in der Gittersuche die zweitbeste erwartete Genauigkeit ergeben hatte.

### 3.3 Beschreibung der Evaluierungsergebnisse

Die Ergebnisse für alle Klassifikationsansätze und alle Kreuzvalidierungsdurchläufe sind in Tabelle B.1 auf Seite 174 im Anhang wiedergegeben. Die höchste Genauigkeit wurde mit 0,7563 von E2E-GRU beim Test mit Teildatensatz null erzielt, die niedrigste von E2E-MLP beim Test mit Teildatensatz drei mit 0,6461. Die Spannweite der erreichten Relevanz war etwas größer. Sie reichte von 0,6154 beim Test von AE-MLP auf Teildatensatz zwei bis 0,7856 beim Test von FE-SVM auf Teildatensatz null. Insgesamt wurde eine maximale Spezifität von 0,8280 und eine maximale Sensitivität von 0,7711 berechnet (Test von FE-SVM auf Teildatensatz null bzw. von E2E-CNN auf Teildatensatz acht). Die niedrigste Spezifität betrug 0,6468 (E2E-CNN, Teildatensatz acht), die niedrigste Sensitivität war 0,5497 (AE-MLP, Teildatensatz neun). Die Trainingsdauer reichte von unter sieben Sekunden beim Training von E2E-MLP mit den Daten ohne Teildatensatz acht bis über 22.000 sec beim Training von AE-CNN mit den Teildatensätzen eins bis neun. Im Gegensatz dazu unterschieden sich die Zeiten, die zur Klassifikation des Testdatensatzes benötigt wurden, deutlich weniger. Die Klassifikationen benötigten lediglich

Tabelle 3.3: Hyperparameterwerte für die neun Klassifikationsansätze in den Gittersuchen

Ansatz	Hyperparameter	Suchmenge	Ausgewählter Wert
FE-RF	n_estimators	{3.000; 3.500; 4.000; 4.500; 5.000}	4.500
	min_samples_leaf	{1; 5; 10; 20}	5
FE-SVM	C	{0,01; 0,1; 0,5; 1,0; 1,5; 3,0; 5,0; 10,0; 100,0}	0,5
FE-MLP	learning_rate	{0,0005; 0,001; 0,005; 0,01; 0,05}	0,0005
	batch_size	{8; 16; 32; 64; 128}	32
E2E-MLP	learning_rate	{0,0005; 0,001; 0,005; 0,01; 0,05}	0,005
	batch_size	{8; 16; 32; 64; 128}	128
E2E-CNN	learning_rate	{0,0005; 0,001; 0,005; 0,01; 0,05}	0,05
	batch_size	{8; 16; 32; 64; 128}	32
E2E-GRU	learning_rate	{0,0005; 0,001; 0,005; 0,01; 0,05}	0,001
	batch_size	{8; 16; 32; 64; 128}	32
AE-MLP	learning_rate	{0,001; 0,005; 0,01; 0,05}	0,001
	batch_size	{32; 128; 512}	128
AE-CNN	learning_rate	{0,001; 0,005; 0,01; 0,05}	0,001
	batch_size	{32; 128; 512}	32
AE-GRU	learning_rate	{0,001; 0,005; 0,01; 0,05}	0,005
	batch_size	{32; 128; 512}	32

ein paar Hunderstel Sekunden bis höchstens sechs Sekunden. Während des Trainings und des Testens benötigten die Klassifikationsansätze zwischen etwa einem halben und knapp drei Gigabyte Arbeitsspeicher.

### 3.3.1 Klassifikationsleistungen

Da für alle Klassifikationsansätze in der Kreuzvalidierung dieselben Teildatensätze verwendet wurden, erfolgte die Untersuchung der Klassifikationsleistungen sowohl vergleichend über die Klassifikationsansätze als auch vergleichend über die Teildatensätze.

#### Beobachtete Leistungen der Klassifikationsansätze

Die beobachteten Leistungen bei der Klassifikation unbekannter Daten sind für die neun Klassifikationsansätze in Tabelle 3.4 auf der nächsten Seite jeweils als Median und Interquartilsabstand zusammengefasst. Die Test-Genauigkeiten aller Ansätze mit Ausnahme von AE-MLP und E2E-MLP waren sehr ähnlich (siehe

Tabelle 3.4: Zusammengefasste Leistungen [Median (Interquartilsabstand)] bei der Klassifikation unbekannter Testdatensätze während der Evaluierung mit zehnfacher Kreuzvalidierung

Klassifikationsansatz	Genauigkeit	Relevanz	Sensitivität	Spezifität
AE-CNN	0.712 (0.013)	0.714 (0.043)	0.683 (0.039)	0.762 (0.085)
AE-GRU	0.706 (0.016)	0.712 (0.026)	0.672 (0.027)	0.746 (0.022)
AE-MLP	0.673 (0.026)	0.678 (0.025)	0.598 (0.057)	0.718 (0.021)
E2E-CNN	0.715 (0.013)	0.704 (0.032)	0.672 (0.048)	0.756 (0.072)
E2E-GRU	0.721 (0.022)	0.72 (0.038)	0.658 (0.025)	0.767 (0.039)
E2E-MLP	0.677 (0.026)	0.658 (0.042)	0.64 (0.054)	0.702 (0.02)
FE-MLP	0.704 (0.021)	0.711 (0.029)	0.663 (0.022)	0.752 (0.025)
FE-RF	0.721 (0.024)	0.717 (0.037)	0.653 (0.032)	0.769 (0.019)
FE-SVM	0.717 (0.021)	0.729 (0.024)	0.658 (0.029)	0.772 (0.017)

Abbildung 3.2 auf der nächsten Seite). Gleiches galt für die Test-Relevanz und in geringerem Maße auch für die Test-Sensitivität und Test-Spezifität. AE-MLP und E2E-MLP schnitten in allen Vergleichen der Klassifikationsleistungen am schlechtesten ab, AE-MLP mit einer schlechteren Sensitivität, E2E-MLP mit einer schlechteren Spezifität. Die höchsten mediane Test-Genauigkeiten erreichten E2E-GRU und FE-RF, allerdings mit weniger als 0,005 Abstand zu FE-SVM. Diese drei Ansätze hatten auch die höchste mediane Test-Relevanz, allerdings in anderer Reihenfolge. Die größte mediane Test-Relevanz von 0,729 erreichte FE-SVM mit Abständen von 0,009 zu E2E-GRU und von 0,012 zu FE-RF. Diese drei Ansätze hatten ebenfalls die höchsten medianen Test-Spezifitäten (FE-SVM: 0,772; FE-RF: 0,769; E2E-GRU: 0,767).

Ganz andere Klassifikationsansätze lieferten die höchsten medianen Test-Sensitivitäten von 0,683 (AE-CNN) und von 0,672 (AE-GRU und E2E-CNN). Die medianen Test-Sensitivitäten der drei Ansätze mit den höchsten medianen Test-Genauigkeiten und -Relevanzen (E2E-GRU, FE-RF und FE-SVM) lagen in der unteren Hälfte (Tabelle 3.4). AE-CNN und E2E-CNN erreichten nicht nur die besten medianen Test-Sensitivitäten, sondern hatten auch mediane Test-Spezifitäten auf dem vierten und fünften Rang (0,762 bzw. 0,756).

### Beobachtete Klassifikationsleistungen pro Testdatensatz

Die erzielten Klassifikationsleistungen unterschieden sich deutlich voneinander, je nachdem, welcher Teildatensatz jeweils zum Testen verwendet worden war (Abbildung 3.3 auf Seite 54). Auf Teildatensatz neun wurden die höchsten medianen Leistungen erreicht. Mit den Testdatensätzen sechs und sieben wurden ebenfalls hohe mediane Klassifikationsleistungen erreicht. Am schlechtesten schnitten die Klassifikationen auf den Testdatensätzen drei und acht ab.



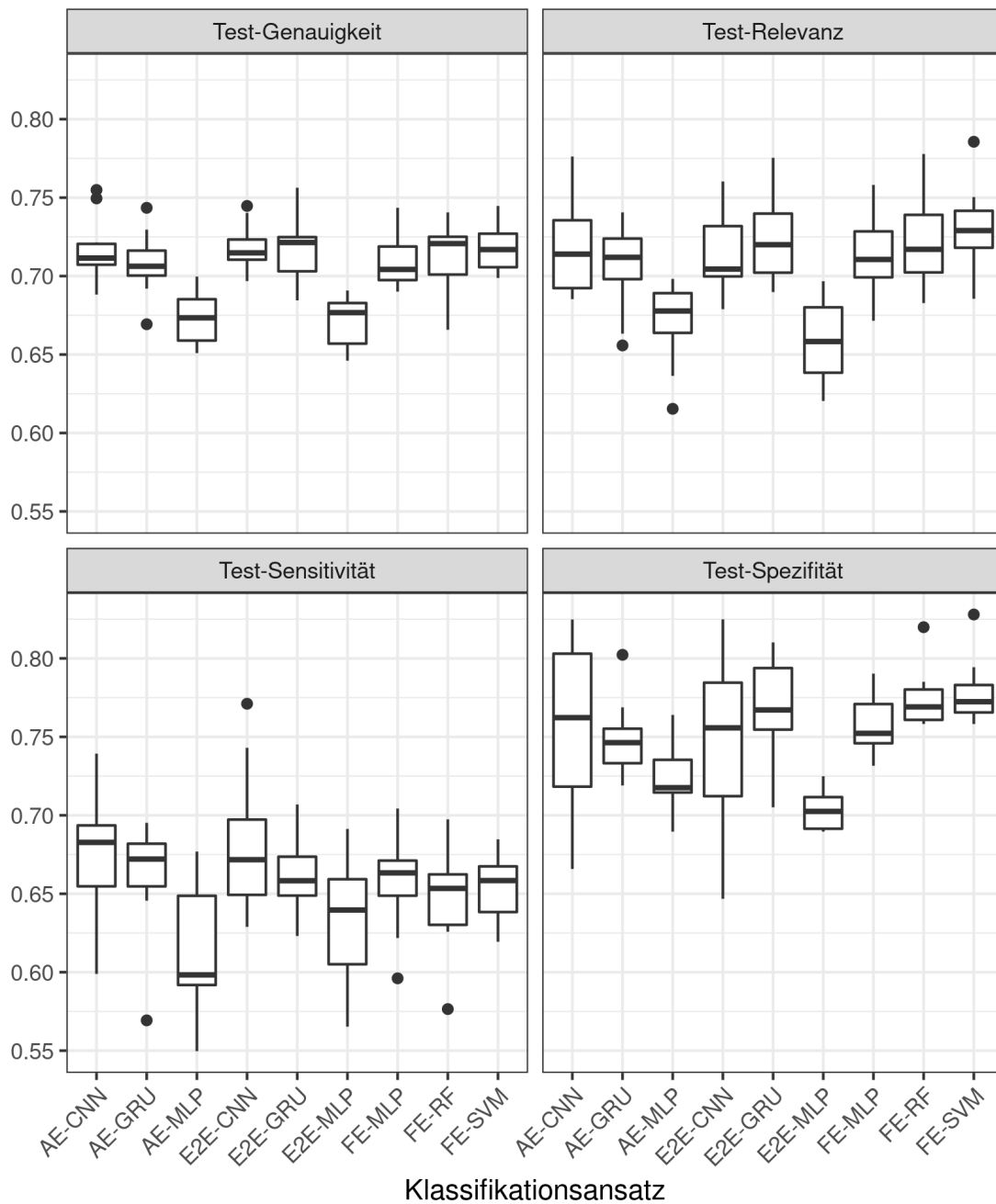


Abbildung 3.2: Beobachtete Leistungen der untersuchten Klassifikationsansätze in den zehn Kreuzvalidierungsdurchläufen

### 3.3.2 Ressourcenbedarf

Die untersuchten Klassifikationsansätze wiesen sehr starke Unterschiede auf hinsichtlich ihres Bedarfs an Ressourcen für das Training und das Testen (Abbildung 3.4 auf Seite 55 und Tabelle 3.5 auf Seite 57). Im Gegensatz zu den Klassifikationsleistungen zeigten sich beim Ressourcenbedarf die Gruppen der Klas-

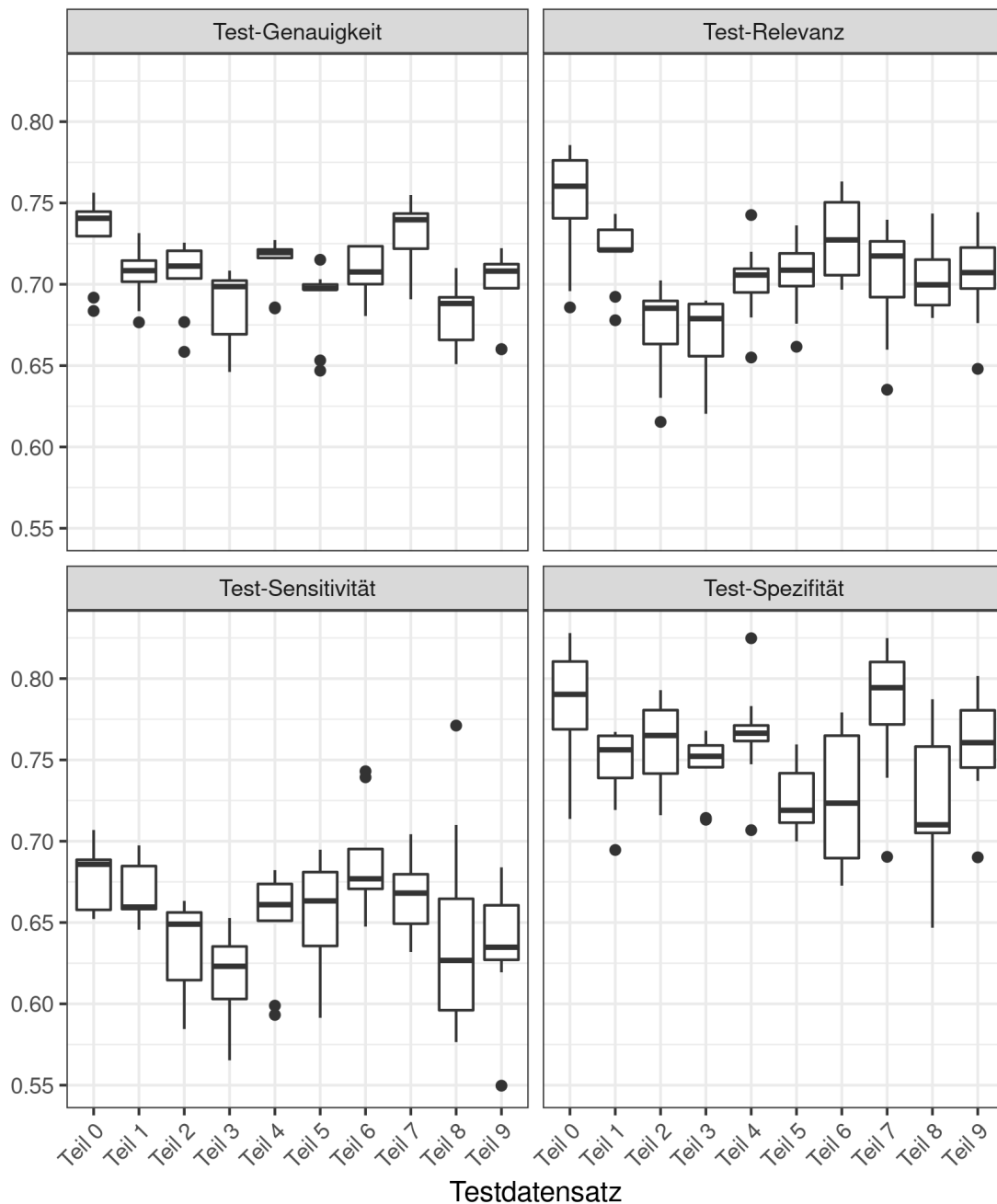


Abbildung 3.3: Beobachtete Leistungen bei den Klassifizierungen der zehn Testdatensätze über alle Ansätze zusammengefasst

sifikationsansätze. Die generativen Ansätze (AE-MLP, AE-CNN und AE-GRU), die große neuronale Netze und ein unüberwachtes Vortraining enthielten, benötigten die zwei- bis dreifache Menge an Arbeitsspeicher und zehn- bis hundertmal mehr Zeit zum Erlernen der Parameter. Unbekannte Datensätze wurden nach dem Training von ihnen dann allerdings sehr schnell klassifiziert.

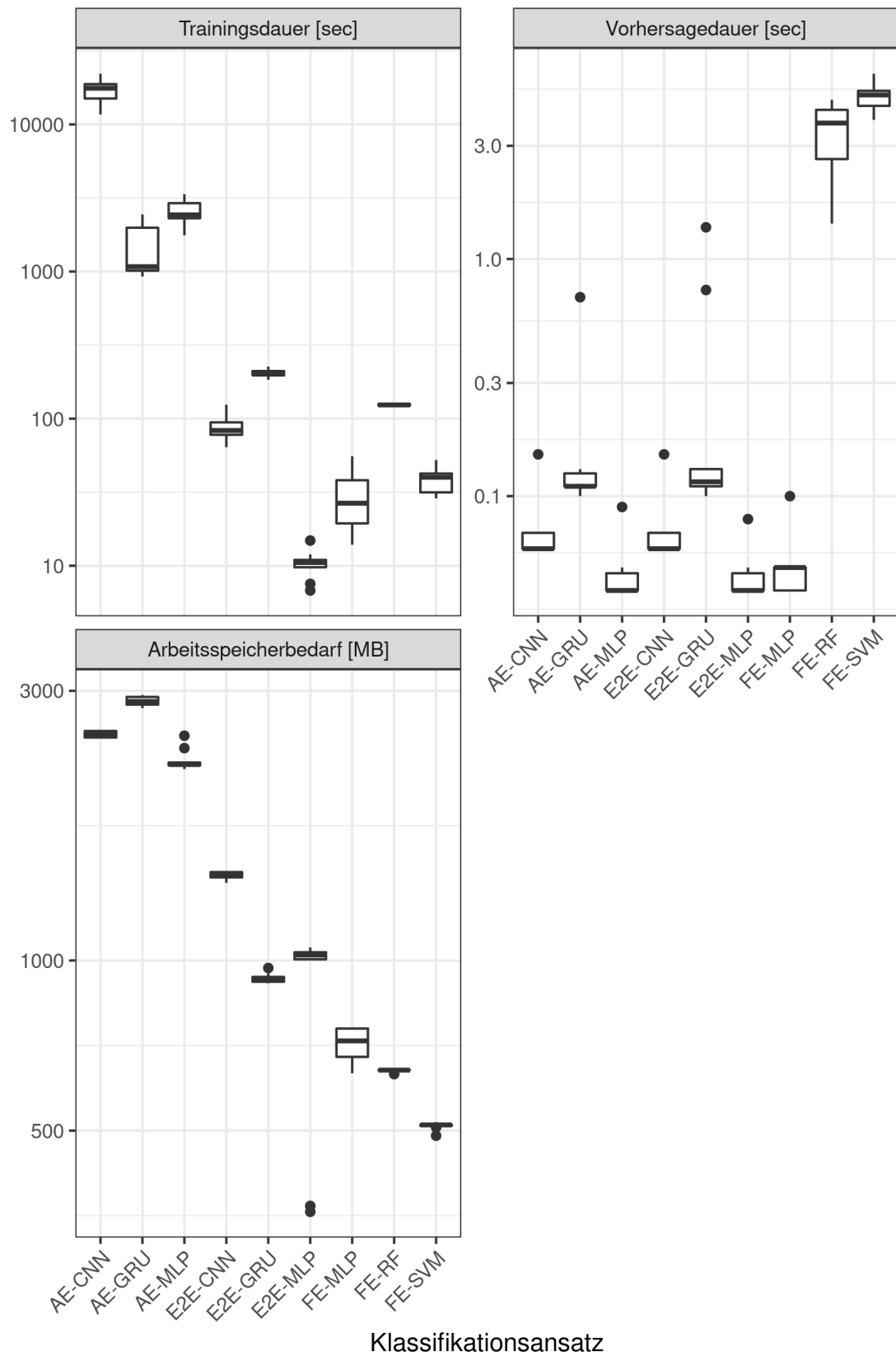


Abbildung 3.4: Laufzeiten und Arbeitsspeicherbedarf der untersuchten Klassifikationsansätze in den zehn Kreuzvalidierungsdurchläufen

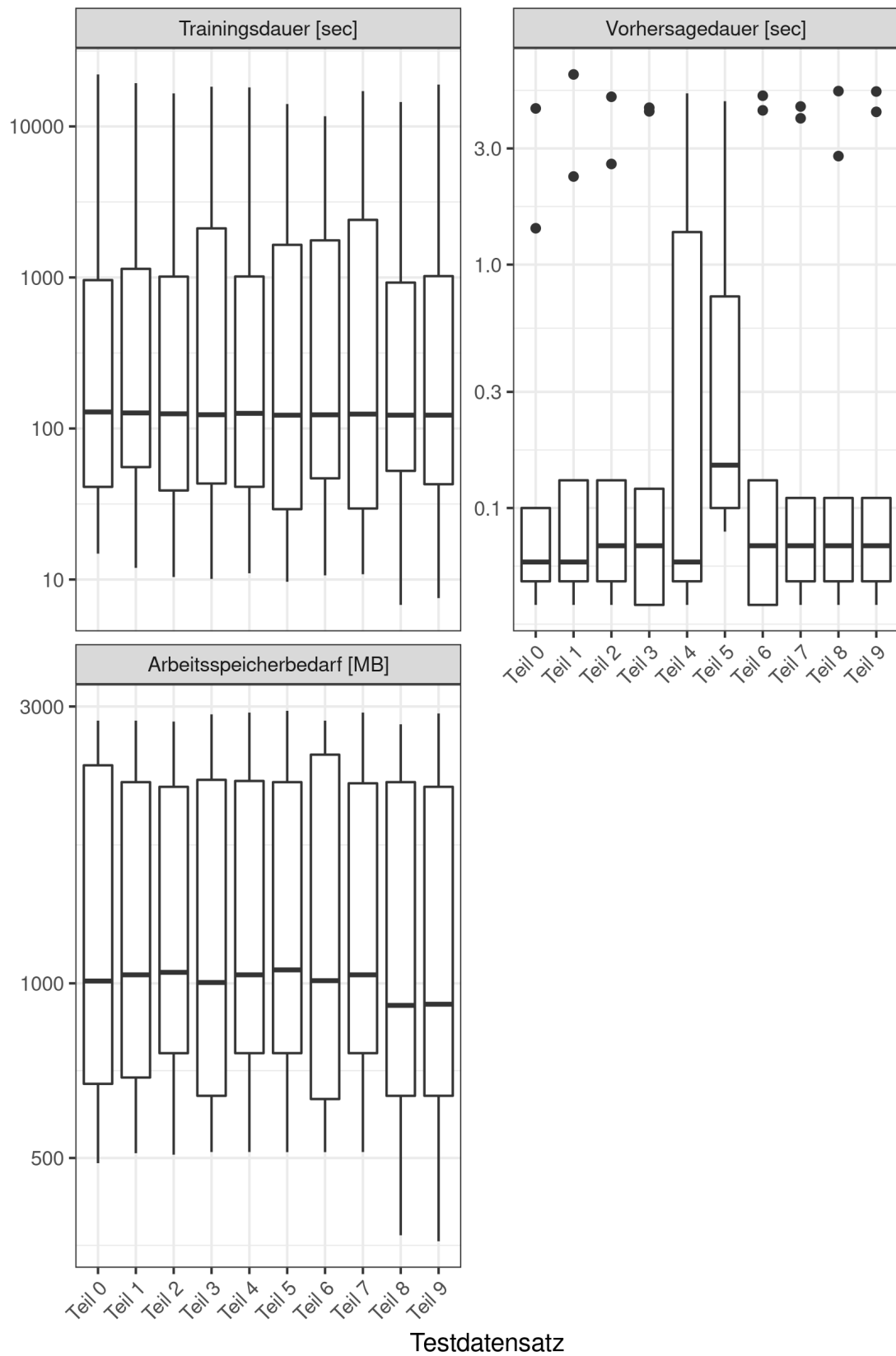


Abbildung 3.5: Laufzeiten und Arbeitsspeicherbedarf für Training und Klassifikation pro Testdatensatz über alle Ansätze zusammengefasst

Tabelle 3.5: Ressourcenbedarf [Median (Interquartilsabstand)] während der Evaluierung mit zehnfacher Kreuzvalidierung

Klassifikationsansatz	Trainingsdauer [sec]	Vorhersagedauer [sec]	Arbeitsspeicher [MB]
AE-CNN	17626.56 (3752.91)	0.06 (0.01)	2513.92 (66.56)
AE-GRU	1080.3 (982.81)	0.11 (0.01)	2872.32 (89.6)
AE-MLP	2427.43 (613.91)	0.04 (0.01)	2222.08 (25.6)
E2E-CNN	83.08 (16.7)	0.06 (0.01)	1418.24 (30.72)
E2E-GRU	200.62 (13.37)	0.11 (0.02)	927.28 (18)
E2E-MLP	10.52 (1.19)	0.04 (0.01)	1022.43 (29.47)
FE-MLP	26.88 (18.93)	0.05 (0.01)	720.9 (82.59)
FE-RF	123.9 (2.98)	3.75 (1.62)	639.83 (0.16)
FE-SVM	39.97 (10.6)	4.92 (0.69)	511.79 (1.81)

Die Ansätze mit Feature Engineering und Klassifikationsmethoden aus dem klassischen maschinellen Lernen (FE-RF und FE-SVM) hatten hingegen nur einen sehr geringen Arbeitsspeicherbedarf und benötigten im Median 40 sec bis zwei Minuten, um die Parameter zu lernen. Allerdings dauerte es bei ihnen etwa 100-mal solange wie bei den Ansätzen, die auf neuronalen Netzen basierten, um unbekannte Testdaten zu klassifizieren. Selbst der maximale Zeitbedarf für die Klassifikation eines Testdatensatzes hatte aber nur wenig über 5 sec betragen (siehe Tabelle B.1 auf Seite 174 im Anhang).

Der Arbeitsspeicherbedarf von FE-MLP und der Ende-zu-Ende-Klassifikationsansätze lag zwischen diesen beiden Gruppen. Ihre Trainingsdauer war ähnlich der von FE-RF und FE-SVM, während die Zeiten, welche sie für die Klassifikation der Testdaten benötigten, denjenigen der generativen Ansätze ähnelten (Abbildung 3.4 auf Seite 55).

Der Zeitbedarf für das Lernen der Modellparameter und der benötigte Arbeitsspeicherplatz waren nahezu konstant über alle Teildatensätze (Abbildung 3.5 auf der vorherigen Seite). Es dauert allerdings länger als bei den übrigen Teildatensätzen, die Daten der Testdatensätze vier und fünf zu klassifizieren.

### 3.4 Multivariates Bayes'sches lineares Modell

Die Schätzung der *a-posteriori*-Verteilungen der Modellparameter mittels Markov Chain Monte Carlo und Gibbs Sampling konvergierte innerhalb der ursprünglich eingegebenen 100.000 Schritte pro Kette. Pro abhängiger Variablen waren die Residuen normalverteilt und visuell wurden keine Hinweise auf Heteroskedastizität oder deutliche Trends in den Residuen gefunden.

Tabelle 3.6 auf der nächsten Seite zeigt die Schätzungen des Bayes'schen multivariaten linearen Modells für die erwarteten Werte der vier Vergleichsmetriken

Genauigkeit, Relevanz, Sensitivität und Spezifität für einen Klassifikationsansatz unabhängig vom Teildatensatz, der zum Testen verwendet wird (theoretisches „Gesamtmittel“). Die entsprechenden Schätzungen der Klassifikationsleistungen der untersuchten Ansätze sind als Median und Intervall mit 95 % der Dichte der *a-posteriori*-Verteilung in Tabelle 3.7 dargestellt. Die *a-posteriori*-Verteilungen der Werte für die Klassifikationsansätze von Genauigkeit, Relevanz, Sensitivität und Spezifität werden mit den entsprechenden Verteilungen der „Gesamtmittel“ in Abbildung 3.6 auf Seite 60, Abbildung 3.7 auf Seite 61, Abbildung 3.8 auf Seite 62 bzw. Abbildung 3.9 auf Seite 63 verdeutlicht.

Tabelle 3.6: Erwartete Klassifikationsleistung unabhängig vom Klassifikationsansatz und vom Testdatensatz als Median und 95 %-Intervall der höchsten Dichte der *a-posteriori*-Verteilungen

	Genauigkeit	Relevanz	Sensitivität	Spezifität
Gesamtmittel	0,705 [0,703; 0,707]	0,706 [0,703; 0,709]	0,654 [0,647; 0,66]	0,751 [0,746; 0,756]

Tabelle 3.7: Erwartete Leistungen der neun untersuchten Klassifikationsansätze als Median und 95 %-Intervall der höchsten Dichte der *a-posteriori*-Verteilungen

Klassifikationsansatz	Genauigkeit	Relevanz	Sensitivität	Spezifität
AE-CNN	0,716 [0,711; 0,722]	0,717 [0,708; 0,726]	0,669 [0,652; 0,687]	0,755 [0,741; 0,77]
AE-GRU	0,708 [0,702; 0,713]	0,706 [0,697; 0,715]	0,66 [0,643; 0,677]	0,75 [0,735; 0,764]
AE-MLP	0,675 [0,67; 0,682]	0,673 [0,663; 0,682]	0,62 [0,601; 0,639]	0,725 [0,71; 0,741]
E2E-CNN	0,717 [0,711; 0,723]	0,715 [0,706; 0,724]	0,676 [0,658; 0,694]	0,751 [0,736; 0,765]
E2E-GRU	0,717 [0,711; 0,723]	0,722 [0,713; 0,731]	0,661 [0,644; 0,678]	0,767 [0,752; 0,781]
E2E-MLP	0,672 [0,667; 0,678]	0,663 [0,654; 0,673]	0,634 [0,616; 0,652]	0,707 [0,692; 0,723]
FE-MLP	0,71 [0,704; 0,715]	0,712 [0,703; 0,721]	0,657 [0,641; 0,674]	0,758 [0,743; 0,772]
FE-RF	0,713 [0,707; 0,719]	0,721 [0,712; 0,73]	0,649 [0,633; 0,666]	0,771 [0,756; 0,785]
FE-SVM	0,718 [0,712; 0,724]	0,727 [0,718; 0,736]	0,655 [0,639; 0,672]	0,775 [0,76; 0,79]

Die theoretischen Mittelwerte der Klassifikationsansätze von Genauigkeit und Relevanz lagen im Median knapp über 0,7. Insgesamt fiel es allen Ansätzen leichter, Beobachtungen von nicht lahmen Kühen richtig zu klassifizieren, als Beobachtungen von lahmen Kühen als solche zu erkennen. Die mittlere Spezifität war im Median 0,1 höher als die mittlere Sensitivität (Tabelle 3.6).

Die höchsten Genauigkeiten wurden für FE-SVM (Median: 0,718) sowie für E2E-CNN und E2E-GRU (beide mit Median 0,717) geschätzt. Für FE-SVM, E2E-GRU und FE-RF wurden die größten Relevanz-Werte durch das Bayes'sche multivariate lineare Modell geschätzt (Median: 0,727; 0,722; 0,721). Die Schätzungen für die Sensitivität waren am höchsten bei E2E-CNN (Median: 0,676), gefolgt von AE-CNN (Median: 0,669) und E2E-GRU (Median: 0,661). Die Spezifität wurde im Median am höchsten geschätzt für FE-SVM (0,775), FE-RF (0,771) und E2E-

GRU (0,767). Bei allen Vergleichsmetriken wurden für AE-MLP und E2E-MLP die niedrigsten Werte geschätzt (Tabelle 3.7 auf der vorherigen Seite).

Tabelle 3.8 zeigt die vorhergesagten Klassifikationsleistungen für die Testdatensätze unabhängig vom Klassifikationsansatz. Für Teildatensatz null wurden die höchste Genauigkeit, Relevanz und Spezifität und die zweithöchste Sensitivität geschätzt. Die nächsthöheren Genauigkeiten wurden für die Klassifikation der Teildatensätze sieben, vier, eins und zwei geschätzt.

Tabelle 3.8: Erwartete Klassifikationsleistungen pro Testdatensatz unabhängig vom Klassifikationsansatz als Median und 95 %-Intervall der höchsten Dichte der *a-posteriori*-Verteilungen

Testdatensatz	Genauigkeit	Relevanz	Sensitivität	Spezifität
Teil 0	0,729 [0,722; 0,735]	0,747 [0,737; 0,757]	0,676 [0,657; 0,694]	0,78 [0,764; 0,795]
Teil 1	0,706 [0,7; 0,712]	0,72 [0,711; 0,729]	0,664 [0,647; 0,682]	0,747 [0,732; 0,762]
Teil 2	0,706 [0,7; 0,712]	0,672 [0,663; 0,681]	0,638 [0,62; 0,656]	0,757 [0,742; 0,772]
Teil 3	0,689 [0,683; 0,696]	0,669 [0,66; 0,679]	0,622 [0,603; 0,641]	0,745 [0,729; 0,76]
Teil 4	0,713 [0,707; 0,719]	0,701 [0,692; 0,71]	0,653 [0,635; 0,67]	0,764 [0,749; 0,779]
Teil 5	0,691 [0,685; 0,697]	0,707 [0,698; 0,716]	0,653 [0,635; 0,67]	0,73 [0,715; 0,745]
Teil 6	0,705 [0,699; 0,711]	0,73 [0,72; 0,739]	0,68 [0,662; 0,699]	0,732 [0,716; 0,747]
Teil 7	0,729 [0,723; 0,735]	0,703 [0,693; 0,712]	0,666 [0,648; 0,684]	0,778 [0,762; 0,793]
Teil 8	0,683 [0,677; 0,689]	0,708 [0,698; 0,718]	0,644 [0,626; 0,662]	0,723 [0,708; 0,738]
Teil 9	0,7 [0,694; 0,706]	0,704 [0,695; 0,713]	0,64 [0,622; 0,657]	0,755 [0,74; 0,77]

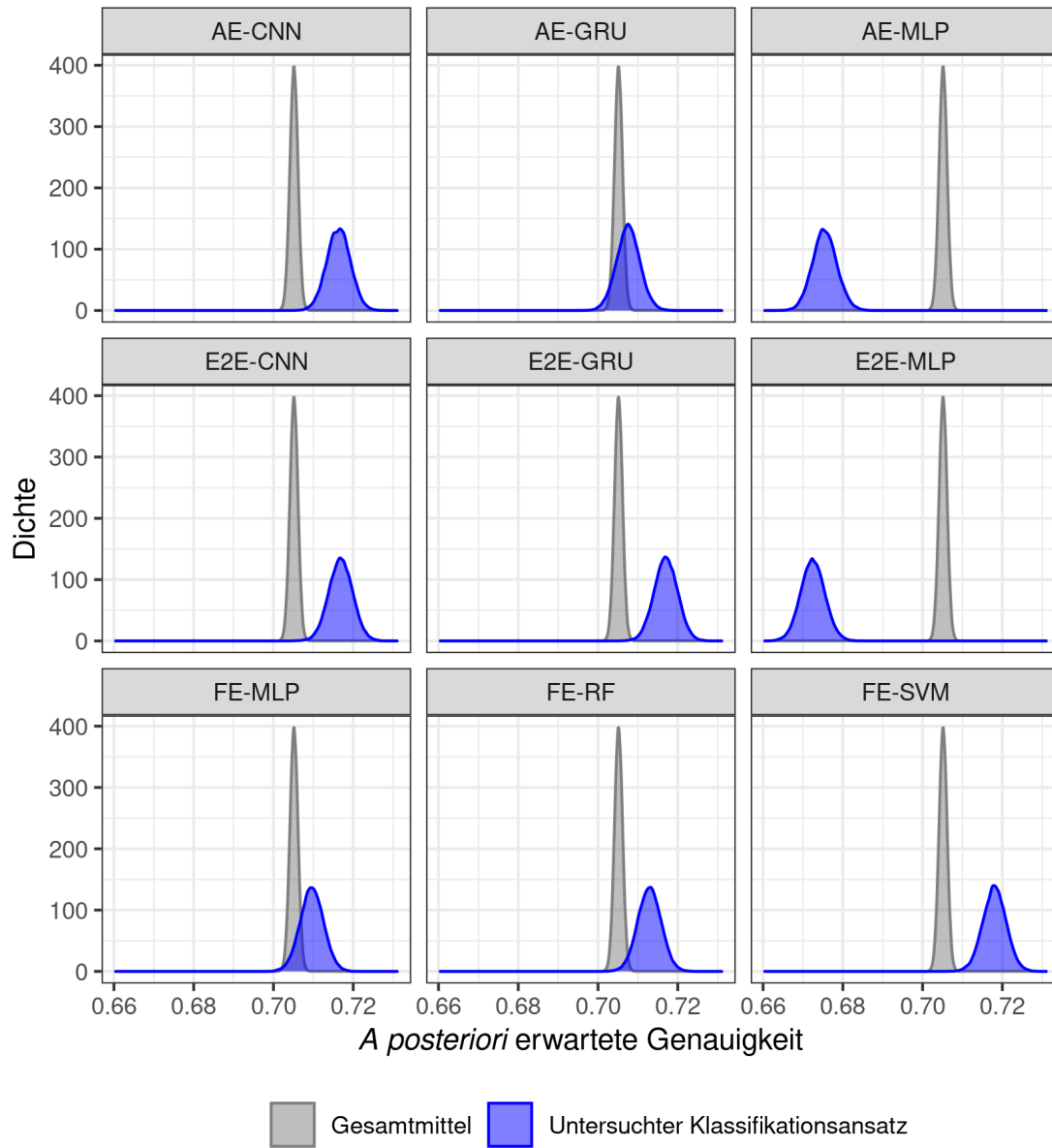


Abbildung 3.6: *A posteriori* erwartete Genauigkeit pro Klassifikationsansatz im Vergleich zum Gesamtmittel



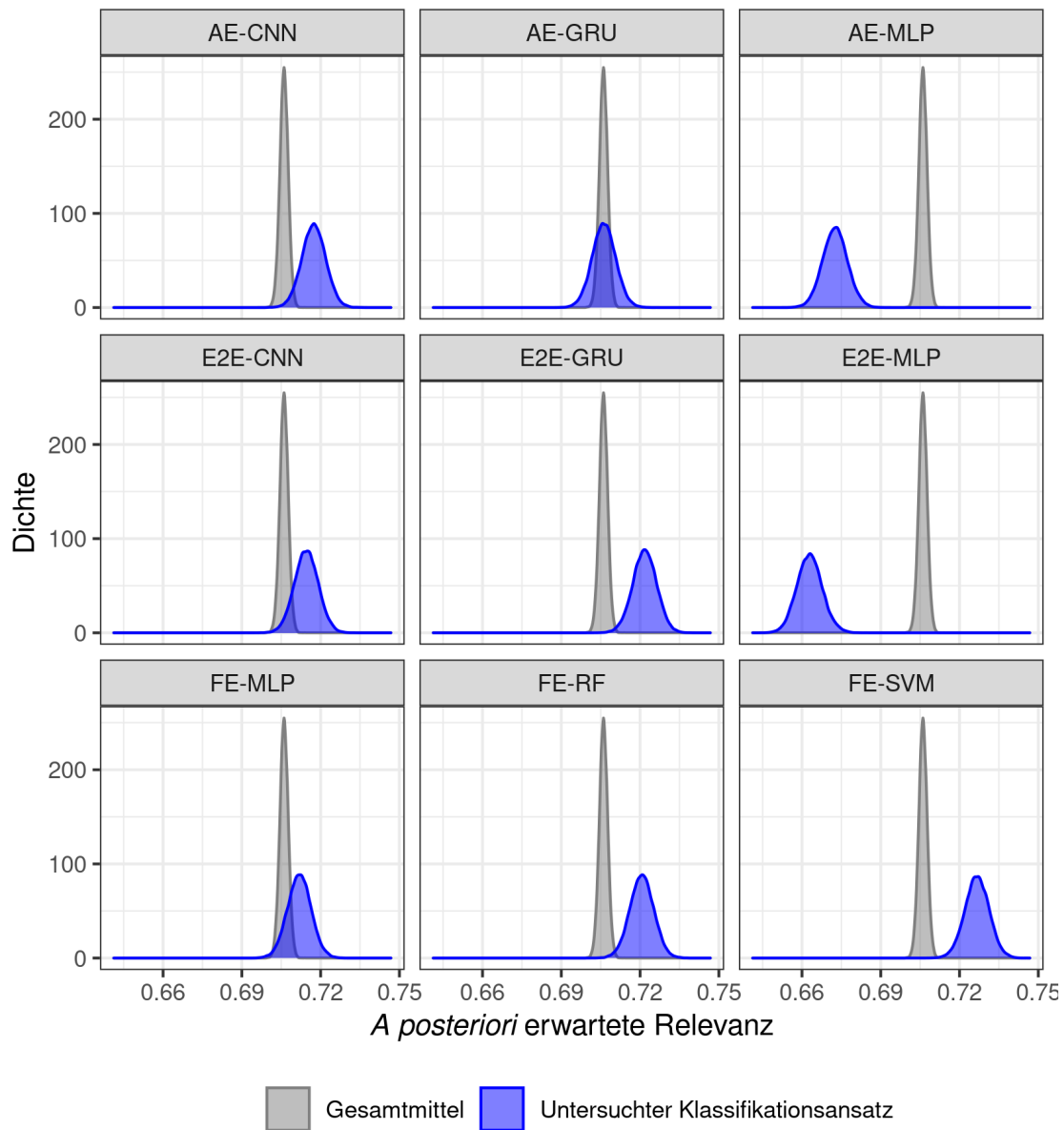


Abbildung 3.7: *A posteriori* erwartete Relevanz pro Klassifikationsansatz im Vergleich zum Gesamtmittel

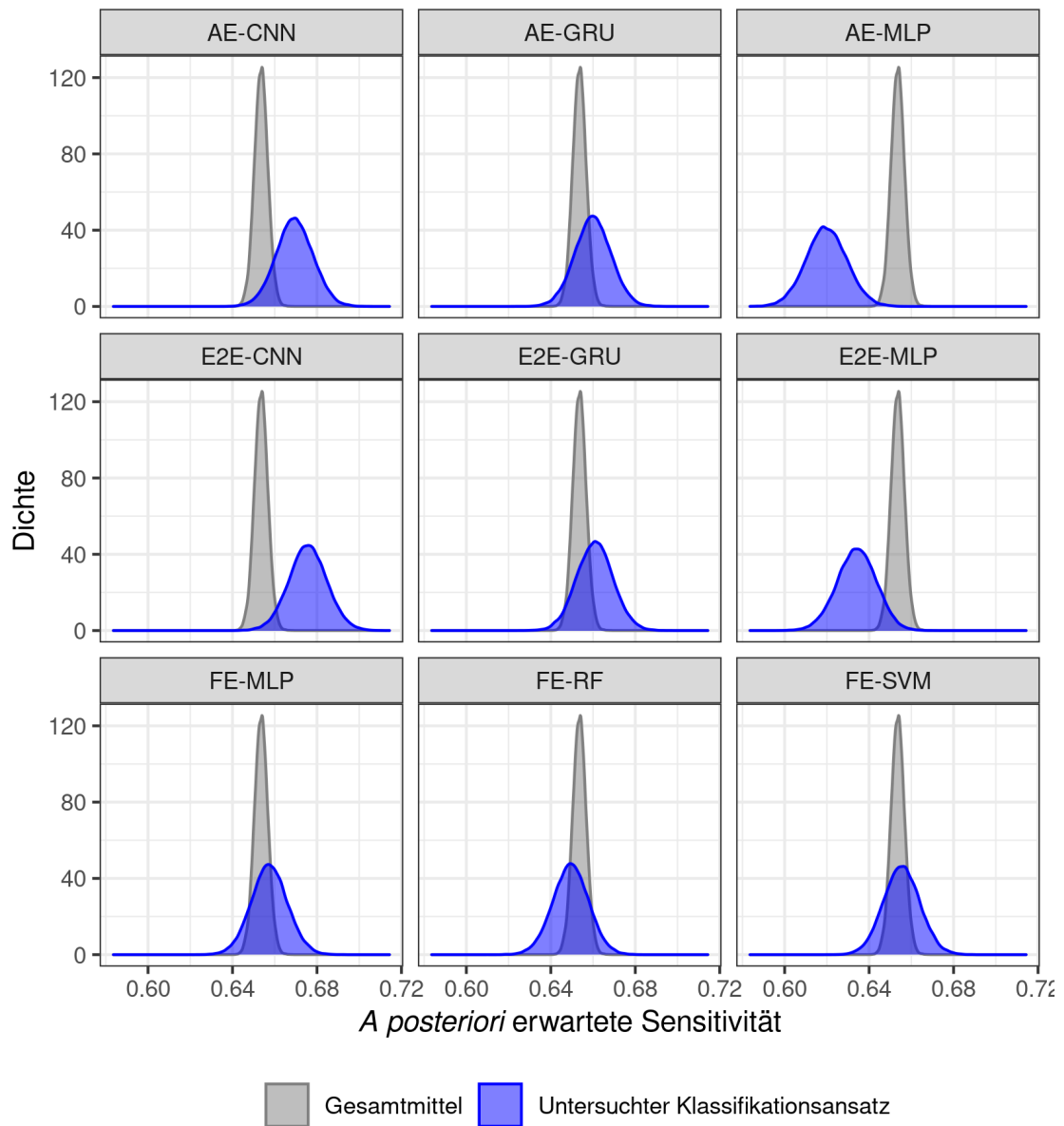


Abbildung 3.8: *A posteriori* erwartete Sensitivität pro Klassifikationsansatz im Vergleich zum Gesamtmittel

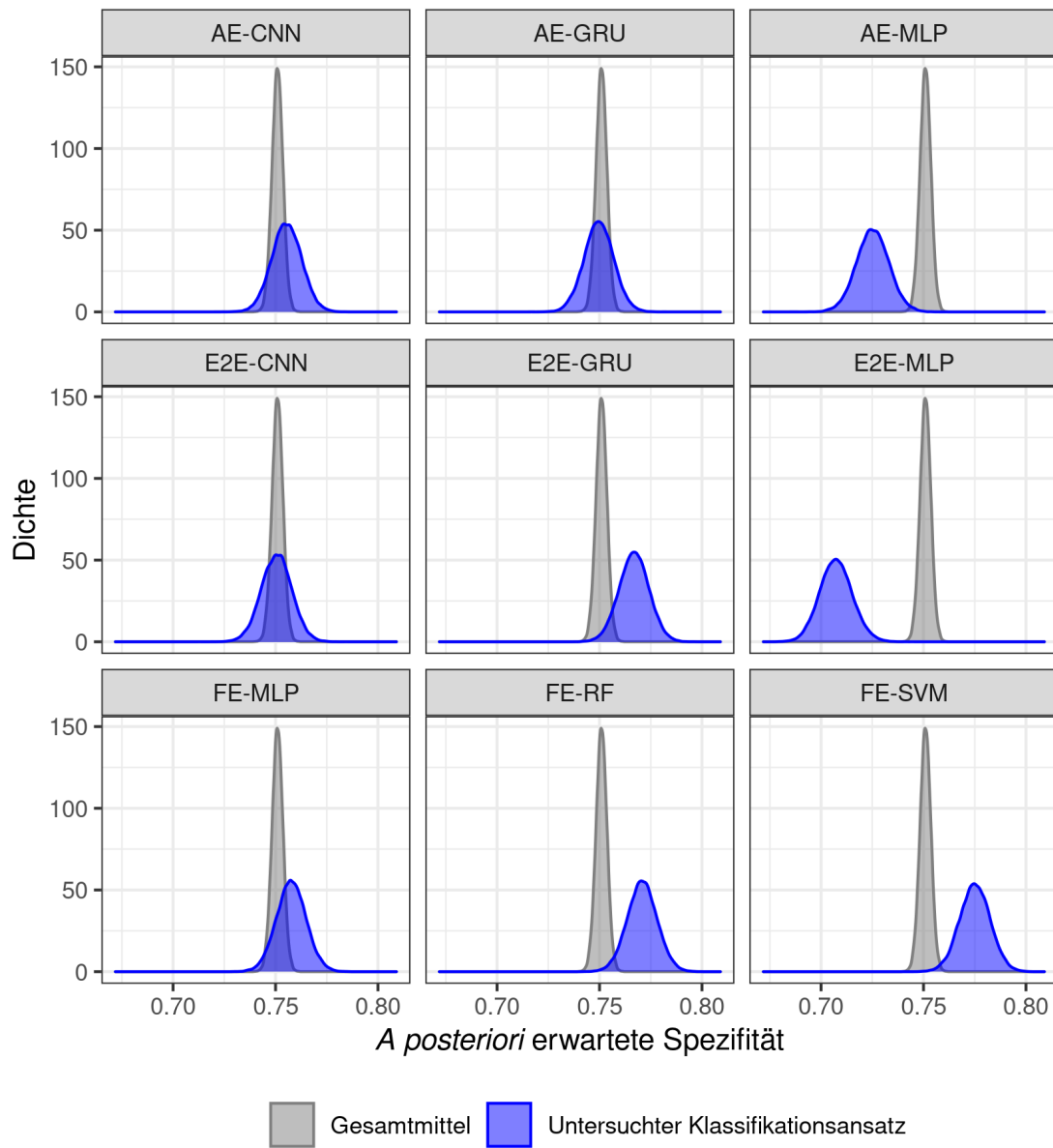


Abbildung 3.9: *A posteriori* erwartete Spezifität pro Klassifikationsansatz im Vergleich zum Gesamtmittel

### 3.4.1 Allgemeiner Vergleich der Klassifikationsansätze

Die *a-posteriori*-Verteilungen der Differenzen zwischen den geschätzten Werten der Vergleichsmetriken der untersuchten Klassifikationsansätze und dem jeweiligen theoretischen Mittelwert sind zusammen mit der ROPE von  $0 \pm 0,01$  in den Abbildungen 3.10 auf der nächsten Seite, 3.11 auf Seite 66, 3.12 auf Seite 67 und 3.13 auf Seite 68 dargestellt. Tabelle 3.9 fasst den Vergleich der Differenzen mit der ROPE zusammen.

Nur die Leistungen von AE-MLP, E2E-MLP und FE-SVM unterschieden sich signifikant von den mittleren Leistungen der untersuchten Ansätze (Tabelle 3.9). AE-MLP schnitt in Bezug auf alle Vergleichsmetriken schlechter ab (Abbildungen 3.10 auf der nächsten Seite, 3.11 auf Seite 66, 3.12 auf Seite 67 und 3.13 auf Seite 68). Die Ergebnisse von E2E-MLP waren ähnlich schlecht. Lediglich die erwartete Sensitivität von E2E-MLP lag näher am theoretischen Mittelwert (Abbildung 3.8 auf Seite 62). Im Gegensatz dazu erwiesen sich die Relevanz und die Spezifität von FE-SVM besser als die theoretischen Mittelwerte (Abbildungen 3.7 auf Seite 61 und 3.11 auf Seite 66 bzw. Abbildungen 3.9 auf der vorherigen Seite und 3.13 auf Seite 68).

Tabelle 3.9: Anteile der Differenzen zwischen den *a-posteriori*-Verteilungen der erwarteten Klassifikationsleistungen der untersuchten Ansätze und der des Gesamtmittels, die innerhalb der Region Of Practical Equivalence (ROPE) von  $0 \pm 0,01$  lagen

Klassifikationsansatz	Differenz in der ROPE			
	Genauigkeit	Relevanz	Sensitivität	Spezifität
AE-CNN	33,4 %	37,8 %	23,6 %	77,3 %
AE-GRU	99,6 %	98,2 %	66 %	85,7 %
AE-MLP	0 % *	0 % *	0,6 % *	1,8 % *
E2E-CNN	26,8 %	64 %	7,4 %	85,1 %
E2E-GRU	24,6 %	9 %	62 %	19,2 %
E2E-MLP	0 % *	0 % *	13,5 %	0 % *
FE-MLP	97,7 %	84,3 %	74,5 %	68,4 %
FE-RF	79,2 %	13,9 %	73,5 %	7,2 %
FE-SVM	14,7 %	0,8 % *	77,8 %	2,2 % *

\* Signifikanter Unterschied

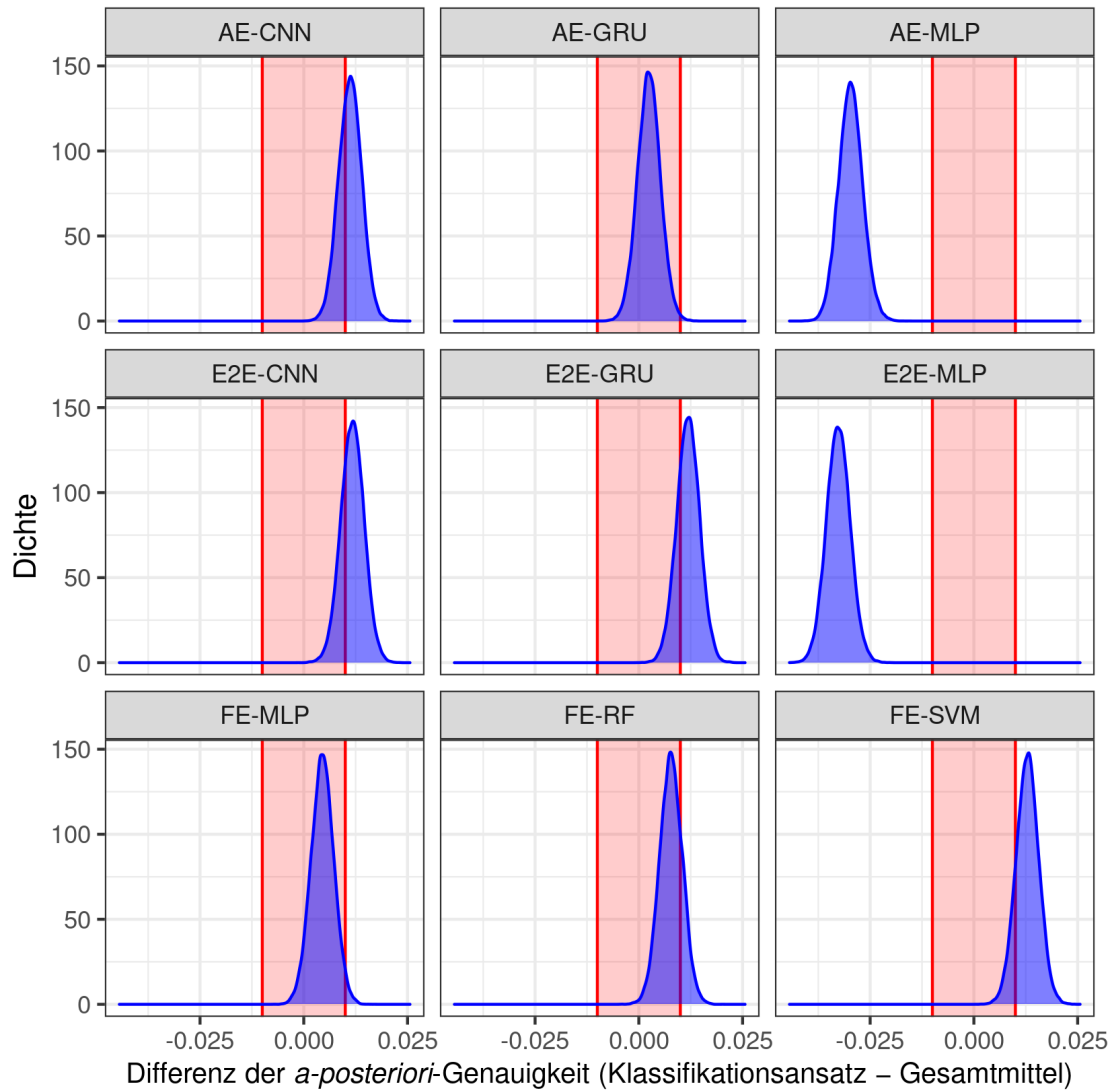


Abbildung 3.10: Differenz der *a posteriori* erwarteten Genauigkeit pro Klassifikationsansatz zum Gesamtmitel (Region Of Practical Equivalence (ROPE) in rot)

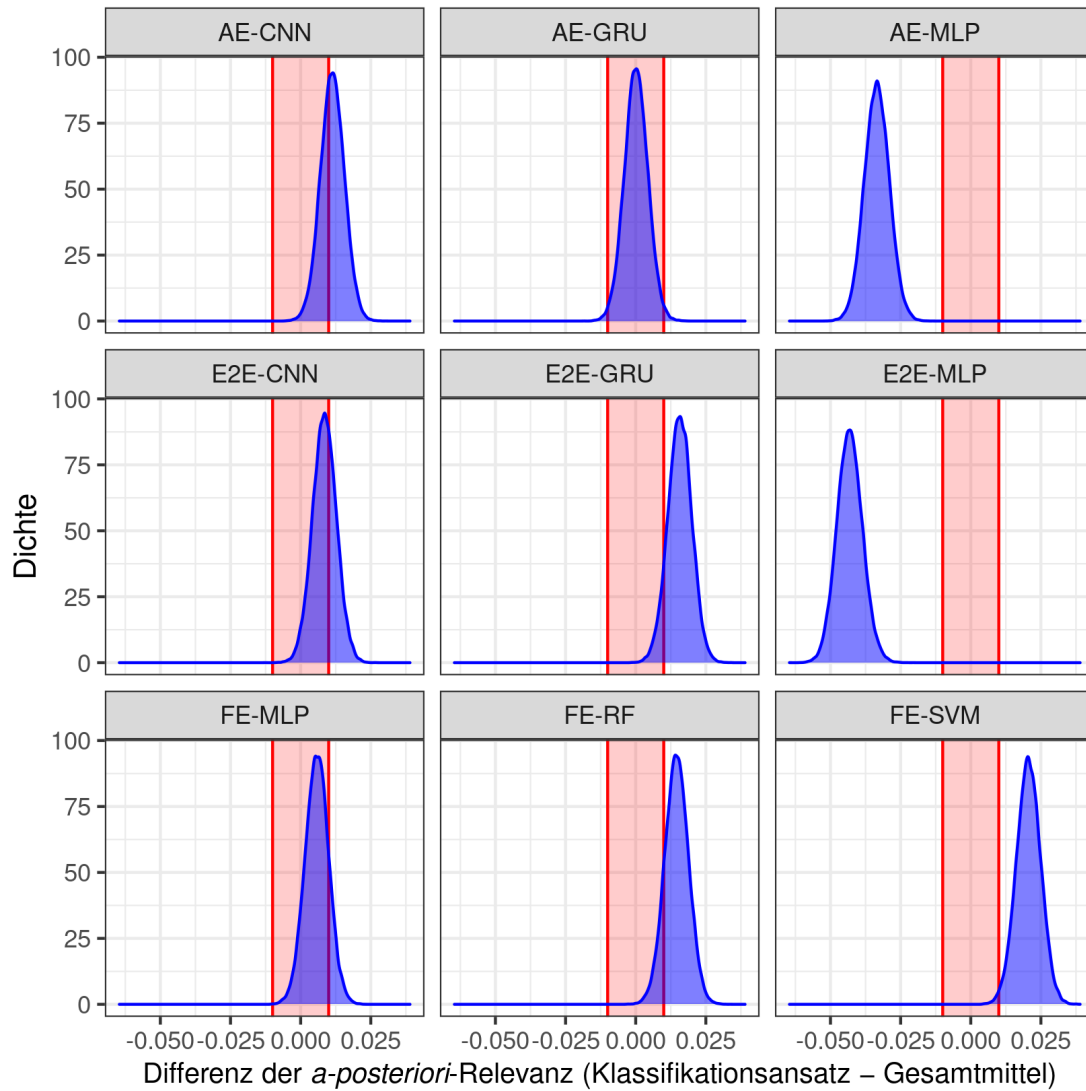


Abbildung 3.11: Differenz der *a posteriori* erwarteten Relevanz pro Klassifikationsansatz zum Gesamtmittel (Region Of Practical Equivalence (ROPE) in rot)

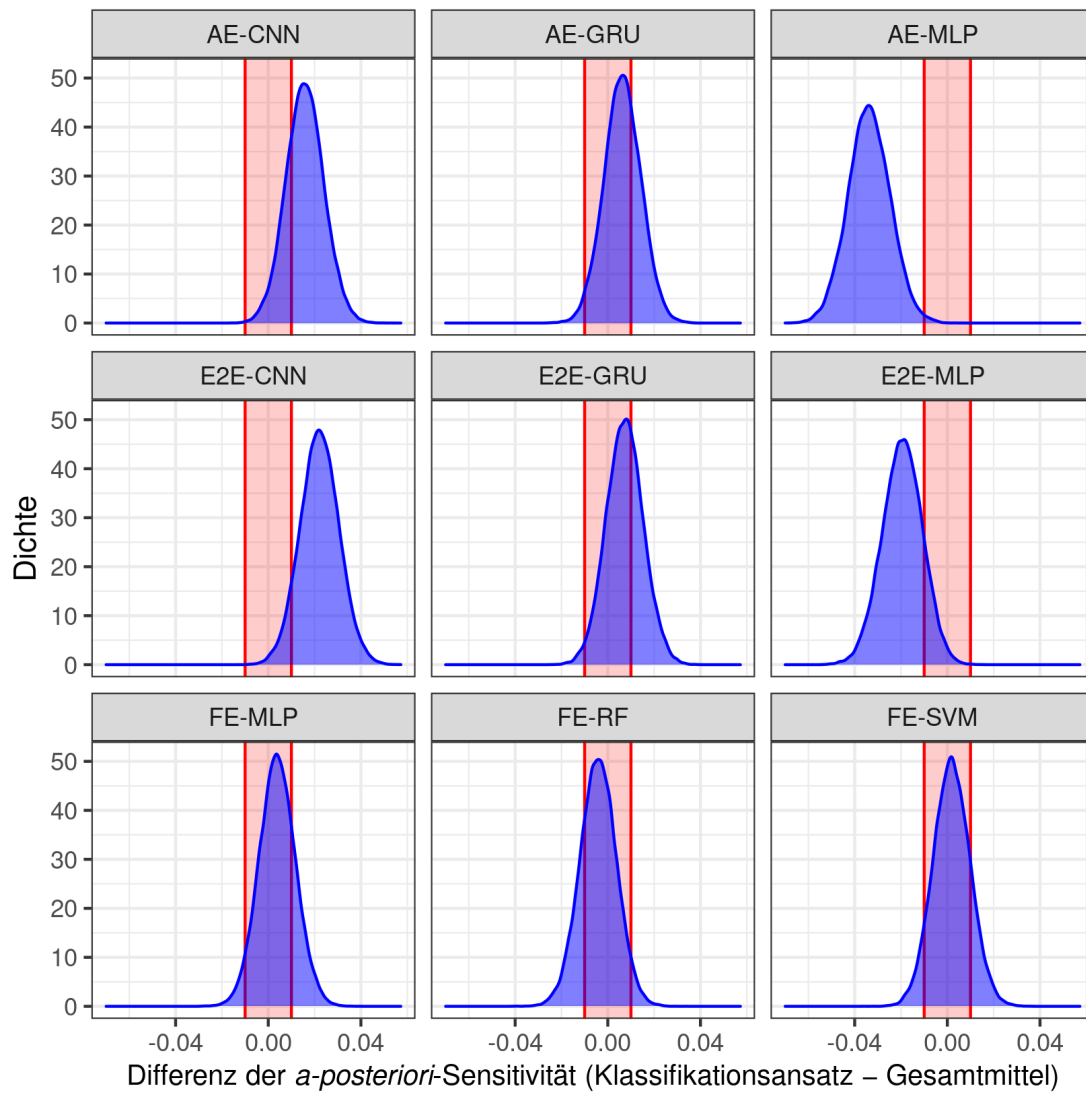


Abbildung 3.12: Differenz der *a posteriori* erwarteten Sensitivität pro Klassifikationsansatz zum Gesamtmitel (Region Of Practical Equivalence (ROPE) in rot)

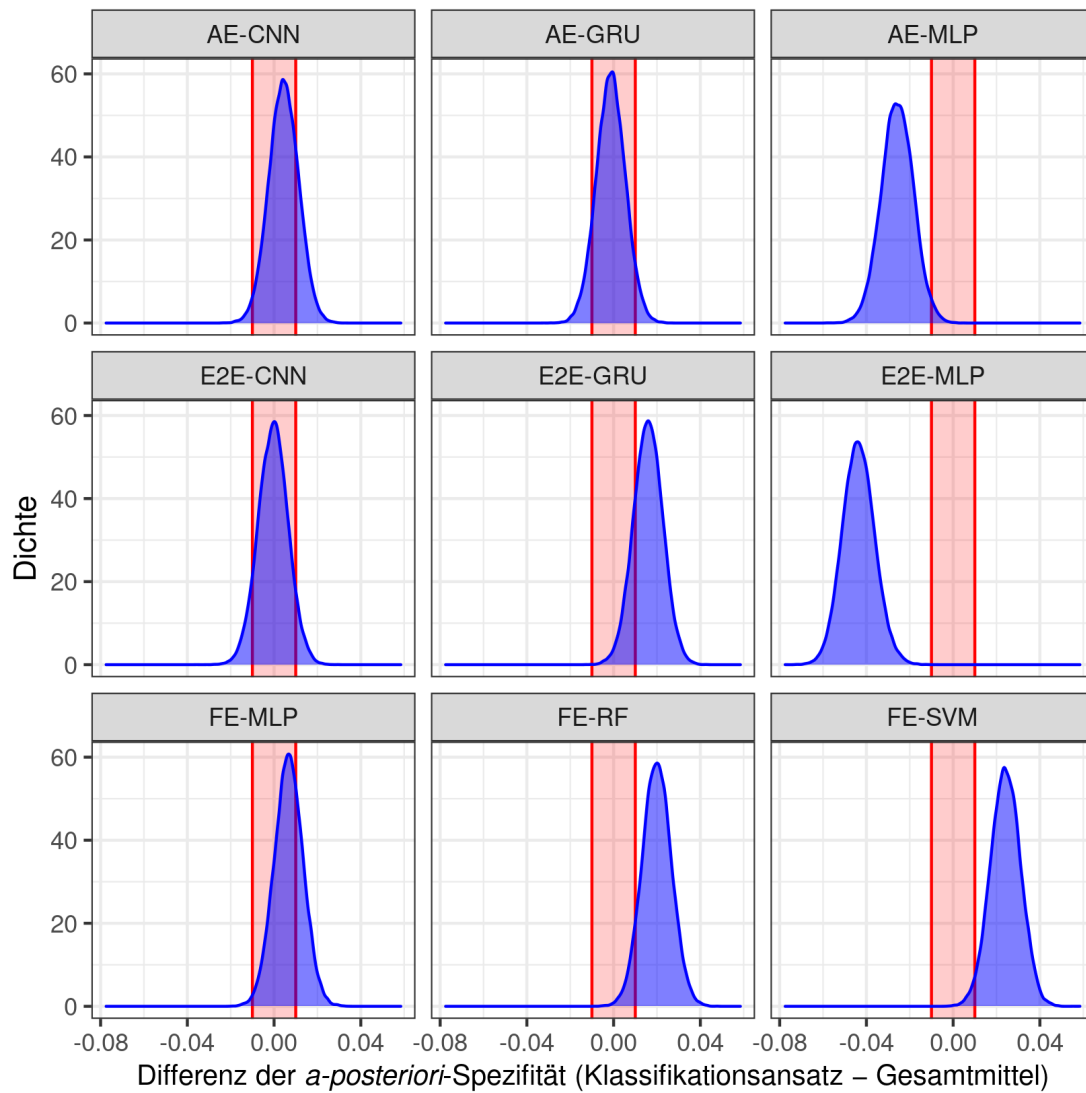


Abbildung 3.13: Differenz der *a posteriori* erwarteten Spezifität pro Klassifikationsansatz zum Gesamtmittel (Region Of Practical Equivalence (ROPE) in rot)



### 3.4.2 Paarweiser Vergleich der Klassifikationsansätze

Die Ergebnisse der paarweisen Vergleiche der vorhergesagten Klassifikationsleistungen aller Ansätze sind in Tabelle 3.10 auf der nächsten Seite zu finden als Anteile der Differenzverteilungen, die innerhalb der ROPE von  $-0,01$  bis  $+0,01$  lagen. Die paarweisen Differenzen der *a-posteriori*-Verteilungen der Genauigkeit von AE-CNN, E2E-CNN, E2E-GRU und FE-SVM lagen zu mehr als 97,5 % innerhalb der ROPE. Durch die gerundete Darstellung in Tabelle 3.10 auf der nächsten Seite ist der Anteil der Differenz der Genauigkeiten von AE-CNN und FE-SVM, der innerhalb der ROPE lag, nur mit 97,5 % angegeben. Die Genauigkeit dieser vier Ansätze wurde daher als gleich angesehen.

Die Klassifikationsleistungen von AE-MLP unterschieden sich von denen aller anderer Verfahren außer von E2E-MLP mindestens in Bezug auf drei der vier Vergleichsmetriken. Dasselbe galt für die Leistungen von E2E-MLP. Allerdings konnte entsprechend der verwendeten Regeln keine Entscheidung darüber getroffen werden, ob die Leistungen der beiden Ansätze (AE-MLP und E2E-MLP) gleich waren oder nicht (siehe Seite 46 in Abschnitt 2.3.4).

Tabelle 3.10: Anteile der paarweisen Differenzen zwischen den *a-posteriori*-Verteilungen der erwarteten Klassifikationsleistungen der untersuchten Ansätze, die innerhalb der Region Of Practical Equivalence (ROPE) von  $0 \pm 0,01$  lagen

Klassifikationsansätze	Differenz in der ROPE			
	Genauigkeit	Relevanz	Sensitivität	Spezifität
AE-CNN - FE-SVM	97,5 % o	54,4 %	34,4 %	16,8 %
AE-CNN - FE-RF	94,5 %	84 %	19,7 %	29,1 %
AE-CNN - FE-MLP	78,9 %	75,5 %	40,4 %	66,8 %
AE-CNN - E2E-MLP	0 % *	0 % *	2,4 % *	0 % *
AE-CNN - E2E-GRU	98,3 % o	80,2 %	49,7 %	42,7 %
AE-CNN - E2E-CNN	98,5 % o	85 %	53,9 %	62,6 %
AE-CNN - AE-MLP	0 % *	0 % *	0,2 % *	3,2 %
AE-CNN - AE-GRU	62 %	42,5 %	46,7 %	60,4 %
AE-GRU - FE-SVM	45,4 %	5,2 %	56,6 %	6,4 %
AE-GRU - FE-RF	87,4 %	24 %	44,2 %	13,3 %
AE-GRU - FE-MLP	96,9 %	75,3 %	59,5 %	54,5 %
AE-GRU - E2E-MLP	0 % *	0 % *	10,2 %	0,1 % *
AE-GRU - E2E-GRU	55,5 %	19 %	60,4 %	23,2 %
AE-GRU - E2E-CNN	57 %	60,4 %	30 %	67,9 %
AE-GRU - AE-MLP	0 % *	0 % *	1,1 % *	8,6 %
AE-MLP - FE-SVM	0 % *	0 % *	2,3 % *	0 % *
AE-MLP - FE-RF	0 % *	0 % *	6 %	0,1 % *
AE-MLP - FE-MLP	0 % *	0 % *	1,6 % *	1,7 % *
AE-MLP - E2E-MLP	95,3 %	51,8 %	34,1 %	21,5 %
AE-MLP - E2E-GRU	0 % *	0 % *	0,8 % *	0,2 % *
AE-MLP - E2E-CNN	0 % *	0 % *	0,1 % *	8,2 %
E2E-CNN - FE-SVM	97,8 % o	37,1 %	19,2 %	7,8 %
E2E-CNN - FE-RF	92,7 %	72,5 %	8,9 %	15,5 %
E2E-CNN - FE-MLP	75,1 %	85,4 %	23,7 %	56,5 %
E2E-CNN - E2E-MLP	0 % *	0 % *	0,9 % *	0,2 % *
E2E-CNN - E2E-GRU	98,3 % o	66,7 %	32,3 %	26,1 %
E2E-GRU - FE-SVM	98,1 % o	78,2 %	55,8 %	53,2 %
E2E-GRU - FE-RF	92,5 %	88,2 %	41,7 %	64,5 %
E2E-GRU - FE-MLP	73,7 %	50,5 %	58,1 %	50,5 %
E2E-GRU - E2E-MLP	0 % *	0 % *	8,9 %	0 % *
E2E-MLP - FE-SVM	0 % *	0 % *	18,3 %	0 % *
E2E-MLP - FE-RF	0 % *	0 % *	31,9 %	0 % *
E2E-MLP - FE-MLP	0 % *	0 % *	13,9 %	0 % *
FE-MLP - FE-SVM	65,2 %	22,4 %	59,9 %	22,8 %
FE-MLP - FE-RF	94,7 %	57,5 %	50,9 %	36,4 %
FE-RF - FE-SVM	88,3 %	73 %	55,2 %	64 %

\* Signifikanter Unterschied

o Kein Unterschied

## Diskussion

Lahmheit ist eine der bedeutendsten Gesundheitsbeeinträchtigungen bei Milchkühen. Da ihre Erkennung sehr zeitaufwändig ist, werden Systeme zur automatischen Lahmheitserkennung erforscht. Der Algorithmus, mit dem die gemessenen Daten klassifiziert und so letztendlich lahme Kühe erkannt werden, ist ein essentieller Bestandteil dieser Systeme. In der vorliegenden Arbeit habe ich verschiedene Klassifikationsansätze zur Erkennung von Lahmheit an Hand von indirekten Variablen zur Aktivität, zur Leistung und zu Eigenschaften der Kühe verglichen. Die Leistungsfähigkeit der Ansätze bewertete ich mit den grenzwertabhängigen Metriken Genauigkeit, Relevanz, Sensitivität und Spezifität. Zusätzlich erfasste ich die für Training und Vorhersage benötigten Zeiten und den benötigten Arbeitsspeicher.

Neun Ansätze hatte ich in den Vergleich aufgenommen: drei Ansätze mit Feature Engineering (FE-SVM, FE-RF, FE-MLP), drei Ende-zu-Ende-Ansätze (E2E-MLP, E2E-CNN und E2E-GRU) sowie drei generative Ansätze mit unüberwachtem Vortraining (AE-MLP, AE-CNN, AE-GRU). Die neun Ansätze wurden in zehnfacher Kreuzvalidierung mit jeweils denselben Teildatensätzen getestet. Nach meinem Kenntnisstand wurde bisher keine Studie publiziert, in der die Klassifikationsleistungen von tiefen neuronalen Netzen wie CNNs und RNNs zur Erkennung von Lahmheit bei Milchkühen aus Aktivitätsdaten untersucht worden war. Gleiches gilt für generative Klassifikationsansätze. Damit ist meine Arbeit die erste Studie, die die Leistungsfähigkeit dieser Ansätze und Modelltypen, Lahmheiten von Milchkühen auf der Grundlage von Aktivitätsdaten zu erkennen, systematisch untersucht. Allerdings wurden in der vorliegenden Arbeit nur allgemeine Modelltypen des maschinellen Lernens untersucht, wenn auch mit leichten Anpassungen für multivariate Zeitreihen und andere Besonderheiten der verwendeten Daten. Spezifische Modelle für die Klassifizierung (multivariater) Zeitreihen habe ich ausgelassen, weil selbst die allgemeinen Modelltypen bisher nur selten bzw. noch nie mit vergleichbaren Daten zur Erkennung von Lahmheiten bei Milchkühen eingesetzt wurden. Einen Überblick und eine Einordnung der Leistungsfähigkeit spezifischer Ansätze wie z. B. Dynamic Time Warping, Hierarchical Vote Collective of Transformation-based Ensembles und Random Convolutional Kernel Transform wurde in der Vergleichsstudie von Ruiz u. a. [Rui+21] gegeben. Im Bereich der tiefen neuronalen Netze gibt es ebenfalls spezielle Architekturen zur Zeitreihenklassifikation. Zu diesen Architekturen gehören ResNet [WYO17] und InceptionTime

[Faw+20] sowie hybride Modelle aus CNN und RNN. In den hybriden Modellen werden mittels CNN Muster in der Zeitreihen erkannt und anschließend in darauf folgenden rekurrenten Schichten in den zeitlichen Kontext eingeordnet [Hir21, S. 208] oder die Daten werden CNN und RNN parallel übergeben und die jeweiligen Ergebnisse werden für die Klassifikation konkateniert [vgl. Kha+20]. Stark erweiterte hybride Ansätze wie beispielsweise TapNet enthalten nicht nur verschiedene Typen neuronaler Netze, sondern auch Modelle des klassischen maschinellen Lernens [Rui+21]. Eine Bewertung der Eignung all dieser speziellen Ansätze für die automatische Lahmheitserkennung bei Milchkühen aus Aktivitätsdaten hätte den Rahmen meiner Arbeit gesprengt. Die dafür notwendigen Untersuchungen bleiben damit weiteren Studien überlassen.

Für diese Arbeit standen mir bereits erhobene Daten aus dem Projekt *Klau-  
enfitnet*<sup>1</sup> zur Verfügung mit den indirekten Variablen *Laktationsnummer*, *Laktationstag*, *Tagesgemelk*, *durchschnittliche Schrittfrequenz* und *durchschnittliche Liegedauer pro Liegevorgang* sowie den Labels „lahm“ oder „nicht lahm“ aus der Gangbeurteilung der Kühe. Die Werte der Variablen waren im Beobachtungszeitraum täglich erhoben worden. Der Gang der Kühe war ungefähr alle 14 Tage beurteilt worden. Eine Einschränkung haben alle Klassifikationsmodelle zur automatischen Lahmheitserkennung, die mit Labels trainiert werden, die nicht wenigstens täglich erhoben wurden: Wenn die Labels nicht täglich erhoben wurden, d. h. der Gang der Kühe seltener als täglich beurteilt wurde, dann kann der Zeitpunkt, an dem eine Kuh lahm wurde, nur ungenau bestimmt werden. In den meisten Fällen dürfte er zwischen zwei Gangbeurteilungen liegen. Da in diesem Fall unbekannt ist, wie lange eine Kuh schon lahm ist, die als lahm erkannt wird, fehlen diese Informationen in den Daten und können nicht bei der Klassifizierung berücksichtigt werden. Die Modelle können nicht lernen, speziell frisch lahme (bzw. lahm werdende) Kühe zu erkennen, sie können lediglich lernen, Kühe zu erkennen, die bereits lahm sind. Diese Einschränkung könnte die Sensitivität der Klassifikationsansätze einschränken, weil möglicherweise die Muster in den Zeitfenstern der Merkmale von bereits länger lahmen Kühen, die sich an diese Beeinträchtigung gewöhnt haben, eher denen von nicht-lahmen Kühen ähneln als jenen von frisch lahmen Kühen. In den Studien, die mit vergleichbaren Daten arbeiteten, wie sie in der vorliegenden Arbeit verwendet wurden (Tabelle 1.1 auf Seite 8), erfolgte die Gangbeurteilung ebenfalls seltener als täglich. Lediglich für die beiden Studien von van Hertem u. a. [vHer+13] und Kamphuis u. a. [Kam+13] wurde täglich nach lahmen Kühen gesucht. Es wurde in diesen Fällen aber nicht das Gangbild von allen Kühen täglich beurteilt, sondern die Kühe wurden als „nicht-lahm“ betrachtet, solange sie nicht als „lahm“ auffielen. Auf diese Weise wurden aber leicht Kühe übersehen, die nur gering- oder mittelgradig lahm waren, was wiederum die Klassifikation durch die trainierten Modelle beeinflusst haben könnte [vHer+13].

In der Literatur zu den Themenbereichen dieser Arbeit (automatische Lahmheitserkennung und Zeitreihenklassifikation) konnte ich keine vergleichbaren Studien finden, die der Empfehlung von Benavoli u. a. [Ben+17] folgten und die Leistun-

<sup>1</sup> <https://www.klauenfitnet.de/>, besucht am 24. Mai 2022

gen der untersuchten Ansätze mit einem Bayes'schen Modell untersuchten. Obwohl in einigen Studien wie in meiner Arbeit der Vergleich der Klassifikationsansätze über mehrere Metriken erfolgte [Las+21; Rui+21; Sha+21], wurde in keiner dieser Arbeiten ein multivariates Modell zu statistischen Analyse verwendet. Damit ist die vorliegende Arbeit meines Wissens die erste Vergleichsstudie, bei der mit einem Bayes'schen multivariaten linearen Modell die Klassifikationsleistungen der untersuchten Ansätze ausgewertet wurden.

## 4.1 Klassifikationsleistung

Die Leistungen aller neun Klassifikationsansätze waren sehr ähnlich, lediglich die Ansätze mit MLP ohne Feature Engineering (E2E-MLP und AE-MLP) hatten deutlich schlechtere Klassifikationsergebnisse. Am besten klassifizierten FE-SVM, E2E-GRU, E2E-CNN und AE-CNN (Tabelle 3.7 auf Seite 58). Die Ansätze mit CNN (E2E-CNN und AE-CNN) hatten die höchste Sensitivität, erkannten also am besten lahme Kühe als lahm (Abbildung 3.8 auf Seite 62). FE-SVM und E2E-GRU klassifizierten hingegen nicht lahme Kühe häufiger richtigerweise als nicht lahm, ihre Spezifität war höher (Abbildung 3.9 auf Seite 63).

Die beiden Ansätze mit MLP ohne Feature Engineering (E2E-MLP und AE-MLP) klassifizierten deutlich schlechter als die anderen Ansätze (Tabelle 3.7 auf Seite 58). Da die erwartete Klassifikationsleistung von FE-MLP allerdings nicht schlechter war als das Mittel aller Ansätze, liegt die Vermutung nahe, dass die Features, die bei E2E-MLP und AE-MLP für die Klassifikation erlernt wurden, nicht so aussagekräftig waren wie die zusätzlich manuell bereitgestellten bei FE-MLP. Abgesehen von AE-MLP und E2E-MLP, gab es keine merklichen Unterschiede zwischen den Ansätzen mit Feature Engineering und den Ende-zu-Ende-Ansätzen sowie den generativen Ansätzen. Insgesamt schienen die „handgemachten“ Features ähnlich aussagekräftig zu sein wie die erlernten, allerdings erreichten die Ansätze mit erlernten Features eine etwas höhere Sensitivität (Abbildung 3.8 auf Seite 62). Eine mögliche Begründung für das relativ schlechte Abschneiden von E2E-MLP und AE-MLP ist daher, dass es sich in beiden Fällen nur um kleine neuronale Netze handelte (E2E-MLP mit 14, AE-MLP mit 111 Neuronen in allen verborgenen Schichten zusammen), die möglicherweise nicht ausreichend differenzierende Merkmale zur Klassifikation erlernen konnten. Zum Vergleich: Das MLP, welches von Wang, Yan und Oates [WYO17] zur Klassifikation von Zeitreihen verwendet wurde, hatte insgesamt 1500 Neuronen in drei verborgenen Schichten. Gegen diese Erklärung sprechen allerdings die geringen Unterschiede zwischen den Klassifikationsleistungen von E2E-MLP und denen von AE-MLP trotz des deutlich größeren neuronalen Netzes in AE-MLP (Tabelle 3.10 auf Seite 70). Darüber hinaus konnten E2E-MLP und AE-MLP die zeitliche Information aus den Zeitreihen nicht verwenden im Gegensatz zu den entsprechenden Ansätzen mit CNN und GRU, weil für die vollständig verbundenen Schichten pro Beobachtung ein Vektor aller Features übergeben werden musste. Die zeitliche Information, welche in den als Matrizen übergebenen Beobachtungen in der Reihenfolge der Werte lag, ging durch die Um-

wandlung in Vektoren verloren. Aus diesem Grund bieten sich CNN und RNN für die Klassifikation von Zeitreihen besonders an [Faw+19].

Die Länge der Zeitfenster von 27 Zeitschritten (Tagen), die in der vorliegenden Arbeit verwendet wurde, war eher kurz. Das könnte ein Grund dafür sein, dass sich bei der Klassifizierung der Zeitreihen kaum Leistungsunterschiede zeigten zwischen den Ansätzen mit CNN und denjenigen mit GRU. Recurrent Neural Network, zu denen GRU gehören, wurden speziell für die Analyse von Zeitreihendaten entwickelt. Sie können sehr gut den Gesamtverlauf der Werte eines Merkmals im Zeitfenster bzw. den zeitlichen Kontext eines Merkmalswerts berücksichtigen [Hir21, S. 208]. Im Gegensatz dazu lernen CNN, das Vorkommen von Mustern in sehr kurzen Zeitabschnitten zu erkennen. Dabei berücksichtigen sie den zeitlichen Kontext bzw. die zeitliche Lage des Musters innerhalb des Zeitfensters nicht. Die vorherige Entwicklung des Merkmalswerts und dessen Verlauf über das gesamte Zeitfenster werden von CNN ignoriert [Hir21, S. 208]. Bei der Kürze der Zeitfenster, die in der vorliegenden Arbeit verwendet wurden, scheinen diese Unterschiede kaum ins Gewicht gefallen zu sein.

Bei allen untersuchten Ansätzen war die Sensitivität 0,07 bis 0,12 geringer als die Spezifität (Tabelle 3.7 auf Seite 58). Da die Hyperparameteroptimierung an Hand der Genauigkeit erfolgte, ist nicht auszuschließen, dass die leichte Imbalance der Daten in bezug auf die Labelklassen eine Optimierung zu Gunsten der Spezifität verursacht hat. Falls in einem Datensatz eine Klasse deutlich überwiegt, führt die bevorzugte Zuordnung der Beobachtungen zu dieser Klasse durch ein Klassifikationsmodell zu einer höheren Genauigkeit. Betrachtet man die Ergebnisse bezogen auf die Testdatensätze in den Kreuzvalidierungsdurchgängen, kann man Hinweise darauf finden, dass in der vorliegenden Studie die Verteilung der Labelklassen in den Teildatensätzen möglicherweise geringen Einfluss auf die Klassifikationsleistungen gehabt haben könnte. Wurde ein Teildatensatz mit etwas weniger Beobachtungen von Lahmheit (Teildatensätze zwei, drei, vier und sieben in Tabelle 3.2 auf Seite 50) nicht zum Training verwendet, führte das nicht zu auffälliger Genauigkeit, Sensitivität oder Spezifität, lediglich die Relevanz war niedriger als beim Auslassen eines anderen Teildatensatzes (Tabelle 3.8 auf Seite 59). In den Kreuzvalidierungsdurchgängen, in denen Teildatensätze mit häufigeren Beobachtungen von Lahmheit (Teildatensätze fünf, sechs und acht in Tabelle 3.2 auf Seite 50) als Testdaten verwendet wurden, wurden die geringsten Spezifitäten erzielt (Tabelle 3.8 auf Seite 59). Die Unterschiede zu den Klassifikationsleistungen in den übrigen Kreuzvalidierungsdurchgängen waren aber nur gering. Insgesamt waren die in der vorliegenden Studie verwendeten Daten nahezu balanciert (48 % der gelabelten Beobachtungen hatten das Label „lahm“), sodass ich davon ausgehe, dass dieser Effekt bei meiner Studie nur einen untergeordneten Einfluss auf die Gesamtergebnisse hatte. Das Verhältnis von Sensitivität zu Spezifität lässt sich einfach nachträglich an die Erfordernisse anpassen, indem die Schwelle für die Entscheidung zwischen den Klassen angepasst wird. Tatsächlich empfehlen O’Leary u. a. [OLe+20] für Systeme zur automatischen Lahmheitserkennung bei Milchkühen eine höhere Spezifität als Sensitivität, weil sie einen geringen Anteil fälschlicherweise als lahm klassifizierter Kühe für wichtiger halten als einen sehr hohen Anteil lah-

mer Kühe, die als solche erkannt werden. Sie argumentieren, dass eine geringe Spezifität durch viele falsche Benachrichtigungen schnell zur Frustration bei den Anwenderinnen und Anwendern führen würde.

Die Visualisierung der Daten nach Dimensionsreduktion mit t-distributed Stochastic Neighbor Embedding ließ keine gute Separierbarkeit der Labelklassen vermuten (Abbildung 3.1 auf Seite 49). Insgesamt waren die Klassifikationsleistungen in der vorliegenden Arbeit daher erwartungsgemäß nur mäßig gut mit Genauigkeiten und Relevanzen um 0,71 sowie Sensitivität und Spezifität von etwa 0,65 bzw. 0,75 (Tabellen 3.6 auf Seite 58 und 3.7 auf Seite 58). Damit erwiesen sich die Ergebnisse der untersuchten Klassifikationsansätze bei den vorliegenden Daten als deutlich schlechter als die von O’Leary u. a. [OLe+20] für praxistaugliche Systeme empfohlenen Untergrenzen bei einer Sensitivität von 0,90 und einer Spezifität von 0,99. Die erzielten Klassifikationsleistungen waren in vorliegender Studie schlechter als in den meisten Studien in Tabelle 1.1 auf Seite 8, die auch indirekte Variablen aus Aktivitätsdaten verwendeten. Nur zwei Publikationen konnte ich finden, in denen vergleichbare Merkmale (indirekte Variablen aus Aktivitätsdaten) zur automatischen Lahmheitserkennung verwendet wurden, und die mit ähnlichen Klassifikationsmodellen arbeiteten wie in meiner Arbeit. Es handelte sich um die Artikel von Alsaod u. a. [Als+12] und Borghart, O’Grady und Somers [BOS21] (Tabelle 1.1 auf Seite 8). Im ersten Artikel wurde eine Studie beschrieben, in der ausschließlich Aktivitätsdaten von jeweils einem Tag zur Klassifikation herangezogen wurden. Jedoch wurden mittels Feature Engineering Merkmale erzeugt, welche die kuhindividuelle Abweichung der aktuellen Merkmalswerte vom jeweiligen Referenzwert ohne Lahmheit beschrieben. Zur Klassifikation wurde eine SVM mit Kernel mit gaußscher radialer Basisfunktion verwendet wie in meiner Studie. Diese erreichte in zehnfacher Kreuzvalidierung eine Genauigkeit von 0,76 und eine Relevanz von 0,77 [Als+12]. In der vorliegenden Arbeit erreichte FE-SVM eine Genauigkeit von 0,72 und eine Relevanz von 0,73 (Tabelle 3.7 auf Seite 58). Die zweite vergleichbare Untersuchung wurde im Artikel von Borghart, O’Grady und Somers [BOS21] beschrieben. Darin wurden ebenfalls keine Zeitreihen analysiert sondern nur Daten einzelner Tage. Neben Variablen, welche das Liegen und Gehen beschreiben, wurden auch solche einbezogen, die sich auf das Fressen und Wiederkauen bezogen. Die Klassifikation erfolgte in der Studie mittels Gradient Boosted Decision Trees. Gradient Boosted Decision Trees sind wie Random Forests ebenfalls Ensembles aus Entscheidungsbäumen. Allerdings werden bei Gradient Boosted Decision Trees die einzelnen Bäume nacheinander (additiv) mit dem Restfehler des vorangegangenen Baums trainiert [Fri01], während bei Random Forests die Bäume unabhängig voneinander trainiert werden [Bre01]. Das Modell von Borghart, O’Grady und Somers [BOS21] erreichte bei der einfachen Klassifikation unbekannter Testdaten eine Genauigkeit, Sensitivität und Spezifität von 0,78. Der vergleichbare Klassifikationsansatz FE-RF erreichte in der vorliegenden Arbeit eine Genauigkeit von 0,71, eine Sensitivität von 0,65 und eine Spezifität von 0,77 (Tabelle 3.7 auf Seite 58). Die in Tabelle 1.1 auf Seite 8 aufgeführten Studien hatten allerdings andere Ziele als die vorliegende Arbeit. Bei diesen Studien sollte jeweils ein einzelnes möglichst gutes Klassifikationsmodell erstellt werden. Daher wurden

diese Modelle vermutlich mit wesentlich größerem Aufwand ausgewählt und optimiert als die Modelle in meiner Studie, deren Ziel der Vergleich verschiedener Klassifikationsansätze war.

Die Klassifikationsleistungen der untersuchten Ansätze könnten wahrscheinlich verbessert werden, indem zusätzliche Features verwendet werden. Variablen, die die Jahreszeit und die einzelne Kuh beschreiben, sind erfolgversprechende Optionen. Die Jahreszeit (bzw. die Witterung) beeinflusst möglicherweise das Auftreten von Lahmheit und war in der Studie von Grimm u. a. [Gri+19] im endgültigen Modell enthalten. In den Klassifikationsmodellen der vorliegenden Arbeit konnte die Jahreszeit nicht verwendet werden, weil die Gangbeurteilung nicht in allen Betrieben in der selben Jahreszeit erfolgt war und weder Beobachtungen für ein volles Jahr noch Wetterdaten vorlagen. Daher konnte ein möglicher Zusammenhang zwischen der Jahreszeit und dem Ergebnis der Gangbeurteilung nicht vom Zusammenhang zwischen dem Betrieb und dem Ergebnis der Gangbeurteilung unterschieden werden. Die Ausprägung des Verhaltens (bzw. der Aktivität) ist abhängig von der individuellen Kuh [dMol+13], d. h. die Variabilität der Aktivitätsmerkmale kann größer sein zwischen den einzelnen Kühen als zwischen lahmen und nicht-lahmen Kühen [Als+12]. Eine Identifikation der einzelnen Kuh als Feature in Klassifikationsmodellen zur automatischen Lahmheitserkennung zu verwenden, wäre *in praxi* aufwändig umzusetzen, weil es notwendig wäre, dass Modell mit gelabelten Daten jeder Kuhherde, in der das System angewandt werden soll, separat zu trainieren [vgl. Als+12; Tan+20]). Dieser Aufwand würde die Akzeptanz der Anwenderinnen und Anwender für das System möglicherweise reduzieren und es ist fraglich, ob in allen Herden genug Trainingsdaten erhoben werden könnten.

## 4.2 Ressourcenbedarf

Der Arbeitsspeicherbedarf für das Training der Modelle lag bei allen neun Ansätzen in der vorliegende Arbeit unter 3 GB (Tabelle 3.5 auf Seite 57). Die Klassifikationszeiten lagen außer bei FE-RF und FE-SVM deutlich unter einer Sekunde, bei diesen beiden bei wenigen (drei bis fünf) Sekunden. Bei allen diskriminativen Klassifikationsansätzen lag die Trainingsdauer unter fünf Minuten; alle generativen Ansätze mit unüberwachtem Vortraining benötigten deutlich mehr Zeit zum Erlernen der Modellparameter (Tabelle 3.5 auf Seite 57). Eine längere Trainingsdauer stellt für den praktischen Einsatz kein allzu großes Problem dar, da das Training nur selten erfolgen muss und auf zentralen Hochleistungsrechnern durchgeführt werden könnte. Daher wären allen Ansätze nach ihrem Ressourcenbedarf *in praxi* einsetzbar. Die kleineren Ansätze, welche keine GPU benötigen (z. B. FE-SVM) könnten auch auf einfachen Personal Computern mit einer Konfiguration, wie sie von Byabazaire u. a. [Bya+19] beschrieben wurde (mit Dual Core CPU mit 2,3 GHz und 4,0 GB Arbeitsspeicher), trainiert werden.

Der gemessene Ressourcenbedarf der unterschiedlichen Klassifikationsansätze ist nicht gänzlich vergleichbar, weil nicht alle Ansätze auf derselben Hardware trainiert und getestet wurden. Vielmehr wurde die verwendete Hardware den un-



terschiedlichen Möglichkeiten der jeweils eingesetzten Softwarepakete angepasst, um die Trainingszeiten möglichst zu reduzieren. Für alle neuronalen Netze wurde TensorFlow verwendet, das es ermöglicht, wesentliche Teile der Berechnungen für das Training und die Vorhersage auf eine GPU auszulagern. Daher wurden alle Ansätze mit neuronalen Netzen unter Verwendung einer GPU evaluiert. Ohne Einsatz der GPU wären die Trainingszeiten dieser Ansätze nochmals deutlich länger. Die relativ kurzen Klassifikationszeiten dieser Ansätze (Abbildung 3.4 auf Seite 55) im Vergleich zu den Ansätzen ohne neuronale Netze (FE-SVM und FE-RF) können vermutlich zumindest teilweise durch diese Unterschiede der verwendeten Hardware erklärt werden. Das Training von Random Forests lässt sich in der Implementierung von scikit-learn sehr einfach auf mehreren CPU-Kernen parallelisieren. Für das Training und die Klassifikation wurden daher für FE-RF fünf CPU-Kerne bereitgestellt. Bei allen anderen Ansätzen wurden lediglich vier Kerne verwendet, welche allerdings in erster Linie für den parallelisierten Datenimport benötigt wurden. Ohne Parallelisierung wäre die Trainingsdauer von FE-RF vermutlich etwa fünfmal so lang wie sie aktuell gemessen wurde. Damit wäre sie länger als die Trainingsdauern der Ende-zu-Ende-Ansätze, bei denen eine GPU genutzt wurde.

Die Evaluierung der Modelle erfolgte nicht immer unter alleiniger Nutzung der jeweiligen Knoten des High Performance Computing Systems (siehe S. 32 im Abschnitt 2.3.2). Es kann nicht ausgeschlossen werden, dass die entsprechenden CPUs gleichzeitig auch von anderen Jobs verwendet wurden, was die Bestimmung von Trainings- und Vorhersagezeiten beeinflusst haben könnte.

Auf Grund der genannten Einschränkungen sind die Ergebnisse meiner Arbeit zum Ressourcenbedarf der untersuchten Klassifikationsansätze nur als Hinweise zu betrachten. Da sie wegen der spezifischen Hardwarekonfigurationen schlecht verallgemeinerbar sind, wurde keine entsprechende schließende Statistik angefertigt. In keiner der Publikationen über Studien mit vergleichbaren Fragestellungen (siehe Abschnitt 1.2.1 auf Seite 11) wird der Ressourcenbedarf der verwendeten Klassifikationsmodelle erwähnt. Lediglich Ruiz u. a. [Rui+21] gaben in ihrem Artikel über einen allgemeinen Vergleich von Modelltypen zur Klassifikation von multivariaten Zeitreihen den jeweils benötigten Arbeitsspeicher und die Laufzeiten der Ansätze an. Sie verzichteten ebenso wie ich auf die Generalisierung dieser Angaben durch eine schließende Statistik. Daher sind die Ergebnisse meiner Arbeit zum Ressourcenbedarf der untersuchten Klassifikationsansätze trotz der genannten Einschränkungen hilfreich für weitere Studien und die Weiterentwicklung von Systemen zur automatischen Lahmheitserkennung bei Milchkühen.

### 4.3 Gegenüberstellung der Klassifikationsleistung und des Ressourcenbedarfs

Die benötigten Trainingszeiten sind in Abbildung 4.1 auf der nächsten Seite in Beziehung zu den jeweils erreichten Klassifikationsleistungen beschreibend dargestellt. Das Verhältnis zwischen Leistung und Trainingszeit war für AE-MLP am ungünstigsten und für FE-SVM am besten. Lediglich in Bezug auf die erreichte

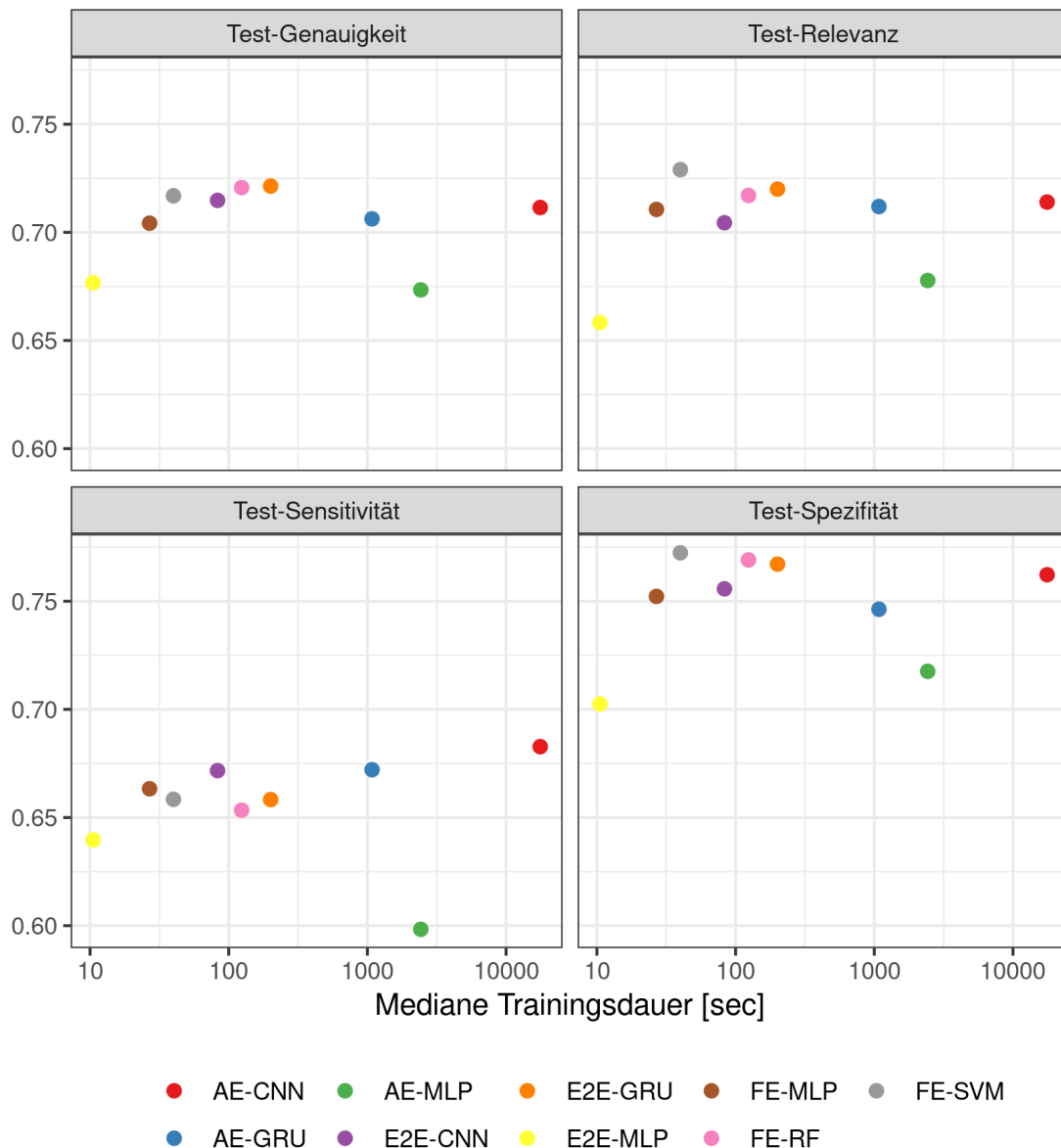


Abbildung 4.1: Beziehung von medianen Leistungen und medianer Trainingszeit je Klassifikationsansatz

Sensitivität schnitt FE-MLP günstiger ab. Bei etwas kürzerer Trainingszeit erreichte FE-MLP eine etwas bessere Sensitivität als FE-SVM.

Die Ende-zu-Ende-Ansätze, bei denen die tatsächlich für die Klassifikation verwendeten Features erlernt wurden, waren den Ansätzen mit Feature Engineering, bei denen „manuell“ zusätzliche Features erzeugt wurden, nicht grundsätzlich überlegen im Bezug auf die Klassifikationsleistung. Allerdings waren sie deutlich aufwändiger zu trainieren. Diese Beobachtung veranlasst mich zur These, dass sich durch die Einbeziehung von zusätzlichem Wissen in ein Klassifikationsmodell bei gleicher Vorhersageleistung des Modells Rechenzeit zum Erlernen der Modellpara-

meter einsparen lässt. In dem meisten Fällen dürfte das zusätzliche Wissen dem Modell aber hinzugefügt werden, um dessen Vorhersageleistung zu verbessern wenn keine ausreichenden Trainingsdaten zur Verfügung stehen [vgl. vRMB+20].

In meiner Untersuchung konnte ich nicht feststellen, dass generative Ansätze mit unüberwachtem Vortraining die Klassifikationsleistung verbessern, indem mehr Daten für das Training verwendet werden können, wie es von Géron [Gér20, S. 348–352] angeregt wurde (vgl. Tabelle 3.7 auf Seite 58). Bei den untersuchten künstlichen neuronalen Netzen handelte es sich um relativ kleine Netze mit entsprechend wenigen zu erlernenden Parametern. Vermutlich waren im vorliegenden Fall bereits allein die gelabelten Beobachtungen als Trainingsdaten ausreichend, um die Modellparameter zu erlernen, sodass durch das unüberwachte Vortraining mit allen Beobachtungen einschließlich der ungelabelten keine weitere Verbesserung erreicht werden konnte. Allerdings hatten die generativen Ansätze einen erheblich höheren Ressourcenbedarf als die entsprechenden Ende-zu-Ende-Ansätze (Tabelle 3.5 auf Seite 57). Bei den generativen Ansätzen wurde der Ressourcenbedarf insgesamt bestimmt, d. h. es wurde neben dem überwachten Klassifikationstraining auch das unüberwachte Vortraining berücksichtigt. Dadurch erklären sich die deutlich längeren Trainingszeiten und auch der größere Arbeitsspeicherbedarf, weil die Autoencoder deutlich mehr zu erlernende Parameter enthielten als die Klassifikationsnetze. Wenn keine deutlich größeren künstlichen neuronalen Netze für die Erkennung von Lahmheit bei Milchkühen eingesetzt werden sollen und wenn ähnlich viele Trainingsdaten wie für die vorliegende Arbeit verfügbar sind, dann erscheint der Aufwand für die Entwicklung und das Training generativer Ansätze nicht sinnvoll für diesen Anwendungsfall.

## 4.4 Schlussfolgerungen

In den Vergleich verschiedener Klassifikationsansätze zur Erkennung von Lahmheit bei Milchkühen an Hand von indirekten Variablen zur Aktivität, zur Leistung und zu den Eigenschaften der Kühe wurden in der vorliegenden Arbeit neben Ansätzen den klassischen maschinellen Lernens (Random Forest und SVM) und MLP nach Feature Engineering sowohl Ende-zu-Ende-Ansätze mit MLP, CNN und GRU als auch generative Ansätze einbezogen. Neben der erwarteten Klassifikationsleistung wurde der Bedarf an Ressourcen für das Training und die Vorhersage bei den neun Ansätzen untersucht. Keiner der untersuchten Ansätze erwies sich als zu aufwändig für den Praxiseinsatz, d. h. der Ressourcenbedarf aller Ansätze war so gering, dass sie auf leistungsfähigeren Personal Computern (ggf. mit GPU) trainiert werden könnten.

Allerdings waren die erwarteten Klassifikationsleistungen der verwendeten Modelle zwar insgesamt akzeptabel, aber für mögliche Anwendungen in der Praxis noch deutlich zu schlecht. Es besteht deshalb der Bedarf, weitere Modelle für diesen Anwendungsfall zu evaluieren und zu optimieren. Die SVM im Ansatz mit Feature Engineering erreichte zwar die besten Klassifikationsleistungen bei sehr geringem Ressourcenbedarf (Laufzeit und Arbeitsspeicherbelegung), doch mit ei-

ner Genauigkeit von 0,72 ist das Modell nicht geeignet für die direkte Verwendung in Systemen zur automatischen Lahmheitserkennung. Dieses Modell bietet aber nicht viele Möglichkeiten für Anpassungen, die zu deutlichen Verbesserungen der Klassifikationsleistung führen könnten. Die Ende-zu-Ende-Ansätze mit tiefen neuronalen Netzen klassifizierten vergleichbar gut. Deshalb schlage ich vor, in weiteren Studien über Klassifikatoren für die Lahmheitserkennung aus Aktivitätsdaten in erster Linie solche Ansätze mit CNN, RNN oder mit Kombinationen daraus einzubeziehen. Durch die enorme Flexibilität tiefer neuronaler Netze bieten diese Ansätze ein riesiges Anpassungspotential an die spezifischen Anwendungsfälle. Ein sehr interessanter Ansatz wäre es, ein tiefes neuronales Netz mit CNN und/oder RNN zum Erlernen der relevanten Merkmale zu verwenden und die eigentliche Klassifikation dann durch eine SVM durchführen zu lassen. Trotz des Aufwands, die Klassifikationsmodelle für jede Herde spezifisch trainieren zu müssen, scheint es mir lohnenswert, Möglichkeiten zu prüfen, wie ein Merkmal für die individuellen Kühe bei der Klassifikation berücksichtigt werden könnte, da sich auf diese Weise die Unterschiede zwischen den Kühen besser im Modell abbilden lassen.

Der Aufwand und der Ressourcenbedarf für die Entwicklung und das Training generativer Klassifikationsansätze standen in meiner Untersuchung zur Lahmheitserkennung bei Milchkühen aus Aktivitätsdaten in keinem guten Verhältnis zum Zugewinn an Klassifikationsgenauigkeit gegenüber Ende-zu-Ende-Ansätzen mit vergleichbaren Modellen. Es erscheint daher nicht sinnvoll, Ansätze mit unüberwachtem Vortraining für diesen Anwendungsfall zu entwickeln — es sei denn, es sollen wesentlich größere neuronale Netze verwendet werden als es in der vorliegenden Arbeit der Fall war.

Für den Vergleich der Leistungsfähigkeit mehrerer Modelle gleichzeitig an Hand verschiedener Kriterien, die nicht unabhängig voneinander sind, ist das in der vorliegenden Arbeit beschriebene Bayes'sche multivariate lineare Modell gut geeignet. Es sollte statistischen Tests bzw. Modellen vorgezogen werden, bei welchen die Leistungen nach jedem Kriterium jeweils separat verglichen werden, da nur in einem gemeinsamen statistischen Modell die Abhängigkeiten zwischen den Kriterien berücksichtigt werden können.

---

## Literaturverzeichnis

- [Aba+15] M. Abadi, A. Agarwal, P. Barham, E. Brevdo, Z. Chen, C. Citro, G.S. Corrado u. a. *TensorFlow: Large-scale machine learning on heterogeneous systems*. 2015. URL: <https://www.tensorflow.org/>.
- [Aba+16] M. Abadi, P. Barham, J. Chen, Z. Chen, A. Davis, J. Dean, M. Devin u. a. „TensorFlow: A System for large-scale machine learning“. In: *12th USENIX Symposium on Operating Systems Design and Implementation (OSDI 16)*. Savannah, GA: USENIX Association, Nov. 2016, S. 265–283. URL: <https://www.usenix.org/conference/osdi16/technical-sessions/presentation/abadi>.
- [AFS19] M. Alsaad, M. Fadul und A. Steiner. „Automatic lameness detection in cattle“. In: *Veterinary Journal* 246 (2019), S. 35–44. DOI: 10.1016/j.tvjl.2019.01.005.
- [Als+12] M. Alsaad, C. Römer, J. Kleinmanns, K. Hendriksen, S. Rose-Meierhöfer, L. Plümer und W. Büscher. „Electronic detection of lameness in dairy cows through measuring pedometric activity and lying behavior“. In: *Applied Animal Behaviour Science* 142.3 (2012), S. 134–141. DOI: 10.1016/j.applanim.2012.10.001.
- [ABH10] S. Archer, N. Bell und J. Huxley. „Lameness in UK dairy cows: A review of the current status“. In: *In Practice* 32.10 (2010), S. 492–504. DOI: 10.1136/inp.c6672.
- [Bee+16] G. Beer, M. Alsaad, A. Starke, G. Schuepbach-Regula, H. Müller, P. Kohler und A. Steiner. „Use of extended characteristics of locomotion and feeding behavior for automated identification of lame dairy cows“. In: *PloS One* 11.5 (2016), e0155796. DOI: 10.1371/journal.pone.0155796.
- [Ben+17] A. Benavoli, G. Corani, J. Demšar und M. Zaffalon. „Time for a change: A tutorial for comparing multiple classifiers through Bayesian analysis“. In: *Journal of Machine Learning Research* 18.77 (2017), S. 1–36.
- [BMP20] L. Bennett, B. Melchers und B. Proppe. *Curta: A general-purpose high-performance computer at ZEDAT, Freie Universität Berlin*. 2020. DOI: 10.17169/refubium-26754.

- [BOS21] G.M. Borghart, L.E. O’Grady und J.R. Somers. „Prediction of lameness using automatically recorded activity, behavior and production data in post-parturient Irish dairy cows“. In: *Irish Veterinary Journal* 74.1 (2021), S. 4. DOI: 10.1186/s13620-021-00182-6.
- [Bre01] L. Breiman. „Random forests“. In: *Machine Learning* 45.1 (2001), S. 5–32. DOI: 10.1023/A:1010933404324.
- [Bun94] W.L. Buntine. „Operations for learning with graphical models“. In: *Journal of Artificial Intelligence Research* 2 (1994), S. 159–225. DOI: 10.1613/jair.62.
- [Bus+19] V. Busin, L. Viora, G. King, M. Tomlinson, J. LeKernec, N. Jonsson und F. Fioranelli. „Evaluation of lameness detection using radar sensing in ruminants“. In: *The Veterinary Record* 185.18 (2019), S. 572. DOI: 10.1136/vr.105407.
- [Bya+19] J. Byabazaire, C. Olariu, M. Taneja und A. Davy. „Lameness detection as a service: Application of machine learning to an internet of cattle“. In: *2019 16th IEEE Annual Consumer Communications Networking Conference (CCNC)*. Jan. 2019, S. 1–6. DOI: 10.1109/CCNC.2019.8651681.
- [Cha+13] N. Chapinal, A.K. Barrientos, M.A.G. von Keyserlingk, E. Galo und D.M. Weary. „Herd-level risk factors for lameness in freestall farms in the northeastern United States and California“. In: *Journal of Dairy Science* 96.1 (2013), S. 318–328. DOI: 10.3168/jds.2012-5940.
- [Cho+14] K. Cho, B. van Merriënboer, C. Gulcehre, D. Bahdanau, F. Bougares, H. Schwenk und Y. Bengio. „Learning phrase representations using RNN encoder-decoder for statistical machine translation“. In: *Proceedings of the 2014 Conference on Empirical Methods in Natural Language Processing (EMNLP)*. Doha, Qatar: Association for Computational Linguistics, 2014, S. 1724–1734. DOI: 10.3115/v1/D14-1179.
- [CUH16] D.-A. Clevert, T. Unterthiner und S. Hochreiter. „Fast and accurate deep network learning by exponential linear units (ELUs)“. In: *Proceedings of the International Conference on Learning Representations*. 2016. DOI: 10.48550/ARXIV.1511.07289.
- [CT65] J.W. Cooley und J.W. Tukey. „An algorithm for the machine calculation of complex Fourier series“. In: *Mathematics of Computation* 19.90 (1965), S. 297–301. DOI: 10.1090/S0025-5718-1965-0178586-1.
- [Cov69] T.M. Cover. „Learning in pattern recognition“. In: *Methodologies of pattern recognition*. Hrsg. von S. Watanabe. New York: Academic Press, 1969, S. 111–132. DOI: 10.1016/B978-1-4832-3093-1.50012-2.
- [dMol+13] R.M. de Mol, G. André, E.J.B. Bleumer, J.T.N. van der Werf, Y. de Haas und C.G. van Reenen. „Applicability of day-to-day variation in behavior for the automated detection of lameness in dairy cows“.

- In: *Journal of Dairy Science* 96.6 (2013), S. 3703–3712. DOI: 10.3168/jds.2012-6305.
- [DPW20] A. Dempster, F. Petitjean und G.I. Webb. „ROCKET: exceptionally fast and accurate time series classification using random convolutional kernels“. In: *Data Mining and Knowledge Discovery* 34.5 (2020), S. 1454–1495. DOI: 10.1007/s10618-020-00701-z.
- [Dem06] J. Demšar. „Statistical comparisons of classifiers over multiple data sets“. In: *Journal of Machine Learning Research* 7 (2006), S. 1–30.
- [Den16] M.J. Denwood. „Runjags : An R package providing interface utilities, model templates, parallel computing methods and additional distributions for MCMC models in JAGS“. In: *Journal of Statistical Software* 71.9 (2016). DOI: 10.18637/jss.v071.i09.
- [Doz16] T. Dozat. „Incorporating Nesterov momentum into Adam“. In: *ICLR 2016 - Workshop Track*. International Conference on Learning Representations. San Juan, Puerto Rico, 2. Mai 2016. URL: [https://cs229.stanford.edu/proj2015/054%5C\\_report.pdf](https://cs229.stanford.edu/proj2015/054%5C_report.pdf) (besucht am 08.06.2022).
- [DHS01] R.O. Duda, P.E. Hart und D.G. Stork. *Pattern classification*. 2. Aufl. New York: Wiley, 2001.
- [Dut+18] K.J. Dutton-Regester, T.S. Barnes, J.D. Wright, J.I. Alawneh und A.R. Rabiee. „A systematic review of tests for the detection and diagnosis of foot lesions causing lameness in dairy cows“. In: *Preventive Veterinary Medicine* 149 (2018), S. 53–66. DOI: 10.1016/j.prevetmed.2017.11.003.
- [Dut+20] K.J. Dutton-Regester, T.S. Barnes, J.D. Wright und A.R. Rabiee. „Lameness in dairy cows: Farmer perceptions and automated detection technology“. In: *Journal of Dairy Research* 87.S1 (2020), S. 67–71. DOI: 10.1017/S0022029920000497.
- [Faw+19] H.I. Fawaz, G. Forestier, J. Weber, L. Idoumghar und P.-A. Muller. „Deep learning for time series classification: A review“. In: *Data Mining and Knowledge Discovery* 33.4 (2019), S. 917–963. DOI: 10.1007/s10618-019-00619-1.
- [Faw+20] H.I. Fawaz, B. Lucas, G. Forestier, C. Pelletier, D.F. Schmidt, J. Weber, G.I. Webb, L. Idoumghar, P.-A. Muller und F. Petitjean. „InceptionTime: Finding AlexNet for time series classification“. In: *Data Mining and Knowledge Discovery* 34.6 (2020), S. 1936–1962. DOI: 10.1007/s10618-020-00710-y.
- [FSH18] T. Fiolka, F. Schächter und J. Heinskill. „Automatische Rückenlinienanalyse bei Milchkühen aus Bilddaten“. In: *24. Workshop Computer-Bildanalyse in der Landwirtschaft*. 2018, S. 71.
- [FOS21] M. Freitag, S. Oehler und K.F. Stock. „Nutzungsdauer und Abgangsursachen von Milchkühen - Neues aus NRW“. In: *Forum angewandte Forschung in der Rinder- und Schweinefütterung*. Fulda, 21–22. März 2017, S. 95–98.

- [Fri01] J.H. Friedman. „Greedy function approximation: A gradient boosting machine“. In: *The Annals of Statistics* 29.5 (2001), S. 1189–1232. DOI: 10.1214/aos/1013203451.
- [fLei19] Deutscher Verband für Leistungs- und Qualitätsprüfungen e.V. *Entwicklung einer Dienstleistung zur Verbesserung der Klauengesundheit von Milchkühen durch Vernetzung und Verdichtung von Daten für das Tiergesundheitsmanagement (KLAUENfitnet) - Teilprojekt 1: Abschlussbericht*. 2019. DOI: 10.2314/GBV:1067853286.
- [Gar+14] E. Garcia, I. Klaas, J.M. Amigo, R. Bro und C. Enevoldsen. „Lameness detection challenges in automated milking systems addressed with partial least squares discriminant analysis“. In: *Journal of Dairy Science* 97.12 (2014), S. 7476–7486. DOI: 10.3168/jds.2014-7982.
- [Gel06] A. Gelman. „Prior distributions for variance parameters in hierarchical models“. In: *Bayesian Analysis* 1 (2006), S. 515–533.
- [GR92] A. Gelman und D.B. Rubin. „Inference from iterative simulation using multiple sequences“. In: *Statistical Science* 7.4 (1992), S. 457–472.
- [Gér20] A. Géron. *Praxiseinstieg Machine Learning mit Scikit-Learn, Keras und TensorFlow: Konzepte, Tools und Techniken für intelligente Systeme*. Übers. von K. Rother und T. Demmig. 2. Aufl. Heidelberg: O’Reilly, 2020.
- [GB10] X. Glorot und Y. Bengio. „Understanding the difficulty of training deep feedforward neural networks“. In: *Proceedings of the Thirteenth International Conference on Artificial Intelligence and Statistics*. Bd. 9. Sardinia, Italy: JMLR Workshop und Conference Proceedings, 31. März 2010, S. 249–256. URL: <https://proceedings.mlr.press/v9/glorot10a.html> (besucht am 08.06.2022).
- [GBC16] I. Goodfellow, Y. Bengio und A. Courville. *Deep Learning*. MIT Press, 2016. URL: <http://www.deeplearningbook.org> (besucht am 24.09.2022).
- [GGO18] B.E. Griffiths, D. Grove White und G. Oikonomou. „A cross-sectional study into the prevalence of dairy cattle lameness and associated herd-level risk factors in England and Wales“. In: *Frontiers in Veterinary Science* 5 (2018), S. 65. DOI: 10.3389/fvets.2018.00065.
- [Gri+19] K. Grimm, B. Haidn, M. Erhard, M. Tremblay und D. Döpfer. „New insights into the association between lameness, behavior, and performance in Simmental cows“. In: *Journal of Dairy Science* 102.3 (2019), S. 2453–2468. DOI: 10.3168/jds.2018-15035.
- [Gru99] E. Grunert. „Sexualzyklus“. In: *Fertilitätsstörungen beim weiblichen Rind*. Hrsg. von E. Grunert, D. Ahlers und M. Berchtold. 3. Aufl. Berlin: Parey, 1999.
- [Hal+18] J. Haladjian, J. Haug, S. Nüske und B. Bruegge. „A wearable sensor system for lameness detection in dairy cattle“. In: *Multimo-*



- dal Technologies and Interaction* 2.2 (2018), S. 27. DOI: 10.3390/mti2020027.
- [Har+20] C.R. Harris, K.J. Millman, S.J. van der Walt, R. Gommers, P. Virtanen, D. Cournapeau u. a. „Array programming with NumPy“. In: *Nature* 585.7825 (2020), S. 357–362. DOI: 10.1038/s41586-020-2649-2.
- [HTF09] T. Hastie, R. Tibshirani und J.H. Friedman. *The elements of statistical learning: Data mining, inference, and prediction*. 2. Aufl. Springer series in statistics. New York: Springer, 2009.
- [He+15] K. He, X. Zhang, S. Ren und J. Sun. „Delving deep into rectifiers: Surpassing human-level performance on ImageNet classification“. In: *2015 IEEE International Conference on Computer Vision (ICCV)*. Santiago, Chile: IEEE, Dez. 2015, S. 1026–1034. DOI: 10.1109/ICCV.2015.123.
- [Hig+17] J.H. Higginson Cutler, J. Rushen, A.M. de Passillé, J. Gibbons, K. Orsel, E. Pajor, H.W. Barkema, L. Solano, D. Pellerin, D. Haley und E. Vasseur. „Producer estimates of prevalence and perceived importance of lameness in dairy herds with tiestalls, freestalls, and automated milking systems“. In: *Journal of Dairy Science* 100.12 (2017), S. 9871–9880. DOI: 10.3168/jds.2017-13008.
- [Hir21] J. Hirschle. *Machine Learning für Zeitreihen: Einstieg in Regressions-, ARIMA- und Deep Learning-Verfahren mit Python*. München: Hanser, 2021.
- [Hub64] P.J. Huber. „Robust estimation of a location parameter“. In: *The Annals of Mathematical Statistics* 35.1 (1964), S. 73–101. DOI: 10.1214/aoms/1177703732.
- [Hum+20] B. Humm, H. Bense, J. Bock, M. Classen, O. Halvani, C. Herta, T. Hoppe, O. Juwig und M. Siegel. „Applying machine intelligence in practice: Selected results of the 2019 Dagstuhl Workshop on Applied Machine Intelligence“. In: *Informatik Spektrum* 43.2 (2020), S. 137–144. DOI: 10.1007/s00287-020-01259-2.
- [Hut+21] P.R. Hut, M.M. Hostens, M.J. Beijgaard, F.J.C.M. van Eerdenburg, J.H.J.L. Hulsen, G.A. Hooijer, E.N. Stassen und M. Nielen. „Associations between body condition score, locomotion score, and sensor-based time budgets of dairy cattle during the dry period and early lactation“. In: *Journal of Dairy Science* 104.4 (2021), S. 4746–4763. DOI: 10.3168/jds.2020-19200.
- [IS15] S. Ioffe und C. Szegedy. „Batch normalization: Accelerating deep network training by reducing internal covariate shift“. In: *Proceedings of the 32nd International Conference on Machine Learning*. PMLR, 1. Juni 2015, S. 448–456. URL: <https://proceedings.mlr.press/v37/ioffe15.html> (besucht am 08.06.2022).
- [Ito+10] K. Ito, M.A.G. von Keyserlingk, S.J. LeBlanc und D.M. Weary. „Lying behavior as an indicator of lameness in dairy cows“. In: *Journal of*

- Dairy Science* 93.8 (2010), S. 3553–3560. DOI: 10.3168/jds.2009-2951.
- [Jen+22] K.C. Jensen, A.W. Oehm, A. Campe, A. Stock, S. Woudstra, M. Feist, K.E. Müller, M. Hoedemaker und R. Merle. „German farmers’ awareness of lameness in their dairy herds“. In: *Frontiers in Veterinary Science* 9 (2022). DOI: 10.3389/fvets.2022.866791.
- [Jia+22] B. Jiang, H. Song, H. Wang und C. Li. „Dairy cow lameness detection using a back curvature feature“. In: *Computers and Electronics in Agriculture* 194 (2022), S. 106729. DOI: 10.1016/j.compag.2022.106729.
- [Kam+13] C. Kamphuis, E. Frank, J.K. Burke, G.A. Verkerk und J.G. Jago. „Applying additive logistic regression to data derived from sensors monitoring behavioral and physiological characteristics of dairy cows to detect lameness“. In: *Journal of Dairy Science* 96.11 (2013), S. 7043–7053. DOI: 10.3168/jds.2013-6993.
- [KZL20] X. Kang, X.D. Zhang und G. Liu. „Accurate detection of lameness in dairy cattle with computer vision: A new and individualized detection strategy based on the analysis of the supporting phase“. In: *Journal of Dairy Science* 103.11 (2020), S. 10628–10638. DOI: 10.3168/jds.2020-18288.
- [Kan+20] K. Kaniyamattam, J. Hertl, G. Lhermie, U. Tasch, R. Dyer und Y.T. Gröhn. „Cost benefit analysis of automatic lameness detection systems in dairy herds: A dynamic programming approach“. In: *Preventive Veterinary Medicine* 178 (2020), S. 104993. DOI: 10.1016/j.prevetmed.2020.104993.
- [Kha+20] M. Khan, H. Wang, A. Ngueilbaye und A. Elfatyany. „End-to-end multivariate time series classification via hybrid deep learning architectures“. In: *Personal and Ubiquitous Computing* (2020). DOI: 10.1007/s00779-020-01447-7.
- [Kib+21] H. Kibirige, G. Lamp, J. Katins, Gdowding, Austin, Matthias-K, T. Funnell u. a. *has2k1/plotnine: v0.8.0*. Version 0.8.0. 25. März 2021. DOI: 10.5281/ZENODO.4636791.
- [Kla+17] G. Klambauer, T. Unterthiner, A. Mayr und S. Hochreiter. „Self-normalizing neural networks“. In: *Advances in neural information processing systems (NIPS)*. 31st International Conference on Neural Information Processing Systems. Long Beach, CA, USA, 2017, S. 972–981. DOI: 10.48550/ARXIV.1706.02515.
- [Kla] Klauenfitnet 2.0. *Anleitung zur Bewegungsbeurteilung*. URL: <https://www.klauenfitnet.de/projektnews/download/> (besucht am 06.04.2022).
- [Kof+21] J. Kofler, B. Fürst-Waltl, M. Dourakas, F. Steininger und C. Egger-Danner. „Impact of lameness on milk yield in dairy cows in Austria – Results from the Efficient-Cow-Project“. In: *Schweizer Archiv für Tierheilkunde* 163.2 (2021), S. 123–138. DOI: 10.17236/sat00290.

- [Kru11] J.K. Kruschke. *Doing Bayesian data analysis: A tutorial with R and BUGS*. 1. Aufl. Burlington, USA: Elsevier Academic Press, 2011.
- [LKL14] M. Längkvist, L. Karlsson und A. Loutfi. „A review of unsupervised feature learning and deep learning for time-series modeling“. In: *Pattern Recognition Letters* 42 (2014), S. 11–24. DOI: 10.1016/j.patrec.2014.01.008.
- [Las+21] J. Lasser, C. Matzhold, C. Egger-Danner, B. Fuerst-Waltl, F. Steininger, T. Wittek und P. Klimek. „Integrating diverse data sources to predict disease risk in dairy cattle — a machine learning approach“. In: *Journal of Animal Science* 99.11 (2021), skab294. DOI: 10.1093/jas/skab294.
- [LL12] E. Lesaffre und A.B. Lawson. *Bayesian Biostatistics*. Chichester, England: John Wiley & Sons, 2012.
- [MBL19] D. Makowski, M. Ben-Shachar und D. Lüdecke. „bayestestR: Describing effects and their uncertainty, existence and significance within the Bayesian framework“. In: *Journal of Open Source Software* 4.40 (2019), S. 1541. DOI: 10.21105/joss.01541.
- [Mak+19] D. Makowski, M.S. Ben-Shachar, S.H.A. Chen und D. Lüdecke. „Indices of effect existence and significance in the Bayesian framework“. In: *Frontiers in Psychology* 10 (2019), S. 2767. DOI: 10.3389/fpsyg.2019.02767.
- [Mar+09] P. Martiskainen, M. Järvinen, J.-P. Skön, J. Tiirikainen, M. Kolhmainen und J. Mononen. „Cow behaviour pattern recognition using a three-dimensional accelerometer and support vector machines“. In: *Applied Animal Behaviour Science* 119.1 (2009), S. 32–38. DOI: 10.1016/j.applanim.2009.03.005.
- [Mas+11] J. Masci, U. Meier, D. Cireşan und J. Schmidhuber. „Stacked convolutional auto-encoders for hierarchical feature extraction“. In: *Artificial Neural Networks and Machine Learning — ICANN 2011*. Hrsg. von T. Honkela, W. Duch, M. Girolami und S. Kaski. Bd. 6791. Lecture Notes in Computer Science. Berlin, Heidelberg: Springer, 2011, S. 52–59. DOI: 10.1007/978-3-642-21735-7\_7.
- [MTK13] B. Miekley, I. Traulsen und J. Krieter. „Principal component analysis for the early detection of mastitis and lameness in dairy cows“. In: *Journal of Dairy Research* 80.3 (2013), S. 335–343. DOI: 10.1017/S0022029913000290.
- [Mur] W. Murphy. *Implementing an interface in Python*. Real Python. URL: <https://realpython.com/python-interface/> (besucht am 06.07.2022).
- [NJ01] A. Ng und M. Jordan. „On discriminative vs. generative classifiers: A comparison of logistic regression and naive Bayes“. In: *Advances in Neural Information Processing Systems*. Hrsg. von T. Dietterich, S. Becker und Z. Ghahramani. Bd. 14. MIT Press, 2001. URL: <https://proceedings.neurips.cc/paper/2001/file/7b7a53e239400a13bd6be6c91c4f6c4e-Paper.pdf>.

- [Nwe+18] H.F. Nweke, Y.W. Teh, M.A. Al-garadi und U.R. Alo. „Deep learning algorithms for human activity recognition using mobile and wearable sensor networks: State of the art and research challenges“. In: *Expert Systems with Applications* 105 (2018), S. 233–261. DOI: 10.1016/j.eswa.2018.03.056.
- [OLe+20] N.W. O’Leary, D.T. Byrne, A.H. O’Connor und L. Shalloo. „Invited review: Cattle lameness detection with accelerometers“. In: *Journal of Dairy Science* 103.5 (2020), S. 3895–3911. DOI: 10.3168/jds.2019-17123.
- [Oeh+19] A.W. Oehm, G. Knubben-Schweizer, A. Rieger, A. Stoll und S. Hartnack. „A systematic review and meta-analyses of risk factors associated with lameness in dairy cows“. In: *BMC Veterinary Research* 15.1 (2019), S. 346. DOI: 10.1186/s12917-019-2095-2.
- [OS51] D. Olds und D.M. Seath. „Repeatability of the estrous cycle length in dairy cattle“. In: *Journal of Dairy Science* 34.7 (1951), S. 626–632. DOI: 10.3168/jds.S0022-0302(51)91757-2.
- [PK07] M.E. Pastell und M. Kujala. „A probabilistic neural network model for lameness detection“. In: *Journal of Dairy Science* 90.5 (2007), S. 2283–2292. DOI: 10.3168/jds.2006-267.
- [Ped+11] F. Pedregosa, G. Varoquaux, A. Gramfort u. a. „Scikit-learn: Machine Learning in Python“. In: *Journal of Machine Learning Research* 12 (2011), S. 2825–2830.
- [PHJ+21] J.N. Philipp, G. Hylander, V. Janapati u. a. *Cannot convert a symbolic tensor (gru/strided\_slice:0) to a numpy array*. 18. Feb. 2021. URL: <https://github.com/tensorflow/tensorflow/issues/47242> (besucht am 03.08.2022).
- [Pie+20] D. Piette, T. Norton, V. Exadaktylos und D. Berckmans. „Individualised automated lameness detection in dairy cows and the impact of historical window length on algorithm performance“. In: *Animal* 14.2 (2020), S. 409–417. DOI: 10.1017/S1751731119001642.
- [Plu03] M. Plummer. „JAGS: A program for analysis of Bayesian graphical models using Gibbs sampling“. In: *3rd International Workshop on Distributed Statistical Computing (DSC 2003)* 124 (Apr. 2003).
- [Pou+10] A. Poursaberi, C. Bahr, A. Pluk, A. van Nuffel und D. Berckmans. „Real-time automatic lameness detection based on back posture extraction in dairy cattle: Shape analysis of cow with image processing techniques“. In: *Computers and Electronics in Agriculture* 74.1 (2010), S. 110–119. DOI: 10.1016/j.compag.2010.07.004.
- [Pra20] PraeRi. *Tiergesundheit, Hygiene und Biosicherheit in deutschen Milchkuhbetrieben – Eine Prävalenzstudie (PraeRi)*. 2020. URL: [https://ibei.tiho-hannover.de/praeeri/pages/69#\\_AB](https://ibei.tiho-hannover.de/praeeri/pages/69#_AB) (besucht am 09.04.2022).
- [Pue+21] M.A. Puerto, E. Shepley, R.I. Cue, D. Warner, J. Dubuc und E. Vasseur. „The hidden cost of disease: II. Impact of the first incidence of lameness on production and economic indicators of primiparous

- dairy cows“. In: *Journal of Dairy Science* 104.7 (2021), S. 7944–7955. DOI: 10.3168/jds.2020-19585.
- [Pyt22] Python Software Foundation. *Python 3.8.13 documentation*. 2022. URL: <https://docs.python.org/3.8/index.html> (besucht am 03.08.2022).
- [Qia+21] Y. Qiao, H. Kong, C. Clark, S. Lomax, D. Su, S. Eiffert und S. Sukkarieh. „Intelligent perception-based cattle lameness detection and behaviour recognition: A review“. In: *Animals* 11.11 (2021), S. 3033. DOI: 10.3390/ani11113033.
- [R C22] R Core Team. *R: A language and environment for statistical computing*. R Foundation for Statistical Computing, Vienna, Austria, 2022. URL: <https://www.R-project.org/>.
- [RL92] A.E. Raftery und S.M. Lewis. „Comment: One long run with diagnostics: Implementation strategies for Markov Chain Monte Carlo“. In: *Statistical science* 7.4 (1992), S. 493–497.
- [Reb+21] J. Reback, jbrockmendel, W. McKinney, J. van den Bossche, T. Augspurger u. a. *pandas-dev/pandas: Pandas 1.2.5*. Version 1.2.5. Juni 2021. DOI: 10.5281/zenodo.5013202.
- [RH18] S. Reith und S. Hoy. „Review: Behavioral signs of estrus and the potential of fully automated systems for detection of estrus in dairy cattle“. In: *Animal: An International Journal of Animal Bioscience* 12.2 (2018), S. 398–407. DOI: 10.1017/S1751731117001975.
- [Roe+10] J. Roelofs, F. López-Gatiús, R.H.F. Hunter, F.J.C.M. van Eerdenburg und Ch. Hanzen. „When is a cow in estrus? Clinical and practical aspects“. In: *Theriogenology* 74.3 (2010), S. 327–344. DOI: 10.1016/j.theriogenology.2010.02.016.
- [Rui+21] A.P. Ruiz, M. Flynn, J. Large, M. Middlehurst und A. Bagnall. „The great multivariate time series classification bake off: A review and experimental evaluation of recent algorithmic advances“. In: *Data Mining and Knowledge Discovery* 35.2 (2021), S. 401–449. DOI: 10.1007/s10618-020-00727-3.
- [Sch+17] K. Schindhelm, I. Lorenzini, M. Tremblay, D. Dopfer, S. Reese und B. Haidn. „Automatically recorded performance and behaviour parameters as risk factors for lameness in dairy cattle“. In: *Chemical Engineering Transactions* 58 (2017), S. 583–588. DOI: 10.3303/CET1758098.
- [Sch+14] A. Schlageter-Tello, E.A.M. Bokkers, P.W.G. Groot Koerkamp, T. van Hertem, S. Viazzi, C.E.B. Romanini, I. Halachmi, C. Bahr, D. Berckmans und K. Lokhorst. „Manual and automatic locomotion scoring systems in dairy cows: A review“. In: *Preventive Veterinary Medicine* 116.1 (2014), S. 12–25. DOI: 10.1016/j.prevetmed.2014.06.006.
- [Sch15] A. Schraner. „Prävalenzen von Lahmheiten bei Milchkühen in niedersächsischen Milchviehbetrieben“. Hannover: Tierärztliche Hochschule Hannover, 2015.

- [Sha+21] S. Shahinfar, M. Khansefid, M. Haile-Mariam und J.E. Pryce. „Machine learning approaches for the prediction of lameness in dairy cows“. In: *Animal* 15.11 (2021), S. 100391. DOI: 10.1016/j.animal.2021.100391.
- [Smi18] L.N. Smith. „A disciplined approach to neural network hyperparameters: Part 1 – Learning rate, batch size, momentum, and weight decay“. In: *arXiv* (24. Apr. 2018). URL: <http://arxiv.org/abs/1803.09820> (besucht am 29.12.2021).
- [Son+08] X. Song, T. Leroy, E. Vranken, W. Maertens, B. Sonck und D. Berckmans. „Automatic detection of lameness in dairy cattle — Vision-based trackway analysis in cow’s locomotion“. In: *Computers and Electronics in Agriculture*. Smart Sensors in precision livestock farming 64.1 (2008), S. 39–44. DOI: 10.1016/j.compag.2008.05.016.
- [SHK97] D.J. Sprecher, D.E. Hostetler und J.B. Kaneene. „A lameness scoring system that uses posture and gait to predict dairy cattle reproductive performance“. In: *Theriogenology* 47.6 (1997), S. 1179–1187. DOI: 10.1016/S0093-691X(97)00098-8.
- [Tan+20] M. Taneja, J. Byabazaire, N. Jalodia, A. Davy, C. Olariu und P. Malone. „Machine learning based fog computing assisted data-driven approach for early lameness detection in dairy cattle“. In: *Computers and Electronics in Agriculture* 171 (2020), S. 105286. DOI: 10.1016/j.compag.2020.105286.
- [Ten21] TensorFlow Developers. *TensorFlow*. Version 2.4.4. Nov. 2021. DOI: 10.5281/zenodo.5637331.
- [vdGuc+17] T. van de Gucht, W. Saeys, A. van Nuffel, L. Pluym, K. Piccart, L. Lauwers, J. Vangeyte und S. van Weyenberg. „Farmers’ preferences for automatic lameness-detection systems in dairy cattle“. In: *Journal of Dairy Science* 100.7 (2017), S. 5746–5757. DOI: 10.3168/jds.2016-12285.
- [vdMH08] L. van der Maaten und G. Hinton. „Visualizing data using t-SNE.“ In: *Journal of Machine Learning Research* 9.11 (2008), S. 2579–2605.
- [vHer+16] T. van Hertem, C. Bahr, A. Schlageter Tello, S. Viazzi, M. Steensels, C.E.B. Romanini, C. Lokhorst, E. Maltz, I. Halachmi und D. Berckmans. „Lameness detection in dairy cattle: single predictor v. multivariate analysis of image-based posture processing and behaviour and performance sensing“. In: *Animal* 10.9 (2016), S. 1525–1532. DOI: 10.1017/S1751731115001457.
- [vHer+13] T. van Hertem, E. Maltz, A. Antler, C.E.B. Romanini, S. Viazzi, C. Bahr, A. Schlageter-Tello, C. Lokhorst, D. Berckmans und I. Halachmi. „Lameness detection based on multivariate continuous sensing of milk yield, rumination, and neck activity“. In: *Journal of Dairy Science* 96.7 (2013), S. 4286–4298. DOI: 10.3168/jds.2012-6188.
- [vHuy+20] M. van Huyssteen, H.W. Barkema, S. Mason und K. Orsel. „Association between lameness risk assessment and lameness and foot lesion prevalence on dairy farms in Alberta, Canada“. In: *Journal of Dairy*

- Science* 103.12 (2020), S. 11750–11761. DOI: 10.3168/jds.2019-17819.
- [vNuf+16] A. van Nuffel, T. van de Gucht, W. Saeys, B. Sonck, G. Opsomer, J. Vangeyte, K.C. Mertens, B. De Ketelaere und S. van Weyenberg. „Environmental and cow-related factors affect cow locomotion and can cause misclassification in lameness detection systems“. In: *Animal* 10.9 (2016), S. 1533–1541. DOI: 10.1017/S175173111500244X.
- [vRD09] G. van Rossum und F.L. Drake. *Python 3 reference manual*. Scotts Valley, CA: CreateSpace, 2009.
- [Vil+19] M. Villettaz Robichaud, J. Rushen, A.M. de Passillé, E. Vasseur, K. Orsel und D. Pellerin. „Associations between on-farm animal welfare indicators and productivity and profitability on Canadian dairies: I. On freestall farms“. In: *Journal of Dairy Science* 102.5 (2019), S. 4341–4351. DOI: 10.3168/jds.2018-14817.
- [Vol+21] N. Volkmann, B. Kulig, S. Hoppe, J. Stracke, O. Hensel und N. Kemper. „On-farm detection of claw lesions in dairy cows based on acoustic analyses and machine learning“. In: *Journal of Dairy Science* 104.5 (2021), S. 5921–5931. DOI: 10.3168/jds.2020-19206.
- [vRMB+20] L. von Rüden, S. Mayer, K. Beckh u. a. *Informed machine learning — A taxonomy and survey of integrating knowledge into learning systems*. 2020. URL: <http://publica.fraunhofer.de/dokumente/N-593257.html> (besucht am 24.09.2022).
- [WYO17] Z. Wang, W. Yan und T. Oates. „Time series classification from scratch with deep neural networks: A strong baseline“. In: *2017 International Joint Conference on Neural Networks (IJCNN)*. Mai 2017, S. 1578–1585. DOI: 10.1109/IJCNN.2017.7966039.
- [Wei+18] H.C. Weigele, L. Gygax, A. Steiner, B. Wechsler und J.-B. Burla. „Moderate lameness leads to marked behavioral changes in dairy cows“. In: *Journal of Dairy Science* 101.3 (2018), S. 2370–2382. DOI: 10.3168/jds.2017-13120.
- [Wei08] N.S. Weiss. „Clinical epidemiology“. In: *Modern epidemiology*. Hrsg. von K.J. Rothman, S. Greenland und T.L. Lash. 3. Aufl. Philadelphia: Lippincott Williams & Wilkins, 2008, S. 641–651.
- [WS17] H.R. Whay und J.K. Shearer. „The impact of lameness on welfare of the dairy cow“. In: *Veterinary Clinics of North America: Food Animal Practice* 33.2 (2017), S. 153–164. DOI: 10.1016/j.cvfa.2017.02.008.
- [Wic16] H. Wickham. *ggplot2: Elegant graphics for data analysis*. New York: Springer-Verlag, 2016. URL: <https://ggplot2.tidyverse.org>.
- [Wic+19] H. Wickham, M. Averick, J. Bryan, W. Chang, L. D’Agostino McGowan, R. François, G. Golemund u. a. „Welcome to the tidyverse“. In: *Journal of Open Source Software* 4.43 (2019), S. 1686. DOI: 10.21105/joss.01686.
- [Wie05] D. Wiedenhöft. „Einfluss von Lahmheiten auf die Fruchtbarkeitsleistung von Milchkühen“. Hannover: Tierärztliche Hochschule Hanno-

- ver, 2005. URL: [https://elib.tiho-hannover.de/receive/etd\\_mods\\_00002180?q=wiedenh%C3%B6ft](https://elib.tiho-hannover.de/receive/etd_mods_00002180?q=wiedenh%C3%B6ft) (besucht am 11.04.2022).
- [WR00] E. Wiesner und R. Ribbeck. *Lexikon der Veterinärmedizin*. 4. Aufl. Stuttgart: Enke, 2000.
- [Wol96] D.H. Wolpert. „The lack of a priori distinctions between learning algorithms“. In: *Neural Computation* 8.7 (1996), S. 1341–1390. DOI: 10.1162/neco.1996.8.7.1341.
- [Wu+20] D. Wu, Q. Wu, X. Yin, B. Jiang, H. Wang, D. He und H. Song. „Lameness detection of dairy cows based on the YOLOv3 deep learning algorithm and a relative step size characteristic vector“. In: *Biosystems Engineering* 189 (2020), S. 150–163. DOI: 10.1016/j.biosystemseng.2019.11.017.
- [YGB12] C. Yunta, I. Guasch und A. Bach. „Short communication: Lying behavior of lactating dairy cows is influenced by lameness especially around feeding time“. In: *Journal of Dairy Science* 95.11 (2012), S. 6546–6549. DOI: 10.3168/jds.2012-5670.
- [Zei+10] M.D. Zeiler, D. Krishnan, G.W. Taylor und R. Fergus. „Deconvolutional networks“. In: *2010 IEEE Computer Society Conference on Computer Vision and Pattern Recognition*. Juni 2010, S. 2528–2535. DOI: 10.1109/CVPR.2010.5539957.



**A**

---

**Quellcode**

**A.1 Abstrakte Klassen**

## Listing A.1: Modul TrainTestInterface

```
1 """
2 Informal interface for evaluating different ML methods.
3
4 This module requires the following packages installed:
5
6     * 'numpy'
7     * 'pandas'
8
9 This module exports:
10
11     * TrainTestInterface
12 """
13
14 from abc import ABC, abstractmethod
15 import pandas as pd
16 import numpy as np
17
18 class TrainTestInterface(ABC):
19     """
20     Informal interface.
21     """
22
23     @abstractmethod
24     def import_data(self, data_folder, n_proc, **kwargs):
25         """
26         Import data into attributes.
27
28         Parameters
29         -----
30         data_folder : string
31             path to folder containing the data files
32         n_proc : int
33             number of processes to use
34         **kwargs :
35             additional parameters for window_function()
36
37         Returns
38         -----
39         nothing
40         """
41         pass
42
43     def prepare_fit(self, x_train, y_train, x_test, y_test, **kwargs):
44         """
45         Prepare data and model and fit model to data.
46
47         Includes seeding of PRNG, preprocessing of the data, building,
48         training and testing of the model.
49
50         Parameters
51         -----
52         x_train : np.array
53             features for training
54         y_train : 1d-np.array
55             labels for training
56         x_test : np.array
57             features for testing
58         y_test : 1d-np.array
59             labels for testing
60         **kwargs :
61             hyperparameters to prepare the data or of the model
62         """
```

```
66         Returns
67         -----
68         metrics : dict
69             metrics used to evaluate the model
70         """
71         metrics = {
72             'Accuracy' : np.nan,
73             'Train_Accuracy' : np.nan,
74             'Precision' : np.nan,
75             'Sensitivity' : np.nan,
76             'Specificity' : np.nan,
77             'Time_train' : np.nan,
78             'Time_test' : np.nan
79         }
80         return metrics

83     @classmethod
84     def window_function(cls, window_data, **kwargs):
85         """
86         Transform time window data.

87         Parameters
88         -----
89         window_data : array
90             data of one time window with shape=[time steps, features]
91         **kwargs :
92             additional parameters

93         Returns
94         -----
95         transformed : array
96             the transformed data
97         """
98         return window_data
```

## Listing A.2: Modul AbstractSearcher

```

1  """
2  Abstract class to search hyperparameter values.

4  This module requires the following packages installed:

6      * 'pickle'
7      * 'numpy'
8      * 'pandas'
9      * 'multiprocessing'
10     * 'sklearn.model_selection'

12 This module exports:

14     * AbstractSearcher
15 """

17 import pickle
18 import pandas as pd
19 import numpy as np
20 from multiprocessing import Pool
21 from sklearn.model_selection import LeaveOneGroupOut
22 from src.TrainTestInterface import TrainTestInterface

24 class AbstractSearcher(TrainTestInterface):
25     """
26     Abstract class to search hyperparameter values.

28     Following methods need to be adapted to specific models:
29         * self.gridsearch()
30         * self.prepare_fit()
31         * cls.window_function()

33     Attributes
34     -----
35     used : list
36         indices of splits to be used for cross-validation
37     logo :
38         Leave One Group Out cross-validator
39     X : np.array
40         features
41     Y : 1d-np.array
42         labels
43     Split : 1d-np.array
44         split indicator for cross-validation
45     metrics : pd.DataFrame
46         hyperparameters and corresponding aggregated metrics
47     """

50     def __init__(self, used):
51         """
52         Parameters
53         -----
54         used : list
55             indices of splits to be used for cross-validation
56         """
57         self.used = used
58         self.logo = LeaveOneGroupOut()
59         self.X = None
60         self.Y = None
61         self.Split = None
62         self.metrics = None

65     def _get_split(self, index, data_folder, extraArgs):

```

```

66     """
67     Get reshaped data of one data split.

69     Parameters
70     -----
71     index : int
72         index of data split to use
73     data_folder : string
74         path to folder containing the data files
75     extraArgs : list
76         parameters passed to _get_reshaped_data()

78     Returns
79     -----
80     split : tuple
81         (data,X,Y,Split)
82     """
83     with open(data_folder+'split'+str(index)+'.bin','rb') as file:
84         data = pickle.load(file)
85         data = pd.concat([data,pd.DataFrame({'Split' : np.repeat(↵
            index,data.shape[0])},index=data.index)],axis=1)
86     X,Y,Split = self._get_reshaped_data(data.reset_index(),**↵
        extraArgs)
87     return(data,X,Y,Split)

90     def _get_reshaped_data(self,data,groups,feature_names,label_name,↵
        window_length,obs_shape,**kwargs):
91         """
92         Get reshaped data as time windows.

94         Notes
95         -----
96         Keeps only labelled observations.

98         Parameters
99         -----
100        data : pd.DataFrame
101            data to work on
102        groups : list
103            names of grouping columns
104        feature_names : list
105            names of features as used in data
106        label_name : string
107            column name of label
108        window_length : int
109            length of time windows used for training and classification
110        obs_shape : tuple
111            shape of feature values of one observation
112        **kwargs :
113            additional parameters for window_function()

115        Returns
116        -----
117        data : tuple
118            (X,Y,Split)
119        """
120        X = np.empty((0,)+obs_shape)
121        Y = np.empty(0)
122        Split = np.empty(0)
123        idx_labelled = data.loc[pd.notna(data[label_name]),:].index.↵
            to_numpy()
124        idx_labelled = idx_labelled[idx_labelled >= window_length-1]
125        for i in idx_labelled:
126            grp_out = data.loc[i,groups[0]]
127            grp_in = data.loc[i,groups[1]]
128            data_i = data.loc[(i-window_length+1):i,:]
```

```

129         if any(data_i[groups[0]] != grp_out) or any(data_i[groups[
130             1]] != grp_in):
131             continue
132         window = data_i.loc[(i-window_length+1):i,feature_names].
133             to_numpy()
134         window = self.window_function(window,**kwargs)
135         X = np.concatenate((X,window[np.newaxis]))
136         Y = np.concatenate((Y,data_i.loc[i,[label_name]]))
137         Split = np.concatenate((Split,data_i.loc[i,['Split']]))
138     return (X,Y,Split)

139     def import_data(self,data_folder,n_proc,**kwargs):
140         """
141         Import data into attributes.

142         Parameters
143         -----
144         data_folder : string
145             path to folder containing the data files
146         n_proc : int
147             number of processes to use
148         **kwargs :
149             parameters for self._get_resaped_data()

150         Returns
151         -----
152         nothing
153         """
154         arglst = [(i,data_folder,kwargs) for i in self.used]
155         with Pool(n_proc) as pool:
156             results = pool.starmap(self._get_split, arglst)
157             results = list(zip(*results))
158             data = pd.concat(list(results[0]))
159             self.X = np.concatenate(results[1])
160             self.Y = np.concatenate(results[2])
161             self.Split = np.concatenate(results[3])

162     def crossvalidate(self,**kwargs):
163         """
164         Cross-validate by leaving out one split per fold.

165         Calls self.prepare_fit() per fold.

166         Parameters
167         -----
168         **kwargs :
169             parameters passed to self.prepare_fit(),
170             except for x_train,y_train,x_test,y_test

171         Returns
172         -----
173         metrics : dict
174             Means and standard deviations of metrics
175         """
176         results = np.empty((0,7))
177         for idx_train, idx_test in self.logo.split(X=self.X,groups=self.
178             Split):
179             x_train = np.take(self.X,idx_train,axis=0)
180             x_test = np.take(self.X,idx_test,axis=0)
181             y_train = np.take(self.Y,idx_train,axis=0)
182             y_test = np.take(self.Y,idx_test,axis=0)
183             split_result = self.prepare_fit(x_train,y_train,x_test,
184             y_test,**kwargs)
185             results = np.vstack((
186                 results,
187                 np.array([

```

```

193         split_result['Accuracy'],
194         split_result['Train_Accuracy'],
195         split_result['Precision'],
196         split_result['Sensitivity'],
197         split_result['Specifity'],
198         split_result['Time_train'],
199         split_result['Time_test']
200     ])
201     ))
202     means = np.mean(results,axis=0)
203     stds = np.std(results,axis=0)
204     metrics = {
205         'Accuracy_mean' : means[0], 'Accuracy_sd' : stds[0],
206         'Train_Accuracy_mean' : means[1], 'Train_Accuracy_sd' : stds[←
207         [1],
208         'Precision_mean' : means[2], 'Precision_sd' : stds[2],
209         'Sensitivity_mean' : means[3], 'Sensitivity_sd' : stds[3],
210         'Specifity_mean' : means[4], 'Specifity_sd' : stds[4],
211         'Time_train_mean' : means[5], 'Time_train_sd' : stds[5],
212         'Time_test_mean' : means[6], 'Time_test_sd' : stds[6]
213     }
214     return metrics

216     def gridsearch(self,**kwargs):
217         """
218         Grid search of hyperparameter values.

219         Parameters
220         -----
221         **kwargs :
222             parameters passed to self.crossvalidate()

223         Returns
224         -----
225         metrics : pd.DataFrame
226             hyperparameters and corresponding metrics (mean, sd) ←
227             resulting
228             from calls to self.crossvalidate()
229         """
230         self.metrics = pd.DataFrame(columns= [
231             'Accuracy_mean', 'Accuracy_sd',
232             'Train_Accuracy_mean', 'Train_Accuracy_sd',
233             'Precision_mean', 'Precision_sd',
234             'Sensitivity_mean', 'Sensitivity_sd',
235             'Specifity_mean', 'Specifity_sd',
236             'Time_train_mean', 'Time_train_sd',
237             'Time_test_mean', 'Time_test_sd'
238         ])
239         self.metrics = self.metrics.append(self.crossvalidate(**kwargs),←
240             ignore_index=True)
241         return self.metrics

```

## Listing A.3: Modul AbstractSearcher2

```

1  """
2  Abstract class to search hyperparameter values for models which depend ↔
   on
3  the TF functional API.

5  This module requires the following packages installed:

7      * 'pickle'
8      * 'numpy'
9      * 'pandas'
10     * 'multiprocessing'
11     * 'sklearn.model_selection'

13  This module exports:

15     * AbstractSearcher2
16  """

18  import pickle
19  import pandas as pd
20  import numpy as np
21  from multiprocessing import Pool
22  from sklearn.model_selection import LeaveOneGroupOut
23  from src.TrainTestInterface import TrainTestInterface

25  class AbstractSearcher2(TrainTestInterface):
26      """
27      Abstract class to search hyperparameter values.

29      Following methods need to be adapted to specific models:
30          * self.gridsearch()
31          * self.prepare_fit()
32          * cls.window_function()

34      Attributes
35      -----
36      used : list
37          indices of splits to be used for cross-validation
38      logo :
39          Leave One Group Out cross-validator
40      X_const : np.array
41          constant features
42      X_var : np.array
43          time-dependent features
44      Y : 1d-np.array
45          labels
46      Split : 1d-np.array
47          split indicator for cross-validation
48      metrics : pd.DataFrame
49          hyperparameters and corresponding aggregated metrics
50      """

53      def __init__(self,used):
54          """
55          Parameters
56          -----
57          used : list
58              indices of splits to be used for cross-validation
59          """
60          self.used = used
61          self.logo = LeaveOneGroupOut()
62          self.X_const = None
63          self.X_var = None
64          self.Y = None

```



```

65         self.Split = None
66         self.metrics = None

69     def _get_split(self, index, data_folder, extraArgs):
70         """
71         Get reshaped data of one data split.

73         Parameters
74         -----
75         index : int
76             index of data split to use
77         data_folder : string
78             path to folder containing the data files
79         extraArgs : list
80             parameters passed to _get_reshaped_data()

82         Returns
83         -----
84         split : tuple
85             (data, X_const, X_var, Y, Split)
86         """
87         with open(data_folder+'split'+str(index)+'.bin', 'rb') as file:
88             data = pickle.load(file)
89             data = pd.concat([data, pd.DataFrame({'Split' : np.repeat(index, data.shape[0])}), index=data.index], axis=1)
90         X_const, X_var, Y, Split = self._get_reshaped_data(data.reset_index(), **extraArgs)
91         return(data, X_const, X_var, Y, Split)

94     def _get_reshaped_data(self, data, groups, feature_names, label_name, window_length, window_shape, idx_constants, idx_time_deps, labelled_only, **kwargs):
95         """
96         Get reshaped data as time windows.

98         Notes
99         -----
100        Keeps only labelled observations.

102        Parameters
103        -----
104        data : pd.DataFrame
105            data to work on
106        groups : list
107            names of grouping columns
108        feature_names : list
109            names of features as used in data
110        label_name : string
111            column name of label
112        window_length : int
113            length of time windows used for training and classification
114        window_shape : tuple
115            shape of time window of one observation
116        idx_constants : list
117            indices of constant features
118        idx_time_deps : list
119            indices of time dependent features
120        labelled_only : bool
121            shall only labelled observations be used?
122        **kwargs :
123            additional parameters for window_function()

125        Returns
126        -----
127        data : tuple
128            (X_const, X_var, Y, Split)

```

```

129         """
130         X_const = np.empty((0,len(idx_constants)))
131         X_var = np.empty((0,)+window_shape)
132         Y = np.empty(0)
133         Split = np.empty(0)
134         names_const = [feature_names[i] for i in idx_constants]
135         names_var = [feature_names[i] for i in idx_time_deps]
136         if labelled_only:
137             idx = data.loc[pd.notna(data[label_name]),:].index.to_numpy()↵
138             ()
139         else:
140             idx = data.index.to_numpy()
141             idx = idx[idx >= window_length-1]
142             for i in idx:
143                 grp_out = data.loc[i,groups[0]]
144                 grp_in = data.loc[i,groups[1]]
145                 data_i = data.loc[(i-window_length+1):i,:].↵
146                 if any(data_i[groups[0]] != grp_out) or any(data_i[groups↵
147                     [1]] != grp_in):
148                     continue
149                 window = data_i.loc[(i-window_length+1):i,names_var].↵
150                 to_numpy()
151                 window = self.window_function(window,**kwargs)
152                 X_var = np.concatenate((X_var,window[np.newaxis]))
153                 X_const = np.concatenate((X_const,data_i.loc[i,names_const].↵
154                     to_numpy()[np.newaxis]))
155                 Y = np.concatenate((Y,data_i.loc[i,[label_name]]))
156                 Split = np.concatenate((Split,data_i.loc[i,['Split']]))
157             return (X_const.astype(float),X_var.astype(float),Y,Split)
158
159     def import_data(self,data_folder,n_proc,**kwargs):
160         """
161         Import data into attributes.
162
163         Parameters
164         -----
165         data_folder : string
166             path to folder containing the data files
167         n_proc : int
168             number of processes to use
169         **kwargs :
170             parameters for self._get_reshaped_data()
171
172         Returns
173         -----
174         nothing
175         """
176         arglst = [(i,data_folder,kwargs) for i in self.used]
177         with Pool(n_proc) as pool:
178             results = pool.starmap(self._get_split, arglst)
179         results = list(zip(*results))
180         data = pd.concat(list(results[0]))
181         self.X_const = np.concatenate(results[1])
182         self.X_var = np.concatenate(results[2])
183         self.Y = np.concatenate(results[3])
184         self.Split = np.concatenate(results[4])
185
186     def crossvalidate(self,**kwargs):
187         """
188         Cross-validate by leaving out one split per fold.
189
190         Calls self.prepare_fit() per fold.
191
192         Parameters
193         -----
194         **kwargs :

```

```

193         parameters passed to self.prepare_fit(),
194         except for x_train,y_train,x_test,y_test

196     Returns
197     -----
198     metrics : dict
199         Means and standard deviations of metrics
200     """
201     results = np.empty((0,7))
202     for idx_train, idx_test in self.logo.split(X=self.X_const,groups←
= self.Split):
203         x_const_train = np.take(self.X_const,idx_train,axis=0)
204         x_var_train = np.take(self.X_var,idx_train,axis=0)
205         x_const_test = np.take(self.X_const,idx_test,axis=0)
206         x_var_test = np.take(self.X_var,idx_test,axis=0)
207         y_train = np.take(self.Y,idx_train,axis=0)
208         y_test= np.take(self.Y,idx_test,axis=0)
209         split_result = self.prepare_fit(x_const_train,x_var_train,←
y_train,x_const_test,x_var_test,y_test,**kwargs)
210         results = np.vstack((
211             results,
212             np.array([
213                 split_result['Accuracy'],
214                 split_result['Train_Accuracy'],
215                 split_result['Precision'],
216                 split_result['Sensitivity'],
217                 split_result['Specifity'],
218                 split_result['Time_train'],
219                 split_result['Time_test']
220             ])
221         ))
222     means = np.mean(results, axis=0)
223     stds = np.std(results, axis=0)
224     metrics = {
225         'Accuracy_mean' : means[0], 'Accuracy_sd' : stds[0],
226         'Train_Accuracy_mean' : means[1], 'Train_Accuracy_sd' : stds←
[1],
227         'Precision_mean' : means[2], 'Precision_sd' : stds[2],
228         'Sensitivity_mean' : means[3], 'Sensitivity_sd' : stds[3],
229         'Specifity_mean' : means[4], 'Specifity_sd' : stds[4],
230         'Time_train_mean' : means[5], 'Time_train_sd' : stds[5],
231         'Time_test_mean' : means[6], 'Time_test_sd' : stds[6]
232     }
233     return metrics

236     def gridsearch(self,**kwargs):
237         """
238         Grid search of hyperparameter values.

239
240         Parameters
241         -----
242         **kwargs :
243             hyperparameters passed to self.crossvalidate()

244
245         Returns
246         -----
247         metrics : pd.DataFrame
248             hyperparameters and corresponding metrics (mean, sd)
249             resulting from calls to self.crossvalidate()
250         """
251         self.metrics = pd.DataFrame(columns= [
252             'Accuracy_mean', 'Accuracy_sd',
253             'Train_Accuracy_mean', 'Train_Accuracy_sd',
254             'Precision_mean', 'Precision_sd',
255             'Sensitivity_mean', 'Sensitivity_sd',
256             'Specifity_mean', 'Specifity_sd',
257             'Time_train_mean', 'Time_train_sd',

```

```
258         'Time_test_mean', 'Time_test_sd'
259     ])
260     self.metrics = self.metrics.append(self.crossvalidate(**kwargs),↵
261         ignore_index = True)
262     return self.metrics
263
264     def prepare_fit(self, x_const_train, x_var_train, y_train, x_const_test,↵
265         x_var_test, y_test, **kwargs):
266         """
267         Prepare data and model and fit model to data.
268
269         Includes seeding of PRNG, preprocessing of the data, building,
270         training and testing of the model.
271
272         Parameters
273         -----
274         x_const_train : np.array
275             constant features for training
276         x_var_train : np.array
277             time-dependent features for training
278         y_train : 1d-np.array
279             labels for training
280         x_const_test : np.array
281             constant features for testing
282         x_var_test : np.array
283             time-dependent features for testing
284         y_test : 1d-np.array
285             labels for testing
286         **kwargs :
287             (hyper)parameters to prepare the data or of the model
288
289         Returns
290         -----
291         metrics : dict
292             metrics used to evaluate the model
293         """
294         metrics = {
295             'Accuracy' : np.nan,
296             'Train_Accuracy' : np.nan,
297             'Precision' : np.nan,
298             'Sensitivity' : np.nan,
299             'Specificity' : np.nan,
300             'Time_train' : np.nan,
301             'Time_test' : np.nan
302         }
303     return metrics
```

## Listing A.4: Modul AbstractEvaluator

```
1  """
2  Abstract class to evaluate a model.

4  This module requires the following packages installed:

6      * 'pickle'
7      * 'numpy'
8      * 'pandas'
9      * 'multiprocessing'

11 This module exports:

13     * AbstractEvaluator
14 """

16 import pickle
17 import pandas as pd
18 import numpy as np
19 from multiprocessing import Pool
20 from src.TrainTestInterface import TrainTestInterface

22 class AbstractEvaluator(TrainTestInterface):
23     """
24     Abstract class to evaluate a model.

26     Following methods need to be adapted to specific models:
27         * self.prepare_fit()
28         * cls.window_function()

30     Attributes
31     -----
32     left_out : int
33         index of split used as test data
34     X_train : np.array
35         training features
36     Y_train : 1d-np.array
37         training labels
38     X_test : np.array
39         test features
40     Y_test : 1d-np.array
41         test labels
42     metrics : pd.DataFrame
43         test metrics
44     """

47     def __init__(self, left_out):
48         """
49         Parameters
50         -----
51         left_out : int
52             index of split used as test data
53         """
54         self.left_out = left_out
55         self.X_train = None
56         self.Y_train = None
57         self.X_test = None
58         self.Y_test = None
59         self.metrics = None

62     def _get_split(self, index, data_folder, extraArgs):
63         """
64         Get reshaped data of one data split.
```

```

66     Parameters
67     -----
68     index : int
69         index of data split to use
70     data_folder : string
71         path to folder containing the data files
72     extraArgs : list
73         parameters passed to _get_reshaped_data()

75     Returns
76     -----
77     split : tuple
78         (data,X,Y)
79     """
80     with open(data_folder+'split'+str(index)+'.bin','rb') as file:
81         data = pickle.load(file)
82     X,Y = self._get_reshaped_data(data.reset_index(),**extraArgs)
83     return(data,X,Y)

86     def _get_reshaped_data(self,data,groups,feature_names,label_name,↵
window_length,obs_shape,**kwargs):
87         """
88         Get reshaped data as time windows.

90     Notes
91     -----
92     Keeps only labelled observations.

94     Parameters
95     -----
96     data : pd.DataFrame
97         data to work on
98     groups : list
99         names of grouping columns
100    feature_names : list
101        names of features as used in data
102    label_name : string
103        column name of label
104    window_length : int
105        length of time windows used for training and classification
106    obs_shape : tuple
107        shape of feature values of one observation
108    **kwargs :
109        additional parameters for window_function()

111    Returns
112    -----
113    data : tuple
114        (X,Y)
115    """
116    X = np.empty((0,)+obs_shape)
117    Y = np.empty(0)
118    idx_labelled = data.loc[pd.notna(data[label_name]),:].index.↵
to_numpy()
119    idx_labelled = idx_labelled[idx_labelled >= window_length-1]
120    for i in idx_labelled:
121        grp_out = data.loc[i,groups[0]]
122        grp_in = data.loc[i,groups[1]]
123        data_i = data.loc[(i-window_length+1):i,:].loc[
124            (data_i[groups[0]] != grp_out) or (data_i[groups[↵
1]] != grp_in):
125            continue
126        window = data_i.loc[(i-window_length+1):i,feature_names].↵
to_numpy()
127        window = self.window_function(window,**kwargs)
128        X = np.concatenate((X,window[np.newaxis]))
129        Y = np.concatenate((Y,data_i.loc[i,[label_name]]))

```

```
130         return (X,Y)

133     def import_data(self,data_folder,n_proc,**kwargs):
134         """
135         Import data into attributes.

137         Parameters
138         -----
139         data_folder : string
140             path to folder containing the data files
141         n_proc : int
142             number of processes to use
143         **kwargs :
144             parameters for self._get_reshaped_data()

146         Returns
147         -----
148         nothing
149         """
150         # training data
151         train_splits = np.arange(10)
152         train_splits = np.concatenate((train_splits[:self.left_out],↵
153                                     train_splits[self.left_out+1:]))
154         arglst = [(i,data_folder,kwargs) for i in train_splits]
155         with Pool(n_proc) as pool:
156             results = pool.starmap(self._get_split, arglst)
157         results = list(zip(*results))
158         data = pd.concat(list(results[0]))
159         self.X_train = np.concatenate(results[1])
160         self.Y_train = np.concatenate(results[2])
161         # test data
162         data = 0
163         with open(data_folder+'split'+str(self.left_out)+'.bin','rb') as ↵
164             file:
165             data = pickle.load(file)
166         self.X_test,self.Y_test = self._get_reshaped_data(data.↵
167                 reset_index(),**kwargs)
```

## Listing A.5: Modul AbstractEvaluator2

```

1  """
2  Abstract class to evaluate a model depending on the TF functional API.

4  This module requires the following packages installed:

6      * 'pickle'
7      * 'numpy'
8      * 'pandas'
9      * 'multiprocessing'

11 This module exports:

13     * AbstractEvaluator2
14 """

16 import pickle
17 import pandas as pd
18 import numpy as np
19 from multiprocessing import Pool
20 from src.TrainTestInterface import TrainTestInterface

22 class AbstractEvaluator2(TrainTestInterface):
23     """
24     Abstract class to evaluate a model.

26     Following methods need to be adapted to specific models:
27         * self.prepare_fit()
28         * cls.window_function()

30     Attributes
31     -----
32     left_out : int
33         index of split used as test data
34     X_const_train : np.array
35         constant training features
36     X_var_train : np.array
37         time-dependent training features
38     Y_train : 1d-np.array
39         training labels
40     X_const_test : np.array
41         constant test features
42     X_var_test : np.array
43         time-dependent test features
44     Y_test : 1d-np.array
45         test labels
46     metrics : pd.DataFrame
47         test metrics
48     """

51     def __init__(self, left_out):
52         """
53         Parameters
54         -----
55         left_out : int
56             index of split used as test data
57         """
58         self.left_out = left_out
59         self.X_const_train = None
60         self.X_var_train = None
61         self.Y_train = None
62         self.X_const_test = None
63         self.X_var_test = None
64         self.Y_test = None
65         self.metrics = None

```



```

68     def _get_split(self, index, data_folder, extraArgs):
69         """
70         Get reshaped data of one data split.

71
72         Parameters
73         -----
74         index : int
75             index of data split to use
76         data_folder : string
77             path to folder containing the data files
78         extraArgs : list
79             parameters passed to _get_reshaped_data()

80
81         Returns
82         -----
83         split : tuple
84             (data,X,Y)
85         """
86         with open(data_folder+'split'+str(index)+'.bin','rb') as file:
87             data = pickle.load(file)
88         X_const,X_var,Y = self._get_reshaped_data(data.reset_index(),**←
89             extraArgs)
90         return(data,X_const,X_var,Y)

91
92     def _get_reshaped_data(self, data, groups, feature_names, label_name,
93                           window_length, window_shape, idx_constants, idx_time_depst,
94                           labelled_only,):
95         """
96         Get reshaped data as time windows.

97
98         Parameters
99         -----
100        data : pd.DataFrame
101            data to work on
102        groups : list
103            names of grouping columns
104        feature_names : list
105            names of features as used in data
106        label_name : string
107            column name of label
108        window_length : int
109            length of time windows used for training and classification
110        window_shape : tuple
111            shape of time window of one observation
112        idx_constants : list
113            indices of constant features
114        idx_time_deps : list
115            indices of time dependent features
116        labelled_only : bool
117            shall only labelled observations be used?
118        **kwargs :
119            additional parameters for window_function()

120
121        Returns
122        -----
123        data : tuple
124            (X_const,X_var,Y)
125        """
126        X_const = np.empty((0,len(idx_constants)))
127        X_var = np.empty((0,)+window_shape)
128        Y = np.empty(0)
129        names_const = [feature_names[i] for i in idx_constants]
130        names_var = [feature_names[i] for i in idx_time_deps]
131        if labelled_only:

```

```

132         idx = data.loc[pd.notna(data[label_name]),:].index.to_numpy()
133         ()
134     else:
135         idx = data.index.to_numpy()
136         idx = idx[idx >= window_length-1]
137     for i in idx:
138         grp_out = data.loc[i,groups[0]]
139         grp_in = data.loc[i,groups[1]]
140         data_i = data.loc[(i-window_length+1):i,:]
141         if any(data_i[groups[0]] != grp_out) or any(data_i[groups[
142             [1]] != grp_in):
143             continue
144         window = data_i.loc[(i-window_length+1):i,names_var].to_numpy()
145         window = self.window_function(window,**kwargs)
146         X_var = np.concatenate((X_var,window[np.newaxis]))
147         X_const = np.concatenate((X_const,data_i.loc[i,names_const].to_numpy()[np.newaxis]))
148         Y = np.concatenate((Y,data_i.loc[i,[label_name]]))
149     return (X_const.astype(float),X_var.astype(float),Y)

150     def import_data(self,data_folder,n_proc,**kwargs):
151         """
152         Import data into attributes.

153         Parameters
154         -----
155         data_folder : string
156             path to folder containing the data files
157         n_proc : int
158             number of processes to use
159         **kwargs :
160             parameters for self._get_reshaped_data()

161         Returns
162         -----
163         nothing
164         """
165         # training data
166         train_splits = np.arange(10)
167         train_splits = np.concatenate((train_splits[:self.left_out],
168             train_splits[self.left_out+1:]))
169         arglst = [(i,data_folder,kwargs) for i in train_splits]
170         with Pool(n_proc) as pool:
171             results = pool.starmap(self._get_split,arglst)
172         results = list(zip(*results))
173         data = pd.concat(list(results[0]))
174         self.X_const_train = np.concatenate(results[1])
175         self.X_var_train = np.concatenate(results[2])
176         self.Y_train = np.concatenate(results[3])
177         # test data
178         data = 0
179         with open(data_folder+'split'+str(self.left_out)+'.bin','rb') as file:
180             data = pickle.load(file)
181         self.X_const_test,self.X_var_test,self.Y_test = self._get_reshaped_data(data.reset_index(),**kwargs)

```

## Listing A.6: Modul winfunc

```
1  """
2  Functions to transform time window data.

4  These functions can be used wrapped in
5  'TrainTestInterface.window_function()' when the interface is implemented
6  for specific machine learning approaches.

8  This module requires the following packages installed:

10     * 'numpy'

12  This module exports:

14     * add_spectra_and_sd()
15  """

17  import numpy as np

20  def add_spectra_and_sd(window_data, idx_constants, idx_time_deps):
21      """
22      Add spectra and standard deviations of columns in 'window_data'.

24      Transformation of time window data for feature engineering approach.

26      Parameters
27      -----
28      window_data : np.array
29          data of one time window with shape=[time steps, features]
30      idx_constants : list
31          indices of constant features
32      idx_time_deps : list
33          indices of time dependent features

35      Returns
36      -----
37      transformed : np.array (1d)
38          the transformed and flattened window data
39      """
40      time_deps = window_data[:, idx_time_deps]
41      spectra = np.abs(np.fft.fftshift(np.fft.fft(time_deps, axis=0)))
42      stdevs = np.std(time_deps, axis=0)
43      constants = window_data[0, idx_constants]
44      transformed = np.hstack((time_deps, spectra)).flatten()
45      transformed = np.hstack((constants, transformed, stdevs))
46      return transformed
```

---

## **A.2 Ausführbare Skripte — Ansätze mit Feature Engineering**

Listing A.7: Skript rf\_search.py

```

1  #!/usr/bin/env python3
2  # -*- coding: utf-8 -*-

4  # -----
5  import time
6  import numpy as np
7  import pandas as pd
8  import sklearn as sk
9  from sklearn.model_selection import LeaveOneGroupOut
10 from sklearn.ensemble import RandomForestClassifier
11 from sklearn.metrics import accuracy_score, precision_score, recall_score, ←
    confusion_matrix
12 from src.AbstractSearcher import AbstractSearcher
13 from src.winfunc import add_spectra_and_sd

15 # -----
16 # Define specific class
17 # -----
18 class RfSearcher(AbstractSearcher):

20     def __init__(self, used, n_estimators_values, min_samples_leaf_values):
21         self.used = used
22         self.n_estimators_values = n_estimators_values
23         self.min_samples_leaf_values = min_samples_leaf_values
24         self.logo = LeaveOneGroupOut()
25         self.X = None
26         self.Y = None
27         self.Split = None
28         self.metrics = None

30     @classmethod
31     def window_function(cls, window_data, **kwargs):
32         transformed = add_spectra_and_sd(window_data, kwargs['←
    idx_constants'], kwargs['idx_time_deps'])
33         return transformed

35     def gridsearch(self, **kwargs):
36         self.metrics = pd.DataFrame(columns= [
37             'n_estimators', 'min_samples_leaf',
38             'Accuracy_mean', 'Accuracy_sd',
39             'Precision_mean', 'Precision_sd',
40             'Sensitivity_mean', 'Sensitivity_sd',
41             'Specifity_mean', 'Specifity_sd',
42             'Time_train_mean', 'Time_train_sd',
43             'Time_test_mean', 'Time_test_sd'
44         ])
45         for n_estimators in self.n_estimators_values:
46             for min_samples_leaf in self.min_samples_leaf_values:
47                 cv_result = self.crossvalidate(n_estimators=n_estimators ←
    , min_samples_leaf=min_samples_leaf, n_jobs=n_jobs)
48                 cv_result['n_estimators'] = n_estimators
49                 cv_result['min_samples_leaf'] = min_samples_leaf
50                 self.metrics = self.metrics.append(cv_result, ←
    ignore_index=True)
51         self.metrics = self.metrics.sort_values(by=['Accuracy_mean'], ←
    ascending=False)
52         return self.metrics

54     def prepare_fit(self, x_train, y_train, x_test, y_test, n_estimators, ←
    min_samples_leaf, n_jobs):
55         metrics = {
56             'Accuracy' : np.nan,
57             'Precision' : np.nan,
58             'Sensitivity' : np.nan,
59             'Specifity' : np.nan,

```

```

60         'Time_train' : np.nan,
61         'Time_test'  : np.nan
62     }
63     rf_cl = RandomForestClassifier(max_features='sqrt', random_state=↔
        =42, n_jobs=n_jobs, n_estimators=n_estimators, ↔
        min_samples_leaf=min_samples_leaf)
64     y_train_ = y_train.astype(int)
65     y_test_  = y_test.astype(int)
66     # train model
67     time_start = time.time()
68     rf_cl.fit(x_train, y_train_)
69     metrics['Time_train'] = time.time() - time_start
70     pred_train = rf_cl.predict(x_train)
71     metrics['Train_Accuracy'] = accuracy_score(y_train_, pred_train)
72     # test model
73     time_start = time.time()
74     pred_test = rf_cl.predict(x_test)
75     metrics['Time_test'] = time.time() - time_start
76     # score
77     metrics['Accuracy'] = accuracy_score(y_test_, pred_test)
78     metrics['Precision'] = precision_score(y_test_, pred_test)
79     metrics['Sensitivity'] = recall_score(y_test_, pred_test)
80     cm = confusion_matrix(y_test_, pred_test)
81     metrics['Specifity'] = cm[0,0]/(cm[0,1]+cm[0,0])
82     return metrics

84 # -----
85 # Run search
86 # -----
87 n_jobs = 5
88 used = [1,4,6,9]
89 groups = ['CowId', 'Lactation']
90 feature_names = ['Lactation', 'DaysInMilk', 'MilkYield', 'StepsPerHour', '↔
    LyingDuration']
91 label_name = 'Lscore'
92 window_length = 27
93 obs_shape = (167,)
94 n_estimators_values = [3000, 3500, 4000, 4500, 5000]
95 min_samples_leaf_values = [1, 5, 10, 20]
96 name = 'fe-rf_search'
97 ts = time.strftime('%Y-%m-%d_%H%M%S', time.localtime())
98 output = name + '_' + ts
99 data_folder = '../data/'

101 classifier = RfSearcher(used, n_estimators_values, min_samples_leaf_values↔
    )
102 classifier.import_data(data_folder, n_proc=4, groups=groups, feature_names=↔
    feature_names, label_name=label_name, window_length=window_length, ↔
    obs_shape=obs_shape, idx_constants=[0,1], idx_time_deps=[2,3,4])
103 results = classifier.gridsearch(n_jobs=n_jobs)

105 results.to_csv(output+'.csv')
```

Listing A.8: Skript rf\_eval.py

```

1  #!/usr/bin/env python3
2  # -*- coding: utf-8 -*-

4  # -----
5  import sys
6  import time
7  import pickle
8  import numpy as np
9  import pandas as pd
10 import sklearn as sk
11 from datetime import datetime
12 from sklearn.ensemble import RandomForestClassifier
13 from sklearn.metrics import accuracy_score, precision_score, recall_score, ←
    confusion_matrix
14 from src.AbstractEvaluator import AbstractEvaluator
15 from src.winfunc import add_spectra_and_sd

17 # -----
18 # Define specific class
19 # -----
20 class RfEvaluator(AbstractEvaluator):

22     def __init__(self, left_out, n_estimators, min_samples_leaf):
23         self.left_out = left_out
24         self.n_estimators = n_estimators
25         self.min_samples_leaf = min_samples_leaf
26         self.X_train = None
27         self.Y_train = None
28         self.X_test = None
29         self.Y_test = None
30         self.metrics = None

32     @classmethod
33     def window_function(cls, window_data, **kwargs):
34         transformed = add_spectra_and_sd(window_data, kwargs['←
    idx_constants'], kwargs['idx_time_deps'])
35         return transformed

37     def prepare_fit(self, x_train, y_train, x_test, y_test, n_estimators, ←
    min_samples_leaf, n_jobs):
38         self.metrics = pd.DataFrame(columns= [
39             'n_estimators', 'min_samples_leaf',
40             'Accuracy',
41             'Precision',
42             'Sensitivity',
43             'Specifity',
44             'Time_train',
45             'Time_test'
46         ])
47         metrics = {
48             'Accuracy' : np.nan,
49             'Train_Accuracy' : np.nan,
50             'Precision' : np.nan,
51             'Sensitivity' : np.nan,
52             'Specifity' : np.nan,
53             'Time_train' : np.nan,
54             'Time_test' : np.nan
55         }
56         # build model
57         self.model = RandomForestClassifier(max_features='sqrt', ←
    random_state=42, n_jobs=n_jobs, n_estimators=n_estimators, ←
    min_samples_leaf=min_samples_leaf)
58         y_train_ = y_train.astype(int)
59         y_test_ = y_test.astype(int)
60         # train model

```

```

61         time_start = datetime.now()
62         self.model.fit(x_train, y_train_)
63         metrics['Time_train'] = datetime.now() - time_start
64         pred_train = self.model.predict(x_train)
65         metrics['Train_Accuracy'] = accuracy_score(y_train_, pred_train)
66         # test model
67         time_start = datetime.now()
68         pred_test = self.model.predict(x_test)
69         metrics['Time_test'] = datetime.now() - time_start
70         # score
71         metrics['Accuracy'] = accuracy_score(y_test_, pred_test)
72         metrics['Precision'] = precision_score(y_test_, pred_test)
73         metrics['Sensitivity'] = recall_score(y_test_, pred_test)
74         cm = confusion_matrix(y_test_, pred_test)
75         metrics['Specifity'] = cm[0,0]/(cm[0,1]+cm[0,0])
76         result = metrics.copy()
77         result['n_estimators'] = n_estimators
78         result['min_samples_leaf'] = min_samples_leaf
79         self.metrics = self.metrics.append(result, ignore_index=True)
80         return metrics

82 # -----
83 # Run evaluation
84 # -----
85 n_jobs=5
86 left_out = int(sys.argv[1])
87 groups = ['CowId', 'Lactation']
88 feature_names = ['Lactation', 'DaysInMilk', 'MilkYield', 'StepsPerHour', '↵
    LyingDuration']
89 label_name = 'Lscore'
90 window_length = 27
91 obs_shape = (167,)
92 n_estimators = 4500
93 min_samples_leaf = 5
94 name = 'fe-rf_eval'+str(left_out)
95 ts = time.strftime('%Y-%m-%d_%H%M%S', time.localtime())
96 output = name+'_'+ts
97 data_folder = '../data/'

99 classifier = FeRfEvaluator(left_out, n_estimators, min_samples_leaf)
100 classifier.import_data(data_folder, n_proc=4, groups=groups, feature_names=↵
    feature_names, label_name=label_name, window_length=window_length, ↵
    obs_shape=obs_shape, idx_constants=[0,1], idx_time_deps=[2,3,4])
101 result = classifier.prepare_fit(x_train=classifier.X_train, y_train=↵
    classifier.Y_train, x_test=classifier.X_test, y_test=classifier.Y_test, ↵
    n_estimators=n_estimators, min_samples_leaf=min_samples_leaf, n_jobs=↵
    n_jobs)

103 print(f"\nEvaluate FE-RF on left_out={left_out} with parameters:\n↵
    -----\n\n")
104 print(f"n_estimators={n_estimators}")
105 print(f"min_samples_leaf={min_samples_leaf}")
106 print('\n----\n')
107 print(f"Output: {output}")
108 print('\n----\n')
109 print(f"Accuracy: {result['Accuracy']} (Training accuracy: {result['↵
    Train_Accuracy']})")
110 print(f"Precision: {result['Precision']}")
111 print(f"Sensitivity: {result['Sensitivity']}")
112 print(f"Specifity: {result['Specifity']}")
113 print(f"Time_train: {result['Time_train']}")
114 print(f"Time_test: {result['Time_test']}")

```



Listing A.9: Skript svm\_search.py

```

1  #!/usr/bin/env python3
2  # -*- coding: utf-8 -*-

4  # -----
5  import time
6  import numpy as np
7  import pandas as pd
8  import sklearn as sk
9  from sklearn.model_selection import LeaveOneGroupOut
10 from sklearn.preprocessing import StandardScaler
11 from sklearn.svm import SVC
12 from sklearn.metrics import accuracy_score, precision_score, recall_score, ←
    confusion_matrix
13 from src.AbstractSearcher import AbstractSearcher
14 from src.winfunc import add_spectra_and_sd

16 # -----
17 # Define specific class
18 # -----
19 class SvmSearcher(AbstractSearcher):

21     def __init__(self, used, kernel_values, C_values):
22         self.used = used
23         self.kernel_values = kernel_values
24         self.C_values = C_values
25         self.logo = LeaveOneGroupOut()
26         self.X = None
27         self.Y = None
28         self.Split = None
29         self.metrics = None

31     @classmethod
32     def window_function(cls, window_data, **kwargs):
33         transformed = add_spectra_and_sd(window_data, kwargs['←
    idx_constants'], kwargs['idx_time_deps'])
34         return transformed

36     def gridsearch(self, **kwargs):
37         self.metrics = pd.DataFrame(columns= [
38             'kernel', 'C',
39             'Accuracy_mean', 'Accuracy_sd',
40             'Precision_mean', 'Precision_sd',
41             'Sensitivity_mean', 'Sensitivity_sd',
42             'Specifity_mean', 'Specifity_sd',
43             'Time_train_mean', 'Time_train_sd',
44             'Time_test_mean', 'Time_test_sd'
45         ])
46         for kernel in self.kernel_values:
47             for C in self.C_values:
48                 cv_result = self.crossvalidate(kernel=kernel, C=C, n_jobs=←
    n_jobs)
49                 cv_result['kernel'] = kernel
50                 cv_result['C'] = C
51                 self.metrics = self.metrics.append(cv_result, ←
    ignore_index=True)
52         self.metrics = self.metrics.sort_values(by=['Accuracy_mean'], ←
    ascending=False)
53         return self.metrics

55     def prepare_fit(self, x_train, y_train, x_test, y_test, kernel, C, n_jobs)←
    :
56         metrics = {
57             'Accuracy' : np.nan,
58             'Precision' : np.nan,
59             'Sensitivity' : np.nan,

```

```

60         'Specificity' : np.nan,
61         'Time_train' : np.nan,
62         'Time_test' : np.nan
63     }
64     stdsca = StandardScaler()
65     svm_cl = SVC(degree=3, gamma='scale', random_state=42, coef0=0, ←
66                 cache_size=1000, kernel=kernel, C=C)
67     y_train_ = y_train.astype(int)
68     y_test_ = y_test.astype(int)
69     x_train_ = stdsca.fit_transform(x_train)
70     x_test_ = stdsca.transform(x_test)
71     # train model
72     time_start = time.time()
73     svm_cl.fit(x_train_, y_train_)
74     metrics['Time_train'] = time.time() - time_start
75     pred_train = svm_cl.predict(x_train_)
76     metrics['Train_Accuracy'] = accuracy_score(y_train_, pred_train)
77     # test model
78     time_start = time.time()
79     pred_test = svm_cl.predict(x_test_)
80     metrics['Time_test'] = time.time() - time_start
81     # score
82     metrics['Accuracy'] = accuracy_score(y_test_, pred_test)
83     metrics['Precision'] = precision_score(y_test_, pred_test)
84     metrics['Sensitivity'] = recall_score(y_test_, pred_test)
85     cm = confusion_matrix(y_test_, pred_test)
86     metrics['Specificity'] = cm[0,0]/(cm[0,1]+cm[0,0])
87     return metrics
88
89 # -----
90 # Run search
91 # -----
92 n_jobs = 4
93 used = [1,4,6,9]
94 groups = ['CowId', 'Lactation']
95 feature_names = ['Lactation', 'DaysInMilk', 'MilkYield', 'StepsPerHour', '←
96                 LyingDuration']
97 label_name = 'Lscore'
98 window_length = 27
99 obs_shape = (167,)
100 kernel_values = ['rbf']
101 C_values = [0.01, 0.1, 0.5, 1, 1.5, 3, 5, 10, 100]
102 name = 'fe-svm_search'
103 ts = time.strftime('%Y-%m-%d_%H%M%S', time.localtime())
104 output = name + '_' + ts
105 data_folder = '../data/'
106
107 classifier = SvmSearcher(used, kernel_values, C_values)
108 classifier.import_data(data_folder, n_proc=4, groups=groups, feature_names=←
109                       feature_names, label_name=label_name, window_length=window_length, ←
110                       obs_shape=obs_shape, idx_constants=[0,1], idx_time_deps=[2,3,4])
111 results = classifier.gridsearch(n_jobs=n_jobs)
112
113 results.to_csv(output+'.csv')
```

Listing A.10: Skript svm\_eval.py

```

1  #!/usr/bin/env python3
2  # -*- coding: utf-8 -*-

4  # -----
5  import sys
6  import time
7  import pickle
8  import numpy as np
9  import pandas as pd
10 import sklearn as sk
11 from datetime import datetime
12 from sklearn.preprocessing import StandardScaler
13 from sklearn.svm import SVC
14 from sklearn.metrics import accuracy_score, precision_score, recall_score, ←
    confusion_matrix
15 from src.AbstractEvaluator import AbstractEvaluator
16 from src.winfunc import add_spectra_and_sd

18 # -----
19 # Define specific class
20 # -----
21 class SvmEvaluator(AbstractEvaluator):

23     def __init__(self, left_out, kernel, C):
24         self.left_out = left_out
25         self.kernel = kernel
26         self.C = C
27         self.X_train = None
28         self.Y_train = None
29         self.X_test = None
30         self.Y_test = None
31         self.metrics = None

33     @classmethod
34     def window_function(cls, window_data, **kwargs):
35         transformed = add_spectra_and_sd(window_data, kwargs['←
            idx_constants'], kwargs['idx_time_deps'])
36         return transformed

38     def prepare_fit(self, x_train, y_train, x_test, y_test, kernel, C, n_jobs):
39         self.metrics = pd.DataFrame(columns= [
40             'kernel', 'C',
41             'Accuracy',
42             'Train_Accuracy',
43             'Precision',
44             'Sensitivity',
45             'Specifity',
46             'Time_train',
47             'Time_test'
48         ])
49         metrics = {
50             'Accuracy' : np.nan,
51             'Train_Accuracy' : np.nan,
52             'Precision' : np.nan,
53             'Sensitivity' : np.nan,
54             'Specifity' : np.nan,
55             'Time_train' : np.nan,
56             'Time_test' : np.nan
57         }
58         stdsca = StandardScaler()
59         y_train_ = y_train.astype(int)
60         y_test_ = y_test.astype(int)
61         x_train_ = stdsca.fit_transform(x_train)
62         x_test_ = stdsca.transform(x_test)
63         # build model

```

```

64         self.model = SVC(degree=3, gamma='scale', random_state=42, coef0=0, ←
65             cache_size=1000, kernel=kernel, C=C)
66         # train model
67         time_start = datetime.now()
68         self.model.fit(x_train_, y_train_)
69         metrics['Time_train'] = datetime.now() - time_start
70         pred_train = self.model.predict(x_train_)
71         metrics['Train_Accuracy'] = accuracy_score(y_train_, pred_train)
72         # test model
73         time_start = datetime.now()
74         pred_test = self.model.predict(x_test_)
75         metrics['Time_test'] = datetime.now() - time_start
76         # score
77         metrics['Accuracy'] = accuracy_score(y_test_, pred_test)
78         metrics['Precision'] = precision_score(y_test_, pred_test)
79         metrics['Sensitivity'] = recall_score(y_test_, pred_test)
80         cm = confusion_matrix(y_test_, pred_test)
81         metrics['Specifity'] = cm[0,0]/(cm[0,1]+cm[0,0])
82         result = metrics.copy()
83         result['kernel'] = kernel
84         result['C'] = C
85         self.metrics = self.metrics.append(result, ignore_index=True)
86         return metrics
87
88 # -----
89 # Run evaluation
90 # -----
91 n_jobs=4
92 left_out = int(sys.argv[1])
93 groups = ['CowId', 'Lactation']
94 feature_names = ['Lactation', 'DaysInMilk', 'MilkYield', 'StepsPerHour', ' ←
95     LyingDuration']
96 label_name = 'Lscore'
97 window_length = 27
98 obs_shape = (167,)
99 kernel = 'rbf'
100 C = 0.5
101 name = 'fe-svm_eval'+str(left_out)
102 ts = time.strftime('%Y-%m-%d_%H%M%S', time.localtime())
103 output = name+'_'+ts
104 data_folder = '../data/'
105
106 classifier = FeSvmEvaluator(left_out, kernel, C)
107 classifier.import_data(data_folder, n_proc=4, groups=groups, feature_names= ←
108     feature_names, label_name=label_name, window_length=window_length, ←
109     obs_shape=obs_shape, idx_constants=[0,1], idx_time_deps=[2,3,4])
110 result = classifier.prepare_fit(x_train=classifier.X_train, y_train= ←
111     classifier.Y_train, x_test=classifier.X_test, y_test=classifier.Y_test, ←
112     kernel=kernel, C=C, n_jobs=n_jobs)
113
114 print(f"\nEvaluate FE-SVM on left_out={left_out} with parameters: \n ←
115     -----\n\n")
116 print(f"kernel={kernel}")
117 print(f"C={C}")
118 print('\n----\n')
119 print(f"Output: {output}")
120 print('\n----\n')
121 print(f"Accuracy: {result['Accuracy']} (Training accuracy: {result[' ←
122     Train_Accuracy']})")
123 print(f"Precision: {result['Precision']}")
124 print(f"Sensitivity: {result['Sensitivity']}")
125 print(f"Specifity: {result['Specifity']}")
126 print(f"Time_train: {result['Time_train']}")
127 print(f"Time_test: {result['Time_test']}")

```

Listing A.11: Skript fe-mlp\_search.py

```

1  #!/usr/bin/env python3
2  # -*- coding: utf-8 -*-

4  # -----
5  import os
6  import time
7  import numpy as np
8  import pandas as pd
9  import tensorflow as tf
10 from sklearn.model_selection import LeaveOneGroupOut
11 from tensorflow import keras
12 from sklearn.metrics import accuracy_score, precision_score, recall_score, ←
    confusion_matrix
13 from src.AbstractSearcher import AbstractSearcher
14 from src.winfunc import add_spectra_and_sd

16 # -----
17 # Define specific class
18 # -----
19 class FeMlpSearcher(AbstractSearcher):

21     def __init__(self, used, n_neurons_1st, n_neurons_other, n_layers_other, ←
        learning_rate_values, batch_size_values):
22         self.used = used
23         self.n_neurons_1st = n_neurons_1st
24         self.n_neurons_other = n_neurons_other
25         self.n_layers_other = n_layers_other
26         self.learning_rate_values = learning_rate_values
27         self.batch_size_values = batch_size_values
28         self.logo = LeaveOneGroupOut()
29         self.X = None
30         self.Y = None
31         self.Split = None
32         self.metrics = None

34     @classmethod
35     def window_function(cls, window_data, **kwargs):
36         transformed = add_spectra_and_sd(window_data, kwargs['←
            idx_constants'], kwargs['idx_time_deps'])
37         return transformed

39     def gridsearch(self, **kwargs):
40         self.metrics = pd.DataFrame(columns= [
41             'learning_rate', 'batch_size',
42             'Accuracy_mean', 'Accuracy_sd',
43             'Precision_mean', 'Precision_sd',
44             'Sensitivity_mean', 'Sensitivity_sd',
45             'Specifity_mean', 'Specifity_sd',
46             'Time_train_mean', 'Time_train_sd',
47             'Time_test_mean', 'Time_test_sd'
48         ])
49         for learning_rate in self.learning_rate_values:
50             for batch_size in self.batch_size_values:
51                 cv_result = self.crossvalidate(learning_rate=←
                    learning_rate, batch_size=batch_size, log_folder=←
                    log_folder)
52                 cv_result['learning_rate'] = learning_rate
53                 cv_result['batch_size'] = batch_size
54                 self.metrics = self.metrics.append(cv_result, ←
                    ignore_index=True)
55                 self.metrics = self.metrics.sort_values(by=['Accuracy_mean'], ←
                    ascending=False)
56         return self.metrics

```

```

58     def prepare_fit(self, x_train, y_train, x_test, y_test, learning_rate, ←
59         batch_size, log_folder):
60         y_train_ = y_train.astype(int)
61         y_test_ = y_test.astype(int)
62         metrics = {
63             'Accuracy' : np.nan,
64             'Precision' : np.nan,
65             'Sensitivity' : np.nan,
66             'Specificity' : np.nan,
67             'Time_train' : np.nan,
68             'Time_test' : np.nan
69         }
70         kernel_initializer = 'lecun_normal'
71         activation = 'selu'
72         n_neurons_1st = self.n_neurons_1st
73         n_neurons_other = self.n_neurons_other
74         n_layers_other = self.n_layers_other
75         n_epochs = 1000
76         # set random seed for reproducible results
77         tf.random.set_seed(42)
78         # data normalization layer
79         norm_layer = keras.layers.experimental.preprocessing.←
80             Normalization()
81         norm_layer.adapt(x_train)
82         # build model
83         model = keras.models.Sequential()
84         model.add(keras.layers.InputLayer(input_shape=x_train.shape[1:])←
85             )
86         model.add(norm_layer)
87         model.add(keras.layers.Dense(
88             n_neurons_1st,
89             kernel_initializer=kernel_initializer,
90             activation=activation
91         ))
92         for layer in range(n_layers_other):
93             model.add(keras.layers.Dense(
94                 n_neurons_other,
95                 kernel_initializer=kernel_initializer,
96                 activation=activation
97             ))
98         model.add(keras.layers.Dense(1, activation='sigmoid'))
99         model.compile(loss='binary_crossentropy', optimizer=keras.←
100             optimizers.Nadam(learning_rate=learning_rate), metrics=['←
101             accuracy'])
102         run_log_folder = 'N' + str(y_train.shape[0])
103         run_log_folder = os.path.join(log_folder, run_log_folder)
104         # train model
105         time_start = time.time()
106         model.fit(
107             x_train, y_train_,
108             validation_data=(x_test, y_test_),
109             batch_size=batch_size, epochs=n_epochs,
110             callbacks = [
111                 keras.callbacks.TensorBoard(run_log_folder),
112                 keras.callbacks.EarlyStopping(patience=5, ←
113                 restore_best_weights=True)
114             ],
115             verbose=0
116         )
117         metrics['Time_train'] = time.time() - time_start
118         pred_train = (model.predict(x_train) > 0.5).astype(int)
119         metrics['Train_Accuracy'] = accuracy_score(y_train_, pred_train)
120         # test model
121         time_start = time.time()
122         pred_test = (model.predict(x_test) > 0.5).astype(int)
123         metrics['Time_test'] = time.time() - time_start
124         # score
125         metrics['Accuracy'] = accuracy_score(y_test_, pred_test)

```

```
120     metrics['Precision'] = precision_score(y_test_, pred_test)
121     metrics['Sensitivity'] = recall_score(y_test_, pred_test)
122     cm = confusion_matrix(y_test_, pred_test)
123     metrics['Specifity'] = cm[0,0]/(cm[0,1]+cm[0,0])
124     return metrics

126 # -----
127 # Run search
128 # -----
129 used = [1,4,6,9]
130 groups = ['CowId', 'Lactation']
131 feature_names = ['Lactation', 'DaysInMilk', 'MilkYield', 'StepsPerHour', '↵
    LyingDuration']
132 label_name = 'Lscore'
133 window_length = 27
134 obs_shape = (167,)
135 n_neurons_1st = 6
136 n_neurons_other = 4
137 n_layers_other = 2
138 learning_rate_values = [0.0005, 0.001, 0.005, 0.01, 0.05]
139 batch_size_values = [8, 16, 32, 64, 128]
140 name = 'fe-mlp_search'
141 ts = time.strftime('%Y-%m-%d_%H%M%S', time.localtime())
142 output = name+'_'+ts
143 data_folder = '../data/'
144 log_folder = '../tb_log/'
145 log_folder = os.path.join(log_folder, output)

147 classifier = FeMlpSearcher(used, n_neurons_1st, n_neurons_other, ↵
    n_layers_other, learning_rate_values, batch_size_values)
148 classifier.import_data(data_folder, n_proc=4, groups=groups, feature_names=↵
    feature_names, label_name=label_name, window_length=window_length, ↵
    obs_shape=obs_shape, idx_constants=[0,1], idx_time_deps=[2,3,4])
149 results = classifier.gridsearch(log_folder=log_folder)

151 results.to_csv(output+'.csv')
```

## Listing A.12: Skript fe-mlp\_eval.py

```

1  #!/usr/bin/env python3
2  # -*- coding: utf-8 -*-

4  # -----
5  import sys
6  import os
7  import time
8  import pickle
9  import numpy as np
10 import pandas as pd
11 import tensorflow as tf
12 from datetime import datetime
13 from tensorflow import keras
14 from sklearn.metrics import accuracy_score, precision_score, recall_score, ←
    confusion_matrix
15 from src.AbstractEvaluator import AbstractEvaluator
16 from src.winfunc import add_spectra_and_sd

18 # -----
19 # Define specific class
20 # -----
21 class FeMlpEvaluator(AbstractEvaluator):

23     def __init__(self, left_ou, n_neurons_1st, n_neurons_other, ←
        n_layers_other, learning_rate, batch_size):
24         self.left_out = left_out
25         self.n_neurons_1st = n_neurons_1st
26         self.n_neurons_other = n_neurons_other
27         self.n_layers_other = n_layers_other
28         self.learning_rate = learning_rate
29         self.batch_size = batch_size
30         self.X_train = None
31         self.Y_train = None
32         self.X_test = None
33         self.Y_test = None
34         self.metrics = None

36     @classmethod
37     def window_function(cls, window_data, **kwargs):
38         transformed = add_spectra_and_sd(window_data, kwargs['←
            idx_constants'], kwargs['idx_time_deps'])
39         return transformed

41     def prepare_fit(self, x_train, y_train, x_test, y_test, learning_rate, ←
        batch_size, log_folder):
42         y_train_ = y_train.astype(int)
43         y_test_ = y_test.astype(int)
44         self.metrics = pd.DataFrame(columns= [
45             'learning_rate', 'batch_size',
46             'Accuracy',
47             'Train_Accuracy',
48             'Precision',
49             'Sensitivity',
50             'Specificity',
51             'Time_train',
52             'Time_test'
53         ])
54         metrics = {
55             'Accuracy' : np.nan,
56             'Train_Accuracy' : np.nan,
57             'Precision' : np.nan,
58             'Sensitivity' : np.nan,
59             'Specificity' : np.nan,
60             'Time_train' : np.nan,
61             'Time_test' : np.nan

```



```

62     }
63     kernel_initializer = 'lecun_normal'
64     activation = 'selu'
65     n_neurons_1st = self.n_neurons_1st
66     n_neurons_other = self.n_neurons_other
67     n_layers_other = self.n_layers_other
68     n_epochs = 1000
69     # set random seed for reproducible results
70     tf.random.set_seed(42)
71     # data normalization layer
72     norm_layer = keras.layers.experimental.preprocessing.Normalization()
73     norm_layer.adapt(x_train)
74     # build model
75     model = keras.models.Sequential()
76     model.add(keras.layers.InputLayer(input_shape=x_train.shape[1:]))
77     model.add(norm_layer)
78     model.add(keras.layers.Dense(
79         n_neurons_1st,
80         kernel_initializer=kernel_initializer,
81         activation=activation
82     ))
83     for layer in range(n_layers_other):
84         model.add(keras.layers.Dense(
85             n_neurons_other,
86             kernel_initializer=kernel_initializer,
87             activation=activation
88         ))
89     model.add(keras.layers.Dense(1, activation='sigmoid'))
90     model.compile(loss='binary_crossentropy', optimizer=keras.optimizers.Nadam(learning_rate=learning_rate), metrics=['accuracy'])
91     run_log_folder = 'N' + str(y_train.shape[0])
92     run_log_folder = os.path.join(log_folder, run_log_folder)
93     # train model
94     time_start = datetime.now()
95     model.fit(
96         x_train, y_train_,
97         validation_data=(x_test, y_test_),
98         batch_size=batch_size, epochs=n_epochs,
99         callbacks = [
100             keras.callbacks.TensorBoard(run_log_folder),
101             keras.callbacks.EarlyStopping(patience=5, restore_best_weights=True)
102         ],
103         verbose=0
104     )
105     metrics['Time_train'] = datetime.now() - time_start
106     pred_train = (model.predict(x_train) > 0.5).astype(int)
107     metrics['Train_Accuracy'] = accuracy_score(y_train_, pred_train)
108     # test model
109     time_start = datetime.now()
110     pred_test = (model.predict(x_test) > 0.5).astype(int)
111     metrics['Time_test'] = datetime.now() - time_start
112     # score
113     metrics['Accuracy'] = accuracy_score(y_test_, pred_test)
114     metrics['Precision'] = precision_score(y_test_, pred_test)
115     metrics['Sensitivity'] = recall_score(y_test_, pred_test)
116     cm = confusion_matrix(y_test_, pred_test)
117     metrics['Specifity'] = cm[0,0]/(cm[0,1]+cm[0,0])
118     result = metrics.copy()
119     result['learning_rate'] = learning_rate
120     result['batch_size'] = batch_size
121     self.metrics = self.metrics.append(result, ignore_index=True)
122     return metrics

```

124 # -----

```

125 # Run evaluation
126 # -----
127 left_out = int(sys.argv[1])
128 groups = ['CowId', 'Lactation']
129 feature_names = ['Lactation', 'DaysInMilk', 'MilkYield', 'StepsPerHour', '↵
    LyingDuration']
130 label_name = 'Lscore'
131 window_length = 27
132 obs_shape = (167,)
133 n_neurons_1st = 6
134 n_neurons_other = 4
135 n_layers_other = 2
136 learning_rate = 0.0005
137 batch_size = 32
138 name = 'fe-mlp_eval'+str(left_out)
139 ts = time.strftime('%Y-%m-%d_%H%M%S', time.localtime())
140 output = name+'_'+ts
141 data_folder = '../data/'
142 log_folder = '../tb_log/'
143 log_folder = os.path.join(log_folder, output)

145 classifier = FeMlpEvaluator(left_out, n_neurons_1st, n_neurons_other, ↵
    n_layers_other, learning_rate, batch_size)
146 classifier.import_data(data_folder, n_proc=4, groups=groups, feature_names=↵
    feature_names, label_name=label_name, window_length=window_length, ↵
    obs_shape=obs_shape, idx_constants=[0,1], idx_time_deps=[2,3,4])
147 result = classifier.prepare_fit(x_train=classifier.X_train, y_train=↵
    classifier.Y_train, x_test=classifier.X_test, y_test=classifier.Y_test, ↵
    learning_rate=learning_rate, batch_size=batch_size, log_folder=↵
    log_folder)

149 print(f"\nEvaluate FE-MLP on left_out={left_out} with parameters:\n↵
    -----\n\n")
150 print(f"learning_rate={learning_rate}")
151 print(f"batch_size={batch_size}")
152 print('\n----\n')
153 print(f"Output: {output}")
154 print('\n----\n')
155 print(f"Accuracy: {result['Accuracy']} (Training accuracy: {result['↵
    Train_Accuracy']}")
156 print(f"Precision: {result['Precision']}")
157 print(f"Sensitivity: {result['Sensitivity']}")
158 print(f"Specificity: {result['Specificity']}")
159 print(f"Time_train: {result['Time_train']}")
160 print(f"Time_test: {result['Time_test']}")

```

---

## **A.3 Ausführbare Skripte — Ende-zu-Ende-Ansätze**

Listing A.13: Skript e2e-mlp\_search.py

```

1  #!/usr/bin/env python3
2  # -*- coding: utf-8 -*-

4  # -----
5  import os
6  import time
7  import numpy as np
8  import pandas as pd
9  import tensorflow as tf
10 from sklearn.model_selection import LeaveOneGroupOut
11 from tensorflow import keras
12 from sklearn.metrics import accuracy_score, precision_score, recall_score, ←
    confusion_matrix
13 from src.AbstractSearcher2 import AbstractSearcher2

15 # -----
16 # Define specific class
17 # -----
18 class E2eMlpSearcher(AbstractSearcher2):

20     def __init__(self, used, n_neurons_1st, n_neurons_other, n_layers_other, ←
        learning_rate_values, batch_size_values):
21         self.used = used
22         self.n_neurons_1st = n_neurons_1st
23         self.n_neurons_other = n_neurons_other
24         self.n_layers_other = n_layers_other
25         self.learning_rate_values = learning_rate_values
26         self.batch_size_values = batch_size_values
27         self.logo = LeaveOneGroupOut()
28         self.X_const = None
29         self.X_var = None
30         self.Y = None
31         self.Split = None
32         self.metrics = None

34     @classmethod
35     def window_function(cls, window_data, **kwargs):
36         return window_data.flatten()

38     def gridsearch(self, **kwargs):
39         self.metrics = pd.DataFrame(columns= [
40             'learning_rate', 'batch_size',
41             'Accuracy_mean', 'Accuracy_sd',
42             'Precision_mean', 'Precision_sd',
43             'Sensitivity_mean', 'Sensitivity_sd',
44             'Specifity_mean', 'Specifity_sd',
45             'Time_train_mean', 'Time_train_sd',
46             'Time_test_mean', 'Time_test_sd'
47         ])
48         for learning_rate in self.learning_rate_values:
49             for batch_size in self.batch_size_values:
50                 cv_result = self.crossvalidate(learning_rate=←
                    learning_rate, batch_size=batch_size, log_folder=←
                    log_folder)
51                 cv_result['learning_rate'] = learning_rate
52                 cv_result['batch_size'] = batch_size
53                 self.metrics = self.metrics.append(cv_result, ←
                    ignore_index=True)
54                 self.metrics = self.metrics.sort_values(by=['Accuracy_mean'], ←
                    ascending=False)
55                 return self.metrics

57     def prepare_fit(self, x_const_train, x_var_train, y_train, x_const_test, ←
        x_var_test, y_test, learning_rate, batch_size, log_folder):
58         x_train = np.hstack((x_const_train, x_var_train))

```

```

59     x_test = np.hstack((x_const_test, x_var_test))
60     y_train_ = y_train.astype(int)
61     y_test_ = y_test.astype(int)
62     metrics = {
63         'Accuracy' : np.nan,
64         'Precision' : np.nan,
65         'Sensitivity' : np.nan,
66         'Specifity' : np.nan,
67         'Time_train' : np.nan,
68         'Time_test' : np.nan
69     }
70     kernel_initializer = 'lecun_normal'
71     activation = 'selu'
72     n_neurons_1st = self.n_neurons_1st
73     n_neurons_other = self.n_neurons_other
74     n_layers_other = self.n_layers_other
75     n_epochs = 1000
76     # set random seed for reproducible results
77     tf.random.set_seed(42)
78     # data normalization layer
79     norm_layer = keras.layers.experimental.preprocessing.Normalization()
80     norm_layer.adapt(x_train)
81     # build model
82     model = keras.models.Sequential()
83     model.add(keras.layers.InputLayer(input_shape=x_train.shape[1:]))
84     model.add(norm_layer)
85     model.add(keras.layers.Dense(
86         n_neurons_1st,
87         kernel_initializer=kernel_initializer,
88         activation=activation
89     ))
90     for layer in range(n_layers_other):
91         model.add(keras.layers.Dense(
92             n_neurons_other,
93             kernel_initializer=kernel_initializer,
94             activation=activation
95         ))
96     model.add(keras.layers.Dense(1, activation='sigmoid'))
97     model.compile(loss='binary_crossentropy', optimizer=keras.optimizers.Nadam(learning_rate=learning_rate), metrics=['accuracy'])
98     run_log_folder = 'N'+str(y_train.shape[0])
99     run_log_folder = os.path.join(log_folder, run_log_folder)
100     # train model
101     time_start = time.time()
102     model.fit(
103         x_train, y_train_,
104         validation_data=(x_test, y_test_),
105         batch_size=batch_size, epochs=n_epochs,
106         callbacks = [
107             keras.callbacks.TensorBoard(run_log_folder),
108             keras.callbacks.ReduceLROnPlateau(patience=10, min_delta=0.00001),
109             keras.callbacks.EarlyStopping(patience=20, restore_best_weights=True)
110         ],
111         verbose=0
112     )
113     metrics['Time_train'] = time.time()-time_start
114     pred_train = (model.predict(x_train) > 0.5).astype(int)
115     metrics['Train_Accuracy'] = accuracy_score(y_train_, pred_train)
116     # test model
117     time_start = time.time()
118     pred_test = (model.predict(x_test) > 0.5).astype(int)
119     metrics['Time_test'] = time.time()-time_start
120     # score

```

```
121     metrics['Accuracy'] = accuracy_score(y_test_, pred_test)
122     metrics['Precision'] = precision_score(y_test_, pred_test)
123     metrics['Sensitivity'] = recall_score(y_test_, pred_test)
124     cm = confusion_matrix(y_test_, pred_test)
125     metrics['Specifity'] = cm[0,0] / ( cm[0,1] + cm[0,0] )
126     return metrics

128 # -----
129 # Run search
130 # -----
131 used = [1,4,6,9]
132 groups = ['CowId', 'Lactation']
133 feature_names = ['Lactation', 'DaysInMilk', 'MilkYield', 'StepsPerHour', '↵
    LyingDuration']
134 label_name = 'Lscore'
135 window_length = 27
136 window_shape=(81,)
137 n_neurons_1st = 6
138 n_neurons_other = 4
139 n_layers_other = 2
140 learning_rate_values = [0.0005,0.001,0.005,0.01,0.05]
141 batch_size_values = [8,16,32,64,128]
142 name = 'e2e-mlp_search'
143 ts = time.strftime('%Y-%m-%d_%H%M%S', time.localtime())
144 output = name+'_'+ts
145 data_folder = '../data/'
146 log_folder = '../tb_log/'
147 log_folder = os.path.join(log_folder, output)

149 classifier = E2eMlpSearcher(used, n_neurons_1st, n_neurons_other, ↵
    n_layers_other, learning_rate_values, batch_size_values)
150 classifier.import_data(data_folder, n_proc=4, groups=groups, feature_names=↵
    feature_names, label_name=label_name, window_length=window_length, ↵
    window_shape=window_shape, idx_constants=[0,1], idx_time_deps=[2,3,4], ↵
    labelled_only=True)
151 results = classifier.gridsearch(log_folder=log_folder)

153 results.to_csv(output+'.csv')
```

Listing A.14: Skript e2e-mlp\_eval.py

```

1  #!/usr/bin/env python3
2  # -*- coding: utf-8 -*-

4  # -----
5  import sys
6  import os
7  import time
8  import pickle
9  import numpy as np
10 import pandas as pd
11 import tensorflow as tf
12 from datetime import datetime
13 from tensorflow import keras
14 from sklearn.metrics import accuracy_score, precision_score, recall_score, ←
    confusion_matrix
15 from src.AbstractEvaluator2 import AbstractEvaluator2

17 # -----
18 # Define specific class
19 # -----
20 class E2eMlpEvaluator(AbstractEvaluator2):

22     def __init__(self, left_out, n_neurons_1st, n_neurons_other, ←
        n_layers_other, learning_rate, batch_size):
23         self.left_out = left_out
24         self.n_neurons_1st = n_neurons_1st
25         self.n_neurons_other = n_neurons_other
26         self.n_layers_other = n_layers_other
27         self.learning_rate = learning_rate
28         self.batch_size = batch_size
29         self.X_const_train = None
30         self.X_var_train = None
31         self.Y_train = None
32         self.X_const_test = None
33         self.X_var_test = None
34         self.Y_test = None
35         self.metrics = None

37     @classmethod
38     def window_function(cls, window_data, **kwargs):
39         return window_data.flatten()

41     def prepare_fit(self, x_const_train, x_var_train, y_train, x_const_test, ←
        x_var_test, y_test, learning_rate, batch_size, log_folder):
42         x_train = np.hstack((x_const_train, x_var_train))
43         x_test = np.hstack((x_const_test, x_var_test))
44         y_train_ = y_train.astype(int)
45         y_test_ = y_test.astype(int)
46         self.metrics = pd.DataFrame(columns= [
47             'learning_rate', 'batch_size',
48             'Accuracy',
49             'Train_Accuracy',
50             'Precision',
51             'Sensitivity',
52             'Specifity',
53             'Time_train',
54             'Time_test'
55         ])
56         metrics = {
57             'Accuracy' : np.nan,
58             'Train_Accuracy' : np.nan,
59             'Precision' : np.nan,
60             'Sensitivity' : np.nan,
61             'Specifity' : np.nan,
62             'Time_train' : np.nan,

```

```

63         'Time_test' : np.nan
64     }
65     kernel_initializer = 'lecun_normal'
66     activation = 'selu'
67     n_neurons_1st = self.n_neurons_1st
68     n_neurons_other = self.n_neurons_other
69     n_layers_other = self.n_layers_other
70     n_epochs = 1000
71     # set random seed for reproducible results
72     tf.random.set_seed(42)
73     # data normalization layer
74     norm_layer = keras.layers.experimental.preprocessing.Normalization()
75     norm_layer.adapt(x_train)
76     # build model
77     model = keras.models.Sequential()
78     model.add(keras.layers.InputLayer(input_shape=x_train.shape[1:]))
79     model.add(norm_layer)
80     model.add(keras.layers.Dense(
81         n_neurons_1st,
82         kernel_initializer=kernel_initializer,
83         activation=activation
84     ))
85     for layer in range(n_layers_other):
86         model.add(keras.layers.Dense(
87             n_neurons_other,
88             kernel_initializer=kernel_initializer,
89             activation=activation
90         ))
91     model.add(keras.layers.Dense(1, activation='sigmoid'))
92     model.compile(
93         loss='binary_crossentropy',
94         optimizer=keras.optimizers.Nadam(learning_rate=learning_rate),
95         metrics=['accuracy']
96     )
97     run_log_folder = 'N'+str(y_train.shape[0])
98     run_log_folder = os.path.join(log_folder, run_log_folder)
99     # train model
100    time_start = datetime.now()
101    model.fit(
102        x_train, y_train_,
103        validation_data=(x_test, y_test_),
104        batch_size=batch_size, epochs=n_epochs,
105        callbacks = [
106            keras.callbacks.TensorBoard(run_log_folder),
107            keras.callbacks.ReduceLROnPlateau(patience=10, min_delta=0.00001),
108            keras.callbacks.EarlyStopping(patience=20, restore_best_weights=True)
109        ],
110        verbose=0
111    )
112    metrics['Time_train'] = datetime.now()-time_start
113    pred_train = (model.predict(x_train) > 0.5).astype(int)
114    metrics['Train_Accuracy'] = accuracy_score(y_train_, pred_train)
115    # test model
116    time_start = datetime.now()
117    pred_test = (model.predict(x_test) > 0.5).astype(int)
118    metrics['Time_test'] = datetime.now()-time_start
119    # score
120    metrics['Accuracy'] = accuracy_score(y_test_, pred_test)
121    metrics['Precision'] = precision_score(y_test_, pred_test)
122    metrics['Sensitivity'] = recall_score(y_test_, pred_test)
123    cm = confusion_matrix(y_test_, pred_test)
124    metrics['Specifity'] = cm[0,0] / ( cm[0,1] + cm[0,0] )
125    result = metrics.copy()

```



```

126         result['learning_rate'] = learning_rate
127         result['batch_size'] = batch_size
128         self.metrics = self.metrics.append(result, ignore_index = True)
129         return metrics

131 # -----
132 # Run evaluation
133 # -----
134 left_out = int(sys.argv[1])
135 groups = ['CowId', 'Lactation']
136 feature_names = ['Lactation', 'DaysInMilk', 'MilkYield', 'StepsPerHour', '←
    LyingDuration']
137 label_name = 'Lscore'
138 window_length = 27
139 window_shape=(81,)
140 n_neurons_1st = 6
141 n_neurons_other = 4
142 n_layers_other = 2
143 learning_rate = 0.005
144 batch_size = 128
145 name = 'e2e-mlp_eval'+str(left_out)
146 ts = time.strftime('%Y-%m-%d_%H%M%S', time.localtime())
147 output = name+'_'+ts
148 data_folder = '../data/'
149 log_folder = '../tb_log/'
150 log_folder = os.path.join(log_folder, output)

152 classifier = E2eMlpEvaluator(left_out, n_neurons_1st, n_neurons_other, ←
    n_layers_other, learning_rate, batch_size)
153 classifier.import_data(data_folder, n_proc=4, groups=groups, feature_names=←
    feature_names, label_name=label_name, window_length=window_length, ←
    window_shape=window_shape, idx_constants=[0,1], idx_time_deps=[2,3,4], ←
    labelled_only=True)
154 result = classifier.prepare_fit(x_const_train=classifier.X_const_train, ←
    x_var_train=classifier.X_var_train, y_train=classifier.Y_train, ←
    x_const_test=classifier.X_const_test, x_var_test=classifier.X_var_test ←
    , y_test=classifier.Y_test, learning_rate=learning_rate, batch_size=←
    batch_size, log_folder=log_folder)

156 print(f"\nEvaluate E2E-MLP on left_out={left_out} with parameters:\n←
    -----\n\n")
157 print(f"learning_rate={learning_rate}")
158 print(f"batch_size={batch_size}")
159 print('\n----\n')
160 print(f"Output: {output}")
161 print('\n----\n')
162 print(f"Accuracy: {result['Accuracy']} (Training accuracy: {result['←
    Train_Accuracy']})")
163 print(f"Precision: {result['Precision']}")
164 print(f"Sensitivity: {result['Sensitivity']}")
165 print(f"Specificity: {result['Specificity']}")
166 print(f"Time_train: {result['Time_train']}")
167 print(f"Time_test: {result['Time_test']}")

```

Listing A.15: Skript e2e-cnn\_search.py

```

1  #!/usr/bin/env python3
2  # -*- coding: utf-8 -*-

4  # -----
5  import os
6  import time
7  import numpy as np
8  import pandas as pd
9  import tensorflow as tf
10 from sklearn.model_selection import LeaveOneGroupOut
11 from tensorflow import keras
12 from sklearn.metrics import accuracy_score, precision_score, recall_score, ←
    confusion_matrix
13 from src.AbstractSearcher2 import AbstractSearcher2
14 from src.winfunc import transpose

16 # -----
17 # Define specific class
18 # -----
19 class E2eCnnSearcher(AbstractSearcher2):

21     def __init__(self, used, learning_rate_values, batch_size_values):
22         self.used = used
23         self.learning_rate_values = learning_rate_values
24         self.batch_size_values = batch_size_values
25         self.logo = LeaveOneGroupOut()
26         self.X_const = None
27         self.X_var = None
28         self.Y = None
29         self.Split = None
30         self.metrics = None

32     def gridsearch(self, **kwargs):
33         self.metrics = pd.DataFrame(columns= [
34             'learning_rate', 'batch_size',
35             'Accuracy_mean', 'Accuracy_sd',
36             'Precision_mean', 'Precision_sd',
37             'Sensitivity_mean', 'Sensitivity_sd',
38             'Specifity_mean', 'Specifity_sd',
39             'Time_train_mean', 'Time_train_sd',
40             'Time_test_mean', 'Time_test_sd'
41         ])
42         for learning_rate in self.learning_rate_values:
43             for batch_size in self.batch_size_values:
44                 cv_result = self.crossvalidate(learning_rate=←
                    learning_rate, batch_size=batch_size, log_folder=←
                    log_folder)
45                 cv_result['learning_rate'] = learning_rate
46                 cv_result['batch_size'] = batch_size
47                 self.metrics = self.metrics.append(cv_result, ←
                    ignore_index=True)
48                 self.metrics = self.metrics.sort_values(by=['Accuracy_mean'], ←
                    ascending=False)
49                 return self.metrics

51     def prepare_fit(self, x_const_train, x_var_train, y_train, x_const_test, ←
        x_var_test, y_test, learning_rate, batch_size, log_folder, **kwargs):
52         y_train_ = y_train.astype(int)
53         y_test_ = y_test.astype(int)
54         metrics = {
55             'Accuracy' : np.nan,
56             'Precision' : np.nan,
57             'Sensitivity' : np.nan,
58             'Specifity' : np.nan,
59             'Time_train' : np.nan,

```

```

60         'Time_test' : np.nan
61     }
62     kernel_initializer = 'he_normal'
63     activation = 'elu'
64     n_epochs = 1000
65     # set random seed for reproducible results
66     tf.random.set_seed(42)
67     # data normalization layers
68     norm_layer_const = keras.layers.experimental.preprocessing.Normalization()
69     norm_layer_const.adapt(x_const_train)
70     norm_layer_var = keras.layers.experimental.preprocessing.Normalization()
71     norm_layer_var.adapt(x_var_train)
72     # build model
73     input_const = keras.layers.Input(shape=x_const_train.shape[1:])
74     norm_const = norm_layer_const(input_const)
75     layer_const = keras.layers.Dense(2, activation=activation, kernel_initializer=kernel_initializer)(norm_const)
76     input_var = keras.layers.Input(shape=x_var_train.shape[1:])
77     norm_var = norm_layer_var(input_var)
78     conv1_var = keras.layers.Conv1D(
79         filters=128, kernel_size=8,
80         kernel_initializer=kernel_initializer,
81         use_bias=False,
82         padding='same'
83     )(norm_var)
84     bn1_var = keras.layers.BatchNormalization()(conv1_var)
85     act1_var = keras.layers.ELU()(bn1_var)
86     conv2_var = keras.layers.Conv1D(
87         filters=256, kernel_size=5,
88         kernel_initializer=kernel_initializer,
89         use_bias=False,
90         padding='same'
91     )(act1_var)
92     bn2_var = keras.layers.BatchNormalization()(conv2_var)
93     act2_var = keras.layers.ELU()(bn2_var)
94     conv3_var = keras.layers.Conv1D(
95         filters=128, kernel_size=3,
96         kernel_initializer=kernel_initializer,
97         use_bias=False,
98         padding='same'
99     )(act2_var)
100    bn3_var = keras.layers.BatchNormalization()(conv3_var)
101    act3_var = keras.layers.ELU()(bn3_var)
102    features_var = keras.layers.GlobalAveragePooling1D()(act3_var)
103    join = keras.layers.concatenate([layer_const, features_var])
104    out_layer = keras.layers.Dense(1, activation='sigmoid')(join)
105    model = keras.models.Model([input_const, input_var], out_layer)
106    model.compile(loss='binary_crossentropy', optimizer=keras.optimizers.Nadam(learning_rate=learning_rate), metrics=['accuracy'])
107    run_log_folder = 'N'+str(y_train.shape[0])
108    run_log_folder = os.path.join(log_folder, run_log_folder)
109    # train model
110    time_start = time.time()
111    model.fit(
112        [x_const_train, x_var_train], y_train,
113        validation_data=(x_const_test, x_var_test, y_test),
114        batch_size=batch_size, epochs=n_epochs,
115        callbacks = [
116            keras.callbacks.TensorBoard(run_log_folder),
117            keras.callbacks.ReduceLROnPlateau(patience=10, min_delta=0.00001),
118            keras.callbacks.EarlyStopping(patience=20, restore_best_weights=True)
119        ],
120        verbose=0

```

```

121         )
122         metrics['Time_train'] = time.time()-time_start
123         pred_train = (model.predict([x_const_train,x_var_train]) > 0.5).↵
124             astype(int)
125         metrics['Train_Accuracy'] = accuracy_score(y_train_,pred_train)
126         # test model
127         time_start = time.time()
128         pred_test = (model.predict([x_const_test,x_var_test]) > 0.5).↵
129             astype(int)
130         metrics['Time_test'] = time.time()-time_start
131         # score
132         metrics['Accuracy'] = accuracy_score(y_test_,pred_test)
133         metrics['Precision'] = precision_score(y_test_,pred_test)
134         metrics['Sensitivity'] = recall_score(y_test_,pred_test)
135         cm = confusion_matrix(y_test_,pred_test)
136         metrics['Specifity'] = cm[0,0] / ( cm[0,1] + cm[0,0] )
137         return metrics
138
139 # -----
140 # Run search
141 # -----
142 used = [1,4,6,9]
143 groups = ['CowId','Lactation']
144 feature_names = ['Lactation','DaysInMilk','MilkYield','StepsPerHour','↵
145     LyingDuration']
146 label_name = 'Lscore'
147 window_length = 27
148 window_shape = (27,3)
149 learning_rate_values = [0.0005,0.001,0.005,0.01,0.05]
150 batch_size_values = [8,16,32,64,128]
151 name = 'e2e-cnn_search'
152 ts = time.strftime('%Y-%m-%d_%H%M%S',time.localtime())
153 output = name+'_'+ts
154 data_folder = '../data/'
155 log_folder = '../tb_log/'
156 log_folder = os.path.join(log_folder,output)
157
158 classifier = E2eCnnSearcher(used,learning_rate_values,batch_size_values)
159 classifier.import_data(data_folder,n_proc=4,groups=groups,feature_names=↵
160     feature_names,label_name=label_name,window_length=window_length,↵
161     window_shape=window_shape,idx_constants=[0,1],idx_time_deps=[2,3,4],↵
162     labelled_only=True)
163 results = classifier.gridsearch(log_folder=log_folder)
164
165 results.to_csv(output+'.csv')

```

Listing A.16: Skript e2e-cnn\_eval.py

```

1  #!/usr/bin/env python3
2  # -*- coding: utf-8 -*-

4  # -----
5  import sys
6  import os
7  import time
8  import pickle
9  import numpy as np
10 import pandas as pd
11 import tensorflow as tf
12 from datetime import datetime
13 from tensorflow import keras
14 from sklearn.metrics import accuracy_score, precision_score, recall_score, ←
    confusion_matrix
15 from src.AbstractEvaluator2 import AbstractEvaluator2

17 # -----
18 # Define specific class
19 # -----
20 class E2eCnnEvaluator(AbstractEvaluator2):

22     def __init__(self, left_out, learning_rate, batch_size):
23         self.left_out = left_out
24         self.learning_rate = learning_rate
25         self.batch_size = batch_size
26         self.X_const_train = None
27         self.X_var_train = None
28         self.Y_train = None
29         self.X_const_test = None
30         self.X_var_test = None
31         self.Y_test = None
32         self.metrics = None

34     def prepare_fit(self, x_const_train, x_var_train, y_train, x_const_test, ←
x_var_test, y_test, learning_rate, batch_size, log_folder):
35         y_train_ = y_train.astype(int)
36         y_test_ = y_test.astype(int)
37         self.metrics = pd.DataFrame(columns= [
38             'learning_rate', 'batch_size',
39             'Accuracy',
40             'Train_Accuracy',
41             'Precision',
42             'Sensitivity',
43             'Specificity',
44             'Time_train',
45             'Time_test'
46         ])
47         metrics = {
48             'Accuracy' : np.nan,
49             'Train_Accuracy' : np.nan,
50             'Precision' : np.nan,
51             'Sensitivity' : np.nan,
52             'Specificity' : np.nan,
53             'Time_train' : np.nan,
54             'Time_test' : np.nan
55         }
56         kernel_initializer = 'he_normal'
57         activation = 'elu'
58         n_epochs = 1000
59         # set random seed for reproducible results
60         tf.random.set_seed(42)
61         # data normalization layers
62         norm_layer_const = keras.layers.experimental.preprocessing. ←
Normalization()

```

```

63     norm_layer_const.adapt(x_const_train)
64     norm_layer_var = keras.layers.experimental.preprocessing.Normalization()
65     norm_layer_var.adapt(x_var_train)
66     # build model
67     input_const = keras.layers.Input(shape=x_const_train.shape[1:])
68     norm_const = norm_layer_const(input_const)
69     layer_const = keras.layers.Dense(2, activation=activation, kernel_initializer=kernel_initializer)(norm_const)
70     input_var = keras.layers.Input(shape=x_var_train.shape[1:])
71     norm_var = norm_layer_var(input_var)
72     conv1_var = keras.layers.Conv1D(
73         filters=128, kernel_size=8,
74         kernel_initializer=kernel_initializer,
75         use_bias=False,
76         padding='same'
77     )(norm_var)
78     bn1_var = keras.layers.BatchNormalization()(conv1_var)
79     act1_var = keras.layers.ELU()(bn1_var)
80     conv2_var = keras.layers.Conv1D(
81         filters=256, kernel_size=5,
82         kernel_initializer=kernel_initializer,
83         use_bias=False,
84         padding='same'
85     )(act1_var)
86     bn2_var = keras.layers.BatchNormalization()(conv2_var)
87     act2_var = keras.layers.ELU()(bn2_var)
88     conv3_var = keras.layers.Conv1D(
89         filters=128, kernel_size=3,
90         kernel_initializer=kernel_initializer,
91         use_bias=False,
92         padding='same'
93     )(act2_var)
94     bn3_var = keras.layers.BatchNormalization()(conv3_var)
95     act3_var = keras.layers.ELU()(bn3_var)
96     features_var = keras.layers.GlobalAveragePooling1D()(act3_var)
97     join = keras.layers.concatenate([layer_const, features_var])
98     out_layer = keras.layers.Dense(1, activation='sigmoid')(join)
99     model = keras.models.Model([input_const, input_var], out_layer)
100    model.compile(loss='binary_crossentropy', optimizer=keras.optimizers.Nadam(learning_rate=learning_rate), metrics=['accuracy'])
101    run_log_folder = 'N'+str(y_train.shape[0])
102    run_log_folder = os.path.join(log_folder, run_log_folder)
103    # train model
104    time_start = datetime.now()
105    model.fit(
106        [x_const_train, x_var_train], y_train_,
107        validation_data=( [x_const_test, x_var_test], y_test_ ),
108        batch_size=batch_size, epochs=n_epochs,
109        callbacks = [
110            keras.callbacks.TensorBoard(run_log_folder),
111            keras.callbacks.ReduceLROnPlateau(patience=10, min_delta=0.00001),
112            keras.callbacks.EarlyStopping(patience=20, restore_best_weights=True)
113        ],
114        verbose=0
115    )
116    metrics['Time_train'] = datetime.now()-time_start
117    pred_train = (model.predict([x_const_train, x_var_train]) > 0.5).astype(int)
118    metrics['Train_Accuracy'] = accuracy_score(y_train_, pred_train)
119    # test model
120    time_start = datetime.now()
121    pred_test = (model.predict([x_const_test, x_var_test]) > 0.5).astype(int)
122    metrics['Time_test'] = datetime.now()-time_start

```

```

123         # score
124         metrics['Accuracy'] = accuracy_score(y_test_, pred_test)
125         metrics['Precision'] = precision_score(y_test_, pred_test)
126         metrics['Sensitivity'] = recall_score(y_test_, pred_test)
127         cm = confusion_matrix(y_test_, pred_test)
128         metrics['Specifity'] = cm[0,0]/(cm[0,1]+cm[0,0])
129         result = metrics.copy()
130         result['learning_rate'] = learning_rate
131         result['batch_size'] = batch_size
132         self.metrics = self.metrics.append(result, ignore_index=True)
133         return metrics

135     # -----
136     # Run evaluation
137     # -----
138     left_out = int(sys.argv[1])
139     groups = ['CowId', 'Lactation']
140     feature_names = ['Lactation', 'DaysInMilk', 'MilkYield', 'StepsPerHour', '↵
        LyingDuration']
141     label_name = 'Lscore'
142     window_length = 27
143     window_shape = (27,3)
144     learning_rate = 0.05
145     batch_size = 32
146     name = 'e2e-cnn_eval'+str(left_out)
147     ts = time.strftime('%Y-%m-%d_%H%M%S', time.localtime())
148     output = name+'_'+ts
149     data_folder = '../data/'
150     log_folder = '../tb_log/'
151     log_folder = os.path.join(log_folder, output)

153     classifier = E2eCnnEvaluator(left_out, learning_rate, batch_size)
154     classifier.import_data(data_folder, n_proc=4, groups=groups, feature_names=↵
        feature_names, label_name=label_name, window_length=window_length, ↵
        window_shape=window_shape, idx_constants=[0,1], idx_time_deps=[2,3,4], ↵
        labelled_only=True)
155     result = classifier.prepare_fit(x_const_train=classifier.X_const_train, ↵
        x_var_train=classifier.X_var_train, y_train=classifier.Y_train, ↵
        x_const_test=classifier.X_const_test, x_var_test=classifier.X_var_test ↵
        , y_test=classifier.Y_test, learning_rate=learning_rate, batch_size=↵
        batch_size, log_folder=log_folder)

157     print(f"\nEvaluate E2E-CNN on {left_out} with parameters:\n↵
        -----\n\n")
158     print(f"learning_rate={learning_rate}")
159     print(f"batch_size={batch_size}")
160     print('\n----\n')
161     print(f"Output: {output}")
162     print('\n----\n')
163     print(f"Accuracy: {result['Accuracy']} (Training accuracy: {result['↵
        Train_Accuracy']})")
164     print(f"Precision: {result['Precision']}")
165     print(f"Sensitivity: {result['Sensitivity']}")
166     print(f"Specifity: {result['Specifity']}")
167     print(f"Time_train: {result['Time_train']}")
168     print(f"Time_test: {result['Time_test']}")

```

Listing A.17: Skript e2e-gru\_search.py

```

1  #!/usr/bin/env python3
2  # -*- coding: utf-8 -*-

4  # -----
5  # requires numpy=1.19
6  # -----

7  import os
8  import time
9  import numpy as np
10 import pandas as pd
11 import tensorflow as tf
12 from sklearn.model_selection import LeaveOneGroupOut
13 from tensorflow import keras
14 from sklearn.metrics import accuracy_score, precision_score, recall_score, ←
    confusion_matrix
15 from src.AbstractSearcher2 import AbstractSearcher2
16 from src.winfunc import transpose

18 # -----
19 # Define specific class
20 # -----
21 class E2eGruSearcher(AbstractSearcher2):

23     def __init__(self, used, learning_rate_values, batch_size_values):
24         self.used = used
25         self.learning_rate_values = learning_rate_values
26         self.batch_size_values = batch_size_values
27         self.logo = LeaveOneGroupOut()
28         self.X_const = None
29         self.X_var = None
30         self.Y = None
31         self.Split = None
32         self.metrics = None

34     def gridsearch(self, **kwargs):
35         self.metrics = pd.DataFrame(columns= [
36             'learning_rate', 'batch_size',
37             'Accuracy_mean', 'Accuracy_sd',
38             'Precision_mean', 'Precision_sd',
39             'Sensitivity_mean', 'Sensitivity_sd',
40             'Specifity_mean', 'Specifity_sd',
41             'Time_train_mean', 'Time_train_sd',
42             'Time_test_mean', 'Time_test_sd'
43         ])
44         for learning_rate in self.learning_rate_values:
45             for batch_size in self.batch_size_values:
46                 cv_result = self.crossvalidate(learning_rate=←
                    learning_rate, batch_size=batch_size, log_folder=←
                    log_folder)
47                 cv_result['learning_rate'] = learning_rate
48                 cv_result['batch_size'] = batch_size
49                 self.metrics = self.metrics.append(cv_result, ←
                    ignore_index=True)
50         self.metrics = self.metrics.sort_values(by=['Accuracy_mean'], ←
            ascending=False)
51         return self.metrics

53     def prepare_fit(self, x_const_train, x_var_train, y_train, x_const_test, ←
        x_var_test, y_test, learning_rate, batch_size, log_folder, **kwargs):
54         y_train_ = y_train.astype(int)
55         y_test_ = y_test.astype(int)
56         metrics = {
57             'Accuracy' : np.nan,
58             'Precision' : np.nan,
59             'Sensitivity' : np.nan,

```



```

60         'Specificity' : np.nan,
61         'Time_train' : np.nan,
62         'Time_test' : np.nan
63     }
64     n_epochs = 1000
65     # set random seed for reproducible results
66     tf.random.set_seed(42)
67     # data normalization layers
68     norm_layer_const = keras.layers.experimental.preprocessing.Normalization()
69     norm_layer_const.adapt(x_const_train)
70     norm_layer_var = keras.layers.experimental.preprocessing.Normalization()
71     norm_layer_var.adapt(x_var_train)
72     # build model
73     input_const = keras.layers.Input(shape=x_const_train.shape[1:])
74     norm_const = norm_layer_const(input_const)
75     layer_const = keras.layers.Dense(2, activation='elu', kernel_initializer='he_normal')(norm_const)
76     input_var = keras.layers.Input(shape=x_var_train.shape[1:])
77     norm_var = norm_layer_var(input_var)
78     rec1_var = keras.layers.GRU(units=16, return_sequences=True)(norm_var)
79     rec2_var = keras.layers.GRU(units=16, return_sequences=True)(rec1_var)
80     rec3_var = keras.layers.GRU(units=16)(rec2_var)
81     join = keras.layers.concatenate([layer_const, rec3_var])
82     dense = keras.layers.Dense(6, activation='elu', kernel_initializer='he_normal')(join)
83     out_layer = keras.layers.Dense(1, activation='sigmoid')(dense)
84     model = keras.models.Model([input_const, input_var], out_layer)
85     model.compile(loss='binary_crossentropy', optimizer=keras.optimizers.Nadam(learning_rate=learning_rate), metrics=['accuracy'])
86     run_log_folder = 'N' + str(y_train.shape[0])
87     run_log_folder = os.path.join(log_folder, run_log_folder)
88     # train model
89     time_start = time.time()
90     model.fit(
91         [x_const_train, x_var_train], y_train_,
92         validation_data=( [x_const_test, x_var_test], y_test_ ),
93         batch_size=batch_size, epochs=n_epochs,
94         callbacks = [
95             keras.callbacks.TensorBoard(run_log_folder),
96             keras.callbacks.ReduceLROnPlateau(patience=10, min_delta=0.00001),
97             keras.callbacks.EarlyStopping(patience=20, restore_best_weights=True)
98         ],
99         verbose=0
100     )
101     metrics['Time_train'] = time.time() - time_start
102     pred_train = (model.predict([x_const_train, x_var_train]) > 0.5).astype(int)
103     metrics['Train_Accuracy'] = accuracy_score(y_train_, pred_train)
104     # test model
105     time_start = time.time()
106     pred_test = (model.predict([x_const_test, x_var_test]) > 0.5).astype(int)
107     metrics['Time_test'] = time.time() - time_start
108     # score
109     metrics['Accuracy'] = accuracy_score(y_test_, pred_test)
110     metrics['Precision'] = precision_score(y_test_, pred_test)
111     metrics['Sensitivity'] = recall_score(y_test_, pred_test)
112     cm = confusion_matrix(y_test_, pred_test)
113     metrics['Specificity'] = cm[0,0]/(cm[0,1]+cm[0,0])
114     return metrics
115

```

```
117 # -----
118 # Run search
119 # -----
120 used = [1,4,6,9]
121 groups = ['CowId','Lactation']
122 feature_names = ['Lactation','DaysInMilk','MilkYield','StepsPerHour','↵
    LyingDuration']
123 label_name = 'Lscore'
124 window_length = 27
125 window_shape = (27,3)
126 learning_rate_values = [0.0005,0.001,0.005,0.01,0.05]
127 batch_size_values = [8,16,32,64,128]
128 name = 'e2e-gru_search'
129 ts = time.strftime('%Y-%m-%d_%H%M%S',time.localtime())
130 output = name+'_'+ts
131 data_folder = '../data/'
132 log_folder = '../tb_log/'
133 log_folder = os.path.join(log_folder,output)

135 classifier = E2eGruSearcher(used,learning_rate_values,batch_size_values)
136 classifier.import_data(data_folder,n_proc=4,groups=groups,feature_names=↵
    feature_names,label_name=label_name,window_length=window_length,↵
    window_shape=window_shape,idx_constants=[0,1],idx_time_deps=[2,3,4],↵
    labelled_only=True)
137 results = classifier.gridsearch(log_folder=log_folder)

139 results.to_csv(output+'.csv')
```

Listing A.18: Skript e2e-gru\_eval.py

```

1  #!/usr/bin/env python3
2  # -*- coding: utf-8 -*-

4  # -----
5  # requires numpy=1.19
6  # -----

7  import sys
8  import os
9  import time
10 import pickle
11 import numpy as np
12 import pandas as pd
13 import tensorflow as tf
14 from datetime import datetime
15 from tensorflow import keras
16 from sklearn.metrics import accuracy_score, precision_score, recall_score, ←
   confusion_matrix
17 from src.AbstractEvaluator2 import AbstractEvaluator2

19 # -----
20 # Define specific class
21 # -----
22 class E2eGruEvaluator(AbstractEvaluator2):

24     def __init__(self, left_out, learning_rate, batch_size):
25         self.left_out = left_out
26         self.learning_rate = learning_rate
27         self.batch_size = batch_size
28         self.X_const_train = None
29         self.X_var_train = None
30         self.Y_train = None
31         self.X_const_test = None
32         self.X_var_test = None
33         self.Y_test = None
34         self.metrics = None

36     def prepare_fit(self, x_const_train, x_var_train, y_train, x_const_test, ←
   x_var_test, y_test, learning_rate, batch_size, log_folder):
37         y_train_ = y_train.astype(int)
38         y_test_ = y_test.astype(int)
39         self.metrics = pd.DataFrame(columns= [
40             'learning_rate', 'batch_size',
41             'Accuracy',
42             'Train_Accuracy',
43             'Precision',
44             'Sensitivity',
45             'Specifity',
46             'Time_train',
47             'Time_test'
48         ])
49         metrics = {
50             'Accuracy' : np.nan,
51             'Train_Accuracy' : np.nan,
52             'Precision' : np.nan,
53             'Sensitivity' : np.nan,
54             'Specifity' : np.nan,
55             'Time_train' : np.nan,
56             'Time_test' : np.nan
57         }
58         n_epochs = 1000
59         # set random seed for reproducible results
60         tf.random.set_seed(42)
61         # data normalization layers
62         norm_layer_const = keras.layers.experimental.preprocessing. ←
   Normalization()

```

```

63     norm_layer_const.adapt(x_const_train)
64     norm_layer_var = keras.layers.experimental.preprocessing.Normalization()
65     norm_layer_var.adapt(x_var_train)
66     # build model
67     input_const = keras.layers.Input(shape=x_const_train.shape[1:])
68     norm_const = norm_layer_const(input_const)
69     layer_const = keras.layers.Dense(2, activation='elu', kernel_initializer='he_normal')(norm_const)
70     input_var = keras.layers.Input(shape=x_var_train.shape[1:])
71     norm_var = norm_layer_var(input_var)
72     rec1_var = keras.layers.GRU(units=16, return_sequences=True)(norm_var)
73     rec2_var = keras.layers.GRU(units=16, return_sequences=True)(rec1_var)
74     rec3_var = keras.layers.GRU(units=16)(rec2_var)
75     join = keras.layers.concatenate([layer_const, rec3_var])
76     dense = keras.layers.Dense(6, activation='elu', kernel_initializer='he_normal')(join)
77     out_layer = keras.layers.Dense(1, activation='sigmoid')(join)
78     model = keras.models.Model([input_const, input_var], out_layer)
79     model.compile(loss='binary_crossentropy', optimizer=keras.optimizers.Nadam(learning_rate=learning_rate), metrics=['accuracy'])
80     run_log_folder = 'N' + str(y_train.shape[0])
81     run_log_folder = os.path.join(log_folder, run_log_folder)
82     # train model
83     time_start = datetime.now()
84     model.fit(
85         [x_const_train, x_var_train], y_train_,
86         validation_data=(x_const_test, x_var_test, y_test_),
87         batch_size=batch_size, epochs=n_epochs,
88         callbacks = [
89             keras.callbacks.TensorBoard(run_log_folder),
90             keras.callbacks.ReduceLROnPlateau(patience=10, min_delta=0.00001),
91             keras.callbacks.EarlyStopping(patience=20, restore_best_weights=True)
92         ],
93         verbose=0
94     )
95     metrics['Time_train'] = datetime.now()-time_start
96     pred_train = (model.predict([x_const_train, x_var_train]) > 0.5).astype(int)
97     metrics['Train_Accuracy'] = accuracy_score(y_train_, pred_train)
98     # test model
99     time_start = datetime.now()
100    pred_test = (model.predict([x_const_test, x_var_test]) > 0.5).astype(int)
101    metrics['Time_test'] = datetime.now()-time_start
102    # score
103    metrics['Accuracy'] = accuracy_score(y_test_, pred_test)
104    metrics['Precision'] = precision_score(y_test_, pred_test)
105    metrics['Sensitivity'] = recall_score(y_test_, pred_test)
106    cm = confusion_matrix(y_test_, pred_test)
107    metrics['Specifity'] = cm[0,0]/(cm[0,1]+cm[0,0])
108    result = metrics.copy()
109    result['learning_rate'] = learning_rate
110    result['batch_size'] = batch_size
111    self.metrics = self.metrics.append(result, ignore_index=True)
112    return metrics

114 # -----
115 # Run evaluation
116 # -----
117 left_out = int(sys.argv[1])
118 groups = ['CowId', 'Lactation']

```

```

119 feature_names = ['Lactation', 'DaysInMilk', 'MilkYield', 'StepsPerHour', '↳
    LyingDuration']
120 label_name = 'Lscore'
121 window_length = 27
122 window_shape = (27,3)
123 learning_rate = 0.001
124 batch_size = 32
125 name = 'e2e-gru_eval'+str(left_out)
126 ts = time.strftime('%Y-%m-%d_%H%M%S', time.localtime())
127 output = name+'_'+ts
128 data_folder = '../data/'
129 log_folder = '../tb_log/'
130 log_folder = os.path.join(log_folder, output)

132 classifier = E2eGruEvaluator(left_out, learning_rate, batch_size)
133 classifier.import_data(data_folder, n_proc=4, groups=groups, feature_names=↳
    feature_names, label_name=label_name, window_length=window_length, ↳
    window_shape=window_shape, idx_constants=[0,1], idx_time_deps=[2,3,4], ↳
    labelled_only=True)
134 result = classifier.prepare_fit(x_const_train=classifier.X_const_train, ↳
    x_var_train=classifier.X_var_train, y_train=classifier.Y_train, ↳
    x_const_test=classifier.X_const_test, x_var_test=classifier.X_var_test ↳
    , y_test=classifier.Y_test, learning_rate=learning_rate, batch_size=↳
    batch_size, log_folder=log_folder)

136 print(f"\nEvaluate E2E-GRU on {left_out} with parameters:\n↳
    -----\n\n")
137 print(f"learning_rate={learning_rate}")
138 print(f"batch_size={batch_size}")
139 print('\n----\n')
140 print(f"Output: {output}")
141 print('\n----\n')
142 print(f"Accuracy: {result['Accuracy']} (Training accuracy: {result['↳
    Train_Accuracy']})")
143 print(f"Precision: {result['Precision']}")
144 print(f"Sensitivity: {result['Sensitivity']}")
145 print(f"Specificity: {result['Specificity']}")
146 print(f"Time_train: {result['Time_train']}")
147 print(f"Time_test: {result['Time_test']}")

```

---

## A.4 Ausführbare Skripte — Generative Ansätze

Listing A.19: Skript ae-mlp\_search.py

```

1  #!/usr/bin/env python3
2  # -*- coding: utf-8 -*-

4  # -----
5  import os
6  import time
7  import numpy as np
8  import pandas as pd
9  import tensorflow as tf
10 from sklearn.model_selection import LeaveOneGroupOut
11 from tensorflow import keras
12 from sklearn.metrics import accuracy_score, precision_score, recall_score, ←
    confusion_matrix
13 from src.AbstractSearcher2 import AbstractSearcher2

15 # -----
16 # Define specific class
17 # -----
18 class AeMlpSearcher(AbstractSearcher2):

20     def __init__(self, used, n_neurons_1st, n_neurons_other, n_layers_other, ←
        learning_rate_values, batch_size_values):
21         self.used = used
22         self.n_neurons_1st = n_neurons_1st
23         self.n_neurons_other = n_neurons_other
24         self.n_layers_other = n_layers_other
25         self.learning_rate_values = learning_rate_values
26         self.batch_size_values = batch_size_values
27         self.logo = LeaveOneGroupOut()
28         self.X_const = None
29         self.X_var = None
30         self.Y = None
31         self.Split = None
32         self.metrics = None

34     @classmethod
35     def window_function(cls, window_data, **kwargs):
36         return window_data.flatten()

38     def gridsearch(self, **kwargs)
39         self.metrics = pd.DataFrame(columns= [
40             'learning_rate', 'batch_size',
41             'Accuracy_mean', 'Accuracy_sd',
42             'Precision_mean', 'Precision_sd',
43             'Sensitivity_mean', 'Sensitivity_sd',
44             'Specifity_mean', 'Specifity_sd',
45             'Time_train_mean', 'Time_train_sd',
46             'Time_test_mean', 'Time_test_sd'
47         ])
48         for learning_rate in self.learning_rate_values:
49             for batch_size in self.batch_size_values:
50                 cv_result = self.crossvalidate(learning_rate=←
                    learning_rate, batch_size=batch_size, log_folder=←
                    log_folder)
51                 cv_result['learning_rate'] = learning_rate
52                 cv_result['batch_size'] = batch_size
53                 self.metrics = self.metrics.append(cv_result, ←
                    ignore_index=True)
54                 self.metrics = self.metrics.sort_values(by=['Accuracy_mean'], ←
                    ascending=False)
55                 return self.metrics

57     def prepare_fit(self, x_const_train, x_var_train, y_train, x_const_test, ←
        x_var_test, y_test, learning_rate, batch_size, log_folder):
58         x_train = np.hstack((x_const_train, x_var_train))

```

```

59     x_test = np.hstack((x_const_test, x_var_test))
60     # normalization outside of the model
61     normalizer = keras.layers.experimental.preprocessing.Normalization()
62     normalizer.adapt(x_train)
63     x_train = normalizer(x_train).numpy()
64     x_test = normalizer(x_test).numpy()
65     idx_labels_train = np.nonzero(~np.isnan(y_train.astype(float)))
66     idx_labels_test = np.nonzero(~np.isnan(y_test.astype(float)))
67     metrics = {
68         'Accuracy' : np.nan,
69         'Precision' : np.nan,
70         'Sensitivity' : np.nan,
71         'Specificity' : np.nan,
72         'Time_train' : np.nan,
73         'Time_test' : np.nan
74     }
75     kernel_initializer = 'lecun_normal'
76     activation = 'selu'
77     n_neurons_1st = self.n_neurons_1st
78     n_neurons_other = self.n_neurons_other
79     n_layers_other = self.n_layers_other
80     n_epochs = 1000
81     patience_reduce = 10
82     patience_stop = 50
83     # set random seed for reproducible results
84     tf.random.set_seed(42)
85     # build autoencoder
86     encoder = keras.models.Sequential()
87     encoder.add(keras.layers.InputLayer(input_shape=x_train.shape[1:]))
88     encoder.add(keras.layers.Dense(
89         n_neurons_1st,
90         kernel_initializer=kernel_initializer,
91         activation=activation
92     ))
93     for layer in range(n_layers_other):
94         encoder.add(keras.layers.Dense(
95             n_neurons_other,
96             kernel_initializer=kernel_initializer,
97             activation=activation
98         ))
99     encoder.add(keras.layers.Dense(
100         5,
101         kernel_initializer=kernel_initializer,
102         activation=activation
103     ))
104     decoder = keras.models.Sequential()
105     for layer in range(n_layers_other):
106         decoder.add(keras.layers.Dense(
107             n_neurons_other,
108             kernel_initializer=kernel_initializer,
109             activation=activation
110         ))
111     decoder.add(keras.layers.Dense(
112         n_neurons_1st,
113         kernel_initializer=kernel_initializer,
114         activation=activation
115     ))
116     decoder.add(keras.layers.Dense(np.sum(x_train.shape[1:])))
117     ae = keras.models.Sequential([encoder, decoder])
118     ae.compile(loss='huber_loss', optimizer=keras.optimizers.Nadam(learning_rate=learning_rate))
119     run_log_folder = 'ae_N'+str(y_train.shape[0])
120     run_log_folder = os.path.join(log_folder, run_log_folder)
121     # train autoencoder
122     time_start = time.time()
123     ae.fit(

```



```

124         x_train,x_train,
125         validation_data=(x_test,x_test),
126         batch_size=batch_size,
127         epochs=n_epochs,
128         callbacks=[
129             keras.callbacks.TensorBoard(run_log_folder),
130             keras.callbacks.ReduceLROnPlateau(patience=↔
131                 patience_reduce,min_delta=0.00001),
132             keras.callbacks.EarlyStopping(patience=patience_stop,↔
133                 restore_best_weights=True)
134         ],
135         verbose=0
136     )
137     # reduce to labeled data
138     x_train_ = x_train[idx_labels_train]
139     x_test_ = x_test[idx_labels_test]
140     y_train_ = (y_train[idx_labels_train]).astype(int)
141     y_test_ = (y_test[idx_labels_test]).astype(int)
142     # build model
143     classifier = keras.models.Sequential()
144     classifier.add(keras.layers.Dense(3, kernel_initializer=↔
145         kernel_initializer, activation=activation))
146     classifier.add(keras.layers.Dense(3, kernel_initializer=↔
147         kernel_initializer, activation=activation))
148     classifier.add(keras.layers.Dense(1, activation='sigmoid'))
149     model = keras.models.Sequential([encoder, classifier])
150     # freeze encoder's weights
151     for layer in encoder.layers:
152         layer.trainable = False
153     model.compile(loss='binary_crossentropy', optimizer=keras.↔
154         optimizers.Nadam(learning_rate=learning_rate), metrics=['↔
155         accuracy'])
156     run_log_folder = 'inter_N'+str(y_train.shape[0])
157     run_log_folder = os.path.join(log_folder, run_log_folder)
158     # train model 1st time
159     model.fit(
160         x_train_, y_train_,
161         validation_data=(x_test_, y_test_),
162         batch_size=batch_size,
163         epochs=n_epochs,
164         callbacks=[
165             keras.callbacks.TensorBoard(run_log_folder),
166             keras.callbacks.ReduceLROnPlateau(patience=↔
167                 patience_reduce,min_delta=0.00001),
168             keras.callbacks.EarlyStopping(patience=patience_stop,↔
169                 restore_best_weights=True)
170         ],
171         verbose=0
172     )
173     # unfreeze encoder's weights
174     for layer in encoder.layers:
175         layer.trainable = True
176     model.compile(loss='binary_crossentropy', optimizer=keras.↔
177         optimizers.Nadam(learning_rate=learning_rate/10), metrics=['↔
178         accuracy'])
179     run_log_folder = 'final_N'+str(y_train.shape[0])
180     run_log_folder = os.path.join(log_folder, run_log_folder)
181     # train model finally
182     model.fit(
183         x_train_, y_train_,
184         validation_data=(x_test_, y_test_),
185         batch_size=batch_size,
186         epochs=n_epochs,
187         callbacks=[
188             keras.callbacks.TensorBoard(run_log_folder),
189             keras.callbacks.ReduceLROnPlateau(patience=↔
190                 patience_reduce,min_delta=0.00001),

```

```

180         keras.callbacks.EarlyStopping(patience=patience_stop,↵
           restore_best_weights=True)
181     ],
182     verbose=0
183 )
184     metrics['Time_train'] = time.time()-time_start
185     pred_train = (model.predict(x_train_) > 0.5).astype(int)
186     metrics['Train_Accuracy'] = accuracy_score(y_train_,pred_train)
187     # test model
188     time_start = time.time()
189     pred_test = (model.predict(x_test_) > 0.5).astype(int)
190     metrics['Time_test'] = time.time()-time_start
191     # score
192     metrics['Accuracy'] = accuracy_score(y_test_,pred_test)
193     metrics['Precision'] = precision_score(y_test_,pred_test)
194     metrics['Sensitivity'] = recall_score(y_test_,pred_test)
195     cm = confusion_matrix(y_test_,pred_test)
196     metrics['Specifity'] = cm[0,0] / ( cm[0,1] + cm[0,0] )
197     return metrics

199 # -----
200 # Run search
201 # -----
202 used = [1,4,6,9]
203 groups = ['CowId','Lactation']
204 feature_names = ['Lactation','DaysInMilk','MilkYield','StepsPerHour','↵
           LyingDuration']
205 label_name = 'Lscore'
206 window_length = 27
207 window_shape=(81,)
208 n_neurons_1st = 40
209 n_neurons_other = 20
210 n_layers_other = 3
211 learning_rate_values = [0.001,0.005,0.01,0.05]
212 batch_size_values = [32,128,512]
213 name = 'ae-mlp_search'
214 ts = time.strftime('%Y-%m-%d_%H%M%S',time.localtime())
215 output = name+'_'+ts
216 data_folder = '../data/'
217 log_folder = '../tb_log/'
218 log_folder = os.path.join(log_folder,output)

220 classifier = AeMlpSearcher(used,n_neurons_1st,n_neurons_other,↵
           n_layers_other,learning_rate_values,batch_size_values)
221 classifier.import_data(data_folder,n_proc=4,groups=groups,feature_names=↵
           feature_names,label_name=label_name,window_length=window_length,↵
           window_shape=window_shape,idx_constants=[0,1],idx_time_deps=[2,3,4],↵
           labelled_only=False)
222 results = classifier.gridsearch(log_folder=log_folder)

224 results.to_csv(output+'.csv')
```

Listing A.20: Skript ae-mlp\_eval.py

```

1  #!/usr/bin/env python3
2  # -*- coding: utf-8 -*-

4  # -----
5  import sys
6  import os
7  import time
8  import pickle
9  import numpy as np
10 import pandas as pd
11 import tensorflow as tf
12 from datetime import datetime
13 from tensorflow import keras
14 from sklearn.metrics import accuracy_score, precision_score, recall_score, ←
    confusion_matrix
15 from src.AbstractEvaluator2 import AbstractEvaluator2

17 # -----
18 # Define specific class
19 # -----
20 class AeMlpEvaluator(AbstractEvaluator2):

22     def __init__(self, left_out, n_neurons_1st, n_neurons_other, ←
        n_layers_other, learning_rate, batch_size):
23         self.left_out = left_out
24         self.n_neurons_1st = n_neurons_1st
25         self.n_neurons_other = n_neurons_other
26         self.n_layers_other = n_layers_other
27         self.learning_rate = learning_rate
28         self.batch_size = batch_size
29         self.X_const_train = None
30         self.X_var_train = None
31         self.Y_train = None
32         self.X_const_test = None
33         self.X_var_test = None
34         self.Y_test = None
35         self.metrics = None

37     @classmethod
38     def window_function(cls, window_data, **kwargs):
39         return window_data.flatten()

41     def prepare_fit(self, x_const_train, x_var_train, y_train, x_const_test, ←
        x_var_test, y_test, learning_rate, batch_size, log_folder):
42         x_train = np.hstack((x_const_train, x_var_train))
43         x_test = np.hstack((x_const_test, x_var_test))
44         # normalization outside of the model
45         normalizer = keras.layers.experimental.preprocessing. ←
            Normalization()
46         normalizer.adapt(x_train)
47         x_train = normalizer(x_train).numpy()
48         x_test = normalizer(x_test).numpy()
49         idx_labels_train = np.nonzero(~np.isnan(y_train.astype(float)))
50         idx_labels_test = np.nonzero(~np.isnan(y_test.astype(float)))
51         self.metrics = pd.DataFrame(columns= [
52             'learning_rate', 'batch_size',
53             'Accuracy',
54             'Train_Accuracy',
55             'Precision',
56             'Sensitivity',
57             'Specificity',
58             'Time_train',
59             'Time_test'
60         ])
61         metrics = {

```

```

62         'Accuracy' : np.nan,
63         'Train_Accuracy' : np.nan,
64         'Precision' : np.nan,
65         'Sensitivity' : np.nan,
66         'Specificity' : np.nan,
67         'Time_train' : np.nan,
68         'Time_test' : np.nan
69     }
70     kernel_initializer = 'lecun_normal'
71     activation = 'selu'
72     n_neurons_1st = self.n_neurons_1st
73     n_neurons_other = self.n_neurons_other
74     n_layers_other = self.n_layers_other
75     n_epochs = 1000
76     patience_reduce = 10
77     patience_stop = 50
78     # set random seed for reproducible results
79     tf.random.set_seed(42)
80     # build autoencoder
81     encoder = keras.models.Sequential()
82     encoder.add(keras.layers.InputLayer(input_shape=x_train.shape←
83         [1:]))
84     encoder.add(keras.layers.Dense(
85         n_neurons_1st,
86         kernel_initializer=kernel_initializer,
87         activation=activation
88     ))
89     for layer in range(n_layers_other):
90         encoder.add(keras.layers.Dense(
91             n_neurons_other,
92             kernel_initializer=kernel_initializer,
93             activation=activation
94         ))
95     encoder.add(keras.layers.Dense(
96         5,
97         kernel_initializer=kernel_initializer,
98         activation=activation
99     ))
100    decoder = keras.models.Sequential()
101    for layer in range(n_layers_other):
102        decoder.add(keras.layers.Dense(
103            n_neurons_other,
104            kernel_initializer=kernel_initializer,
105            activation=activation
106        ))
107    decoder.add(keras.layers.Dense(
108        n_neurons_1st,
109        kernel_initializer=kernel_initializer,
110        activation=activation
111    ))
112    decoder.add(keras.layers.Dense(np.sum(x_train.shape[1:]))
113    ae = keras.models.Sequential([encoder,decoder])
114    ae.compile(loss='huber_loss',optimizer=keras.optimizers.Nadam(←
115        learning_rate=learning_rate))
116    run_log_folder = 'ae_N'+str(y_train.shape[0])
117    run_log_folder = os.path.join(log_folder, run_log_folder)
118    # train autoencoder
119    time_start = datetime.now()
120    ae.fit(
121        x_train,x_train,
122        validation_data=(x_test,x_test),
123        batch_size=batch_size,
124        epochs=n_epochs,
125        callbacks = [
126            keras.callbacks.TensorBoard(run_log_folder,profile_batch←
127                =0),
128            keras.callbacks.ReduceLROnPlateau(patience=←
129                patience_reduce,min_delta=0.00001),

```

```

126         keras.callbacks.EarlyStopping(patience=patience_stop,↵
127             restore_best_weights=True)
128     ],
129     verbose=0
130 )
131 # reduce to labeled data
132 x_train_ = x_train[idx_labels_train]
133 x_test_ = x_test[idx_labels_test]
134 y_train_ = (y_train[idx_labels_train]).astype(int)
135 y_test_ = (y_test[idx_labels_test]).astype(int)
136 # build model
137 classifier = keras.models.Sequential()
138 classifier.add(keras.layers.Dense(3, kernel_initializer=↵
139     kernel_initializer, activation=activation))
140 classifier.add(keras.layers.Dense(3, kernel_initializer=↵
141     kernel_initializer, activation=activation))
142 classifier.add(keras.layers.Dense(1, activation='sigmoid'))
143 model = keras.models.Sequential([encoder, classifier])
144 # freeze encoder's weights
145 for layer in encoder.layers:
146     layer.trainable = False
147 model.compile(loss='binary_crossentropy', optimizer=keras.↵
148     optimizers.Nadam(learning_rate=learning_rate), metrics=['↵
149     accuracy'])
150 run_log_folder = 'inter_N'+str(y_train.shape[0])
151 run_log_folder = os.path.join(log_folder, run_log_folder)
152 # train model 1st time
153 model.fit(
154     x_train_, y_train_,
155     validation_data=(x_test_, y_test_),
156     batch_size=batch_size,
157     epochs=n_epochs,
158     callbacks = [
159         keras.callbacks.TensorBoard(run_log_folder, profile_batch↵
160             =0),
161         keras.callbacks.ReduceLROnPlateau(patience=↵
162             patience_reduce, min_delta=0.00001),
163         keras.callbacks.EarlyStopping(patience=patience_stop,↵
164             restore_best_weights=True)
165     ],
166     verbose=0
167 )
168 # unfreeze encoder's weights
169 for layer in encoder.layers:
170     layer.trainable = True
171 model.compile(loss='binary_crossentropy', optimizer=keras.↵
172     optimizers.Nadam(learning_rate=learning_rate/10), metrics=['↵
173     accuracy'])
174 run_log_folder = 'final_N' + str(y_train.shape[0])
175 run_log_folder = os.path.join(log_folder, run_log_folder)
176 # train model finally
177 model.fit(
178     x_train_, y_train_,
179     validation_data=(x_test_, y_test_),
180     batch_size=batch_size,
181     epochs=n_epochs,
182     callbacks = [
183         keras.callbacks.TensorBoard(run_log_folder, profile_batch↵
184             =0),
185         keras.callbacks.ReduceLROnPlateau(patience=↵
186             patience_reduce, min_delta=0.00001),
187         keras.callbacks.EarlyStopping(patience=patience_stop,↵
188             restore_best_weights=True)
189     ],
190     verbose=0
191 )
192 metrics['Time_train'] = datetime.now()-time_start
193 pred_train = (model.predict(x_train_) > 0.5).astype(int)

```

```

181     metrics['Train_Accuracy'] = accuracy_score(y_train_, pred_train)
182     # test model
183     time_start = datetime.now()
184     pred_test = (model.predict(x_test_) > 0.5).astype(int)
185     metrics['Time_test'] = datetime.now()-time_start
186     # score
187     metrics['Accuracy'] = accuracy_score(y_test_, pred_test)
188     metrics['Precision'] = precision_score(y_test_, pred_test)
189     metrics['Sensitivity'] = recall_score(y_test_, pred_test)
190     cm = confusion_matrix(y_test_, pred_test)
191     metrics['Specifity'] = cm[0,0] / ( cm[0,1] + cm[0,0] )
192     result = metrics.copy()
193     result['learning_rate'] = learning_rate
194     result['batch_size'] = batch_size
195     self.metrics = self.metrics.append(result, ignore_index=True)
196     return metrics
197 # -----
198 # Run evaluation
199 # -----
200 left_out = int(sys.argv[1])
201 groups = ['CowId', 'Lactation']
202 feature_names = ['Lactation', 'DaysInMilk', 'MilkYield', 'StepsPerHour', '↵
    LyingDuration']
203 label_name = 'Lscore'
204 window_length = 27
205 window_shape=(81,)
206 n_neurons_1st = 40
207 n_neurons_other = 20
208 n_layers_other = 3
209 learning_rate = 0.001
210 batch_size = 128
211 name = 'ae-mlp_eval'+str(left_out)
212 ts = time.strftime('%Y-%m-%d_%H%M%S', time.localtime())
213 output = name+'_'+ts
214 data_folder = '../data/'
215 log_folder = '../tb_log/'
216 log_folder = os.path.join(log_folder, output)
217
218 classifier = AeMlpEvaluator(left_out, n_neurons_1st, n_neurons_other, ↵
    n_layers_other, learning_rate, batch_size)
219 classifier.import_data(data_folder, n_proc=4, groups=groups, feature_names=↵
    feature_names, label_name=label_name, window_length=window_length, ↵
    window_shape=window_shape, idx_constants=[0,1], idx_time_deps=[2,3,4], ↵
    labelled_only=False)
220 result = classifier.prepare_fit(x_const_train=classifier.X_const_train, ↵
    x_var_train=classifier.X_var_train, y_train=classifier.Y_train, ↵
    x_const_test=classifier.X_const_test, x_var_test=classifier.X_var_test ↵
    , y_test=classifier.Y_test, learning_rate=learning_rate, batch_size=↵
    batch_size, log_folder=log_folder)
221
222 print(f"\nEvaluate AE-MLP on left_out={left_out} with parameters:\n↵
    -----\n\n")
223 print(f"learning_rate={learning_rate}")
224 print(f"batch_size={batch_size}")
225 print('\n----\n')
226 print(f"Output: {output}")
227 print('\n----\n')
228 print(f"Accuracy: {result['Accuracy']} (Training accuracy: {result['↵
    Train_Accuracy']}")
229 print(f"Precision: {result['Precision']}")
230 print(f"Sensitivity: {result['Sensitivity']}")
231 print(f"Specifity: {result['Specifity']}")
232 print(f"Time_train: {result['Time_train']}")
233 print(f"Time_test: {result['Time_test']}")

```

Listing A.21: Skript ae-cnn\_search.py

```

1  #!/usr/bin/env python3
2  # -*- coding: utf-8 -*-

4  # -----
5  import os
6  import time
7  import numpy as np
8  import pandas as pd
9  import tensorflow as tf
10 from sklearn.model_selection import LeaveOneGroupOut
11 from tensorflow import keras
12 from sklearn.metrics import accuracy_score, precision_score, recall_score, ←
    confusion_matrix
13 from src.AbstractSearcher2 import AbstractSearcher2

15 # -----
16 # Define specific class
17 # -----
18 class AeCnnSearcher(AbstractSearcher2):

20     def __init__(self, used, learning_rate_values, batch_size_values):
21         self.used = used
22         self.learning_rate_values = learning_rate_values
23         self.batch_size_values = batch_size_values
24         self.logo = LeaveOneGroupOut()
25         self.X_const = None
26         self.X_var = None
27         self.Y = None
28         self.Split = None
29         self.metrics = None

31     def gridsearch(self, **kwargs):
32         self.metrics = pd.DataFrame(columns= [
33             'learning_rate', 'batch_size',
34             'Accuracy_mean', 'Accuracy_sd',
35             'Precision_mean', 'Precision_sd',
36             'Sensitivity_mean', 'Sensitivity_sd',
37             'Specifity_mean', 'Specifity_sd',
38             'Time_train_mean', 'Time_train_sd',
39             'Time_test_mean', 'Time_test_sd'
40         ])
41         for learning_rate in self.learning_rate_values:
42             for batch_size in self.batch_size_values:
43                 cv_result = self.crossvalidate(learning_rate=←
                    learning_rate, batch_size=batch_size, log_folder=←
                    log_folder)
44                 cv_result['learning_rate'] = learning_rate
45                 cv_result['batch_size'] = batch_size
46                 self.metrics = self.metrics.append(cv_result, ←
                    ignore_index=True)
47         self.metrics = self.metrics.sort_values(by=['Accuracy_mean'], ←
            ascending=False)
48         return self.metrics

50     def prepare_fit(self, x_const_train, x_var_train, y_train, x_const_test, ←
        x_var_test, y_test, learning_rate, batch_size, log_folder):
51         # normalization outside of the model
52         norm_const = keras.layers.experimental.preprocessing.←
            Normalization()
53         norm_const.adapt(x_const_train)
54         x_const_train = norm_const(x_const_train).numpy()
55         x_const_test = norm_const(x_const_test).numpy()
56         norm_var = keras.layers.experimental.preprocessing.Normalization←
            ()
57         norm_var.adapt(x_var_train)

```

```

58     x_var_train = norm_var(x_var_train).numpy()
59     x_var_test = norm_var(x_var_test).numpy()
60     idx_labels_train = np.nonzero(~np.isnan(y_train.astype(float)))
61     idx_labels_test = np.nonzero(~np.isnan(y_test.astype(float)))
62     metrics = {
63         'Accuracy' : np.nan,
64         'Precision' : np.nan,
65         'Sensitivity' : np.nan,
66         'Specificity' : np.nan,
67         'Time_train' : np.nan,
68         'Time_test' : np.nan
69     }
70     kernel_initializer = 'he_normal'
71     activation = 'elu'
72     n_epochs = 1000
73     patience_reduce = 10
74     patience_stop = 50
75     # set random seed for reproducible results
76     tf.random.set_seed(42)
77     # build encoder
78     input_const = keras.layers.Input(shape=x_const_train.shape[1:])
79     layer_const = keras.layers.Dense(2, activation=activation, ←
        kernel_initializer=kernel_initializer)(input_const)
80     input_var = keras.layers.Input(shape=x_var_train.shape[1:])
81     conv1_var = keras.layers.Conv1D(
82         filters=128, kernel_size=8,
83         kernel_initializer=kernel_initializer,
84         use_bias=False,
85         padding='same'
86     )(input_var)
87     bn1_var = keras.layers.BatchNormalization()(conv1_var)
88     act1_var = keras.layers.ELU()(bn1_var)
89     conv2_var = keras.layers.Conv1D(
90         filters=256, kernel_size=5,
91         kernel_initializer=kernel_initializer,
92         use_bias=False,
93         padding='same'
94     )(act1_var)
95     bn2_var = keras.layers.BatchNormalization()(conv2_var)
96     act2_var = keras.layers.ELU()(bn2_var)
97     conv3_var = keras.layers.Conv1D(
98         filters=128, kernel_size=3,
99         kernel_initializer=kernel_initializer,
100        use_bias=False,
101        padding='same'
102    )(act2_var)
103    bn3_var = keras.layers.BatchNormalization()(conv3_var)
104    act3_var = keras.layers.ELU()(bn3_var)
105    features_var = keras.layers.GlobalAveragePooling1D()(act3_var)
106    join = keras.layers.concatenate([layer_const, features_var])
107    # build decoder
108    output_decoder_const = keras.layers.Dense(2)(join)
109    de_reshape1_var = keras.layers.Reshape((1, 130))(join)
110    deconv1_var = keras.layers.Conv1DTranspose(
111        filters=128, kernel_size=3,
112        kernel_initializer=kernel_initializer,
113        use_bias=False,
114        padding='valid'
115    )(de_reshape1_var)
116    de_bn1_var = keras.layers.BatchNormalization()(deconv1_var)
117    de_act1_var = keras.layers.ELU()(de_bn1_var)
118    deconv2_var = keras.layers.Conv1DTranspose(
119        filters=256, kernel_size=5,
120        kernel_initializer=kernel_initializer,
121        use_bias=False,
122        padding='valid'
123    )(de_act1_var)
124    de_bn2_var = keras.layers.BatchNormalization()(deconv2_var)

```



```

125     de_act2_var = keras.layers.ELU()(de_bn2_var)
126     deconv3_var = keras.layers.Conv1DTranspose(
127         filters=128, kernel_size=8,
128         kernel_initializer=kernel_initializer,
129         use_bias=False,
130         padding='valid'
131     )(de_act2_var)
132     de_bn3_var = keras.layers.BatchNormalization()(deconv3_var)
133     de_act3_var = keras.layers.ELU()(de_bn3_var)
134     output_decoder_var = keras.layers.Conv1DTranspose(
135         filters=3, kernel_size=14, padding='valid',
136         activation=None, kernel_initializer='glorot_uniform'
137     )(de_act3_var)
138     # combine to autoencoder
139     ae = keras.models.Model([input_const, input_var], [↵
140         output_decoder_const, output_decoder_var])
141     ae.compile(loss='huber_loss', optimizer=keras.optimizers.Nadam(↵
142         learning_rate=learning_rate))
143     run_log_folder = 'ae_N'+str(y_train.shape[0])
144     run_log_folder = os.path.join(log_folder, run_log_folder)
145     # train autoencoder
146     time_start = time.time()
147     ae.fit(
148         [x_const_train, x_var_train], [x_const_train, x_var_train],
149         validation_data=([x_const_test, x_var_test], [x_const_test, ↵
150             x_var_test]),
151         batch_size=batch_size, epochs=n_epochs,
152         callbacks = [
153             keras.callbacks.TensorBoard(run_log_folder, profile_batch↵
154                 =0),
155             keras.callbacks.ReduceLROnPlateau(patience=↵
156                 patience_reduce, min_delta=0.00001),
157             keras.callbacks.EarlyStopping(patience=patience_stop, ↵
158                 restore_best_weights=True)
159         ],
160         verbose=0
161     )
162     # reduce to labeled data
163     x_const_train_ = x_const_train[idx_labels_train]
164     x_var_train_ = x_var_train[idx_labels_train]
165     x_const_test_ = x_const_test[idx_labels_test]
166     x_var_test_ = x_var_test[idx_labels_test]
167     y_train_ = (y_train[idx_labels_train]).astype(int)
168     y_test_ = (y_test[idx_labels_test]).astype(int)
169     # build classifier
170     c1 = keras.layers.Dense(15, kernel_initializer=kernel_initializer ↵
171         , activation=activation)(join)
172     c2 = keras.layers.Dense(15, kernel_initializer=kernel_initializer ↵
173         , activation=activation)(c1)
174     out_layer = keras.layers.Dense(1, activation='sigmoid')(c2)
175     model = keras.models.Model([input_const, input_var], out_layer)
176     # freeze encoder's weights
177     for layer in model.layers[:-1]:
178         layer.trainable = False
179     model.compile(loss='binary_crossentropy', optimizer=keras.↵
180         optimizers.Nadam(learning_rate=learning_rate), metrics=['↵
181             accuracy'])
182     run_log_folder = 'inter_N' + str(y_train.shape[0])
183     run_log_folder = os.path.join(log_folder, run_log_folder)
184     # train model
185     model.fit(
186         [x_const_train_, x_var_train_], y_train_,
187         validation_data=([x_const_test_, x_var_test_], y_test_),
188         batch_size=batch_size, epochs=n_epochs,
189         callbacks = [
190             keras.callbacks.TensorBoard(run_log_folder, profile_batch↵
191                 =0),

```

```

181         keras.callbacks.ReduceLROnPlateau(patience=↵
           patience_reduce,min_delta=0.00001),
182         keras.callbacks.EarlyStopping(patience=patience_stop,↵
           restore_best_weights=True)
183     ],
184     verbose=0
185 )
186 # unfreeze encoder's weights
187 for layer in model.layers[:-1]:
188     layer.trainable = True
189 model.compile(loss='binary_crossentropy',optimizer=keras.↵
           optimizers.Nadam(learning_rate=learning_rate/10),metrics=['↵
           accuracy'])
190 run_log_folder = 'final_N'+str(y_train.shape[0])
191 run_log_folder = os.path.join(log_folder,run_log_folder)
192 # train model
193 model.fit(
194     [x_const_train_,x_var_train_],y_train_,
195     validation_data=(x_const_test_,x_var_test_),y_test_),
196     batch_size=batch_size,epochs=n_epochs,
197     callbacks = [
198         keras.callbacks.TensorBoard(run_log_folder,profile_batch↵
           =0),
199         keras.callbacks.ReduceLROnPlateau(patience=↵
           patience_reduce,min_delta=0.00001),
200         keras.callbacks.EarlyStopping(patience=patience_stop,↵
           restore_best_weights=True)
201     ],
202     verbose=0
203 )
204 metrics['Time_train'] = time.time()-time_start
205 pred_train = (model.predict([x_const_train_,x_var_train_]) > ↵
           0.5).astype(int)
206 metrics['Train_Accuracy'] = accuracy_score(y_train_,pred_train)
207 # test model
208 time_start = time.time()
209 pred_test = (model.predict([x_const_test_,x_var_test_]) > 0.5).↵
           astype(int)
210 metrics['Time_test'] = time.time()-time_start
211 # score
212 metrics['Accuracy'] = accuracy_score(y_test_,pred_test)
213 metrics['Precision'] = precision_score(y_test_,pred_test)
214 metrics['Sensitivity'] = recall_score(y_test_,pred_test)
215 cm = confusion_matrix(y_test_,pred_test)
216 metrics['Specifity'] = cm[0,0] / ( cm[0,1] + cm[0,0] )
217 return metrics

219 # -----
220 # Run search
221 # -----
222 used = [1,4,6,9]
223 groups = ['CowId','Lactation']
224 feature_names = ['Lactation','DaysInMilk','MilkYield','StepsPerHour','↵
           LyingDuration']
225 label_name = 'Lscore'
226 window_length = 27
227 window_shape=(27,3)
228 learning_rate_values = [0.001,0.005,0.01,0.05]
229 batch_size_values = [32,128,512]
230 name = 'ae-cnn_search'
231 ts = time.strftime('%Y-%m-%d_%H%M%S',time.localtime())
232 output = name+'_'+ts
233 data_folder = '../data/'
234 log_folder = '../tb_log/'
235 log_folder = os.path.join(log_folder,output)

237 classifier = AeCnnSearcher(used,learning_rate_values,batch_size_values)

```

```
238 classifier.import_data(data_folder,n_proc=4,groups=groups,feature_names=↔  
    feature_names,label_name=label_name>window_length=window_length,↔  
    window_shape=window_shape,idx_constants=[0,1],idx_time_deps=[2,3,4],↔  
    labelled_only=False)  
239 results = classifier.gridsearch(log_folder=log_folder)  
  
241 results.to_csv(output+'.csv')
```

Listing A.22: Skript ae-cnn\_eval.py

```

1  #!/usr/bin/env python3
2  # -*- coding: utf-8 -*-

4  # -----
5  import sys
6  import os
7  import time
8  import pickle
9  import numpy as np
10 import pandas as pd
11 import tensorflow as tf
12 from datetime import datetime
13 from tensorflow import keras
14 from sklearn.metrics import accuracy_score, precision_score, recall_score, ←
    confusion_matrix
15 from src.AbstractEvaluator2 import AbstractEvaluator2

17 # -----
18 # Define specific class
19 # -----
20 class AeCnnEvaluator(AbstractEvaluator2):

22     def __init__(self, left_out, learning_rate, batch_size):
23         self.left_out = left_out
24         self.learning_rate = learning_rate
25         self.batch_size = batch_size
26         self.X_const_train = None
27         self.X_var_train = None
28         self.Y_train = None
29         self.X_const_test = None
30         self.X_var_test = None
31         self.Y_test = None
32         self.metrics = None

34     def prepare_fit(self, x_const_train, x_var_train, y_train, x_const_test, ←
x_var_test, y_test, learning_rate, batch_size, log_folder):
35         # normalization outside of the model
36         norm_const = keras.layers.experimental.preprocessing. ←
Normalization()
37         norm_const.adapt(x_const_train)
38         x_const_train = norm_const(x_const_train).numpy()
39         x_const_test = norm_const(x_const_test).numpy()
40         norm_var = keras.layers.experimental.preprocessing.Normalization ←
()
41         norm_var.adapt(x_var_train)
42         x_var_train = norm_var(x_var_train).numpy()
43         x_var_test = norm_var(x_var_test).numpy()
44         idx_labels_train = np.nonzero(~np.isnan(y_train.astype(float)))
45         idx_labels_test = np.nonzero(~np.isnan(y_test.astype(float)))
46         self.metrics = pd.DataFrame(columns= [
47             'learning_rate', 'batch_size',
48             'Accuracy',
49             'Train_Accuracy',
50             'Precision',
51             'Sensitivity',
52             'Specificity',
53             'Time_train',
54             'Time_test'
55         ])
56         metrics = {
57             'Accuracy' : np.nan,
58             'Train_Accuracy' : np.nan,
59             'Precision' : np.nan,
60             'Sensitivity' : np.nan,
61             'Specificity' : np.nan,

```

```

62         'Time_train' : np.nan,
63         'Time_test'  : np.nan
64     }
65     kernel_initializer = 'he_normal'
66     activation = 'elu'
67     n_epochs = 1000
68     patience_reduce = 10
69     patience_stop = 50
70     # set random seed for reproducible results
71     tf.random.set_seed(42)
72     # build encoder
73     input_const = keras.layers.Input(shape=x_const_train.shape[1:])
74     layer_const = keras.layers.Dense(2, activation=activation, ←
        kernel_initializer=kernel_initializer)(input_const)
75     input_var = keras.layers.Input(shape=x_var_train.shape[1:])
76     conv1_var = keras.layers.Conv1D(
77         filters=128, kernel_size=8,
78         kernel_initializer=kernel_initializer,
79         use_bias=False,
80         padding='same'
81     )(input_var)
82     bn1_var = keras.layers.BatchNormalization()(conv1_var)
83     act1_var = keras.layers.ELU()(bn1_var)
84     conv2_var = keras.layers.Conv1D(
85         filters=256, kernel_size=5,
86         kernel_initializer=kernel_initializer,
87         use_bias=False,
88         padding='same'
89     )(act1_var)
90     bn2_var = keras.layers.BatchNormalization()(conv2_var)
91     act2_var = keras.layers.ELU()(bn2_var)
92     conv3_var = keras.layers.Conv1D(
93         filters=128, kernel_size=3,
94         kernel_initializer=kernel_initializer,
95         use_bias=False,
96         padding='same'
97     )(act2_var)
98     bn3_var = keras.layers.BatchNormalization()(conv3_var)
99     act3_var = keras.layers.ELU()(bn3_var)
100    features_var = keras.layers.GlobalAveragePooling1D()(act3_var)
101    join = keras.layers.concatenate([layer_const, features_var])
102    # build decoder
103    output_decoder_const = keras.layers.Dense(2)(join)
104    de_reshape1_var = keras.layers.Reshape((1,130))(join)
105    deconv1_var = keras.layers.Conv1DTranspose(
106        filters=128, kernel_size=3,
107        kernel_initializer=kernel_initializer,
108        use_bias=False,
109        padding='valid'
110    )(de_reshape1_var)
111    de_bn1_var = keras.layers.BatchNormalization()(deconv1_var)
112    de_act1_var = keras.layers.ELU()(de_bn1_var)
113    deconv2_var = keras.layers.Conv1DTranspose(
114        filters=256, kernel_size=5,
115        kernel_initializer=kernel_initializer,
116        use_bias=False,
117        padding='valid'
118    )(de_act1_var)
119    de_bn2_var = keras.layers.BatchNormalization()(deconv2_var)
120    de_act2_var = keras.layers.ELU()(de_bn2_var)
121    deconv3_var = keras.layers.Conv1DTranspose(
122        filters=128, kernel_size=8,
123        kernel_initializer=kernel_initializer,
124        use_bias=False,
125        padding='valid'
126    )(de_act2_var)
127    de_bn3_var = keras.layers.BatchNormalization()(deconv3_var)
128    de_act3_var = keras.layers.ELU()(de_bn3_var)

```

```

129     output_decoder_var = keras.layers.Conv1DTranspose(
130         filters=3, kernel_size=14, padding='valid',
131         activation=None, kernel_initializer='glorot_uniform'
132     )(de_act3_var)
133     # combine to autoencoder
134     ae = keras.models.Model([input_const, input_var], [↔
135         output_decoder_const, output_decoder_var])
136     ae.compile(loss='huber_loss', optimizer=keras.optimizers.Nadam(↔
137         learning_rate=learning_rate))
138     run_log_folder = 'ae_N'+str(y_train.shape[0])
139     run_log_folder = os.path.join(log_folder, run_log_folder)
140     # train autoencoder
141     time_start = datetime.now()
142     ae.fit(
143         [x_const_train, x_var_train], [x_const_train, x_var_train],
144         validation_data=([x_const_test, x_var_test], [x_const_test, ↔
145             x_var_test]),
146         batch_size=batch_size, epochs=n_epochs,
147         callbacks = [
148             keras.callbacks.TensorBoard(run_log_folder, profile_batch↔
149                 =0),
150             keras.callbacks.ReduceLROnPlateau(patience=↔
151                 patience_reduce, min_delta=0.00001),
152             keras.callbacks.EarlyStopping(patience=patience_stop, ↔
153                 restore_best_weights=True)
154         ],
155         verbose=0
156     )
157     # reduce to labeled data
158     x_const_train_ = x_const_train[idx_labels_train]
159     x_var_train_ = x_var_train[idx_labels_train]
160     x_const_test_ = x_const_test[idx_labels_test]
161     x_var_test_ = x_var_test[idx_labels_test]
162     y_train_ = (y_train[idx_labels_train]).astype(int)
163     y_test_ = (y_test[idx_labels_test]).astype(int)
164     # build classifier
165     c1 = keras.layers.Dense(15, kernel_initializer=kernel_initializer↔
166         , activation=activation)(join)
167     c2 = keras.layers.Dense(15, kernel_initializer=kernel_initializer↔
168         , activation=activation)(c1)
169     out_layer = keras.layers.Dense(1, activation='sigmoid')(c2)
170     model = keras.models.Model([input_const, input_var], out_layer)
171     # freeze encoder's weights
172     for layer in model.layers[:-1]:
173         layer.trainable = False
174     model.compile(loss='binary_crossentropy', optimizer=keras.↔
175         optimizers.Nadam(learning_rate=learning_rate), metrics=['↔
176             accuracy'])
177     run_log_folder = 'inter_N'+str(y_train.shape[0])
178     run_log_folder = os.path.join(log_folder, run_log_folder)
179     # train model
180     model.fit(
181         [x_const_train_, x_var_train_], y_train_,
182         validation_data=([x_const_test_, x_var_test_], y_test_),
183         batch_size=batch_size, epochs=n_epochs,
184         callbacks = [
185             keras.callbacks.TensorBoard(run_log_folder, profile_batch↔
186                 =0),
187             keras.callbacks.ReduceLROnPlateau(patience=↔
188                 patience_reduce, min_delta=0.00001),
189             keras.callbacks.EarlyStopping(patience=patience_stop, ↔
190                 restore_best_weights=True)
191         ],
192         verbose=0
193     )
194     # unfreeze encoder's weights
195     for layer in model.layers[:-1]:
196         layer.trainable = True

```

```

184     model.compile(loss='binary_crossentropy',optimizer=keras.↵
        optimizers.Nadam(learning_rate=learning_rate/10),metrics=['↵
        accuracy'])
185     run_log_folder = 'final_N' + str(y_train.shape[0])
186     run_log_folder = os.path.join(log_folder,run_log_folder)
187     # train model 1st time
188     model.fit(
189         [x_const_train_,x_var_train_],y_train_,
190         validation_data=([x_const_test_,x_var_test_],y_test_),
191         batch_size=batch_size,epochs=n_epochs,
192         callbacks = [
193             keras.callbacks.TensorBoard(run_log_folder,profile_batch↵
                =0),
194             keras.callbacks.ReduceLROnPlateau(patience=↵
                patience_reduce,min_delta=0.00001),
195             keras.callbacks.EarlyStopping(patience=patience_stop, ↵
                restore_best_weights=True)
196         ],
197         verbose=0
198     )
199     metrics['Time_train'] = datetime.now()-time_start
200     pred_train = (model.predict([x_const_train_,x_var_train_]) > ↵
        0.5).astype(int)
201     metrics['Train_Accuracy'] = accuracy_score(y_train_,pred_train)
202     # test model
203     time_start = datetime.now()
204     pred_test = (model.predict([x_const_test_,x_var_test_]) > 0.5).↵
        astype(int)
205     metrics['Time_test'] = datetime.now()-time_start
206     # score
207     metrics['Accuracy'] = accuracy_score(y_test_,pred_test)
208     metrics['Precision'] = precision_score(y_test_,pred_test)
209     metrics['Sensitivity'] = recall_score(y_test_,pred_test)
210     cm = confusion_matrix(y_test_,pred_test)
211     metrics['Specifity'] = cm[0,0] / ( cm[0,1] + cm[0,0] )
212     result = metrics.copy()
213     result['learning_rate'] = learning_rate
214     result['batch_size'] = batch_size
215     self.metrics = self.metrics.append(result, ignore_index = True)
216     return metrics

218 # -----
219 # Run evaluation
220 # -----
221 left_out = int(sys.argv[1])
222 groups = ['CowId','Lactation']
223 feature_names = ['Lactation','DaysInMilk','MilkYield','StepsPerHour',↵
        'LyingDuration']
224 label_name = 'Lscore'
225 window_length = 27
226 window_shape= (27,3)
227 learning_rate = 0.001
228 batch_size = 32
229 name = 'ae-cnn_eval'+str(left_out)
230 ts = time.strftime('%Y-%m-%d_%H%M%S',time.localtime())
231 output = name+'_'+ts
232 data_folder = '../data/'
233 log_folder = '../tb_log/'
234 log_folder = os.path.join(log_folder, output)

236 classifier = AeCnnEvaluator(left_out,learning_rate,batch_size)
237 classifier.import_data(data_folder,n_proc=4,groups=groups,feature_names=↵
        feature_names,label_name=label_name>window_length=window_length,↵
        window_shape=window_shape,idx_constants=[0,1],idx_time_deps=[2,3,4],↵
        labelled_only=False)
238 result = classifier.prepare_fit(x_const_train=classifier.X_const_train,↵
        x_var_train=classifier.X_var_train,y_train=classifier.Y_train,↵
        x_const_test=classifier.X_const_test,x_var_test=classifier.X_var_test↵

```

```
,y_test=classifier.Y_test,learning_rate=learning_rate,batch_size=↵
batch_size,log_folder=log_folder)

240 print(f"\nEvaluate AE-CNN on left_out={left_out} with parameters:\n↵
-----\n\n")
241 print(f"learning_rate={learning_rate}")
242 print(f"batch_size={batch_size}")
243 print('\n----\n')
244 print(f"Output:{output}")
245 print('\n----\n')
246 print(f"Accuracy:{result['Accuracy']}(Training accuracy:{result['↵
Train_Accuracy']})")
247 print(f"Precision:{result['Precision']}")
248 print(f"Sensitivity:{result['Sensitivity']}")
249 print(f"Specifity:{result['Specifity']}")
250 print(f"Time_train:{result['Time_train']}")
251 print(f"Time_test:{result['Time_test']}")
```



Listing A.23: Skript ae-gru\_search.py

```

1  #!/usr/bin/env python3
2  # -*- coding: utf-8 -*-

4  # -----
5  import os
6  import time
7  import numpy as np
8  import pandas as pd
9  import tensorflow as tf
10 from sklearn.model_selection import LeaveOneGroupOut
11 from tensorflow import keras
12 from sklearn.metrics import accuracy_score, precision_score, recall_score, ←
    confusion_matrix
13 from src.AbstractSearcher2 import AbstractSearcher2

15 # -----
16 # Define specific class
17 # -----
18 class AeGruSearcher(AbstractSearcher2):

20     def __init__(self, used, learning_rate_values, batch_size_values):
21         self.used = used
22         self.learning_rate_values = learning_rate_values
23         self.batch_size_values = batch_size_values
24         self.logo = LeaveOneGroupOut()
25         self.X_const = None
26         self.X_var = None
27         self.Y = None
28         self.Split = None
29         self.metrics = None

31     def gridsearch(self, **kwargs):
32         self.metrics = pd.DataFrame(columns= [
33             'learning_rate', 'batch_size',
34             'Accuracy_mean', 'Accuracy_sd',
35             'Precision_mean', 'Precision_sd',
36             'Sensitivity_mean', 'Sensitivity_sd',
37             'Specifity_mean', 'Specifity_sd',
38             'Time_train_mean', 'Time_train_sd',
39             'Time_test_mean', 'Time_test_sd'
40         ])
41         for learning_rate in self.learning_rate_values:
42             for batch_size in self.batch_size_values:
43                 cv_result = self.crossvalidate(learning_rate=←
                    learning_rate, batch_size=batch_size, log_folder=←
                    log_folder)
44                 cv_result['learning_rate'] = learning_rate
45                 cv_result['batch_size'] = batch_size
46                 self.metrics = self.metrics.append(cv_result, ←
                    ignore_index = True)
47             self.metrics = self.metrics.sort_values(by=['Accuracy_mean'], ←
                ascending=False)
48         return self.metrics

50     def prepare_fit(self, x_const_train, x_var_train, y_train, x_const_test, ←
        x_var_test, y_test, learning_rate, batch_size, log_folder, **kwargs):
51         # normalization outside of the model
52         norm_const = keras.layers.experimental.preprocessing.←
            Normalization()
53         norm_const.adapt(x_const_train)
54         x_const_train = norm_const(x_const_train).numpy()
55         x_const_test = norm_const(x_const_test).numpy()
56         norm_var = keras.layers.experimental.preprocessing.Normalization←
            ()
57         norm_var.adapt(x_var_train)

```

```

58     x_var_train = norm_var(x_var_train).numpy()
59     x_var_test = norm_var(x_var_test).numpy()
60     idx_labels_train = np.nonzero(~np.isnan(y_train.astype(float)))
61     idx_labels_test = np.nonzero(~np.isnan(y_test.astype(float)))
62     metrics = {
63         'Accuracy' : np.nan,
64         'Precision' : np.nan,
65         'Sensitivity' : np.nan,
66         'Specificity' : np.nan,
67         'Time_train' : np.nan,
68         'Time_test' : np.nan
69     }
70     n_epochs = 1000
71     patience_reduce = 10
72     patience_stop = 50
73     # set random seed for reproducible results
74     tf.random.set_seed(42)
75     # build encoder
76     input_const = keras.layers.Input(shape=x_const_train.shape[1:])
77     layer_const = keras.layers.Dense(2,activation='elu',↵
78         kernel_initializer='he_normal')(input_const)
79     input_var = keras.layers.Input(shape=x_var_train.shape[1:])
80     rec1_var = keras.layers.GRU(units=16,return_sequences=True)(↵
81         input_var)
82     rec2_var = keras.layers.GRU(units=16,return_sequences=True)(↵
83         rec1_var)
84     rec3_var = keras.layers.GRU(units=16)(rec2_var)
85     join = keras.layers.concatenate([layer_const,rec3_var])
86     dense =keras.layers.Dense(6,activation='elu',kernel_initializer=↵
87         'he_normal')(join)
88     # build decoder
89     output_decoder_const = keras.layers.Dense(2)(dense)
90     de_rep = keras.layers.RepeatVector(27)(dense)
91     de_rec1_var = keras.layers.GRU(units=16,return_sequences=True)(↵
92         de_rep)
93     de_rec2_var = keras.layers.GRU(units=16,return_sequences=True)(↵
94         de_rec1_var)
95     de_rec3_var = keras.layers.GRU(units=16,return_sequences=True)(↵
96         de_rec2_var)
97     output_decoder_var = keras.layers.TimeDistributed(keras.layers.↵
98         Dense(3))(de_rec3_var)
99     # combine to autoencoder
100    ae = keras.models.Model([input_const,input_var],[↵
101        output_decoder_const,output_decoder_var])
102    ae.compile(loss='huber_loss',optimizer=keras.optimizers.Nadam(↵
103        learning_rate=learning_rate))
104    run_log_folder = 'ae_N'+str(y_train.shape[0])
105    run_log_folder = os.path.join(log_folder,run_log_folder)
106    # train autoencoder
107    time_start = time.time()
108    ae.fit(
109        [x_const_train,x_var_train],[x_const_train,x_var_train],
110        validation_data=(x_const_test,x_var_test),[x_const_test,↵
111            x_var_test]),
112        batch_size=batch_size,epochs=n_epochs,
113        callbacks = [
114            keras.callbacks.TensorBoard(run_log_folder,profile_batch↵
115                =0),
116            keras.callbacks.ReduceLRonPlateau(patience=↵
117                patience_reduce,min_delta=0.00001),
118            keras.callbacks.EarlyStopping(patience=patience_stop, ↵
119                restore_best_weights=True)
120        ],
121        verbose=0
122    )
123    # reduce to labeled data
124    x_const_train_ = x_const_train[idx_labels_train]
125    x_var_train_ = x_var_train[idx_labels_train]

```

```

112     x_const_test_ = x_const_test[idx_labels_test]
113     x_var_test_ = x_var_test[idx_labels_test]
114     y_train_ = (y_train[idx_labels_train]).astype(int)
115     y_test_ = (y_test[idx_labels_test]).astype(int)
116     # build classifier
117     c1 = keras.layers.Dense(4, kernel_initializer='he_normal', ↵
        activation='elu')(dense)
118     c2 = keras.layers.Dense(4, kernel_initializer='he_normal', ↵
        activation='elu')(c1)
119     out_layer = keras.layers.Dense(1, activation='sigmoid')(c2)
120     model = keras.models.Model([input_const, input_var], out_layer)
121     # freeze encoder's weights
122     for layer in model.layers[:-1]:
123         layer.trainable = False
124     model.compile(loss='binary_crossentropy', optimizer=keras.↵
        optimizers.Nadam(learning_rate=learning_rate), metrics=['↵
        accuracy'])
125     run_log_folder = 'inter_N' + str(y_train.shape[0])
126     run_log_folder = os.path.join(log_folder, run_log_folder)
127     # train model 1st time
128     model.fit(
129         [x_const_train_, x_var_train_], y_train_,
130         validation_data=([x_const_test_, x_var_test_], y_test_),
131         batch_size=batch_size, epochs=n_epochs,
132         callbacks = [
133             keras.callbacks.TensorBoard(run_log_folder, profile_batch↵
                =0),
134             keras.callbacks.ReduceLRonPlateau(patience=↵
                patience_reduce, min_delta=0.00001),
135             keras.callbacks.EarlyStopping(patience=patience_stop, ↵
                restore_best_weights=True)
136         ],
137         verbose=0
138     )
139     # unfreeze encoder's weights
140     for layer in model.layers[:-1]:
141         layer.trainable = True
142     model.compile(loss='binary_crossentropy', optimizer=keras.↵
        optimizers.Nadam(learning_rate=learning_rate/10), metrics=['↵
        accuracy'])
143     run_log_folder = 'final_N'+str(y_train.shape[0])
144     run_log_folder = os.path.join(log_folder, run_log_folder)
145     # train model finally
146     model.fit(
147         [x_const_train_, x_var_train_], y_train_,
148         validation_data=([x_const_test_, x_var_test_], y_test_),
149         batch_size=batch_size, epochs=n_epochs,
150         callbacks = [
151             keras.callbacks.TensorBoard(run_log_folder, profile_batch↵
                =0),
152             keras.callbacks.ReduceLRonPlateau(patience=↵
                patience_reduce, min_delta=0.00001),
153             keras.callbacks.EarlyStopping(patience=patience_stop, ↵
                restore_best_weights=True)
154         ],
155         verbose=0
156     )
157     metrics['Time_train'] = time.time()-time_start
158     pred_train = (model.predict([x_const_train_, x_var_train_]) > ↵
        0.5).astype(int)
159     metrics['Train_Accuracy'] = accuracy_score(y_train_, pred_train)
160     # test model
161     time_start = time.time()
162     pred_test = (model.predict([x_const_test_, x_var_test_]) > 0.5).↵
        astype(int)
163     metrics['Time_test'] = time.time()-time_start
164     # score
165     metrics['Accuracy'] = accuracy_score(y_test_, pred_test)

```

```
166         metrics['Precision'] = precision_score(y_test_, pred_test)
167         metrics['Sensitivity'] = recall_score(y_test_, pred_test)
168         cm = confusion_matrix(y_test_, pred_test)
169         metrics['Specifity'] = cm[0,0] / ( cm[0,1] + cm[0,0] )
170         return metrics

172 # -----
173 # Run search
174 # -----
175 used = [1,4,6,9]
176 groups = ['CowId', 'Lactation']
177 feature_names = ['Lactation', 'DaysInMilk', 'MilkYield', 'StepsPerHour', '↵
    LyingDuration']
178 label_name = 'Lscore'
179 window_length = 27
180 window_shape=(27,3)
181 learning_rate_values = [0.001,0.005,0.01,0.05]
182 batch_size_values = [32,128,512]
183 name = 'ae-gru_search'
184 ts = time.strftime('%Y-%m-%d_%H%M%S', time.localtime())
185 output = name+'_'+ts
186 data_folder = '../data/'
187 log_folder = '../tb_log/'
188 log_folder = os.path.join(log_folder, output)

190 classifier = AeGruSearcher(used, learning_rate_values, batch_size_values)
191 classifier.import_data(data_folder, n_proc=4, groups=groups, feature_names=↵
    feature_names, label_name=label_name, window_length=window_length, ↵
    window_shape=window_shape, idx_constants=[0,1], idx_time_deps=[2,3,4], ↵
    labelled_only=False)
192 results = classifier.gridsearch(log_folder=log_folder)

194 results.to_csv(output+'.csv')
```

Listing A.24: Skript ae-gru\_eval.py

```

1  #!/usr/bin/env python3
2  # -*- coding: utf-8 -*-

4  # -----
5  import sys
6  import os
7  import time
8  import pickle
9  import numpy as np
10 import pandas as pd
11 import tensorflow as tf
12 from datetime import datetime
13 from tensorflow import keras
14 from sklearn.metrics import accuracy_score, precision_score, recall_score, ←
    confusion_matrix
15 from src.AbstractEvaluator2 import AbstractEvaluator2

17 # -----
18 # Define specific class
19 # -----
20 class AeGruEvaluator(AbstractEvaluator2):

22     def __init__(self, left_out, learning_rate, batch_size):
23         self.left_out = left_out
24         self.learning_rate = learning_rate
25         self.batch_size = batch_size
26         self.X_const_train = None
27         self.X_var_train = None
28         self.Y_train = None
29         self.X_const_test = None
30         self.X_var_test = None
31         self.Y_test = None
32         self.metrics = None

34     def prepare_fit(self, x_const_train, x_var_train, y_train, x_const_test, ←
x_var_test, y_test, learning_rate, batch_size, log_folder):
35         # normalization outside of the model
36         norm_const = keras.layers.experimental.preprocessing. ←
Normalization()
37         norm_const.adapt(x_const_train)
38         x_const_train = norm_const(x_const_train).numpy()
39         x_const_test = norm_const(x_const_test).numpy()
40         norm_var = keras.layers.experimental.preprocessing.Normalization ←
()
41         norm_var.adapt(x_var_train)
42         x_var_train = norm_var(x_var_train).numpy()
43         x_var_test = norm_var(x_var_test).numpy()
44         idx_labels_train = np.nonzero(~np.isnan(y_train.astype(float)))
45         idx_labels_test = np.nonzero(~np.isnan(y_test.astype(float)))
46         self.metrics = pd.DataFrame(columns= [
47             'learning_rate', 'batch_size',
48             'Accuracy',
49             'Train_Accuracy',
50             'Precision',
51             'Sensitivity',
52             'Specifity',
53             'Time_train',
54             'Time_test'
55         ])
56         metrics = {
57             'Accuracy' : np.nan,
58             'Train_Accuracy' : np.nan,
59             'Precision' : np.nan,
60             'Sensitivity' : np.nan,
61             'Specifity' : np.nan,

```

```

62         'Time_train' : np.nan,
63         'Time_test'  : np.nan
64     }
65     n_epochs = 1000
66     patience_reduce = 10
67     patience_stop = 50
68     # set random seed for reproducible results
69     tf.random.set_seed(42)
70     # build encoder
71     input_const = keras.layers.Input(shape=x_const_train.shape[1:])
72     layer_const = keras.layers.Dense(2, activation='elu', ↵
73         kernel_initializer='he_normal')(input_const)
74     input_var = keras.layers.Input(shape=x_var_train.shape[1:])
75     rec1_var = keras.layers.GRU(units=16, return_sequences=True)(↵
76         input_var)
77     rec2_var = keras.layers.GRU(units=16, return_sequences=True)(↵
78         rec1_var)
79     rec3_var = keras.layers.GRU(units=16)(rec2_var)
80     join = keras.layers.concatenate([layer_const, rec3_var])
81     dense = keras.layers.Dense(6, activation='elu', kernel_initializer↵
82         ='he_normal')(join)
83     # build decoder
84     output_decoder_const = keras.layers.Dense(2)(dense)
85     de_rep = keras.layers.RepeatVector(27)(dense)
86     de_rec1_var = keras.layers.GRU(units=16, return_sequences=True)(↵
87         de_rep)
88     de_rec2_var = keras.layers.GRU(units=16, return_sequences=True)(↵
89         de_rec1_var)
90     de_rec3_var = keras.layers.GRU(units=16, return_sequences=True)(↵
91         de_rec2_var)
92     output_decoder_var = keras.layers.TimeDistributed(keras.layers.↵
93         Dense(3))(de_rec3_var)
94     # combine to autoencoder
95     ae = keras.models.Model([input_const, input_var], [↵
96         output_decoder_const, output_decoder_var])
97     ae.compile(loss='huber_loss', optimizer=keras.optimizers.Nadam(↵
98         learning_rate=learning_rate))
99     run_log_folder = 'ae_N'+str(y_train.shape[0])
100    run_log_folder = os.path.join(log_folder, run_log_folder)
101    # train autoencoder
102    time_start = datetime.now()
103    ae.fit(
104        [x_const_train, x_var_train], [x_const_train, x_var_train],
105        validation_data=([x_const_test, x_var_test], [x_const_test, ↵
106            x_var_test]),
107        batch_size=batch_size, epochs=n_epochs,
108        callbacks = [
109            keras.callbacks.TensorBoard(run_log_folder, profile_batch↵
110                =0),
111            keras.callbacks.ReduceLROnPlateau(patience=↵
112                patience_reduce, min_delta=0.00001),
113            keras.callbacks.EarlyStopping(patience=patience_stop, ↵
114                restore_best_weights=True)
115        ],
116        verbose=0
117    )
118    # reduce to labeled data
119    x_const_train_ = x_const_train[idx_labels_train]
120    x_var_train_ = x_var_train[idx_labels_train]
121    x_const_test_ = x_const_test[idx_labels_test]
122    x_var_test_ = x_var_test[idx_labels_test]
123    y_train_ = (y_train[idx_labels_train]).astype(int)
124    y_test_ = (y_test[idx_labels_test]).astype(int)
125    # build classifier
126    c1 = keras.layers.Dense(4, kernel_initializer='he_normal', ↵
127        activation='elu')(dense)
128    c2 = keras.layers.Dense(4, kernel_initializer='he_normal', ↵
129        activation='elu')(c1)

```

```

114     out_layer = keras.layers.Dense(1, activation='sigmoid')(c2)
115     model = keras.models.Model([input_const, input_var], out_layer)
116     # freeze encoder's weights
117     for layer in model.layers[:-1]:
118         layer.trainable = False
119     model.compile(loss='binary_crossentropy', optimizer=keras.↵
120                   optimizers.Nadam(learning_rate=learning_rate), metrics=['↵
121                   accuracy'])
122     run_log_folder = 'inter_N'+str(y_train.shape[0])
123     run_log_folder = os.path.join(log_folder, run_log_folder)
124     # train model 1st time
125     model.fit(
126         [x_const_train_, x_var_train_], y_train_,
127         validation_data=([x_const_test_, x_var_test_], y_test_),
128         batch_size=batch_size, epochs=n_epochs,
129         callbacks = [
130             keras.callbacks.TensorBoard(run_log_folder, profile_batch↵
131             =0),
132             keras.callbacks.ReduceLROnPlateau(patience=↵
133             patience_reduce, min_delta=0.00001),
134             keras.callbacks.EarlyStopping(patience=patience_stop, ↵
135             restore_best_weights=True)
136         ],
137         verbose=0
138     )
139     # unfreeze encoder's weights
140     for layer in model.layers[:-1]:
141         layer.trainable = True
142     model.compile(loss='binary_crossentropy', optimizer=keras.↵
143                   optimizers.Nadam(learning_rate=learning_rate/10), metrics=['↵
144                   accuracy'])
145     run_log_folder = 'final_N'+str(y_train.shape[0])
146     run_log_folder = os.path.join(log_folder, run_log_folder)
147     # train model finally
148     model.fit(
149         [x_const_train_, x_var_train_], y_train_,
150         validation_data=([x_const_test_, x_var_test_], y_test_),
151         batch_size=batch_size, epochs=n_epochs,
152         callbacks = [
153             keras.callbacks.TensorBoard(run_log_folder, profile_batch↵
154             =0),
155             keras.callbacks.ReduceLROnPlateau(patience=↵
156             patience_reduce, min_delta=0.00001),
157             keras.callbacks.EarlyStopping(patience=patience_stop, ↵
158             restore_best_weights=True)
159         ],
160         verbose=0
161     )
162     metrics['Time_train'] = datetime.now()-time_start
163     pred_train = (model.predict([x_const_train_, x_var_train_]) > ↵
164                 0.5).astype(int)
165     metrics['Train_Accuracy'] = accuracy_score(y_train_, pred_train)
166     # test model
167     time_start = datetime.now()
168     pred_test = (model.predict([x_const_test_, x_var_test_]) > 0.5).↵
169                 astype(int)
170     metrics['Time_test'] = datetime.now()-time_start
171     # score
172     metrics['Accuracy'] = accuracy_score(y_test_, pred_test)
173     metrics['Precision'] = precision_score(y_test_, pred_test)
174     metrics['Sensitivity'] = recall_score(y_test_, pred_test)
175     cm = confusion_matrix(y_test_, pred_test)
176     metrics['Specifity'] = cm[0,0] / ( cm[0,1] + cm[0,0] )
177     result = metrics.copy()
178     result['learning_rate'] = learning_rate
179     result['batch_size'] = batch_size
180     self.metrics = self.metrics.append(result, ignore_index = True)
181     return metrics

```

```

171 # -----
172 # Run evaluation
173 # -----
174 left_out = int(sys.argv[1])
175 groups = ['CowId', 'Lactation']
176 feature_names = ['Lactation', 'DaysInMilk', 'MilkYield', 'StepsPerHour', '↵
    LyingDuration']
177 label_name = 'Lscore'
178 window_length = 27
179 window_shape = (27, 3)
180 learning_rate = 0.005
181 batch_size = 32
182 name = 'ae-gru_eval'+str(left_out)
183 ts = time.strftime('%Y-%m-%d_%H%M%S', time.localtime())
184 output = name+'_'+ts
185 data_folder = '../data/'
186 log_folder = '../tb_log/'
187 log_folder = os.path.join(log_folder, output)

189 classifier = AeGruEvaluator(left_out, learning_rate, batch_size)
190 classifier.import_data(data_folder, n_proc=4, groups=groups, feature_names=↵
    feature_names, label_name=label_name, window_length=window_length, ↵
    window_shape=window_shape, idx_constants=[0, 1], idx_time_deps=[2, 3, 4], ↵
    labelled_only=False)
191 result = classifier.prepare_fit(x_const_train=classifier.X_const_train, ↵
    x_var_train=classifier.X_var_train, y_train=classifier.Y_train, ↵
    x_const_test=classifier.X_const_test, x_var_test=classifier.X_var_test ↵
    , y_test=classifier.Y_test, learning_rate=learning_rate, batch_size=↵
    batch_size, log_folder=log_folder)

193 print(f"\nEvaluate AE-GRU on left_out={left_out} with parameters:\n↵
    -----\n\n")
194 print(f"learning_rate={learning_rate}")
195 print(f"batch_size={batch_size}")
196 print('\n----\n')
197 print(f"Output: {output}")
198 print('\n----\n')
199 print(f"Accuracy: {result['Accuracy']} (Training accuracy: {result['↵
    Train_Accuracy']})")
200 print(f"Precision: {result['Precision']}")
201 print(f"Sensitivity: {result['Sensitivity']}")
202 print(f"Specifity: {result['Specifity']}")
203 print(f"Time_train: {result['Time_train']}")
204 print(f"Time_test: {result['Time_test']}")

```



**B**

---

**Einzelergebnisse**

Tabelle B.1: Einzelergebnisse der Evaluierung aller neun Klassifikationsansätze

Test- datensatz	Ansatz	Genauigkeit	Relevanz	Sensitivität	Spezifität	Trainings- dauer [sec]	Vorhersage- dauer [sec]	Arbeitspeicher- bedarf [MB]
		(bei der Klassifikation von Testdaten)						
Teil 0	FE-RF	0,7406	0,7778	0,6578	0,8199	128,62	1,41	639,86
Teil 1	FE-RF	0,7315	0,7433	0,6974	0,7648	126,72	2,30	639,73
Teil 2	FE-RF	0,7256	0,7012	0,6490	0,7851	125,07	2,59	639,95
Teil 3	FE-RF	0,6986	0,6828	0,6258	0,7589	123,32	4,26	639,94
Teil 4	FE-RF	0,7195	0,7057	0,6638	0,7664	125,90	3,51	639,75
Teil 5	FE-RF	0,6974	0,7262	0,6356	0,7595	122,48	4,69	639,79
Teil 6	FE-RF	0,7234	0,7632	0,6707	0,7792	123,17	4,30	629,43
Teil 7	FE-RF	0,7219	0,6921	0,6580	0,7718	124,49	3,99	639,80
Teil 8	FE-RF	0,6658	0,7115	0,5765	0,7582	122,55	2,79	639,87
Teil 9	FE-RF	0,7081	0,7226	0,6284	0,7805	122,56	4,24	639,96
Teil 0	FE-MLP	0,7392	0,7581	0,6858	0,7903	30,55	0,05	671,05
Teil 1	FE-MLP	0,7084	0,7254	0,6595	0,7562	55,50	0,04	688,07
Teil 2	FE-MLP	0,7112	0,6720	0,6633	0,7483	23,20	0,05	757,87
Teil 3	FE-MLP	0,6907	0,6715	0,6218	0,7478	43,20	0,04	635,15
Teil 4	FE-MLP	0,7214	0,7046	0,6737	0,7616	19,17	0,05	757,90
Teil 5	FE-MLP	0,6974	0,7127	0,6633	0,7316	13,91	0,10	757,98
Teil 6	FE-MLP	0,7001	0,7295	0,6634	0,7390	40,54	0,04	631,78
Teil 7	FE-MLP	0,7435	0,7085	0,7043	0,7740	17,71	0,05	757,95
Teil 8	FE-MLP	0,6901	0,7435	0,5961	0,7873	31,76	0,05	736,25
Teil 9	FE-MLP	0,6976	0,6974	0,6452	0,7453	20,16	0,04	705,55
Teil 0	FE-SVM	0,7447	0,7856	0,6578	0,8280	41,06	4,38	489,79
Teil 1	FE-SVM	0,7265	0,7418	0,6847	0,7672	38,42	6,04	509,61
Teil 2	FE-SVM	0,7187	0,6855	0,6590	0,7650	38,87	4,89	506,61
Teil 3	FE-SVM	0,7047	0,6891	0,6353	0,7623	28,67	4,41	511,97
Teil 4	FE-SVM	0,7272	0,7200	0,6610	0,7831	41,09	5,05	511,98
Teil 5	FE-SVM	0,7151	0,7362	0,6721	0,7582	29,23	3,86	511,79
Teil 6	FE-SVM	0,7076	0,7504	0,6475	0,7714	46,76	4,94	511,80
Teil 7	FE-SVM	0,7397	0,7174	0,6696	0,7944	29,52	4,46	511,97
Teil 8	FE-SVM	0,6988	0,7410	0,6267	0,7734	52,39	5,16	511,92
Teil 9	FE-SVM	0,7050	0,7218	0,6194	0,7829	42,76	5,14	511,74
Teil 0	E2E-CNN	0,7447	0,7603	0,6985	0,7890	124,36	0,06	1.372,16
Teil 1	E2E-CNN	0,7134	0,7335	0,6595	0,7660	67,54	0,06	1.433,60
Teil 2	E2E-CNN	0,7212	0,7024	0,6289	0,7929	87,47	0,07	1.423,36
Teil 3	E2E-CNN	0,7016	0,6789	0,6487	0,7455	76,01	0,06	1.392,64
Teil 4	E2E-CNN	0,7162	0,7060	0,6511	0,7712	82,87	0,06	1.413,12
Teil 5	E2E-CNN	0,6968	0,6989	0,6936	0,7000	83,05	0,15	1.433,60
Teil 6	E2E-CNN	0,7240	0,7269	0,7430	0,7039	96,74	0,06	1.433,60
Teil 7	E2E-CNN	0,7403	0,7377	0,6319	0,8249	63,83	0,06	1.402,88
Teil 8	E2E-CNN	0,7100	0,6931	0,7711	0,6468	83,11	0,07	1.433,60
Teil 9	E2E-CNN	0,7117	0,7029	0,6839	0,7371	101,46	0,07	1.402,88
Teil 0	E2E-MLP	0,6836	0,6858	0,6522	0,7137	14,84	0,05	1.009,25
Teil 1	E2E-MLP	0,6766	0,6779	0,6583	0,6946	11,94	0,05	1.034,24
Teil 2	E2E-MLP	0,6768	0,6302	0,6032	0,7249	10,39	0,04	1.044,48
Teil 3	E2E-MLP	0,6461	0,6204	0,5653	0,7132	10,09	0,04	1.003,28
Teil 4	E2E-MLP	0,6852	0,6550	0,6596	0,7068	11,00	0,04	1.034,24
Teil 5	E2E-MLP	0,6469	0,6616	0,6040	0,6999	9,66	0,08	1.054,72
Teil 6	E2E-MLP	0,6805	0,6967	0,6720	0,6896	10,65	0,04	1.010,62
Teil 7	E2E-MLP	0,6908	0,6352	0,6913	0,6904	10,84	0,04	1.034,24
Teil 8	E2E-MLP	0,6559	0,6808	0,6083	0,7051	6,79	0,04	367,93
Teil 9	E2E-MLP	0,6601	0,6480	0,6271	0,6901	7,53	0,04	359,26

Fortsetzung auf der nächsten Seite...

## Fortsetzung: Einzelergebnisse der Evaluierung

Test- datensatz	Ansatz	Genauigkeit	Relevanz	Sensitivität	Spezifität	Trainings- dauer [sec]	Vorhersage- dauer [sec]	Arbeitspeicher- bedarf [MB]
		(bei der Klassifikation von Testdaten)						
Teil 0	E2E-GRU	0,7563	0,7754	0,7069	0,8038	210,73	0,10	936,16
Teil 1	E2E-GRU	0,7053	0,7210	0,6583	0,7512	209,78	0,11	969,86
Teil 2	E2E-GRU	0,7206	0,6898	0,6562	0,7706	198,13	0,13	955,60
Teil 3	E2E-GRU	0,7023	0,6900	0,6231	0,7679	213,35	0,12	912,61
Teil 4	E2E-GRU	0,7253	0,7096	0,6766	0,7664	198,35	1,36	930,36
Teil 5	E2E-GRU	0,6999	0,7190	0,6583	0,7418	225,85	0,74	924,20
Teil 6	E2E-GRU	0,7234	0,7554	0,6842	0,7649	202,88	0,13	932,50
Teil 7	E2E-GRU	0,7384	0,7264	0,6464	0,8102	183,59	0,11	911,35
Teil 8	E2E-GRU	0,6845	0,6997	0,6646	0,7051	196,29	0,11	916,17
Teil 9	E2E-GRU	0,7222	0,7443	0,6348	0,8016	196,79	0,11	920,46
Teil 0	AE-MLP	0,6918	0,6958	0,6578	0,7245	2.917,96	0,04	2.375,68
Teil 1	AE-MLP	0,6835	0,6923	0,6469	0,7192	2.449,11	0,04	2.222,08
Teil 2	AE-MLP	0,6585	0,6154	0,5845	0,7160	3.115,96	0,04	2.181,12
Teil 3	AE-MLP	0,6638	0,6364	0,6030	0,7143	3.353,01	0,04	2.242,56
Teil 4	AE-MLP	0,6858	0,6796	0,5932	0,7640	2.902,78	0,04	2.232,32
Teil 5	AE-MLP	0,6532	0,6758	0,5914	0,7152	2.250,80	0,09	2.222,08
Teil 6	AE-MLP	0,6830	0,6982	0,6769	0,6896	1.760,11	0,04	2.498,56
Teil 7	AE-MLP	0,6997	0,6598	0,6493	0,7390	2.405,75	0,04	2.211,84
Teil 8	AE-MLP	0,6509	0,6793	0,5936	0,7101	2.277,88	0,05	2.222,08
Teil 9	AE-MLP	0,6601	0,6762	0,5497	0,7606	2.367,39	0,05	2.181,12
Teil 0	AE-CNN	0,7495	0,7762	0,6858	0,8105	22.085,27	0,06	2.539,52
Teil 1	AE-CNN	0,7146	0,7207	0,6898	0,7389	19.331,36	0,06	2.549,76
Teil 2	AE-CNN	0,7080	0,6853	0,6146	0,7806	16.544,54	0,06	2.478,08
Teil 3	AE-CNN	0,7084	0,6879	0,6528	0,7545	18.317,98	0,07	2.498,56
Teil 4	AE-CNN	0,7214	0,7426	0,5989	0,8248	18.119,71	0,06	2.549,76
Teil 5	AE-CNN	0,7031	0,7073	0,6948	0,7114	14.068,50	0,15	2.549,76
Teil 6	AE-CNN	0,7070	0,7056	0,7393	0,6727	11.677,27	0,07	2.478,08
Teil 7	AE-CNN	0,7549	0,7397	0,6797	0,8136	17.133,42	0,07	2.529,28
Teil 8	AE-CNN	0,6882	0,6872	0,7100	0,6658	14.508,56	0,06	2.478,08
Teil 9	AE-CNN	0,7179	0,7232	0,6606	0,7700	18.921,29	0,06	2.488,32
Teil 0	AE-GRU	0,7296	0,7406	0,6886	0,7688	960,17	0,10	2.836,48
Teil 1	AE-GRU	0,7016	0,7211	0,6456	0,7562	1.140,34	0,13	2.836,48
Teil 2	AE-GRU	0,7036	0,6633	0,6547	0,7416	1.012,93	0,13	2.826,24
Teil 3	AE-GRU	0,6693	0,6558	0,5693	0,7522	2.113,63	0,11	2.908,16
Teil 4	AE-GRU	0,7175	0,6950	0,6822	0,7473	1.014,77	0,11	2.928,64
Teil 5	AE-GRU	0,6999	0,7087	0,6810	0,7190	1.643,92	0,69	2.949,12
Teil 6	AE-GRU	0,7089	0,7273	0,6952	0,7234	2.418,54	0,11	2.836,48
Teil 7	AE-GRU	0,7435	0,7248	0,6681	0,8023	2.441,71	0,11	2.928,64
Teil 8	AE-GRU	0,6920	0,7152	0,6548	0,7304	924,58	0,11	2.795,52
Teil 9	AE-GRU	0,7124	0,7072	0,6761	0,7453	1.020,26	0,11	2.918,40